

Б. В. КУЗНЕЦОВ, М. Ф. САЦУКЕВИЧ

АСИНХРОННЫЕ ЭЛЕКТРОДВИГАТЕЛИ И АППАРАТЫ УПРАВЛЕНИЯ

(СПРАВОЧНОЕ ПОСОБИЕ)

ББК 31.216.63я2
К 89

УДК 621.313.333(035.5)

Рецензенты: П. В. ПОЛЗИК, канд. техн. наук;
Ф. А. КАГАН, инженер-конструктор бюро электроавтоматики
Минского тракторного завода

К $\frac{2302030000-155}{М 301(05)-82}$ 100—82

© Издательство
«Беларусь», 1982

Глава I

ОБЩИЕ СВЕДЕНИЯ ОБ АСИНХРОННОЙ МАШИНЕ

СТАНДАРТИЗАЦИЯ МОЩНОСТЕЙ И УСТАНОВОЧНЫХ РАЗМЕРОВ

При проектировании современных серий электрических машин особую роль играет стандартизация, в частности международная. Разработанные в СССР Государственные стандарты на шкалу мощностей (ГОСТ 12139—74), высоты оси вращения (ГОСТ 13267—73), установочные и присоединительные размеры (ГОСТ 12126—71, 18709—73 и 20839—75) базируются на рекомендациях Международной электротехнической комиссии (МЭК). Основные данные этих стандартов приведены в табл. 1—3.

В табл. 2 показаны принятые в публикациях МЭК условные обозначения длин корпусов (S — малая, M — средняя, L — большая, по расстоянию между осями отверстий под крепежные болты в лапах) электродвигателей с одинаковыми высотами оси вращения.

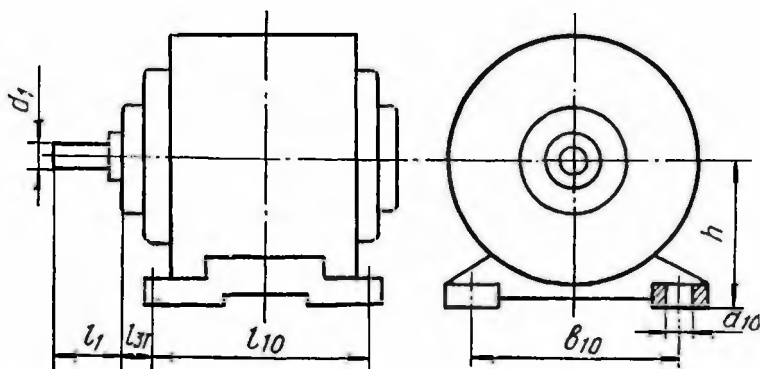
Первое международное соглашение по увязке мощностей с установочными размерами для асинхронных электродвигателей общего назначения мощностью до 100 кВт было достигнуто в 1958 году между странами СЭВ. Этот документ лег в основу при разработке серии электродвигателей А2 и АО2 мощностью до 100 кВт.

В 1968 году страны — члены СЭВ согласовали новую увязку мощностей с установочными размерами, соответствующую наиболее высокому мировому уровню. На базе указанного соглашения в Советском Союзе была разработана новая серия низковольтных асинхронных электродвигателей — 4А. Увязка мощностей серии 4А с установочными размерами приведена в табл. 4, 5.

1. Шкала мощностей по ГОСТ 12139—74 (в диапазоне от 0,06 до 1000 кВт)

| | | | | | |
|------|------|------|----|-----|------|
| 0,06 | 0,55 | 4,0 | 22 | 90 | 315 |
| 0,09 | 0,75 | 5,5 | 30 | 110 | 400 |
| 0,12 | 1,1 | 7,5 | 37 | 132 | 500 |
| 0,18 | 1,5 | 11,0 | 45 | 160 | 630 |
| 0,25 | 2,2 | 15,0 | 55 | 200 | 800 |
| 0,37 | 3,0 | 18,5 | 75 | 250 | 1000 |

2. Высоты оси вращения и связанные с ними установочные размеры электрических машин по ГОСТ 13267—73, 18709—73 и 20839—75



Высоты оси вращения от 56 до 400 мм

| h, мм | b ₁₀ , мм | l ₁₀ , мм | | l ₂₁ , мм | d ₁₀ , мм |
|-------|----------------------|----------------------|----------|----------------------|----------------------|
| | | обозначение | значение | | |
| 1 | 2 | 3 | 4 | 5 | 6 |
| 56 | 90 | — | 71 | 36 | 5,8 |
| 63 | 100 | — | 80 | 40 | 7 |
| 71 | 112 | — | 90 | 45 | 7 |
| 80 | 125 | — | 100 | 50 | 10 |
| 90 | 140 | S | 100 | 56 | 10 |
| | | L | 125 | | |
| 100 | 160 | S | 112 | 63 | 12 |
| | | L | 140 | | |
| 112 | 190 | S | 114 | 70 | 12 |
| | | M | 140 | | |
| | | L | 159 | | |
| 132 | 216 | S | 140 | 89 | 12 |
| | | M | 178 | | |
| | | L | 203 | | |
| 160 | 254 | S | 178 | 108 | 15 |
| | | M | 210 | | |
| | | L | 254 | | |
| 180 | 279 | S | 203 | 121 | 15 |
| | | M | 241 | | |
| | | L | 279 | | |
| 200 | 318 | S | 228 | 133 | 19 |
| | | M | 267 | | |
| | | L | 305 | | |

| 1 | 2 | 3 | 4 | 5 | 6 |
|-----|-----|-----------------------|---------------------------------|-----|----|
| 225 | 356 | S M L | 286 311 356 | 149 | 19 |
| 250 | 406 | S M L | 311 349 406 | 168 | 24 |
| 280 | 457 | S M L | 368 419 457 | 190 | 24 |
| 315 | 508 | S M L | 406 457 508 | 216 | 28 |
| 355 | 610 | S M L | 500 550 630 | 254 | 28 |
| 400 | 686 | S M L — — | 560 630 710 800 900 | 280 | 35 |

Высоты оси вращения от 450 до 630 мм

| h , мм | b_{10} , мм | l_{10} , мм | l_{10} , мм |
|----------|---------------------------------|---|---------------|
| 450 | 710; 800; 900; 1000; 1120 | 355; 400; 450; 500; 560; 630; 710; 800; 900; 1000; 1120; 1250 | 35 |
| 500 | 800; 900; 1000; 1120; 1250 | 400; 450; 500; 560; 630; 710; 800; 900; 1000; 1120; 1250; 1400 | 42 |
| 560 | 900; 1000; 1120; 1250; 1400 | 450; 500; 560; 630; 710; 800; 900; 1000; 1120; 1250; 1400 | 42 |
| 630 | 1000; 1120; 1250; 1400; 1600 | 500; 560; 630; 710; 800; 900; 1000; 1120; 1250; 1400; 1600 | 48 |

3. Размеры выступающего конца вала электродвигателей по ГОСТ 18709—73 и 20839—75*

| d_1 , мм | l_1 , мм | $M_{H\delta}$, Н м | d_1 , мм | l_1 , мм | $M_{H\delta}$, Н м |
|------------|------------|---------------------|------------|------------|---------------------|
| 7 | 16 | 0,25 | 75 | 140 | 1000 |
| 9 | 20 | 0,63 | 80 | 170 | 1250 |
| 11 | 23 | 1,25 | 85 | 170 | 1600 |
| 14 | 30 | 2,8 | 90 | 170 | 1900 |
| 16 | 40 | 4,5 | 95 | 170 | 2360 |

| d_1 , мм | l_1 , мм | M_{H6} , Н·м | d_1 , мм | l_1 , мм | M_{H6} , Н·м |
|------------|------------|----------------|------------|------------|----------------|
| 18 | 40 | 7,1 | 100 | 210 | 2800 |
| 19 | 40 | 8,25 | 110 | 210 | 4000 |
| 22 | 50 | 14 | 120 | 210 | — |
| 24 | 50 | 18 | 125 | 210 | — |
| 28 | 60 | 31,5 | 130 | 250 | — |
| 32 | 80 | 50 | 140 | 250 | — |
| 38 | 80 | 90 | 150 | 250 | — |
| 42 | 110 | 125 | 160 | 300 | — |
| 48 | 110 | 200 | 170 | 300 | — |
| 55 | 110 | 355 | 180 | 300 | — |
| 60 | 140 | 450 | 190 | 350 | — |
| 65 | 140 | 630 | 200 | 350 | — |
| 70 | 140 | 800 | 220 | 350 | — |

* См. рис. к табл. 2.

4. Увязка мощностей с установочными размерами электродвигателей серии 4А со степенью защиты IP44*

| h , мм | Обозначение длины | P_H , кВт, при 2р, равном | | | | | | Размеры выступающего конца вала | | Тип фланца F | |
|----------|-------------------|-----------------------------|------|------|------|----|----|---------------------------------|------|--------------|------------|
| | | 2 | 4 | 6 | 8 | 10 | 12 | $d_1 \times l_1$, мм | | с резьбой | без резьбы |
| | | | | | | | | 2р=2 | 2р=4 | | |
| 1 | 2. | 3 | 4 | 5 | 6 | 7 | 8 | 9 | 10 | 11 | 12 |
| 56 | — | 0,18 | 0,12 | — | — | — | — | 11×23 | | 65 | 115 |
| | — | 0,25 | 0,18 | — | — | — | — | | | 85 | |
| 63 | — | 0,37 | 0,25 | 0,18 | — | — | — | 14×30 | | 76 | 130 |
| | — | 0,55 | 0,37 | 0,25 | — | — | — | | | 100 | |
| 71 | — | 0,75 | 0,55 | 0,37 | 0,25 | — | — | 19×40 | | 85 | 165 |
| | — | 1,1 | 0,75 | 0,55 | — | — | — | | | 115 | |
| 80 | — | 1,5 | 1,1 | 0,75 | 0,37 | — | — | 22×50 | | 100 | 165 |
| | — | 2,2 | 1,5 | 1,1 | 0,55 | — | — | | | 130 | |
| 90 | L | 3,0 | 2,2 | 1,5 | 0,75 | — | — | 24×50 | | 130 | 215 |
| | | | | | 1,1 | — | — | | | | |
| 100 | S | 4,0 | 3,0 | — | — | — | — | 28×60 | | 130 | 215 |
| | L | 5,5 | 4,0 | 2,2 | 1,5 | — | — | | | 160 | |
| 112 | M | 7,5 | 5,5 | 3,0 | 2,2 | — | — | 32×80 | | — | 265 |
| | | | | 4,0 | 3,0 | — | — | | | | |
| 132 | S | — | 7,5 | 5,5 | 4,0 | — | — | 38×80 | | — | 300 |
| | M | 11,0 | 11,0 | 7,5 | 5,5 | — | — | | | | |

| 1 | 2 | 3 | 4 | 5 | 6 | 7 | 8 | 9 | 10 | 11 | 12 |
|-----|--------|--------------|--------------|--------------|--------------|-----------|----------|--------|-------------|----|-----|
| 160 | S M | 15,0 18,5 | 15,0 18,5 | 11,0 15,0 | 7,5 11,0 | — — | — — | 42×110 | 48×110 | — | 300 |
| 180 | S M | 22,0 30,0 | 22,0 30,0 | — 18,5 | — 15,0 | — — | — — | 48×110 | 55×110 | — | 350 |
| 200 | L M | 45,0 55,0 | 45,0 37,0 | 30,0 37,0 | 22,0 18,5 | — — | — — | 55×110 | 65×140 | — | 400 |
| 225 | M | 55,0 | 55,0 | 37,0 | 30,0 | — | — | 55×110 | 65×140 | — | 500 |
| 250 | S M | 75,0 90,0 | 75,0 90,0 | 45,0 55,0 | 37,0 45,0 | — — | — — | 65×140 | 75×140 | — | 500 |
| 280 | S M | 110 132 | 110 132 | 75,0 90,0 | 55,0 75,0 | — — | — — | 70×140 | 80×170 | — | 600 |
| 315 | S M | 160 200 | 160 200 | 110 132 | 90,0 110 | 55 75 | 45 55 | 75×140 | 90×170 | — | 600 |
| 355 | S M | 250 315 | 250 315 | 160 200 | 132 160 | 90 110 | 75 90 | 85×170 | 100× 210 | — | 740 |

* См. раздел «Исполнение электродвигателей по степени защиты».

5. Увязка мощностей с установочными размерами электродвигателей серии 4А со степенью защиты IP23*

| h, мм | Обозначение длины | P _н , кВт, при 2р, равном | | | | | | Размеры высту- пающего конца вала | | Тип фланца по рис. 6 |
|-------|----------------------|--------------------------------------|------|------|------|----|----|---|--------|-------------------------|
| | | 2 | 4 | 6 | 8 | 10 | 12 | d ₁ × l ₁ , мм | | |
| | | | | | | | | 2р=2 | 2р=4 | |
| 1 | 2 | 3 | 4 | 5 | 6 | 7 | 8 | 9 | 10 | 11 |
| 160 | S | 22 | 18,5 | 11 | 7,5 | — | — | 42×110 | 48×110 | 350 |
| | M | 30 | 22,0 | 15 | 11 | — | — | | | |
| 180 | S | 37 | 30 | 18,5 | 15,0 | — | — | 48×110 | 55×110 | 400 |
| | M | 45 | 37 | 22 | 18,5 | — | — | | | |
| 200 | M | 55 | 45 | 30 | 22 | — | — | 55×110 | 60×140 | 400 |
| | L | 75 | 55 | 37 | 30 | — | — | | | |
| 225 | M | 90 | 75 | 45 | 37 | — | — | 55×110 | 65×140 | 500 |
| 250 | S | 110 | 90 | 55 | 45 | — | — | 66×140 | 75×140 | 500 |
| | M | 132 | 110 | 75 | 55 | — | — | | | |
| 280 | S | 160 | 132 | 90 | 75 | — | — | 70×140 | 80×170 | 600 |
| | M | 200 | 160 | 110 | 90 | — | — | | | |

* См. раздел «Исполнение электродвигателей по степени защиты».

| 1 | 2 | 3 | 4 | 5 | 6 | 7 | 8 | 9 | 10 | 11 |
|-----|--------|------------|------------|------------|------------|------------|-----------|--------|-------------|-----|
| 315 | S M | — 250 | 200 250 | 132 160 | 110 132 | 75 90 | 55 75 | 75×140 | 90×170 | 600 |
| 355 | S M | 315 400 | 315 400 | 200 250 | 160 200 | 110 132 | 90 110 | 85×170 | 100× 210 | 740 |

ДИАПАЗОНЫ НАПРЯЖЕНИЙ, МОЩНОСТЕЙ И ЧАСТОТ ВРАЩЕНИЯ

По номинальному напряжению различают асинхронные электродвигатели низкого (низковольтные) и высокого (высоковольтные) напряжения. Асинхронные низковольтные электродвигатели предназначены для подключения к питающей сети с номинальным напряжением 220, 380 и 660 В, электродвигатели высоковольтные — к сети с номинальным напряжением 6000 или 10 000 В.

Асинхронные электродвигатели общего назначения низкого напряжения мощностью от 15 кВт и выше должны изготавливаться с шестью выводными концами обмотки статора. Схема соединения обмотки — треугольник — звезда. Электродвигатели мощностью до 11 кВт должны изготавливаться с тремя выводными концами. Схема соединения обмотки — треугольник — звезда.

У асинхронных электродвигателей высокого напряжения соединение фаз обмотки статора — звезда с выведенными во вводное устройство шестью концами, три из которых образуют нулевую точку.

В результате многолетней практики применения асинхронных электродвигателей в различных отраслях народного хозяйства, а также с учетом современных тенденций технического развития установлены определенные диапазоны мощностей при следующих напряжениях:

| | | | | |
|-------------|-----------|----------------|------------------|---------|
| U_n , В | 220 и 380 | 220, 380 и 660 | 220/380, 380/660 | 380/660 |
| P_n , кВт | 0,06—0,37 | 0,55—11 | 15—110 | 132—400 |

Для электродвигателей с $U_n = 6000$ В практикой электромашиностроения установлен нижний предел мощности 200 кВт, для электродвигателей с $U_n = 10\,000$ В — 630 кВт.

Для серийных электродвигателей с высотами оси вращения до 355 мм установлены синхронные частоты вращения 3000, 1500, 1000, 750, 600, 500 об/мин при 50 Гц.

ИСПОЛНЕНИЕ ЭЛЕКТРОДВИГАТЕЛЕЙ ПО СТЕПЕНИ ЗАЩИТЫ

Под защитой электрических машин подразумевается защита обслуживающего персонала от соприкосновения с токоведущими или вращающимися частями и защита машин от попадания внутрь твердых посторонних тел и воды.

Исполнение электрических машин по степени защиты установлено ГОСТ 1794—72. По ГОСТ 14254—69 обозначение исполнений состоит из латинских букв IP (International Protection) и двух цифр, первая из которых характеризует степень защиты персонала от соприкосновения с токоведущими или вращающимися частями, находящимися внутри машины, а также степень защиты самой машины от попадания в нее твердых посторонних тел. Вторая цифра характеризует степень защиты от проникновения воды.

Многолетняя практика разработки, выпуска и эксплуатации электродвигателей единых серий общего применения показала, что для такого рода машин вполне достаточно применение двух степеней защиты: IP23 и IP44. Первая из них характеризует машины в так называемом защищенном исполнении, вторая — в закрытом.

Для машин по степени защиты IP23 первая цифра характеризует защиту от возможности соприкосновения пальцев человека с токоведущими или движущимися частями внутри машины и защиту от попадания внутрь твердых посторонних тел диаметром не менее 12,5 мм; вторая цифра — защиту от дождя, падающего на машину под углом не более 60° к вертикали.

Для машин по степени защиты IP44 первая цифра характеризует защиту от соприкосновения инструмента, проволоки и других подобных предметов, толщина которых превышает 1 мм; вторая цифра — защиту от водяных брызг любого направления. При этом кожух наружного вентилятора должен обеспечивать степень защиты не менее IP20 на входе воздуха и защиту от соприкосновения пальцев с вращающимся вентилятором и попадания твердых посторонних тел диаметром более 50 мм — на выходе; при наличии продуваемого ротора степень защиты отверстия для прохода через ротор должна быть не менее IP23.

Асинхронные двигатели с высотами оси вращения до 132 мм выполняются со степенью защиты IP44; с высотами оси вращения свыше 132 мм — со степенью защиты IP23 и IP44.

Электродвигатели с высотами оси вращения свыше 355 мм могут иметь исполнение по степени защиты IP23.

ИСПОЛНЕНИЕ ЭЛЕКТРОДВИГАТЕЛЕЙ ПО СПОСОБАМ ОХЛАЖДЕНИЯ

Две наиболее широко применяемые в настоящее время степени защиты электрических машин — IP23 и IP44 связаны определенным образом с системами вентиляции и способами охлаждения.

Степень защиты IP23 характеризует непосредственное охлаждение внутренних частей машины воздухом, поступающим либо из окружающей среды, либо из другого источника через подводящую трубу или подводящий канал (при независимой вентиляции). Система вентиляции — радиальная.

Степень защиты IP44 для машин с самовентиляцией характеризует применение наружного обдува корпуса вентилятором с закрытым кожухом, направляющим воздух вдоль ребер или гладкой поверхности станины.

ГОСТ 20459—75 установлено обозначение способов охлаждения электрических машин, которое состоит из латинских букв IC (International Cooling) и характеристики цепи охлаждения: прописной буквы, обозначающей вид хладагента (воздух — А, водород — Н, вода — W и т. д.), и двух цифр. Первая цифра условно обозначает устройство цепи для циркуляции хладагента, вторая — способ его перемещения. Если хладагентом является воздух, то буква, обозначающая его, опускается. Если машина имеет две и более цепи охлаждения, то в обозначении указываются

6. Рекомендуемые способы охлаждения асинхронных электродвигателей в зависимости от исполнения по степени защиты и высоты оси вращения

| Исполнение по степени защиты | h, мм | Способ охлаждения |
|------------------------------|---------|-------------------|
| IP23 | 160—560 | IC01 |
| IP44 | 50—355 | IC0141 |
| IP44 | 400—630 | IC0151 |

Примечание. IC01 — защищенная машина с самовентиляцией, вентилятор расположен на валу машины; IC0141 — закрытая машина, обдуваемая наружным вентилятором; IC0151 — закрытая машина, имеющая корпус с трубами для прохода воздуха, с наружным и внутренним вентиляторами.

цифровые характеристики всех цепей, начиная с цепи со вторичным хладагентом (с более низкой температурой). Поэтому в обозначении машин с воздушным охлаждением после букв ИС могут следовать четыре цифры, две из которых (например, для закрытых машин) характеризуют внешнюю цепь охлаждения и две — внутреннюю (табл. 6).

ИСПОЛНЕНИЕ ЭЛЕКТРОДВИГАТЕЛЕЙ ПО СПОСОБАМ МОНТАЖА

Формы исполнения электродвигателей общего назначения по способу монтажа и их условные обозначения установлены ГОСТ 2479—65*. Буква и первые две цифры характеризуют вид машины, третья цифра — ее исполнение по способу монтажа:

М10 — на лапах с двумя подшипниковыми щитами;

М20 — на лапах с большим фланцем со стороны выступающего конца вала;

М21 — на лапах с малым фланцем со стороны выступающего конца вала;

М30 — без лап с большим фланцем со стороны выступающего конца вала;

М36 — без лап с малым фланцем со стороны выступающего конца вала;

М100 — для установки в любом положении;

М101 — для обычной установки с горизонтальным валом лапами вниз;

М102 — для крепления лапами к вертикальной поверхности концом вала вниз;

М103 — то же концом вала вверх;

М104 — для крепления лапами к потолку;

М105 — для крепления лапами к вертикальной поверхности, с горизонтальным положением вала, концом вала вправо;

М106 — то же концом вала влево.

Для обозначения формы выступающих концов вала и их числа (один или два) добавляются соответствующие буквы, приведенные в ГОСТ 2479—65, например, М101К — исполнение на лапах с двумя подшипниковыми щитами; крепление горизонтальными лапами вниз; с од-

* С 11.01.81 г. введен в действие ГОСТ 2479—79 (взамен ГОСТ 2479—65) «Условные обозначения конструктивных исполнений».

ним концом вала, форма конца вала коническая. При одном выступающем конце вала цилиндрической формы буквы в обозначение не добавляются.

В единых сериях электрических машин общего применения та или иная форма исполнения по способу монтажа зависит от размеров машины, ее принципиальной конструкции, степени защиты, высоты оси вращения и т. д.

ИСПОЛНЕНИЕ ЭЛЕКТРОДВИГАТЕЛЕЙ ПО ВОЗДЕЙСТВИЮ КЛИМАТИЧЕСКИХ ФАКТОРОВ

Надежность электродвигателей в большой степени зависит от того, насколько в их конструкции и исполнении предусмотрена способность противостоять воздействию климатических факторов внешней среды, в условиях которой электродвигатели должны эксплуатироваться.

Исполнение электродвигателей для различных климатических районов, их категории, условия эксплуатации, хранения и транспортирования при воздействии климатических факторов внешней среды установлены ГОСТ 15150—69 и 15543—70.

Электродвигатели для различных климатических районов имеют следующее обозначение:

| | |
|--|----|
| а) предназначенные для эксплуатации на суше, реках, озерах в макроклиматических районах: | |
| с умеренным климатом | У |
| с холодным климатом | ХЛ |
| с влажным тропическим климатом | ТВ |
| с сухим тропическим климатом | ТС |
| как с сухим, так и с влажным тропическим климатом | Т |
| для всех макроклиматических районов на суше (общеклиматическое исполнение) | О |
| б) предназначенные для всех макроклиматических районов на суше и на море | В |

Ниже приведены характеристика и обозначение категории климатических исполнений электродвигателей в зависимости от мест размещения их эксплуатации:

| | |
|--|---|
| для работы на открытом воздухе | 1 |
| для работы в помещениях, где колебания температуры и влажности воздуха несущественно отличаются от колебаний на открытом воздухе и имеется сравнительно свободный его доступ | 2 |

для работы в закрытых помещениях с естественной вентиляцией без искусственно регулируемых климатических условий, где колебания температуры и влажности воздуха, а также воздействие песка и пыли существенно меньше, чем на открытом воздухе

3

для работы в помещениях с искусственно регулируемыми климатическими условиями (например, в закрытых отапливаемых и вентилируемых производственных и других помещениях)

4

для работы в помещениях с повышенной влажностью (например, в неотапливаемых и невентилируемых подземных помещениях, в помещениях, в которых возможно длительное наличие воды или частая конденсация влаги на стенах и потолках)

5

Электродвигатели общего назначения при отсутствии особых требований должны обеспечивать работу в макроклиматических районах с умеренным климатом — исполнение У, категория размещения 3 и 4 (ГОСТ 15543—70 и 15150—69).

ЭЛЕМЕНТЫ КОНСТРУКЦИЙ ЭЛЕКТРОДВИГАТЕЛЕЙ

Независимо от типа электродвигателя (с короткозамкнутой или фазной обмоткой ротора) сердечники статора и ротора выполняют из листов электротехнической стали толщиной 0,5 мм (для машин небольшой мощности в ряде случаев толщиной 0,65 мм). Листы изолируют друг от друга либо оксидированием (для электродвигателей с высотами оси вращения $h \leq 250$ мм), либо лакировкой (для электродвигателей с большими высотами оси вращения), либо используют сталь с электроизоляционным покрытием.

Для изготовления сердечников статора и ротора наиболее прогрессивным является применение холоднокатаной изотропной электротехнической стали.

Для размещения обмотки листы сердечника статора штампуют с полузакрытыми, полуоткрытыми и открытыми пазами. При полузакрытых пазах обмотку выполняют выпуклой из проводов круглого поперечного сечения, при полуоткрытых и открытых пазах — из проводов прямоугольного поперечного сечения, в результате чего повышается коэффициент заполнения пазов медью.

Простейшим видом короткозамкнутой обмотки ротора является обмотка в форме беличьей клетки. Короткозамкнутые роторы электродвигателей общего применения вы-

полняют с овальными полузакрытыми или закрытыми, бу- тылочными закрытыми и прямоугольными закрытыми па- зами. Разнообразие конструктивных форм пазов связано с величиной номинального напряжения, высотой оси враще- ния и числом полюсов электродвигателей.

Обмотка роторов при $h \leq 355$ мм — литая алюми- ниевая; вместе со стержнями отливают короткозамыкающие кольца и вентиляционные лопасти. Обмотку роторов при $h = 400—560$ мм выполняют из прямоугольных шин, ко- торые укладывают в открытые пазы ротора и приваривают к алюминиевым короткозамыкающим кольцам.

Короткозамкнутые роторы электродвигателей с повышен- ным пусковым моментом выполняют с двойной беличьей клеткой, а также глубокопазными. В электродвигателях с повышенным скольжением короткозамкнутая обмотка ро- тора выполняется заливкой специальным алюминиевым сплавом.

В электродвигателях с фазным ротором листы сердечни- ка ротора штампуют с полузакрытыми пазами. В пазы укла- дывается обычно трехфазная обмотка, которая соединяется по схеме звезды или треугольника и выводится к трем кон- тактным кольцам, расположенным на валу электродвигате- ля. Контактные кольца с насаженными на них щетками служат для включения пускорегулирующего реостата.

В электродвигателях основного исполнения при $h \geq 280$ мм фазную обмотку ротора в виде двухслойной волно- вой выполняют из медных изолированных стержней пря- моугольного поперечного сечения.

Ответственным конструктивным элементом асинхрон- ных электродвигателей является зазор между статором и ротором. Величина зазора влияет на энергетические и ви- броакустические показатели, использование активных ма- териалов и надежность электродвигателей. При уменьшении зазора понижается реактивная составляющая тока холосто- го хода и, следовательно, повышается коэффициент мощности электродвигателя; вместе с тем увеличивается магнитное рассеяние, а следовательно, индуктивное сопротивление электродвигателя; увеличиваются добавочные потери, уменьшается фактический КПД электродвигателя и увели- чивается нагрев обмоток; увеличивается уровень шума и вибрации магнитного присоединения, возрастает нагрузка на вал и подшипники от силы магнитного притяжения; возникает опасность касания ротора о статор и тем самым

понижается надежность электродвигателя. В асинхронных электродвигателях величина воздушного зазора колеблется в пределах от 0,2 до 2 мм (см. табл. 40, 41).

Сердечник ротора насаживается непосредственно на вал электродвигателя. В сердечнике роторов с высотами оси вращения $h \geq 250$ мм предусматривается один ряд аксиальных круглых вентиляционных каналов для улучшения охлаждения электродвигателей, снижения их массы, уменьшения момента инерции.

По способу вентиляции машины делятся на следующие основные типы: с самовентиляцией, с наружной самовентиляцией, с независимым охлаждением.

Машины с самовентиляцией охлаждаются с помощью вентилятора, составляющего одно целое с вращающейся частью машины. Вентилятор засасывает извне холодный воздух и прогоняет его через машину. В зависимости от того, в каком направлении движется по машине охлаждающий воздух, различают следующие две вентиляционные схемы: радиальную и аксиальную (осевую).

Машины с наружной самовентиляцией охлаждаются при помощи вентилятора, вынесенного за подшипниковый щит. Чтобы ускорить передачу тепла от внутренних частей машины к ее наружной поверхности, воздух внутри машины заставляют циркулировать при помощи внутренних вентиляторов.

В машинах с независимым охлаждением воздух подводится при помощи независимого, т. е. имеющего собственный привод вентилятора.

Асинхронные электродвигатели изготавливаются с оболочками из алюминиевых сплавов, чугуна или сварными из стального проката и листовой стали.

В последних отечественных конструкциях электродвигателей наблюдается тенденция перехода от круглых внешних очертаний к прямоугольным. Электродвигатели такой формы лучше вписываются в интерьер производственных помещений, гармонируя с прямыми линиями колонн, перекрытий, мостовых кранов, станков и т. д. Подобная форма машин в ряде случаев позволяет существенно увеличить диаметр сердечника статора и лучше использовать внутренний объем машины при данной высоте оси вращения без сужения путей для охлаждения воздуха либо перейти на меньшую высоту оси вращения.

Перспективной является так называемая блочная кон-

струкция электродвигателей, при которой блоки механической и электрической частей изготавливаются независимо, на отдельных технологических потоках, и объединяются только при окончательной сборке машины. Блочная конструкция представляет широкие возможности для унификации деталей и сборочных единиц электродвигателей различных исполнений по степени защиты и способам охлаждения.

В отечественной практике последних лет применяется блочная конструкция асинхронных электродвигателей с прямоугольной формой внешних очертаний и с коробчатой станиной, охватывающей сердечник статора не по всей его окружности, а только в нижней части. Подобная конструкция реализована в следующих сериях асинхронных электродвигателей: низковольтных 4АН—4АНК при $h = 280—355$ мм и высоковольтных А2—АК2 и А02—А0К2 при $h = 450—560$ мм.

Для подключения асинхронного электродвигателя к электрической сети служит вводное устройство. Низковольтные электродвигатели общего назначения с $h = 250$ мм обычно имеют вводное устройство с панелью выводов и одним штуцером (исполнение К—3—I), а электродвигатели с $h = 280—355$ мм — с панелью выводов и двумя штуцерами (исполнение К—3—II). Штуцеры предназначены для подсоединения гибкого металлического рукава и кабелей с медными или алюминиевыми жилами в оболочке из резины или пластика.

У высоковольтных электродвигателей с $h = 400$ мм вводное устройство расположено сбоку станины. Панель имеет четыре изолятора, на которых крепятся выводы трех фаз обмотки и нулевой точки. К нулевой точке подводятся кабели всех трех фаз, что дает возможность при профилактических осмотрах и ремонтах разъединять фазы обмотки для проверки сопротивления изоляции и ее электрической прочности.

АСИНХРОННЫЙ ЭЛЕКТРОДВИГАТЕЛЬ — ОСНОВНОЙ ПОТРЕБИТЕЛЬ РЕАКТИВНОЙ МОЩНОСТИ

СОСТАВЛЯЮЩИЕ РЕАКТИВНОЙ МОЩНОСТИ АСИНХРОННОГО ЭЛЕКТРОДВИГАТЕЛЯ

На долю асинхронных электродвигателей приходится свыше 60 % всей реактивной мощности, потребляемой промышленными предприятиями.

Физическая сущность реактивной мощности, как мощности намагничивающей, наглядно иллюстрируется следующим выражением:

$$Q = c\Phi_m^2 f R_\mu = cB_m^2 f V / \mu = c_1 U^2 f V / \mu, \quad (1)$$

где c — постоянная величина; Φ_m — амплитуда переменного магнитного потока; B_m — амплитуда магнитной индукции; f — частота переменного тока; R_μ — магнитное сопротивление пути магнитного потока; μ — магнитная проницаемость цепи; V — объем магнитной цепи; U — напряжение питающей сети.

Анализ соотношения (1) показывает, что потребление реактивной мощности тем больше, чем больше магнитное сопротивление.

Наличие воздушного зазора между статором и ротором является главной причиной относительно большого потребления реактивной мощности. Поэтому на электромашиностроительных заводах асинхронные электродвигатели конструируют с минимально возможным воздушным зазором.

При данной частоте переменного тока и неизменной величине магнитного сопротивления R_μ реактивная мощность пропорциональна квадрату магнитной индукции или квадрату напряжения питающей сети. Так как в действительности магнитное сопротивление асинхронного электродвигателя не остается постоянным, а зависит от величины напряжения или магнитной индукции, то указанная в формуле (1) квадратичная пропорциональность не сохраняется. По некоторым данным, повышение напряжения на 1 % вызывает увеличение потребления реактивной мощности на 3 %.

Если напряжение неизменно, а частота тока f уменьшается, то это вызывает соответствующее увеличение магнитного потока Φ_m (и магнитной индукции B_m). При этом вследствие насыщения уменьшается магнитная проницаемость μ , а реактивная мощность заметно увеличивается. Практически можно считать, что при уменьшении частоты на 1 % реактивная мощность асинхронного электродвигателя увеличивается на 2 %.

При постоянных значениях U и f реактивная мощность пропорциональна объему магнитной цепи. В силу этого асинхронный электродвигатель закрытого типа с относительно большим объемом магнитной цепи потребляет из сети большую реактивную мощность, чем асинхронный электродвигатель той же мощности, но открытого типа. Этим же объясняется и тот факт, что тихоходный асинхронный электродвигатель потребляет из сети большую реактивную мощность, чем быстроходный той же мощности.

Реактивная мощность, потребляемая асинхронным электродвигателем при данной нагрузке, может быть представлена выражением:

$$Q = Q_0 + \Delta Q = Q_0 + (Q_n - Q_0) K_{нг}^2 = Q_0 + \Delta Q_n K_{нг}^2, \quad (2)$$

где Q_0 — реактивная мощность холостого хода электродвигателя; ΔQ — прирост потребления реактивной мощности при данной нагрузке электродвигателя; Q_n — реактивная мощность электродвигателя при номинальной нагрузке;

$$Q_n = P_n \operatorname{tg} \varphi_n / \eta_n; \quad (3)$$

ΔQ_n — прирост потребления реактивной мощности при номинальной нагрузке электродвигателя; $K_{нг}$ — коэффициент нагрузки электродвигателя:

$$K_{нг} = P \eta_n / P_n \eta \approx P / P_n;$$

P — мощность нагрузки на валу электродвигателя; P_n — номинальная мощность электродвигателя; η_n — номинальный КПД электродвигателя; η — КПД электродвигателя для данной нагрузки; $\operatorname{tg} \varphi_n$ — тангенс угла сдвига фаз, соответствующий номинальному коэффициенту мощности.

Основную роль в балансе реактивной мощности асинхронного электродвигателя играет первая составляющая выражения (2) Q_0 — реактивная мощность холостого хода (намагничивающая мощность), зависящая от объема магнитной цепи, т. е. от номинальной мощности и конструкции

электродвигателя. На ее долю приходится 60—90 % реактивной мощности электродвигателя при 100 %-ной нагрузке (единая серия асинхронных электродвигателей).

Вторая составляющая реактивной мощности ΔQ_n связана с потоками рассеяния. При нагрузках, не равных номинальным, прирост реактивной мощности ΔQ пропорционален квадрату коэффициента нагрузки электродвигателя, т. е. $\Delta Q = K_{нг}^2 \Delta Q_n$.

ОПРЕДЕЛЕНИЕ РЕАКТИВНОЙ МОЩНОСТИ И ТОКА ХОЛОСТОГО ХОДА ЭЛЕКТРОДВИГАТЕЛЯ

Данные нормальных значений реактивной мощности холостого хода необходимы производителям, осуществляющим эксплуатацию и ремонт асинхронных электродвигателей. Эти данные дают возможность правильно оценивать фактические показатели работы и техническое состояние электродвигателей, определить оптимальный коэффициент их нагрузки, решать такие задачи, как, например, изъятие избыточной мощности при замене незагруженных электродвигателей, эффективность применения ограничителей холостого хода, переключения со звезды на треугольник, построение рабочих характеристик электродвигателей. Электромашиностроительные заводы в своих каталогах не приводят этих данных.

Для восполнения этого пробела в ряде литературных источников приводятся способы определения реактивной мощности холостого хода асинхронных электродвигателей. Величина реактивной мощности холостого хода электродвигателей, для которых известны только значения P_n , η_n и $\cos \varphi_n$, может быть определена по формуле:

$$Q_0 = P_n m / \eta_n, \quad (4)$$

где m — расчетный параметр, определяемый при помощи графика (рис. 1), построенного для усредненных пусковых данных (кратностей пускового тока и момента, $\sin \varphi_{пуск}$), наиболее часто встречающихся на практике.

При наличии каталожных данных — значений КПД и коэффициента мощности при частичных нагрузках электродвигателя, например, для серии 4А, величина Q_0 может быть определена применительно к конкретному типу электродвигателя:

$$Q_0 = (Q - K_{нг}^2 Q_n) / (1 - K_{нг}^2), \quad (5)$$

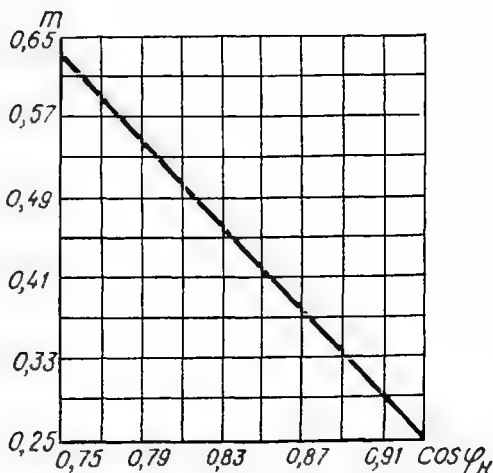


Рис. 1. Зависимость расчетного параметра m от номинального коэффициента мощности асинхронного электродвигателя

где Q — реактивная мощность асинхронного электродвигателя при частичной нагрузке (данном $K_{нг}$);

$$Q = K_{нг} P_n \operatorname{tg} \varphi / \eta; \quad (6)$$

η — КПД электродвигателя при данном $K_{нг}$; $\operatorname{tg} \varphi$ — тангенс угла сдвига фаз, соответствующий коэффициенту мощности при данном $K_{нг}$.

Зная величину Q_0 , можно определить ток холостого хода, который с небольшой погрешностью принимают равным намагничивающему току

$$I_0 \approx Q_0 / \sqrt{3} U_n. \quad (7)$$

Пример 1. Определить реактивную мощность и ток холостого хода асинхронного электродвигателя типа 4A100S2УЗ, исходя из следующих данных: $P_n = 4$ кВт; $U_n = 380$ В; $I_n = 7,8$ А; $\eta_n = 86,5$ %; $\cos \varphi_n = 0,89$. Значения КПД и $\cos \varphi$ при частичных нагрузках по данным каталога (01. 01. 63—77. Двигатели асинхронные трехфазного тока единой серии 4А мощностью от 0,6 до 400 кВт):

| | | | | | |
|----------------|------|------|------|------|------|
| $K_{нг}$ | 0,25 | 0,5 | 0,75 | 1,0 | 1,25 |
| η , % | 80 | 86 | 87 | 86,5 | 85 |
| $\cos \varphi$ | 0,60 | 0,80 | 0,86 | 0,89 | 0,90 |

Примем $K_{нг} = 0,5$, тогда:

$$Q_n = P_n \operatorname{tg} \varphi_n / \eta_n = 4 \cdot 0,511 / 0,865 = 2,36 \text{ квар};$$

$$Q = K_{нг} P_n \operatorname{tg} \varphi / \eta = 0,5 \cdot 4 \cdot 0,75 / 0,86 = 1,74 \text{ квар};$$

$$Q_0 = (Q - K_{нг}^2 Q_n) / (1 - K_{нг}^2) = (1,74 - 0,5^2 \cdot 2,36) / (1 - 0,5^2) = 1,53 \text{ квар};$$

$$I_0 = Q_0 / \sqrt{3} U_n = 1,53 \cdot 10^3 / \sqrt{3} \cdot 380 = 2,32 \text{ А, или в относительных единицах } I_0 / I_n = 2,32 / 7,8 = 0,297 \text{ (примерно 30 \%)}.$$

Используя выражение (4) и график на рис. 1, получим:

$$Q_0 = P_n \tan \varphi_n = 4 \cdot 0,34 / 0,865 = 1,57 \text{ квар},$$

т. е. расхождение составляет около 3 % по сравнению с методом каталожных данных.

Метод каталожных данных применим для асинхронных электродвигателей любого исполнения (как для короткозамкнутых, так и с фазным ротором), а метод с использованием соотношения (4) — только для асинхронных короткозамкнутых электродвигателей нормального исполнения.

ОПРЕДЕЛЕНИЕ ОПТИМАЛЬНОГО КОЭФФИЦИЕНТА НАГРУЗКИ ЭЛЕКТРОДВИГАТЕЛЯ

В практике использования асинхронных электродвигателей определение наивыгоднейшего коэффициента их нагрузки весьма актуально, так как он характеризует КПД и коэффициент мощности двигателя.

Зависимость КПД от коэффициента нагрузки может быть представлена в виде:

$$\eta = K_{нг} P_n / (K_{нг} P_n + \Delta p),$$

где Δp — суммарные потери активной мощности в электродвигателе;

$$\Delta p = \Delta p_0 + \Delta p_{нг} = \Delta p_0 + K_{нг}^2 \Delta p_{н.нг} \text{ или } \Delta p =$$

$$P_n \left(\frac{1 - \eta_n}{\eta_n} \right) \left(\frac{a + K_{нг}^2}{a + 1} \right); \quad (8)$$

Δp_0 — потери холостого хода; $\Delta p_{нг}$ — суммарные нагрузочные потери при данном $K_{нг}$; $\Delta p_{н.нг}$ — номинальные нагрузочные потери; $a = \Delta p_0 / \Delta p_{н.нг}$ — расчетный коэффициент, зависящий от конструкции электродвигателя и определяемый по данным каталога (см. пример 1); приближенное значение коэффициента a может быть получено из следующего равенства:

$$a = \Delta p_0, \% / (1 - \eta_n, \%) - \Delta p_0, \%$$

Потери холостого хода Δp_0 можно определить по данным каталога, если известна зависимость η ($K_{нг}$):

$$\Delta p_0 = (\Delta p - K_{нг}^2 \Delta p_n) / (1 - K_{нг}^2); \quad \Delta p = K_{нг} P_n / \eta - K_{нг} P_n; \\ \Delta p_n = P_n / \eta_n - P_n. \quad (9)$$

Для нахождения Δp_0 по формуле (9) необходимо иметь значения КПД электродвигателя при частичных нагрузках. Такие данные приводятся в каталогах для единых серий асинхронных электродвигателей.

Пример 2. Определить потери холостого хода Δp_0 в асинхронном электродвигателе, данные которого приведены в примере 1.

Номинальные потери в электродвигателе составят:

$$\Delta p_n = P_n / \eta_n - P_n = 4 / 0,865 - 4 = 0,62 \text{ кВт.}$$

Потери при $K_{нг} = 0,5$, тогда

$$\Delta p = K_{нг} P_n / \eta - K_{нг} P_n = 0,5 \cdot 4 / 0,86 - 0,5 \cdot 4 = 0,3 \text{ кВт.}$$

Потери холостого хода по формуле (9)

$$\Delta p_0 = (\Delta p - K_{нг}^2 \Delta p_n) / (1 - K_{нг}^2) = (0,3 - 0,5^2 \cdot 0,62) / (1 - 0,5^2) = 0,19 \text{ кВт.}$$

Номинальные нагрузочные потери

$$\Delta p_{н.нг} = \Delta p_n - \Delta p_0 = 0,62 - 0,19 = 0,43 \text{ кВт.}$$

$$\text{Расчетный коэффициент } a = \Delta p_0 / \Delta p_{н.нг} = 0,19 / 0,43 = 0,44.$$

Коэффициент нагрузки электродвигателя, при котором КПД достигает своего максимального значения, определяется, как известно, из выражения $K'_{нг.опт} = \sqrt{a}$.

Для электродвигателя из примера 1 оптимальный коэффициент нагрузки $K'_{нг.опт} = \sqrt{a} = \sqrt{0,44} = 0,68 \approx 0,7$.

В приведенных расчетах учитывались потери активной мощности только в самом электродвигателе. Учет же потерь в энергосистеме, обусловленных реактивной нагрузкой электродвигателя, производится с помощью коэффициента потерь K_Σ , который выражается в кВт/квар (табл. 7).

Суммарные потери активной мощности в электродвигателе и в энергосистеме от реактивной нагрузки электродвигателя могут быть определены по формуле:

$$\Delta p_{\text{сум}} = \Delta p + K_\Sigma Q = \Delta p_0 + K_{нг}^2 \Delta p_{н.нг} + K_\Sigma [Q_0 (1 - K_{нг}^2) + K_{нг}^2 Q_n]. \quad (10)$$

Оптимальный с чисто энергетической точки зрения коэффициент нагрузки электродвигателя примет вид равенства:

$$K_{нг.опт} = \sqrt{\frac{\Delta p_0 + K_\Sigma Q_0}{\Delta p_{н.нг} + K_\Sigma (Q_n - Q_0)}}. \quad (11)$$

7. Значения коэффициента потерь

| Характеристика трансформаторов и системы электроснабжения | K_3 , кВт/квар | |
|---|--------------------------------|-------------------------------|
| | в часы максимума энергосистемы | в часы минимума энергосистемы |
| Трансформаторы, питающиеся непосредственно от шин электростанций | 0,02 | 0,02 |
| Сетевые трансформаторы, питающиеся от электростанций на генераторном напряжении | 0,07 | 0,04 |
| Понижающие трансформаторы, питающиеся от районных сетей: | | |
| 110/35/10 кВ | 0,1 | 0,05 |
| 10—6/0,4 кВ | 0,15 | 0,1 |

Возвращаясь к примеру 1 и приняв $K_3 = 0,15$ кВт/квар, найдем оптимальный коэффициент нагрузки электродвигателя с учетом суммарных потерь активной мощности:

$$K_{\text{опт}} = \sqrt{\frac{\Delta P_0 + K_3 Q_0}{\Delta P_{\text{д.в.}} + K_3 (Q_{\text{д.в.}} - Q_0)}} =$$

$$= \sqrt{\frac{0,19 + 0,15 \cdot 1,53}{0,43 + 0,15 (2,36 - 1,53)}} = \sqrt{0,75} = 0,87.$$

Таким образом, приведенные расчеты показывают, что если не учитывать влияния потребляемой реактивной мощности на величину суммарных потерь активной мощности, т. е. для $K_3 = 0$ (что было бы неправильным), то оптимальные коэффициенты нагрузки окажутся намного заниженными.

Анализ уравнения (11) показывает также, что оптимальный коэффициент нагрузки при всех прочих равных условиях тем больше, чем больше реактивная мощность холостого хода и коэффициент потерь.

СНИЖЕНИЕ РЕАКТИВНЫХ НАГРУЗОК ЭЛЕКТРОДВИГАТЕЛЕЙ ПУТЕМ УЛУЧШЕНИЯ РЕЖИМОВ РАБОТЫ ОБОРУДОВАНИЯ

Правильный подбор номинальной мощности электродвигателей

В процессе эксплуатации асинхронных электродвигателей важно приближение средних коэффициентов нагрузки к оптимальным. Это позволяет уменьшить удельный расход электроэнергии на единицу продукции, повысить коэф-

фициент использования рабочих машин и их производительность.

В целях повышения рентабельности работы асинхронных электродвигателей и приближения их нагрузочного режима к наивыгоднейшему необходимо знать фактический коэффициент нагрузки эксплуатируемых электродвигателей. Этот коэффициент можно установить путем определения нагрузки на валу электродвигателя по показаниям амперметра. В условиях нормального режима работы машины определяется средний расчетный ток нагрузки $I_{\text{ср}}$, после чего, зная номинальный (паспортный) ток электродвигателя I_n и номинальный коэффициент мощности, можно определить по кривым (рис. 2) коэффициент нагрузки электродвигателя.

Кривые практически охватывают весь диапазон номинальных коэффициентов мощности. Если же величина коэффициента мощности проверяемого электродвигателя не совпадает ни с одним из значений $\cos \varphi_n$, то средний фактический коэффициент нагрузки данного электродвигателя подбирают в промежуточном поле между двумя наиболее близкими кривыми на рис. 2.

При определении среднего тока нагрузки следует учитывать особенности нагрузочных графиков рабочих машин и механизмов. Обобщая эти графики, можно выделить четыре характерные группы машин:

1) с относительно равномерным нагрузочным током электродвигателя (вентиляторы, центробежные насосы, компрессоры, транспортеры непрерывного действия и др.);

2) с периодически повторяющейся (циклической) нагрузкой (станки-автоматы, различные прессы, молоты, штампы, долбежные и дыропробивные станки, ножовочные пилы и др.);

3) с циклической нагрузкой, у которых в периоды пауз (вспомогательного времени) производится отключение электродвигателей от питающей сети (сверлильные, фрезерные, мелкие и средние токарные станки и др.);

4) с непериодическим и неравномерным нагрузочным током электродвигателя, например, универсальные металлорежущие станки и др.

При снятии графиков нагрузки с помощью амперметра необходимо проверять напряжение сети, и если ток замеряется при напряжении, заметно отличном от номинального, то в расчеты следует внести соответствующую поправку (рис. 3).

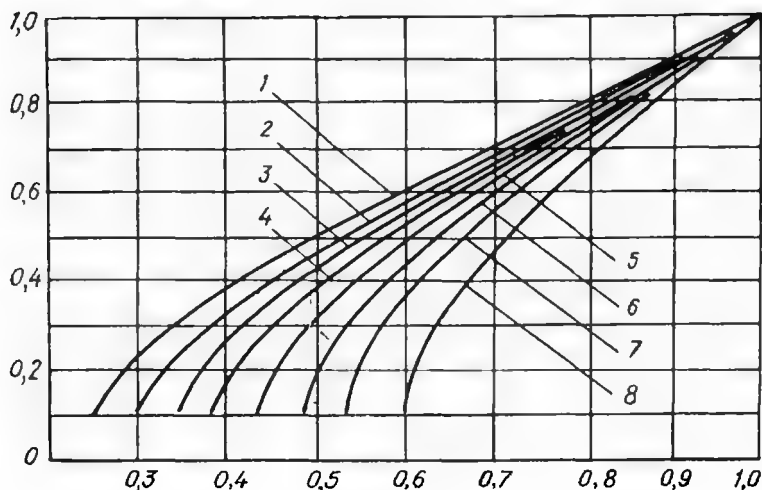


Рис. 2. Кривые для определения среднего и среднеквадратичного коэффициентов нагрузки асинхронных электродвигателей при различных значениях:

1 — для $\cos \varphi_N = 0,92$, 2 — 0,89, 3 — 0,86; 4 — 0,83; 5 — 0,79, 6 — 0,76; 7 — 0,73; 8 — 0,69. по вертикальной оси откладываются значения $K_{\text{нп}} = P_{\text{ск}}/P_{\text{н}}$ или $K_{\text{нп}} = P/P_{\text{н}}$, по горизонтальной — значения $K_I = I_{\text{ср}}/I_{\text{н}}$ или $K_{\text{Iск}} = I_{\text{ск}}/I_{\text{н}}$

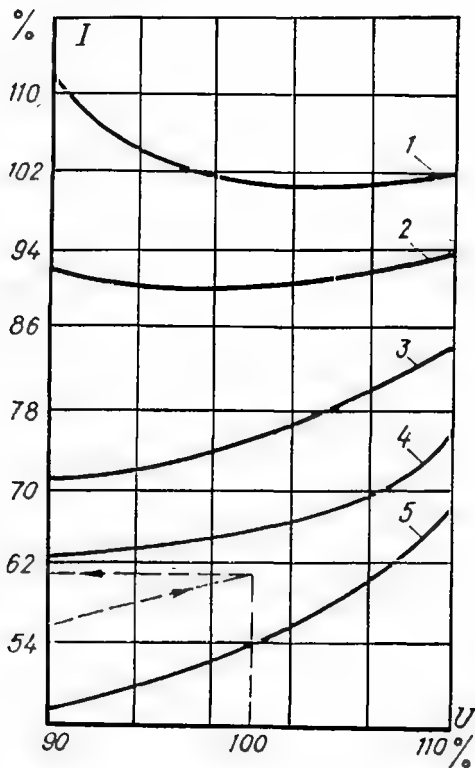


Рис. 3. Кривые для приведения относительного тока к номинальному напряжению:

1 — относительный ток $I/I_{\text{н}} = 100\%$ при $U = U_{\text{н}}$; 2 — то же 90% при $U = U_{\text{н}}$; 3 — то же 75% при $U = U_{\text{н}}$; 4 — то же 65% при $U = U_{\text{н}}$; 5 — то же 55% при $U = U_{\text{н}}$

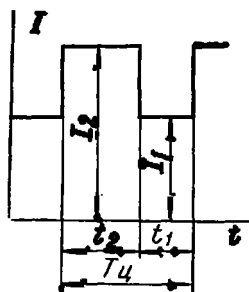


Рис. 4. График нагрузочного тока электродвигателя при циклическом режиме нагрузки

Пример 3. Асинхронный электродвигатель типа 4А132М4УЗ, $P_n = 11$ кВт, $U_n = 380$ В, $I_n = 22$ А, $\cos \varphi_n = 0,87$ приводит в движение центробежный насос. Определить мощность на валу электродвигателя.

Так как режим работы центробежного насоса характеризуется неизменной производительностью, то расчетный ток I_{cp} может быть определен по одному-двум замерам тока статора. Пусть этот ток составляет 12,3 А при напряжении 342 В.

Относительный нагрузочный ток составляет $(12,3/22) 100 = 56\%$ при относительном напряжении $(342/380) 100 = 90\%$. Приведем полученное значение тока к 100 % напряжения, пользуясь кривыми на рис. 3 (показано пунктиром). Приведенный относительный ток равен приблизительно 60 %, т. е. $K_t = I_{cp}/I_n = 0,6$.

Тогда в промежуточном поле между кривыми 2 и 3 на рис. 2 (для $\cos \varphi_n = 0,87$) находим для $K_t = 0,6$ коэффициент нагрузки электродвигателя $K_{нг} = 0,55$.

Следовательно, мощность на валу электродвигателя составляет:

$$P = K_{нг} P_n = 0,55 \cdot 11 \approx 0,6 \text{ кВт.}$$

Пример 4. Механизм, имеющий циклический график нагрузки (рис. 4), приводится в движение асинхронным электродвигателем типа 4АС160S8УЗ, $P_n = 9$ кВт, $U_n = 380$ В, $I_n = 21$ А, $\cos \varphi_n = 0,8$. Определить средний коэффициент нагрузки электродвигателя при следующих параметрах графика: $I_1 = 9,2$ А, $I_2 = 18$ А, $t_1 = 8$ с, $t_2 = 10$ с, $T_{ц} = t_1 + t_2 = 8 + 10 = 18$ с.

Средний расчетный ток

$$I_{cp} = \frac{I_1 t_1 + I_2 t_2 + \dots}{T_{ц}} = \frac{9,2 \cdot 8 + 18 \cdot 10}{18} = \frac{253,6}{18} = 14 \text{ А.}$$

В промежуточном поле между кривыми 4 и 5 находим, что при $K_t = I_{cp}/I_n = 14/21 = 0,66$ средний коэффициент нагрузки электродвигателя $K_{нг} = 0,55$. Следовательно, средняя нагрузка на валу электродвигателя $P = K_{нг} P_n = 0,55 \cdot 9 = 4,68$ кВт.

Пример 5. Металлорежущий станок, снабженный ограничителем холостого хода при циклическом графике нагрузки, приводится в движение асинхронным электродвигателем 4А132М4УЗ, $P_n = 11$ кВт, $U_n = 380$ В, $I_n = 22$ А, $n_n = 1460$ об/мин ($S_n = 2,66\%$), $\cos \varphi_n = 0,87$. Определить средний коэффициент нагрузки электродвигателя при следующих параметрах нагрузочного графика (рис. 5): $I_1 = 15$ А (при $U_n = 380$ В), $I_2 = 10$ А (при $U_n = 380$ В), $t_1 = 10$ с, $t_2 = 20$ с, длительность включения $t_{в} = t_1 + t_2 = 10 + 20 = 30$ с, паузы $t_0 = 30$ с, цикла $T_{ц} = t_{в} + t_0 = 30 + 30 = 60$ с, относительная продол-

Рис. 5. График нагрузочного тока электропривода при циклическом режиме нагрузки и наличии ограничителя холостого хода

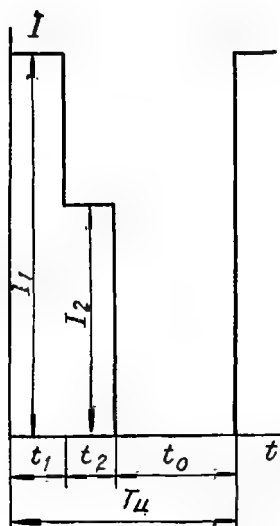
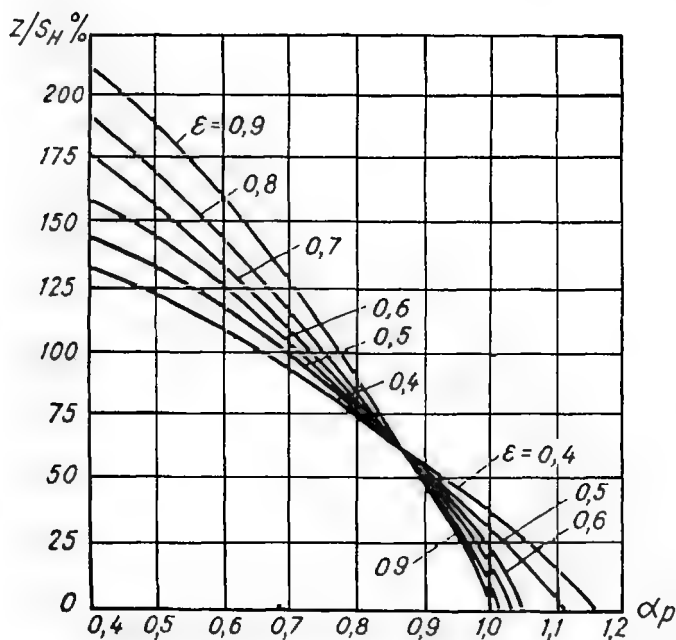


Рис. 6. Кривые z/S_H % при различных значениях относительной продолжительности включения



жительность включения $\varepsilon = t_{\text{в}}/T_{\text{н}} = 30/60 = 0,5$, число включений электродвигателя в час $z = 3600/T_{\text{н}} = 3600/60 = 60$.

Средний расчетный ток нагрузки электродвигателя, автоматически отключаемого на период паузы, определяется из выражения:

$$I_{\text{ср}} = \frac{I_1 t_1 + I_2 t_2 + \dots}{(t_1 + t_2) \alpha_p} = \frac{15 \cdot 10 + 10 \cdot 20}{(10 + 20) 1,05} \approx 11 \text{ A},$$

где α_p — коэффициент, зависящий от числа включений в час z , номинального скольжения $s_{\text{н}} \%$ и относительной продолжительности включения ε ; этот коэффициент определяется по кривым на рис. 6.

В данном случае для $\varepsilon = 0,5$ и $z/S_{\text{н}} \% = 60/2,66$ коэффициент $\alpha_p = 1,05$.

В промежуточном поле между кривыми 4 и 5 на рис. 2 находим, что при $K_I = I_{\text{ср}}/I_{\text{н}} = 11/22 = 0,5$ средний коэффициент нагрузки электродвигателя $K_{\text{нг}} = 0,48$. Следовательно, средняя нагрузка на валу электродвигателя $P = K_{\text{нг}} P_{\text{н}} = 0,48 \cdot 11 = 5,3 \text{ кВт}$.

Пример 6. Универсальный токарный станок, имеющий непериодический и неравномерный график нагрузки, приводится в движение асинхронным электродвигателем типа 4АН160М4УЗ, $P_{\text{н}} = 22 \text{ кВт}$, $U_{\text{н}} = 380 \text{ В}$, $I_{\text{н}} = 42,2 \text{ А}$, $n_{\text{н}} = 1458 \text{ об/мин}$, $\cos \varphi_{\text{н}} = 0,88$. Определить мощность на валу электродвигателя.

В связи с переменным характером нагрузки подобных станков необходимо в условиях характерного режима станка выявить часовой график нагрузочного тока.

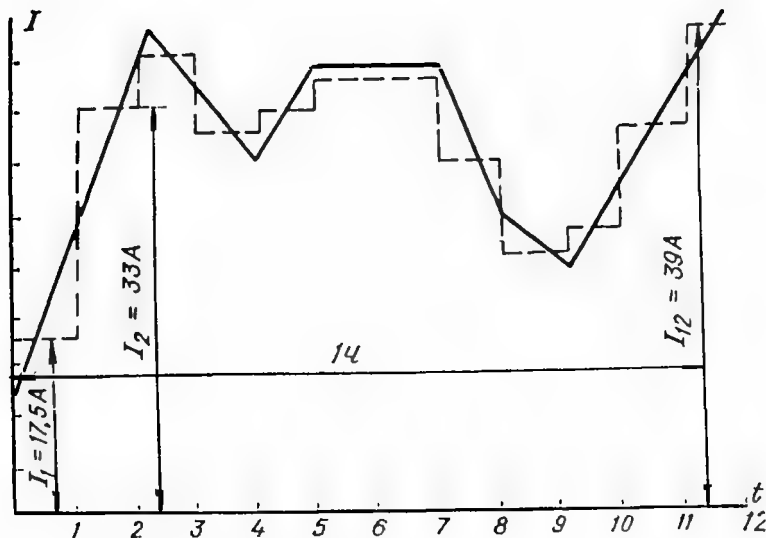


Рис. 7. График нагрузочного тока электропривода при непериодическом и неравномерном режиме нагрузки

Средний расчетный ток нагрузки электродвигателя определяется на основе расчетного графика, перестроенного соответственно пунктирной линии на рис. 7, из выражения

$$I_{\text{ср}} = \frac{I_1 + I_2 + \dots + I_{12}}{12} = \frac{17,5 + 33 + 38 + 32 + 34 + 38 + 38 + 31 + 20,5 + 23 + 32 + 39}{12} = 31,3 \text{ А.}$$

Определив затем $K_i = I_{\text{ср}}/I_{\text{н}} = 31,3/42,2 = 0,73$, находим в промежуточном поле между кривыми 2 и 3 на рис. 7 (для $\cos \varphi_{\text{н}} = 0,88$) искомый коэффициент нагрузки электродвигателя $K_{\text{нг}} = 0,73$. Следовательно, средняя нагрузка на валу электродвигателя $P = K_{\text{нг}} \times P_{\text{н}} = 0,73 \cdot 22 = 16,06 \text{ кВт}$.

Определение целесообразности замены незагруженных электродвигателей

Если средняя нагрузка электродвигателя не превышает 45 % номинальной мощности, то замена его менее мощным всегда целесообразна и проверка на рентабельность не требуется. При нагрузке электродвигателя более 70 % номинальной мощности можно считать, что замена его нецелесообразна.

При нагрузке электродвигателя в пределах 45—70 % номинальной мощности замена целесообразна при уменьшении суммарных потерь активной мощности в энергосистеме и в электродвигателе. Эти потери могут быть определены по формуле (10).

Пример 7. Электродвигатель типа 4А250М4УЗ, $P_{\text{н}} = 90 \text{ кВт}$, $U_{\text{н}} = 380 \text{ В}$, $n_{\text{н}} = 1480 \text{ об/мин}$, $\eta_{\text{н}} = 93 \%$, $\cos \varphi_{\text{н}} = 0,91$, $Q_0 = 22 \text{ квар}$, $Q_{\text{н}} = 44 \text{ квар}$, $\Delta p_0 = 2,5 \text{ кВт}$, $\Delta p_{\text{н.нг}} = 3,2 \text{ кВт}$ работает с нагрузкой на валу $P = 50 \text{ кВт}$.

Коэффициент повышения потерь в данном пункте энергосистемы $K_3 = 0,15 \text{ кВт/квар}$.

Фактический коэффициент нагрузки электродвигателя

$$K_{\text{нг}} = P/P_{\text{н}} = 50/90 = 0,55.$$

Оптимальный коэффициент нагрузки

$$K_{\text{нг.опт}} = \sqrt{\frac{\Delta p_0 + K_3 Q_0}{\Delta p_{\text{н.нг}} + K_3 (Q_{\text{н}} - Q_0)}} = \sqrt{\frac{2,5 + 0,15 \cdot 22}{3,2 + 0,15 (44 - 22)}} = 0,94,$$

т. е. примерно вдвое больше фактического. Поэтому решено заменить указанный электродвигатель.

Представляется целесообразным рассмотреть два варианта: замена электродвигателем 4A250S4Y3, $P_H = 75$ кВт, $n_H = 1480$ об/мин, $\eta_H = 0,93\%$, $\cos \varphi_H = 0,9$, $Q_0 = 19,6$ квар, $\Delta p_0 = 2,7$ кВт, $\Delta p_{H,нг} = 2,9$ кВт, $Q_H = 38,7$ квар;

замена электродвигателем 4A225M4Y3, $P_H = 55$ кВт, $n_H = 1480$ об/мин, $\eta_H = 92,5\%$, $\cos \varphi_H = 0,9$, $Q_0 = 16,2$ квар, $\Delta p_0 = 1,5$ кВт, $\Delta p_{H,нг} = 2,1$ кВт, $Q_H = 28,5$ квар.

Суммарные потери активной мощности в энергосистеме, обусловленные работой электродвигателя $P_H = 90$ кВт при $K_{нг} = 0,55$, определяются равенством:

$$\Delta p_{\text{сум}} = \Delta p_0 + K_{нг}^2 \Delta p_{H,нг} + K_{\Sigma} [(1 - K_{нг}^2) Q_0 + K_{нг}^2 Q_H] = \\ = 2,5 + 0,55^2 \cdot 3,2 + 0,15 [(1 - 0,55^2) 22 + 0,55^2 \cdot 44] = \\ = 7,8 \text{ кВт.}$$

Аналогично определяются суммарные потери активной мощности в энергосистеме $\Delta p_{\text{сум}1}$ при работе электродвигателя $P_H = 75$ кВт с $K_{нг} = 50/75 = 0,67$ и потери $\Delta p_{\text{сум}2}$ при работе электродвигателя с $K_{нг} = 50/55 = 0,91$:

$$\Delta p_{\text{сум}1} = 2,7 + 0,67^2 \cdot 2,9 + 0,15 [19,6(1 - 0,67^2) + 0,67^2 \cdot 38,7] = \\ = 8,2 \text{ кВт;}$$

$$\Delta p_{\text{сум}2} = 1,5 + 0,91^2 \cdot 2,1 + 0,15 [16,2(1 - 0,91^2) + 0,91^2 \cdot 28,5] = \\ = 7 \text{ кВт.}$$

Таким образом, целесообразен второй вариант, так как при замене электродвигателем $P_H = 55$ кВт снижение потерь активной мощности составляет $(7,8 - 7,0)/7,8 = 0,102$, или 10,2 %.

Замена незагруженных электродвигателей, даже если целесообразность ее подтверждена расчетом, может производиться только после тщательной проверки их соответствия режиму работы производственного механизма.

Переключение недогруженных электродвигателей с треугольника на звезду

Практика показывает, что замена малозагруженных асинхронных электродвигателей не всегда возможна, что обусловлено как конструктивными (электродвигателей, встроенных в рабочие машины, или специальных конструкций), так и производственными особенностями (в связи с относительно частой переналадкой оборудования — при изменении технологического процесса, ассортимента обрабатываемых изделий и т. п.).

В электрических сетях напряжением до 1000 В, где асинхронные электродвигатели, работающие с коэффициентом

нагрузки не выше 35—40 %, нормально включены по схеме треугольника, эффективным является переключение их на звезду.

Ввиду уменьшения максимального вращающего момента электродвигателя в три раза при переключении необходимо производить проверку по условию устойчивости нагрузки электродвигателя $K_{нг. пр} = \lambda/4,5$, где $\lambda = M_{\max}/M_n$ — кратность максимального момента электродвигателя (принимается по каталогу).

Для определения эффективности переключения можно использовать данные табл. 8.

8. Данные эффективности переключения электродвигателя с треугольника на звезду

| $\cos \varphi_n$ | Отношение $\cos \varphi_{\gamma} / \cos \varphi_{\Delta}$ при коэффициенте нагрузки $K_{нг}$ | | | | | | | | |
|------------------|--|------|------|------|------|------|------|------|------|
| | 0,10 | 0,15 | 0,20 | 0,25 | 0,30 | 0,35 | 0,40 | 0,45 | 0,50 |
| 0,78 | 1,94 | 1,87 | 1,80 | 1,72 | 1,64 | 1,56 | 1,49 | 1,42 | 1,35 |
| 0,79 | 1,90 | 1,83 | 1,76 | 1,68 | 1,60 | 1,53 | 1,46 | 1,39 | 1,32 |
| 0,80 | 1,86 | 1,80 | 1,73 | 1,65 | 1,58 | 1,50 | 1,43 | 1,37 | 1,30 |
| 0,81 | 1,82 | 1,76 | 1,70 | 1,62 | 1,55 | 1,47 | 1,40 | 1,34 | 1,28 |
| 0,82 | 1,78 | 1,72 | 1,67 | 1,59 | 1,52 | 1,44 | 1,37 | 1,31 | 1,26 |
| 0,83 | 1,75 | 1,69 | 1,64 | 1,56 | 1,49 | 1,41 | 1,35 | 1,29 | 1,24 |
| 0,84 | 1,72 | 1,66 | 1,61 | 1,53 | 1,46 | 1,38 | 1,32 | 1,26 | 1,22 |
| 0,85 | 1,69 | 1,63 | 1,58 | 1,50 | 1,44 | 1,36 | 1,30 | 1,24 | 1,20 |
| 0,86 | 1,66 | 1,60 | 1,55 | 1,47 | 1,41 | 1,34 | 1,27 | 1,22 | 1,18 |
| 0,87 | 1,63 | 1,57 | 1,52 | 1,44 | 1,38 | 1,31 | 1,24 | 1,20 | 1,16 |
| 0,88 | 1,60 | 1,54 | 1,49 | 1,41 | 1,35 | 1,28 | 1,22 | 1,18 | 1,14 |
| 0,89 | 1,57 | 1,51 | 1,46 | 1,38 | 1,32 | 1,25 | 1,19 | 1,16 | 1,12 |
| 0,90 | 1,57 | 1,48 | 1,43 | 1,35 | 1,29 | 1,22 | 1,17 | 1,14 | 1,10 |
| 0,91 | 1,54 | 1,44 | 1,40 | 1,32 | 1,26 | 1,19 | 1,14 | 1,11 | 1,08 |
| 0,92 | 1,50 | 1,40 | 1,36 | 1,28 | 1,23 | 1,16 | 1,11 | 1,08 | 1,06 |

Продолжение табл. 8

| $K_{нг}$ | 0,10 | 0,15 | 0,20 | 0,25 | 0,30 | 0,35 | 0,40 | 0,45 | 0,50 |
|---------------------------------|------|------|------|------|------|------|------|-------|------|
| $\eta_{\gamma} / \eta_{\Delta}$ | 1,27 | 1,14 | 1,10 | 1,06 | 1,04 | 1,02 | 1,01 | 1,005 | 1,00 |

Пример 8. Асинхронный электродвигатель типа 4А160S4УЗ на 380/660 В, работающий от сети 380 В при коэффициенте нагрузки $K_{нг} = 0,25$, переключен на звезду.

Каталожные данные электродвигателя: $P_n = 15$ кВт, $\eta_n = 88,5$ %, $\eta_{0,25} = 86$ %, $\cos \varphi_n = 0,88$, $\cos \varphi_{0,25} = 0,63$, $\lambda = M_{\max}/M_n = 2,3$.

При переключении на звезду эксплуатационный КПД согласно данным табл. 8 повысится до величины $\eta_{\gamma} = 1,06 \cdot 0,86 = 0,933$, а эксплуатационный $\cos \varphi$ согласно таблице — $\cos \varphi_{\gamma} = 1,41 \cdot 0,63 = 0,9$.

Таким образом, потери активной мощности в электродвигателе уменьшатся на $0,25 \cdot 15 [1 (0,86 - 1) 0,933] = 0,375$ кВт, или на 5,7 %, а потребление реактивной мощности — на $[0,25 \cdot 15 / 0,86] 1,23 - [0,25 \cdot 15 / 0,933] 0,48 = 3,43$ квар, или на 64 %.

Приведенный пример показывает, какого существенного снижения потерь активной и реактивной мощности можно достичь при переключении резко недогруженного асинхронного электродвигателя с треугольника на звезду.

Установка

автоматических ограничителей холостого хода

Установка ограничителей холостого хода на станках, имеющих межоперационное время (время холостого хода) 10 с и более, всегда приводит к экономии электроэнергии.

Размер экономии и экономическую целесообразность применения ограничителей холостого хода можно определить с помощью диаграммы, приведенной на рис. 8. Предварительно необходимо иметь следующие данные: средние потери мощности в системе электропривода за период вспомогательного времени (путем замера нагрузки привода в режиме холостого хода) P_0 ; номинальную мощность электродвигателя P_n ; продолжительность вспомогательного времени $T_{всп}$; число циклов в час z ; номинальный коэффициент мощности электродвигателя $\cos \varphi_n$. По этим данным определяются параметры диаграмм a , b (рис. 8, a) и c (рис. 8, b), где $a = P_0 / P_n$; $b = 1/4 T_{всп}$; $c = 1,5 / T_{всп}$.

Часовая экономия активной энергии (кВт·ч)

$$\Delta W_a = \mathcal{E}_a z P_n T_{всп} / 3600,$$

где \mathcal{E}_a — показатель эффективности, определяемый по рис. 8, a .

Уменьшение реактивной энергии (квар·ч)

$$\Delta W_p = \mathcal{E}_p z P_n T_{всп} / 3600,$$

где \mathcal{E}_p — показатель эффективности ограничителя холостого хода, определяемый по рис. 8, b .

Пример 9. Револьверный станок с электродвигателем $P_n = 5,8$ кВт имеет $P_0 = 1,25$ кВт. Время холостого хода $T_{всп} = 16$ с, $z = 38$ цикл/ч.

Рассчитываем часовую экономию активной электроэнергии:

$$a = P_0 / P_n = 1,25 / 5,8 = 0,215, \quad b = 1/4 T_{всп} = 1/4 \cdot 16 = 0,0156$$

Из диаграммы рис. 8, a находим $\mathcal{E}_a = 0,175$, $\Delta W_a = 0,175 \times \times 38 \cdot 5,8 \cdot 16 / 3600 = 0,172$ кВт·ч.

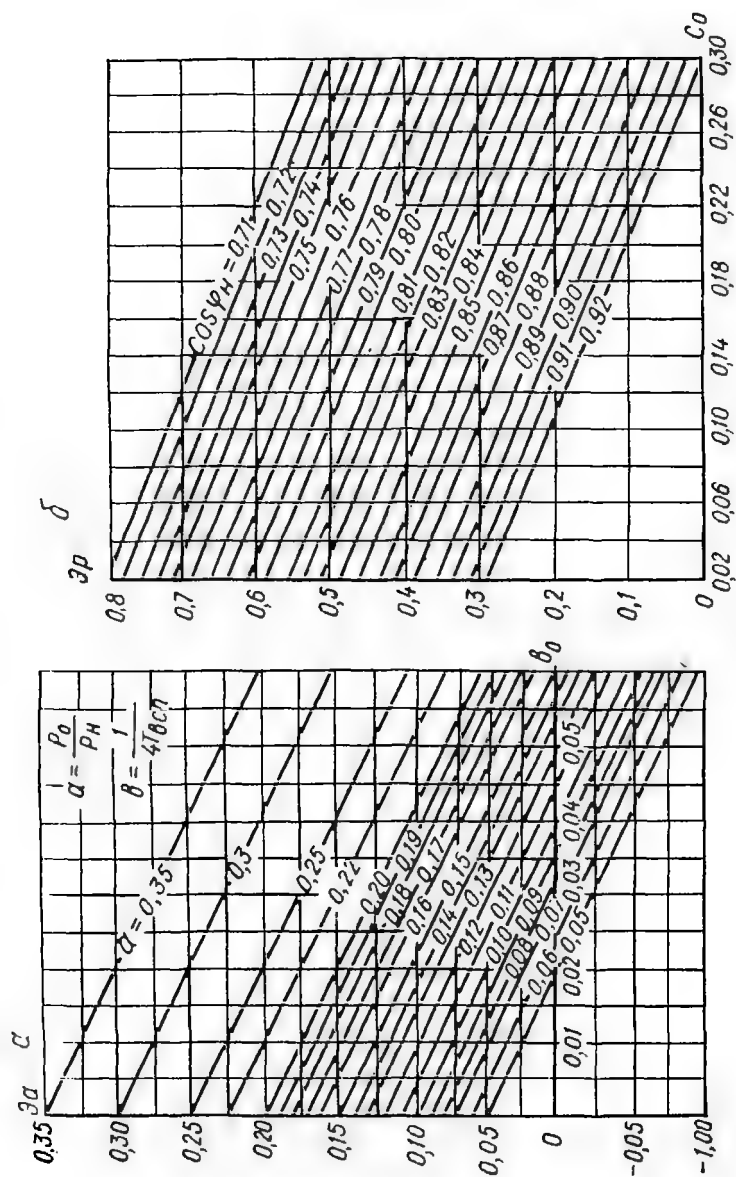


Рис. 8 Диаграммы для определения эффективности ограничителей холодного хода

Рассчитываем часовую экономию реактивной энергии:

$c = 1,5/T_{\text{всп}} = 1,5/16 = 0,094$; из диаграммы рис. 8, б находим $\varepsilon_p = 0,355$; $\Delta W_p = 0,355 \cdot 38 \cdot 5,8 \cdot 16/3600 = 0,35$ квар · ч.

Влияние качества ремонта электродвигателей на коэффициент мощности

Качество ремонта асинхронных электродвигателей отражается на их технико-экономических показателях (коэффициенте мощности, КПД). Влияние ремонта на коэффициент мощности чаще всего связано с тем или иным изменением обмоточных данных (числа витков в фазе, схемы соединения, величины напряжения, приходящегося на виток, и пр.) и воздушных зазоров.

При перемотке обмотки особенно недопустимо уменьшение числа витков. Так, например, если число витков в фазе уменьшится на 10 % при неизменном сечении фазы, то реактивная мощность и ток холостого хода электродвигателя увеличатся примерно на 25 %. А это вызовет значительное снижение коэффициента мощности, особенно при фактических нагрузках, которые, как правило, намного меньше номинальной мощности электродвигателей. Одновременно снижается и коэффициент полезного действия. Увеличение потерь в стали составляет 21 %.

Таким образом, при восстановительном ремонте обмоток асинхронных электродвигателей необходимо в каждом случае оценивать возможность применения того или иного варианта перемотки с учетом влияния его на технико-экономические показатели электродвигателя.

Магнитное сопротивление воздушного зазора асинхронного электродвигателя составляет 70—80 % полного сопротивления его магнитной цепи. Поэтому можно считать, что на долю воздушного зазора приходится 70—80 % реактивной мощности холостого хода, потребляемой электродвигателем. В связи с этим необходимо строго следить за величиной воздушного зазора. Допустимая величина зазора ряда серий электродвигателей приведена в табл. 9, электродвигателей серий 4А и 4АН — в табл. 40 и 41.

Увеличение зазора на 1 % влечет за собой увеличение тока холостого хода на 0,6 % и снижение коэффициента мощности на 0,3 %. Поэтому если зазор ремонтируемого электродвигателя на 20—25 % больше нормального заводского, то перед ремонтом его обмоточные данные должны

9. Величина зазора между статором и ротором асинхронных электродвигателей

| n, об/мин | Зазор, мм, при P _н • кВт | | | | | | | | | |
|--------------|-------------------------------------|-------------|-------------|-------------|------------|-----------|-----------|------------|-------------|-------------|
| | до 0,2 | 0,2— 1,0 | 1,0— 2,5 | 2,5— 5,0 | 5,0— 10 | 10— 20 | 20— 50 | 50— 100 | 100— 200 | 200— 300 |
| 500— | | | | | | | | | | |
| 1500 | 0,2 | 0,25 | 0,3 | 0,35 | 0,4 | 0,4 | 0,5 | 0,65 | 0,8 | 1,0 |
| 3000 | 0,25 | 0,3 | 0,35 | 0,4 | 0,5 | 0,65 | 0,8 | 1,0 | 1,25 | 1,5 |

быть пересчитаны. Мощность такого электродвигателя после пересчета практически нельзя довести до паспортной, она будет завышенной. При увеличении воздушного зазора более чем на 25 % экономически нецелесообразно осуществлять ремонт электродвигателя.

Большое влияние на потребление электродвигателем реактивной мощности оказывает значительный сдвиг стали ротора вдоль оси электродвигателя, а также асимметрия воздушных зазоров. Появление сдвига стали ротора вызывает увеличение коэффициента рассеяния; что влечет за собой повышение потребления реактивной мощности и снижение коэффициента мощности.

Для эффективного контроля за величиной коэффициента мощности и КПД отремонтированных электродвигателей необходимо до и после ремонта проверять ток холостого хода и потери активной мощности холостого хода. Критерием для оценки этих величин могут служить нормальные их значения, которые можно определить по методике, приведенной в настоящей главе. Данные этих величин целесообразно указывать в ремонтной карточке эксплуатируемых электродвигателей.

Глава III

РАСЧЕТЫ ОБМОТОК АСИНХРОННЫХ ЭЛЕКТРОДВИГАТЕЛЕЙ ПРИ РЕМОНТЕ

ОБЩИЕ СВЕДЕНИЯ

В таблицах и формулах данного раздела приняты следующие буквенные обозначения: U_{ϕ} — напряжение фазы трехфазной обмотки; I_{ϕ} — фазный ток трехфазной обмотки; z_1 — число пазов статора; z_2 — число пазов ротора; m — число фаз; y — шаг обмотки по пазам; n — полное число проводников в пазу; q — число пазов на полюс и фазу; a — число параллельных ветвей; d — диаметр круглого провода без изоляции; D — диаметр круглого провода с изоляцией; a, b — размеры сечения прямоугольного провода без изоляции; r — сопротивление обмотки (фазы) при 15 °С; M — масса провода обмотки; $l_{\text{ср}}$ — средняя длина витка; D_a — наружный диаметр сердечника статора; D_i — внутренний диаметр сердечника статора; l_1 — длина сердечника статора (радиальные вентиляционные каналы отсутствуют); $h_{\text{п}}$ — полная глубина паза; F — площадь паза; $F' = F - (F_{\text{из}} - F_{\text{кл}})$ — свободная площадь паза, где $F_{\text{из}}$ — площадь, занимаемая изоляцией (пазовой коробочкой и прокладками); $F_{\text{кл}}$ — площадь поперечного сечения клина; N — число эффективных проводников в пазу; $n_{\text{эл}}$ — число элементарных (параллельных) проводников; δ — воздушный зазор.

Маркировка выводов обмоток

Начала и концы обмоток асинхронных электродвигателей обозначают в соответствии с ГОСТ 183—74 (табл. 10).

Выводы секционированных обмоток многоскоростных асинхронных электродвигателей, позволяющие изменять число полюсов, имеют следующие обозначения:

| $2p=4$ | $2p=6$ | $2p=8$ | $2p=12$ |
|--------|--------|--------|---------|
| 4C1 | 6C1 | 8C1 | 12C1 |
| 4C2 | 6C2 | 8C2 | 12C2 |
| 4C3 | 6C3 | 8C3 | 12C3 |

В малых машинах допускается обозначение выводных концов обмоток разноцветными проводами (табл. 11).

10. Обозначение выводов соединения обмоток

| Наименование и схемы обмоток | Обозначение выводов | |
|---|---------------------|-------|
| | начала | конца |
| Обмотка статора | | |
| Открытая схема (число выводов 6): | | |
| первая фаза | C1 | C4 |
| вторая » | C2 | C5 |
| третья » | C3 | C6 |
| Соединение звездой (число выводов 3 или 4): | | |
| первая фаза | | C1 |
| вторая » | | C2 |
| третья » | | C3 |
| нулевая точка | | 0 |
| Соединение треугольником: | | |
| первый зажим | C1 | — |
| второй » | C2 | — |
| третий » | C3 | — |
| Обмотка ротора | | |
| первая фаза | P1 | — |
| вторая » | P2 | — |
| третья » | P3 | — |
| Обмотка статора однофазных машин | | |
| главная | C1 | C2 |
| вспомогательная | B1 | B2 |

11. Цветное обозначение выводных концов обмоток асинхронных электродвигателей

| Схема соединения обмоток | Число выводов | Вывод | Цвет | |
|--------------------------|---------------|-------|--------|-------|
| | | | начала | конца |

Трехфазные электродвигатели

| | | | | |
|---------------|---------|---------------|---------|------------------|
| Открытая | 6 | Первая фаза | Желтый | Желтый с черным |
| | | Вторая » | Зеленый | Зеленый с черным |
| | | Третья » | Красный | Красный с черным |
| Звездой | 3 или 4 | Первая » | Желтый | — |
| | | Вторая » | Зеленый | — |
| | | Третья » | Красный | — |
| | | Нулевая точка | Черный | — |
| Треугольником | 3 | Первый зажим | Желтый | — |
| | | Второй » | Зеленый | — |
| | | Третий » | Красный | — |

| Схема соединения обмоток | Число выводов | Вывод | Цвет | |
|--------------------------|---------------|-------|--------|-------|
| | | | начала | конца |

Однофазные электродвигатели

| | | | | |
|----|---|-------------------------|---------|------------------|
| 3. | 4 | Главная обмотка | Красный | Красный с черным |
| | | Вспомогательная обмотка | Синий | Синий с черным |
| | | Главная обмотка | Красный | — |
| | | Вспомогательная обмотка | Синий | — |
| | | Общая точка | Черный | — |

Нагревостойкость изоляционных материалов. Классы изоляции обмоток

Изоляционные материалы по нагревостойкости подразделяются на семь классов (табл. 12).

12. Классификация электроизоляционных материалов по нагревостойкости

| Обозначение класса нагревостойкости | Температура, характеризующая данный класс нагревостойкости, °C | Основные группы электроизоляционных материалов |
|-------------------------------------|--|---|
| Y | 90 | Волокнистые материалы из целлюлозы, хлопка и натурального шелка, не пропитанные и не погруженные в жидкий электроизоляционный материал |
| A | 105 | Волокнистые материалы из целлюлозы, хлопка и натурального, искусственного или синтетического шелка, в рабочем состоянии пропитанные или погруженные в жидкий электроизоляционный материал |
| E | 120 | Синтетические органические материалы (пленки, волокна, смолы, компаунды и т. д.) и другие материалы, которые могут работать при температуре до 120°C |
| B | 130 | Материалы на основе слюды (в том числе на органических подложках), асбеста и стекловолокна, применяемые в сочетании с органическими связующими и пропитывающими составами |

| Обозначение класса нагревостойкости | Температура, характеризующая данный класс нагревостойкости, °С | Основные группы электроизоляционных материалов |
|-------------------------------------|--|--|
| F | 155 | Материалы на основе слюды, асбеста и стекловолокна, применяемые в сочетании с синтетическими связующими и пропитывающими составами, соответствующими данному классу нагревостойкости |
| H | 180 | Материалы на основе слюды, асбеста и стекловолокна, применяемые в сочетании с кремнийорганическими связующими и пропитывающими составами, кремнийорганические эластомеры |
| C | Свыше 180 | Слюда, керамические материалы, стекло, кварц и другие |

Нагрев обмоток

Номинальные данные электрических машин соответствуют их работе при температуре газообразной охлаждающей среды 40 °С. Предельно допустимые превышения температуры обмоток над температурой охлаждающей среды при этих условиях должны соответствовать данным табл. 13. При работе машины в условиях, отличающихся от указанных, номинальные данные должны быть изменены (см. ГОСТ 183—74).

Превышение температуры медной обмотки над темпера-

13. Допустимые превышения температур обмоток, определяемые методом сопротивлений

| Обмотка | Превышение температуры, °С, при классе изоляции | | | | |
|--|---|----|----|-----|-----|
| | A | E | B | F | H |
| Переменного тока машин мощностью 5000 кВА и выше или с длиной сердечника 1 м и более | 60 | 70 | 80 | 100 | 125 |
| Переменного тока машин мощностью менее 5000 кВА или с длиной сердечника менее 1 м | 60 | 75 | 80 | 100 | 125 |

турой охлаждающего воздуха, определяемое методом сопротивлений, рассчитывается по формуле:

$$\theta = t_r - t_0 = \frac{r_r - r_x}{r_x} (235 + t_x) + t_x - t_0,$$

где t_r и t_x — температура обмотки в горячем и холодном состояниях, °С; r_r и r_x — сопротивление обмотки в горячем и холодном состояниях, Ом; t_0 — температура охлаждающего воздуха, °С.

Если обмотка изготовлена из алюминия, то в формуле число 235 следует заменить числом 245.

Характеристика проводниковых материалов

Свойства основных проводниковых материалов приведены в табл. 14.

14. Свойства проводниковых материалов

| Материал | Плотность, г/см ³ | Температура плавления, °С | Предел прочности при растяжении, 10 ⁻⁶ Па | Удельное электрическое сопротивление при 20° С, Ом. мм ² /м | Температурный коэффициент электрического сопротивления α , град ⁻¹ |
|----------|---------------------------------|---------------------------|---|---|---|
| Алюминий | 2,7 | 657 | 80—250 | 0,028 | 0,0040 |
| Бронза | 8,3—8,9 | 885—1050 | 310—1350 | 0,021—0,052 | 0,0040 |
| Вольфрам | 19,3 | 3380 | 1000—3000 | 0,055 | 0,0046 |
| Железо | 7,8 | 1535 | — | 0,098 | 0,0060 |
| Латунь | 8,4—8,7 | 900—960 | 300—700 | 0,031—0,079 | 0,0020 |
| Молибден | 10,2 | 2620 | 800—2500 | 0,057 | 0,0046 |
| Медь | 8,9 | 1083 | 270—450 | 0,0178 | 0,0040 |
| Никель | 8,9 | 1455 | 400—700 | 0,073 | 0,0065 |
| Олово | 7,3 | 232 | 20—50 | 0,12 | 0,0044 |
| Сталь | 7,8 | 1400—1530 | 450—1500 | 0,1—0,2 | 0,0050 |

Измеренное при температуре t сопротивление обмотки (медной и алюминиевой) можно привести к расчетным температурам 15 или 20° путем уменьшения его на соответствующий коэффициент:

| | | | | | | | | | | |
|---------------------|------|------|------|------|------|------|------|------|------|------|
| $t, ^\circ\text{C}$ | 0 | 5 | 10 | 15 | 20 | 25 | 30 | 35 | 40 | 45 |
| K_{15} | 1,06 | 1,04 | 1,02 | 1,00 | 0,98 | 0,96 | 0,94 | 0,92 | 0,90 | 0,88 |
| K_{20} | 1,08 | 1,06 | 1,04 | 1,02 | 1,00 | 0,98 | 0,96 | 0,94 | 0,92 | 0,90 |

Примечание. Температурный коэффициент сопротивления α принят равным 0,0041.

Обмоточные провода

При частичной или полной перемотке асинхронных электродвигателей особое внимание уделяется выбору марок обмоточных проводов (табл. 15—21).

15. Провода с эмаливой изоляцией

| Марка | Вид изоляции | Нагре- востой- кость, °C | Диаметр (размеры) без изоляции, мм |
|-----------|---|-----------------------------------|---------------------------------------|
| 1 | 2 | 3 | 4 |
| ПЭЛ | Эмаль на масляно-смоляной основе | 105 | 0,02—2,44 |
| ПЭВ-1 | Высокопрочная эмаль на поливинилацеталевой основе | 105 | 0,02—2,44 |
| ПЭВ-2 | То же, но с увеличенной толщиной | 105 | 0,06—2,44 |
| ПЭМ-1 | Высокопрочная эмаль на поливинилформальевой основе | 105 | 0,05—2,50 |
| ПЭМ-2 | То же, но с увеличенной толщиной | 105 | 0,05—2,50 |
| ПЭЛР-1 | Высокопрочная эмаль на полиамиднорезольной основе | 105 | 0,1—2,44 |
| ПЭЛР-2 | То же, но с увеличенной толщиной | 105 | 0,1—2,44 |
| ПЭВП | Высокопрочная эмаль „винифлекс“, провод прямоугольный* | 105 | $a=0,5—2,83$ $b=2,1—8,8$ |
| ПЭВТЛ-1 | Высокопрочная эмаль на полиуретановой основе | 120 | 0,05—1,56 |
| ПЭВТЛ-2 | То же, но с увеличенной толщиной | 120 | 0,05—1,56 |
| ПЭТВ-943 | Высокопрочная эмаль на полиэфирной основе (лак П-943) | 130 | 0,06—2,44 |
| ПЭТВ-939 | То же | 130 | 0,06—2,44 |
| ПЭТВ-ТС | » | 130 | 0,06—2,44 |
| ПЭТВ-Ф | » | 130 | 0,06—2,44 |
| ИЭТВП | То же, провод прямоугольный* | 155 | 0,06—2,44 |
| ИЭТ-155 | Высокопрочная эмаль на полиэфироимидной основе | 130 | $a=0,80—3,55$ $b=2,00—12,5$ |
| ИИЭТ-имид | Высокопрочная эмаль на полиимидной основе, жила никелированная | 155 | 0,06—2,50 |
| ИЭВАт** | Высокопрочная эмаль „винифлекс“, жила из твердой (неотожженной) алюминиевой проволоки | 200 | 0,1—1,3 |
| | | 105 | 0,08—0,59 |

| 1 | 2 | 3 | 4 |
|---------------------|-----------------------------------|-----|-----------|
| ПЭВА** | То же, но из отожженной проволоки | 105 | 0,51—2,44 |
| ПЭТВА ^{†*} | Полиэфирный лак | 130 | 0,14—0,20 |
| ПЭТА** | Нагревостойкий полиимидный лак | 220 | 0,08—2,44 |

* a и b — стороны сечения прямоугольного провода.

** С алюминиевой жилой.

16. Провода с волокнистой и стекловолокнистой изоляцией

| Марка | Вид изоляции | Нагревостойкость, °C | Размеры провода без изоляции, мм | |
|-----------------|---|----------------------|----------------------------------|------------------------------|
| | | | круглого | прямоугольного |
| 1 | 2 | 3 | 4 | 5 |
| ПБД | Два слоя из хлопчатобумажной пряжи | 105 | 0,38—5,2 | $a=0,9-5,5$ $b=2,1-15$ |
| ПЛД | Два слоя из лавсанового волокна | 120 | 0,38—1,3 | — |
| ПЛБД | Один слой из лавсанового волокна и один из хлопчатобумажной пряжи | 105 | 0,38—5,2 | $a=0,9-5,5$ $b=2,1-14,5$ |
| ПШД | Два слоя из натурального шелка | 105 | — | $a=0,8-1,35$ $b=3,53-4,7$ |
| АПБД* | Два слоя из хлопчатобумажной пряжи | 105 | 1,35—8 | $a=1,81-7,0$ $b=4,1-18$ |
| АПЛБД* | Один слой из лавсанового волокна и один слой из хлопчатобумажной пряжи | 105 | 1,35—8 | $a=1,81-7,0$ $b=4,1-18$ |
| ПСД, ПСД-Л** | Два слоя из стекловолокна с пропиткой каждого слоя нагревостойким лаком | 155 | 0,31—5,2 | $a=0,9-5,0$ $b=2,1-12,5$ |

| 1 | 2 | 3 | 4 | 5 |
|---------------------|---|-----|-------------|--|
| ПСДТ, ПСДТ-Л** | Два слоя из утоненного стекловолокна с пропиткой каждого слоя нагревостойким лаком | 155 | 0,31—2,0 | — |
| ПСДК, ПСДК-Л** | Два слоя из стекловолокна с пропиткой каждого слоя кремнийорганическим лаком | 180 | 0,31—5,2 | — |
| ПСДКТ, ПСДКТ-Л** | Два слоя из утоненного стекловолокна с пропиткой каждого слоя кремнийорганическим лаком | 180 | 0,31—2,1 | $\alpha=0,9-3,55$ $\sigma=2,1-10$ |
| ЦЭТКСОТ | Слой кремнийорганической эмали и обмотка из утоненного стекловолокна с пропиткой кремнийорганическим лаком | 180 | 0,33—1,56 | $\alpha=0,83-1,45$ $\sigma=2,1-4,7$ |
| ПНЭТКСОТ | Слой полиимидной эмали и обмотка из утоненного стекловолокна с пропиткой кремнийорганическим лаком, жила никелированная | 220 | 0,20 и 0,31 | — |

* С алюминиевой жилой.

** С дополнительной лакировкой поверхности провода.

17. Провода с эмалевоволокнистой изоляцией

| Марка | Вид изоляции | Нагревостойкость, °С | Диаметр без изоляции, мм |
|-------|--|----------------------|--------------------------|
| 1 | 2 | 3 | 4 |
| ПЭЛБО | Эмаль на масляно-смоляной основе и один слой обмотки из хлопчатобумажной пряжи | 105 | 0,38—2,1 |
| ПЭЛБД | То же, но два слоя обмотки из хлопчатобумажной пряжи | 105 | 0,93—2,1 |

| 1 | 2 | 3 | 4 |
|--------|--|-----|-----------|
| ПЭВБД | Эмаль „винифлекс“ и два слоя обмотки из хлопчатобумажной пряжи | 105 | 0,93—2,1 |
| ПЭЛШО | Эмаль на масляно-смоляной основе и один слой обмотки из натурального шелка | | |
| ПЭЛШКО | Эмаль на масляно-смоляной основе и один слой обмотки из капроновых нитей | 105 | 0,05—1,56 |
| ПЭЛШКД | То же, но два слоя обмотки из капроновых нитей | 105 | 0,1—1,56 |
| ПЭВШО | Эмаль „винифлекс“ и один слой обмотки из натурального шелка | 105 | 0,72—1,45 |
| ПЭЛЛО | Эмаль на масляно-смоляной основе и один слой обмотки из лавсановых нитей | 105 | 0,2—1,5 |
| ПЭВЛО | Эмаль „винифлекс“ или „металвин“ и один слой обмотки из лавсанового волокна | 105 | 0,05—1,3 |
| ПЭТЛО | Эмаль повышенной нагревостойкости и один слой обмотки из лавсанового волокна | 130 | 0,06—1,3 |
| | | 130 | 0,2—1,3 |

18. Размеры круглой проволоки для обмоточных проводов
(d — диаметр, S — сечение)

| d , мм | S , мм ² | d , мм | S , мм ² | d , мм | S , мм ² |
|----------|-----------------------|----------|-----------------------|----------|-----------------------|
| 0,02 | 0,000314 | 0,355 | 0,099 | 1,04 | 0,849 |
| 0,03 | 0,000707 | 0,38 | 0,113 | 1,06 | 0,882 |
| 0,04 | 0,00126 | 0,40 | 0,126 | 1,08 | 0,916 |
| 0,05 | 0,00196 | 0,41 | 0,132 | 1,12 | 0,985 |
| 0,06 | 0,00283 | 0,44 | 0,152 | 1,16 | 1,06 |
| 0,063 | 0,00312 | 0,45 | 0,159 | 1,18 | 1,09 |
| 0,07 | 0,00385 | 0,47 | 0,173 | 1,20 | 1,13 |
| 0,071 | 0,00396 | 0,49 | 0,189 | 1,25 | 1,23 |
| 0,08 | 0,00503 | 0,50 | 0,196 | 1,30 | 1,33 |
| 0,09 | 0,00636 | 0,51 | 0,204 | 1,32 | 1,37 |
| 0,10 | 0,00785 | 0,53 | 0,221 | 1,35 | 1,43 |
| 0,11 | 0,0095 | 0,55 | 0,238 | 1,40 | 1,54 |
| 0,112 | 0,00985 | 0,56 | 0,246 | 1,45 | 1,65 |
| 0,12 | 0,0113 | 0,57 | 0,255 | 1,50 | 1,77 |
| 0,125 | 0,0123 | 0,59 | 0,273 | 1,56 | 1,91 |
| 0,13 | 0,0133 | 0,62 | 0,302 | 1,60 | 2,01 |
| 0,14 | 0,0154 | 0,63 | 0,312 | 1,62 | 2,06 |
| 0,15 | 0,0177 | 0,64 | 0,322 | 1,68 | 2,22 |

| d , мм | S , мм ² | d , мм | S , мм ² | d , мм | S , мм ² |
|----------|-----------------------|----------|-----------------------|----------|-----------------------|
| 0,16 | 0,0201 | 0,67 | 0,353 | 1,70 | 2,27 |
| 0,17 | 0,0227 | 0,69 | 0,374 | 1,74 | 2,38 |
| 0,18 | 0,0254 | 0,71 | 0,396 | 1,80 | 2,54 |
| 0,19 | 0,72 | 0,407 | 1,81 | 1,81 | 2,57 |
| 0,20 | 0,74 | 0,430 | 1,88 | 1,88 | 2,78 |
| 0,21 | 0,75 | 0,442 | 1,90 | 1,90 | 2,84 |
| 0,224 | 0,77 | 0,466 | 1,95 | 1,95 | 2,99 |
| 0,23 | 0,80 | 0,503 | 2,00 | 2,00 | 3,14 |
| 0,25 | 0,83 | 0,541 | 2,02 | 2,02 | 3,20 |
| 0,27 | 0,85 | 0,567 | 2,10 | 2,10 | 3,46 |
| 0,28 | 0,86 | 0,581 | 2,12 | 2,12 | 3,53 |
| 0,29 | 0,90 | 0,636 | 2,24 | 2,24 | 3,94 |
| 0,31 | 0,93 | 0,679 | 2,26 | 2,26 | 4,01 |
| 0,315 | 0,95 | 0,709 | 2,36 | 2,36 | 4,37 |
| 0,33 | 0,96 | 0,724 | 2,44 | 2,44 | 4,68 |
| 0,35 | 1,00 | 0,785 | 2,50 | 2,50 | 4,91 |

19. Диаметры проводов с эмалевой изоляцией

| Диаметр провода, мм | Максимальный диаметр про- вода, мм | | | | Диаметр провода, мм | Максимальный диаметр про- вода, мм | | |
|---------------------------|---------------------------------------|------------------|---------------------------|----------------|---------------------------|---------------------------------------|---------|---------|
| | ПЭЛ | ПЭВ-1, ПЭВЛ-1 | ПЭВ-2, ПЭВ*, ПЭВЛ-2 | ПЭВА, ПЭВАТ | | ПЭМ-1 | ПЭМ 2 | ПЭТ-155 |
| 1 | 2 | 3 | 4 | 5 | 6 | 7 | 8 | 9 |
| 0,020 | 0,035 | 0,035 | — | — | 0,050 | 0,070 | 0,080 | — |
| 0,025 | 0,040 | 0,040 | — | — | 0,060 | 0,085* | 0,090** | 0,90 |
| 0,030 | 0,045 | 0,045 | — | — | 0,063 | 0,088 | 0,093 | — |
| 0,040 | 0,055 | 0,055 | — | — | 0,070 | 0,095** | 0,100** | 0,10 |
| 0,050 | 0,065 | 0,070 | 0,080 | — | 0,071 | 0,095 | 0,101 | — |
| 0,060 | 0,075 | 0,085 | 0,090 | — | 0,080 | 0,105 | 0,110 | 0,11 |
| 0,070 | 0,085 | 0,095 | 0,100 | — | 0,090 | 0,115 | 0,120 | 0,12 |
| 0,080 | 0,095 | 0,105 | 0,110 | 0,105 | 0,100 | 0,125 | 0,130 | 0,13 |
| 0,090 | 0,105 | 0,115 | 0,120 | 0,115 | 0,110 | 0,135** | 0,140** | 0,14** |
| 0,100 | 0,120 | 0,125 | 0,130 | 0,125 | 0,112 | 0,137 | 0,142 | 0,14 |
| 0,110 | 0,130 | 0,135 | 0,140 | 0,135 | 0,120 | 0,145** | 0,150** | 0,15 |
| 0,120 | 0,140 | 0,145 | 0,150 | 0,145 | 0,125 | 0,150 | 0,155 | — |
| 0,130 | 0,150 | 0,155 | 0,160 | 0,155 | 0,130 | 0,155** | 0,160** | 0,16** |
| 0,140 | 0,160 | 0,165 | 0,170 | 0,165 | 0,140 | 0,165 | 0,170 | 0,17 |
| 0,150 | 0,170 | 0,180 | 0,190 | 0,180 | 0,150 | 0,180** | 0,190** | 0,19** |
| 0,160 | 0,180 | 0,190 | 0,200 | 0,190 | 0,160 | 0,190 | 0,200 | 0,20 |
| 0,170 | 0,190 | 0,200 | 0,210 | 0,200 | 0,170 | 0,200 | 0,210** | 0,21** |
| 0,180 | 0,200 | 0,210 | 0,220 | 0,210 | 0,180 | 0,210 | 0,220 | 0,22 |

| 1 | 2 | 3 | 4 | 5 | 6 | 7 | 8 | 9 |
|-------|-------|-------|-------|-------|---------|---------|---------|--------|
| 0,190 | 0,210 | 0,220 | 0,230 | 0,220 | 0,190 | 0,220** | 0,230** | 0,23** |
| 0,200 | 0,225 | 0,230 | 0,240 | 0,230 | 0,200 | 0,230 | 0,240 | 0,24 |
| 0,210 | 0,235 | 0,240 | 0,250 | 0,240 | 0,210 | 0,240** | 0,250** | 0,26** |
| 0,230 | 0,255 | 0,270 | 0,280 | 0,270 | 0,224 | 0,254 | 0,264 | 0,27 |
| 0,250 | 0,275 | 0,290 | 0,300 | 0,290 | 0,230 | 0,270** | 0,280** | 0,28** |
| 0,270 | 0,310 | 0,310 | 0,320 | 0,310 | 0,250 | 0,290 | 0,300 | 0,30 |
| 0,290 | 0,330 | 0,330 | 0,340 | 0,330 | 0,270 | 0,310** | 0,320** | 0,32** |
| 0,310 | 0,350 | 0,350 | 0,360 | 0,350 | 0,280 | 0,320 | 0,330 | 0,33 |
| 0,330 | 0,370 | 0,370 | 0,380 | 0,370 | 0,290 | 0,330** | 0,340** | 0,34** |
| 0,350 | 0,390 | 0,390 | 0,410 | 0,390 | 0,310 | 0,350** | 0,360** | 0,36 |
| 0,380 | 0,420 | 0,420 | 0,440 | 0,430 | 0,315 | 0,355 | 0,365 | — |
| 0,410 | 0,450 | 0,450 | 0,470 | 0,460 | 0,330 | 0,370** | 0,380** | 0,38** |
| 0,440 | 0,490 | 0,480 | 0,500 | 0,490 | 0,350 | 0,390** | 0,410** | 0,40 |
| 0,470 | 0,520 | 0,510 | 0,530 | 0,520 | 0,355 | 0,395 | 0,415 | — |
| 0,490 | 0,540 | 0,530 | 0,550 | 0,540 | 0,380 | 0,420** | 0,440** | 0,44** |
| 0,510 | 0,560 | 0,560 | 0,580 | 0,570 | 0,400 | 0,440 | 0,460 | 0,46 |
| 0,530 | 0,580 | 0,580 | 0,600 | 0,590 | 0,410 | 0,450** | 0,470** | 0,47** |
| 0,550 | 0,600 | 0,600 | 0,620 | 0,610 | 0,440 | 0,480** | 0,500** | 0,51** |
| 0,570 | 0,620 | 0,620 | 0,640 | 0,630 | 0,450 | 0,490 | 0,510 | 0,52 |
| 0,590 | 0,640 | 0,640 | 0,660 | 0,650 | 0,470 | 0,510** | 0,530** | 0,54** |
| 0,620 | 0,670 | 0,670 | 0,690 | 0,670 | 0,490 | 0,530** | 0,550** | 0,56** |
| 0,640 | 0,690 | 0,690 | 0,720 | 0,700 | 0,500 | 0,550 | 0,570 | 0,57 |
| 0,670 | 0,720 | 0,720 | 0,750 | 0,730 | 0,510 | 0,560** | 0,580** | 0,58** |
| 0,690 | 0,740 | 0,740 | 0,770 | 0,750 | 0,530 | 0,580** | 0,600** | 0,60** |
| 0,720 | 0,780 | 0,770 | 0,800 | 0,780 | 0,550 | 0,600** | 0,620** | 0,62** |
| 0,740 | 0,800 | 0,800 | 0,830 | 0,810 | 0,560 | 0,610 | 0,630 | 0,63 |
| 0,770 | 0,830 | 0,830 | 0,860 | 0,840 | 0,570 | 0,620** | 0,640** | 0,64** |
| 0,800 | 0,860 | 0,860 | 0,890 | 0,870 | 0,590 | 0,640** | 0,660 | 0,66** |
| 0,830 | 0,890 | 0,890 | 0,920 | 0,900 | 0,620** | 0,670** | 0,690** | 0,70** |
| 0,860 | 0,920 | 0,920 | 0,960 | 0,950 | 0,630** | 0,680** | 0,700 | 0,71 |
| 0,900 | 0,960 | 0,960 | 0,990 | 0,970 | 0,640 | 0,690** | 0,720** | 0,72** |
| 0,930 | 0,990 | 0,990 | 1,020 | 1,000 | 0,670 | 0,720** | 0,750** | 0,75** |
| 0,960 | 1,020 | 1,020 | 1,050 | 1,030 | 0,690 | 0,740** | 0,770** | 0,77** |
| 1,000 | 1,070 | 1,080 | 1,110 | 1,090 | 0,710 | 0,760 | 0,790 | 0,79 |
| 1,040 | 1,120 | 1,120 | 1,150 | 1,130 | 0,720 | 0,770** | 0,800** | 0,80 |
| 1,080 | 1,160 | 1,160 | 1,190 | 1,170 | 0,740 | 0,800** | 0,830** | 0,82** |
| 1,120 | 1,200 | 1,200 | 1,230 | 1,210 | 0,750 | 0,810 | 0,840 | 0,83 |
| 1,160 | 1,240 | 1,240 | 1,270 | 1,250 | 0,770 | 0,830** | 0,860** | 0,85** |
| 1,200 | 1,280 | 1,280 | 1,310 | 1,290 | 0,800 | 0,860 | 0,890 | 0,89 |
| 1,250 | 1,330 | 1,330 | 1,360 | 1,340 | 0,830 | 0,890** | 0,920** | 0,92** |
| 1,300 | 1,380 | 1,380 | 1,410 | 1,390 | 0,850 | 0,910 | 0,940 | 0,94 |
| 1,350 | 1,430 | 1,430 | 1,460 | 1,440 | 0,860 | 0,920** | 0,950** | 0,95** |
| 1,400 | 1,480 | 1,480 | 1,510 | 1,490 | 0,900 | 0,960 | 0,990 | 0,99 |
| 1,450 | 1,530 | 1,530 | 1,560 | 1,540 | 0,930 | 0,990** | 1,020** | 1,02** |
| 1,500 | 1,580 | 1,580 | 1,610 | 1,590 | 0,950 | 1,010 | 1,040 | 1,04 |
| 1,560 | 1,640 | 1,640 | 1,670 | 1,650 | 0,960 | 1,020** | 1,050** | 1,05** |
| 1,620 | 1,710 | 1,700 | 1,730 | 1,720 | 1,000 | 1,080 | 1,110 | 1,09 |
| 1,680 | 1,770 | 1,760 | 1,790 | 1,780 | 1,040 | 1,120 | 1,150 | 1,14** |

| 1 | 2 | 3 | 4 | 5 | 6 | 7 | 8 | 9 |
|-------|-------|-------|-------|-------|-------|---------|---------|--------|
| 1,740 | 1,830 | 1,820 | 1,850 | 1,840 | 1,060 | 1,140 | 1,170 | 1,16 |
| 1,810 | 1,900 | 1,900 | 1,930 | 1,920 | 1,080 | 1,160** | 1,190** | 1,18** |
| 1,880 | 1,970 | 1,970 | 2,000 | 1,990 | 1,120 | 1,200 | 1,230 | 1,22 |
| 1,950 | 2,040 | 2,040 | 2,070 | 2,060 | 1,160 | 1,240** | 1,270** | 1,26** |
| 2,020 | 2,120 | 2,110 | 2,140 | 2,130 | 1,180 | 1,260 | 1,290 | 1,28 |
| 2,100 | 2,200 | 2,200 | 2,230 | 2,210 | 1,200 | 1,280** | 1,310** | 1,30** |
| 2,26 | 2,360 | 2,360 | 2,390 | 2,370 | 1,250 | 1,330 | 1,360 | 1,35 |
| 2,44 | 2,540 | 2,540 | 2,570 | 2,550 | 1,300 | 1,380** | 1,410** | 1,40** |

| Диаметр провода- ки, мм | Максимальный диаметр провода, мм | | | Диаметр провода- ки, мм | Максимальный диаметр провода, мм | | |
|-------------------------------|-------------------------------------|--------|---------|-------------------------------|-------------------------------------|--------|---------|
| | ПЭМ-1 | ПЭМ-2 | ПЭТ-155 | | ПЭМ-1 | ПЭМ-2 | ПЭТ-155 |
| 1,320 | 1,400 | 1,430 | 1,42 | 1,880 | 1,970* | 2,000* | 2,00* |
| 1,350 | 1,430* | 1,460* | 1,45* | 1,900 | 1,990 | 2,020 | 2,02 |
| 1,400 | 1,480 | 1,510 | 1,51 | 1,950 | 2,040* | 2,070* | 2,07* |
| 1,450 | 1,530* | 1,560* | 1,56 | 2,000 | 2,090 | 2,120 | 2,12 |
| 1,500 | 1,580 | 1,610 | 1,61 | 2,020 | 2,110* | 2,140* | 2,14* |
| 1,560 | 1,640* | 1,670* | 1,67* | 2,100 | 2,200* | 2,230* | 2,22* |
| 1,600 | 1,680 | 1,710 | 1,71 | 2,120 | 2,220 | 2,250 | 2,24 |
| 1,620 | 1,700* | 1,730* | 1,73* | 2,240 | 2,340 | 2,370 | 2,37 |
| 1,680 | 1,760* | 1,790* | 1,79* | 2,260 | 2,350* | 2,390* | 2,39* |
| 1,700 | 1,780 | 1,810 | 1,81 | 2,360 | 2,460 | 2,490 | 2,49 |
| 1,740 | 1,820* | 1,850* | 1,85* | 2,440 | 2,540* | 2,570* | 2,57* |
| 1,800 | 1,890 | 1,910 | 1,92 | 2,500 | 2,600 | 2,630 | 2,63 |
| 1,810 | 1,900* | 1,930* | 1,93* | | | | |

* Марки ПЭТВ-943, ПЭТВ-939, ПЭТВ-ТС, ПЭТВ-Ф.

** В новых разработках применять не разрешается.

20. Диаметральная (двусторонняя) толщина стекловолокнистой изоляции круглых проводов, мм

| Диаметр про- волоки, мм | ПСД, ПСДК | ПСД-Л, ПСДК-Л | ПСДТ | ПСДТ-Л | ПСДКТ | ПСДКТ-Л |
|----------------------------|--------------|------------------|------|--------|-------|---------|
| 0,31—0,49 | 0,23 | 0,25 | 0,18 | 0,20 | 0,14 | 0,16 |
| 0,51—0,69 | 0,25 | 0,27 | 0,19 | 0,21 | 0,16 | 0,18 |
| 0,72—0,96 | 0,25 | 0,27 | 0,20 | 0,22 | 0,16 | 0,18 |
| 1,00—1,56 | 0,27 | 0,29 | 0,21 | 0,23 | 0,18 | 0,20 |
| 1,62—1,74 | 0,27 | 0,29 | 0,21 | 0,25 | 0,22 | 0,24 |
| 1,81—2,10 | 0,27 | 0,29 | 0,23 | 0,25 | 0,22 | 0,24 |
| 2,26—5,20 | 0,33 | 0,35 | — | — | — | — |

21. Диаметральная (двусторонняя) толщина эмалееволоконистой и волокнистой изоляции крупных проводов, мм

| Диаметр проволоки, мм | ПЭЛШО, ПЭЛЮ* | ПЭВЛО | ПЭЛБО | ПБД | АПБД |
|-----------------------|--------------|-------|-------|------|------|
| 0,05 | 0,08 | — | — | — | — |
| 0,06—0,14 | 0,08 | 0,09 | — | — | — |
| 0,15—0,19 | 0,08 | 0,10 | — | — | — |
| 0,20—0,21 | 0,09 | 0,11 | — | — | — |
| 0,23—0,25 | 0,09 | 0,12 | — | — | — |
| 0,27—0,33 | 0,11 | 0,12 | — | — | — |
| 0,35 | 0,11 | 0,13 | — | — | — |
| 0,38—0,41 | 0,11 | 0,13 | 0,17 | 0,22 | — |
| 0,44—0,49 | 0,12 | 0,13 | 0,17 | 0,22 | — |
| 0,51—0,62 | 0,12 | 0,14 | 0,17 | 0,22 | — |
| 0,64—0,69 | 0,12 | 0,15 | 0,17 | 0,22 | — |
| 0,72—0,96 | 0,13 | 0,15 | 0,18 | 0,22 | — |
| 1,00—1,30 | 0,14 | 0,17 | 0,21 | 0,27 | — |
| 1,35—1,45 | 0,14 | — | 0,21 | 0,27 | 0,27 |
| 1,50—1,56 | 0,16 | — | 0,21 | 0,27 | 0,27 |
| 1,62—2,10 | — | — | 0,22 | 0,27 | 0,27 |
| 2,26—5,20 | — | — | — | 0,33 | 0,33 |
| 6,00—8,00 | — | — | — | — | 0,33 |

* Изготавливаются с проволокой диаметром 0,05 — 1,30 мм.

Толщина изоляции прямоугольных проводов ($B — b$) (рис. 9) определяется в зависимости от размера проволоки по стороне a (табл. 22, 23), толщина изоляции ($A — a$) зависит от размера b .

22. Толщина хлопчатобумажной изоляции проводов

| Марка провода | Толщина изоляции ($B — b$), мм, при размере меньшей стороны сечения проволоки a , мм | | | | |
|---------------|--|-----------|---------|---------|---------|
| | 0,9—1,68 | 1,81—1,95 | 2,1—3,8 | 4,1—5,5 | 6,0—7,0 |
| ПБД | 0,27 | 0,27 | 0,33 | 0,44 | — |
| АПБД | — | 0,27 | 0,33 | 0,44 | 0,47 |

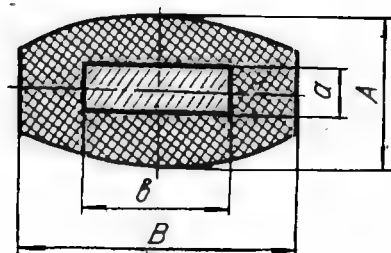


Рис. 9. Размеры прямоугольного обмоточного провода с хлопчатобумажной и стекловолокнистой изоляцией

23. Толщина стекловолоконной изоляции проводов

| Марка провода | Толщина изоляции (В — в), мм, при размере меньшей стороны сечения проволоки а, мм | | |
|---------------|---|-----------|--------|
| | 0,90—2,00 | 2,10—3,80 | 4—5,60 |
| ПСД, ПСДК | 0,27 | 0,33 | 0,40 |
| ПСД-Л, ПСДК-Л | 0,27 | 0,35 | 0,42 |
| ПСДКТ | 0,22 | 0,22 | — |
| ПСДКТ-Л | 0,24 | 0,24 | — |

Продолжение табл. 23

| Марка провода | Толщина изоляции (А — а), мм, при размере большей стороны сечения проволоки b, мм | | | | | | |
|---------------|---|-----------|-----------|-----------|-----------|---------|----------|
| | 2,10—2,50 | 2,63—3,35 | 3,53—4,50 | 4,70—5,60 | 5,90—7,10 | 7,4—8,0 | 8,5—12,5 |
| ПСД, ПСДК, | | | | | | | |
| ПСД-Л | 0,32 | 0,36 | 0,39 | 0,42 | 0,44 | 0,46 | 0,48 |
| ПСДК-Л | 0,34 | 0,38 | 0,41 | 0,44 | 0,46 | 0,48 | 0,50 |
| ПСДКТ | 0,26 | 0,28 | 0,28 | 0,30 | 0,30 | 0,32 | 0,32 |
| ПСДКТ-Л | 0,28 | 0,30 | 0,30 | 0,32 | 0,32 | 0,34 | 0,34 |

24. Номинальные размеры а, b проволоки и максимальные размеры провода по изоляции А, В

| а, мм | А, мм | в, мм | В, мм, при размере а, мм | | |
|-----------|--------|-----------|--------------------------|-----------|-----------|
| | | | 0,8—1,18 | 1,25—2,00 | 2,12—3,55 |
| 0,8 | а+0,14 | 2,00—4,50 | в+0,16 | в+0,17 | в+0,18 |
| 0,85—1,12 | а+0,15 | 2,75—9,00 | в+0,19 | в+0,20 | в+0,21 |
| 1,18—2,00 | а+0,16 | 9,5—12,5 | — | в+0,20 | в+0,21 |
| 2,12—3,15 | а+0,18 | — | — | — | — |
| 3,35—3,55 | а+0,19 | — | — | — | — |

Выбор основных величин обмоток при ремонте

Шаги двухслойных обмоток статора асинхронных электродвигателей берут из табл. 25.

Шаг двухслойных обмоток принимают укороченным:

$$y = \beta z_1 / 2p,$$

где β — укорочение шага; z_1 — число пазов статора; $2p$ — число полюсов.

25. Шаги двухслойных обмоток статора электродвигателей

| 2p | y при числе пазов статора z ₁ | | | | | | | |
|----|--|-------|-----|-------|-----|-------|------|-----|
| | 24 | 36 | 45 | 48 | 54 | 60 | 72 | 75 |
| 2 | 8,9 | 10,13 | — | 15,17 | — | — | — | — |
| 4 | — | 7 | — | 9,10 | — | 12,13 | — | — |
| 6 | — | 5 | 6,7 | — | 7,8 | — | 9,10 | — |
| 8 | — | 4 | — | 5 | 6 | 6,7 | 7 | — |
| 10 | — | — | — | — | — | 5,0 | — | 6,7 |

Примечание. Двухслойные обмотки применяют в трехфазных электродвигателях единых серий при наружном диаметре статора >200—250 мм, при меньших диаметрах обычно используют однослойные обмотки.

Для многополюсных обмоток обычно $\beta = 0,83$, для двухполюсных $\beta = 0,61—0,75$ (в отдельных случаях его уменьшают до 0,56, чтобы облегчить укладку и уменьшить вылет лобовой части обмотки).

Полусное деление (см) — часть длины окружности радиуса статора, приходящейся на один полюс, — определяется по формуле:

$$\tau = 3,14 D_i / 2p,$$

где D_i — внутренний диаметр статора, см.

Число параллельных ветвей a и элементарных (параллельных) проводников $n_{эл}$ обмотки статора асинхронного электродвигателя зависит от его мощности и напряже-

26. Значения a и $n_{эл}$ в сериях асинхронных электродвигателей

| 2p | При D_a , см | | | | | | | | | |
|----|----------------|----------|-------|----------|-------|----------|-------|----------|-------|----------|
| | до 15 | | 15—20 | | 20—25 | | 25—35 | | 35—50 | |
| | a | $n_{эл}$ | a | $n_{эл}$ | a | $n_{эл}$ | a | $n_{эл}$ | a | $n_{эл}$ |
| 2 | 1 | 1 | 1 | 1—3 | 1,2 | 2—4 | 2 | 2—4 | 2 | 3—11 |
| 4 | 1 | 1 | 1 | 1,2 | 1 | 1—3 | 1,2 | 1—3 | 2,4 | 2—5 |
| 6 | 1 | 1 | 1 | 1,2 | 1 | 1—3 | 1,2 | 1—3 | 2,3 | 2—5 |
| 8 | — | — | — | — | — | — | 1,2 | 1—3 | 2,4 | 2—4 |
| 10 | — | — | — | — | — | — | — | — | 2 | 2—4 |

Примечания: 1. Большие значения a и $n_{эл}$ выбирают при меньшем напряжении и большей длине сердечника.

2. Окончательные значения a и $n_{эл}$ уточняются после выбора диаметра провода и проверки размещения обмотки в пазу.

ния. Для предварительного выбора этих чисел можно использовать их зависимость от наружного диаметра D_a статора (табл. 26).

Обмоточный коэффициент $K_{об}$ трехфазных однослойных обмоток определяется числом пазов на полюс и фазу q (табл. 27), двухслойных — также и шагом y (табл. 28).

27. Обмоточные коэффициенты трехфазной одно-
слойной шестизонной обмотки со сплошной
фазной зоной

| q | $K_{об}$ | q | $K_{об}$ |
|-----|----------|-----|----------|
| 1,0 | 1,000 | 4,0 | 0,958 |
| 1,5 | 0,960 | 4,5 | 0,955 |
| 2,0 | 0,966 | 5,0 | 0,957 |
| 2,5 | 0,957 | 6,0 | 0,957 |
| 3,0 | 0,960 | 8,0 | 0,956 |
| 3,5 | 0,956 | — | — |

При ремонте обмоток и предварительном выборе диаметра провода используют коэффициент заполнения паза, определяемый как отношение площади изолированных проводников к площади паза:

$$K_n = 0,785 \pi D^2 / F.$$

Величина его (табл. 29) зависит от формы паза и типа обмотки.

Диаметр провода d без изоляции зависит от размеров машины:

| | | | | |
|------------|-----------|-----------|----------|-----------|
| D_a , см | до 15 | 15—25 | 25—35 | 35—50 |
| d , мм | 0,49—1,25 | 0,67—1,56 | 1,0—1,62 | 1,16—1,95 |

Диаметр изолированного провода должен быть меньше ширины шлица (прорези) паза на 1—1,5 мм.

При выборе диаметра провода следует по возможности принимать размеры, которые рекомендованы стандартами для новых разработок (см. табл. 19).

Полное число проводников в пазу определяется по формуле:

$$n = n_{эл} N,$$

где N — число эффективных проводников в пазу.

При пересчете обмоток индекс «ст» присваивается старой обмотке, индекс «нов» — новой (после перемотки): $U_{ст}$, $U_{нов}$, $N_{ст}$, $N_{нов}$ и т. д.

Площади пазов ($мм^2$) определяются по следующим фор-

28. Обмоточные коэффициенты трехфазной двухслойной шестизонной обмотки

| q | K _{об} при шаге обмотки по пазам | | | | | | | | | | | | | | | | |
|-------|---|-------|-------|-------|-------|-------|-------|-------|-------|-------|-------|-------|-------|-------|-------|-------|--|
| | 1-3 | 1-4 | 1-5 | 1-6 | 1-7 | 1-8 | 1-9 | 1-10 | 1-11 | 1-12 | 1-13 | 1-14 | 1-15 | 1-16 | 1-17 | 1-18 | |
| 1 | 0,866 | 1,000 | 0,866 | — | — | — | — | — | — | — | — | — | — | — | — | — | |
| 1 1/2 | — | 0,831 | 0,945 | 0,945 | — | — | — | — | — | — | — | — | — | — | — | — | |
| 2 | — | — | 0,836 | 0,933 | 0,966 | — | — | — | — | — | — | — | — | — | — | — | |
| 2 1/4 | — | — | — | 0,877 | 0,941 | 0,954 | 0,915 | — | — | — | — | — | — | — | — | — | |
| 2 1/2 | — | — | — | 0,827 | 0,907 | 0,950 | 0,950 | — | — | — | — | — | — | — | — | — | |
| 3 | — | — | — | — | 0,831 | 0,902 | 0,945 | 0,960 | — | — | — | — | — | — | — | — | |
| 3 1/2 | — | — | — | — | — | 0,831 | 0,884 | 0,930 | 0,953 | 0,953 | — | — | — | — | — | — | |
| 4 | — | — | — | — | — | — | 0,831 | 0,885 | 0,926 | 0,950 | 0,958 | — | — | — | — | — | |
| 4 1/2 | — | — | — | — | — | — | — | 0,827 | 0,877 | 0,916 | 0,940 | 0,954 | 0,954 | — | — | — | |
| 5 | — | — | — | — | — | — | — | — | 0,829 | 0,875 | 0,910 | 0,935 | 0,951 | 0,957 | — | — | |
| 5 1/2 | — | — | — | — | — | — | — | — | — | 0,827 | 0,869 | 0,902 | 0,928 | 0,945 | 0,954 | 0,954 | |
| 6 | — | — | — | — | — | — | — | — | — | — | 0,828 | 0,866 | 0,900 | 0,925 | 0,942 | 0,952 | |
| 8 | — | — | — | — | — | — | — | — | — | — | — | 0,719 | 0,758 | 0,794 | 0,828 | 0,876 | |

20. Величина коэффициента K_n

| Обмотка | Паз | K_n при мощности, кВт | | |
|-------------|------------------------------------|-------------------------|------|--------|
| | | до 1 | 1—10 | 10—100 |
| Однослойная | Трапецеидальный (рис. 10, а, б, г) | 0,37 | 0,40 | 0,43 |
| | Грушевидный (рис. 10, в) | 0,42 | 0,46 | 0,50 |
| Двухслойная | Трапецеидальный (рис. 10, а, б, г) | 0,86 | 0,37 | 0,40 |
| | Грушевидный (рис. 10, в) | 0,37 | 0,40 | 0,43 |

мулам: трапецеидальный паз со скругленной частью под клин (рис. 10, а)

$$F_a = 1,57r_1^2 + 0,5(h_1 - r_1)(b_1 + b_2);$$

трапецеидальный паз (рис. 10, б)

$$F_b = 0,5h_2(b_1 + b_2) + 0,5(h_1 - r_1)(b_1 + b_2);$$

грушевидный паз (рис. 10, в)

$$F_v = 1,57(r_1^2 + r_2^2) + 0,5(h_1 - r_1)(b_1 + b_2);$$

трапецеидальный паз со скругленной частью под клин и скруглениями на дне паза (рис. 10, г)

$$F_g = 1,57(r_1^2 + r_2^2) + 0,5(h_1 - r_1)(b_1 + b_2) + r_2(h_2 - 2r_2).$$

С достаточной для практических расчетов точностью площадь трапецеидального паза можно определить по рис. 11. Площади пазов (рис. 10, а, б) принимают одинаковыми.

При пересчете обмоток в тех случаях, когда известны данные старой обмотки (число проводников в пазу n , диаметр d , марка провода), для проверки размещения новой обмотки в пазу используют формулу:

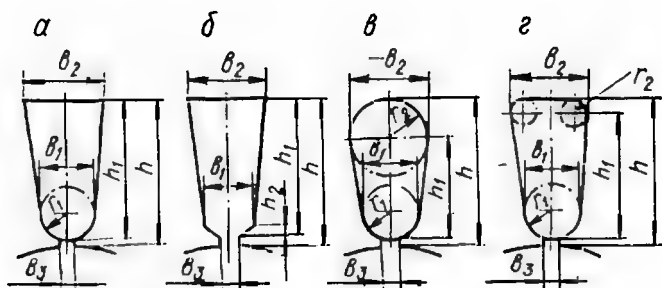


Рис. 10. Формы пазов статора для выпных обмоток.

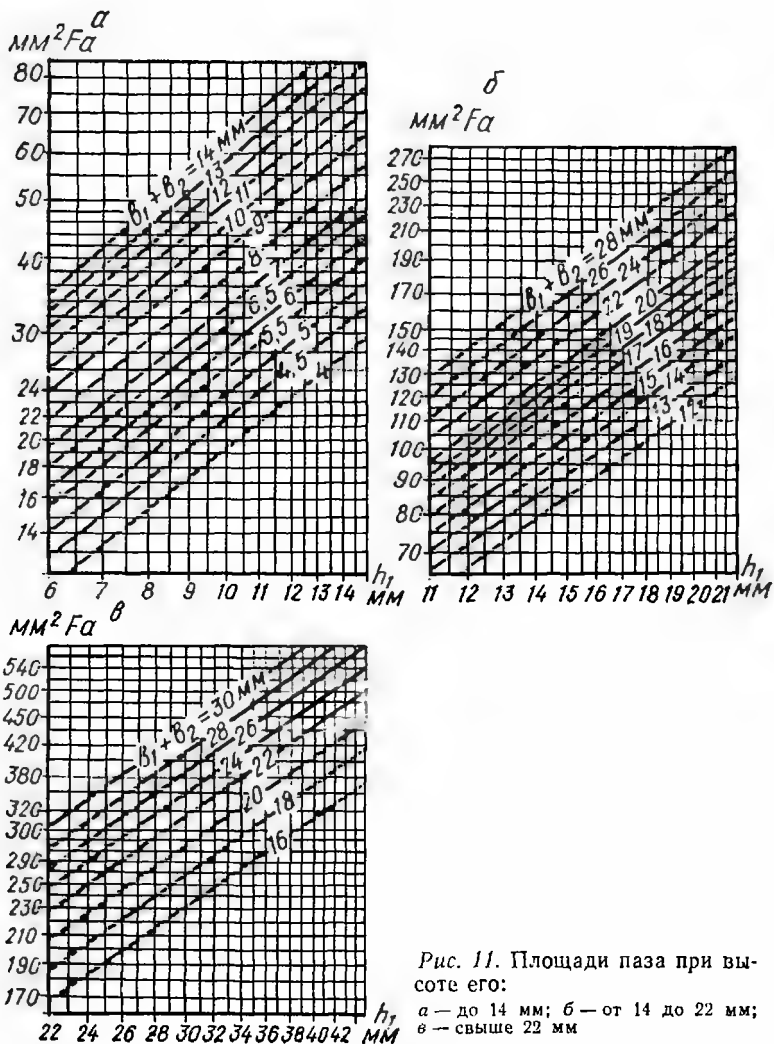


Рис. 11. Площади паза при высоте его:

а — до 14 мм; б — от 14 до 22 мм; в — свыше 22 мм

$$n_{\text{нов}} D_{\text{нов}}^2 \leq n_{\text{ст}} D_{\text{ст}}^2,$$

где $n_{\text{нов}}$ и $D_{\text{нов}}$ — число проводников в пазу и диаметр изолированного провода новой обмотки, мм; $n_{\text{ст}}$, $D_{\text{ст}}$ — то же старой обмотки.

При сравнении заполнения паза старой и новой обмот-

30. Квадраты чисел

| Целая часть и десятые доли числа | Квадраты числа при сотых долях | | | | | | | | | |
|--|--------------------------------|--------|--------|--------|--------|--------|--------|--------|--------|--------|
| | 0 | 0,01 | 0,02 | 0,03 | 0,04 | 0,05 | 0,06 | 0,07 | 0,08 | 0,09 |
| 0,2 | 0,0400 | 0,0441 | 0,0484 | 0,0529 | 0,0576 | 0,0625 | 0,0676 | 0,0729 | 0,0784 | 0,0841 |
| 0,3 | 0,0900 | 0,0961 | 0,1024 | 0,1089 | 0,1156 | 0,1225 | 0,1296 | 0,1369 | 0,1444 | 0,1521 |
| 0,4 | 0,1600 | 0,1680 | 0,1760 | 0,1850 | 0,1940 | 0,2020 | 0,2120 | 0,2210 | 0,2300 | 0,2400 |
| 0,5 | 0,2500 | 0,2600 | 0,2700 | 0,2810 | 0,2920 | 0,3020 | 0,3140 | 0,3250 | 0,3360 | 0,3480 |
| 0,6 | 0,3600 | 0,3720 | 0,3840 | 0,3970 | 0,4100 | 0,4220 | 0,4360 | 0,4490 | 0,4620 | 0,4760 |
| 0,7 | 0,4900 | 0,5040 | 0,5180 | 0,5330 | 0,5480 | 0,5620 | 0,5780 | 0,5930 | 0,6080 | 0,6240 |
| 0,8 | 0,6400 | 0,6560 | 0,6720 | 0,6890 | 0,7060 | 0,7220 | 0,7400 | 0,7570 | 0,7740 | 0,7920 |
| 0,9 | 0,8100 | 0,8280 | 0,8460 | 0,8650 | 0,8840 | 0,9020 | 0,9220 | 0,9410 | 0,9600 | 0,9800 |
| 1,0 | 1,0000 | 1,0200 | 1,0400 | 1,0600 | 1,0800 | 1,1000 | 1,1200 | 1,1400 | 1,1700 | 1,1900 |
| 1,1 | 1,2100 | 1,2300 | 1,2500 | 1,2800 | 1,3000 | 1,3200 | 1,3500 | 1,3700 | 1,3900 | 1,4200 |
| 1,2 | 1,4400 | 1,4600 | 1,4900 | 1,5100 | 1,5400 | 1,5600 | 1,5900 | 1,6100 | 1,6400 | 1,6600 |
| 1,3 | 1,6900 | 1,7200 | 1,7400 | 1,7700 | 1,8000 | 1,8200 | 1,8500 | 1,8800 | 1,9000 | 1,9300 |
| 1,4 | 1,9600 | 1,9900 | 2,0200 | 2,0400 | 2,0700 | 2,1000 | 2,1300 | 2,1600 | 2,1900 | 2,2200 |
| 1,5 | 2,2500 | 2,2800 | 2,3100 | 2,3400 | 2,3700 | 2,4000 | 2,4300 | 2,4600 | 2,5000 | 2,5300 |
| 1,6 | 2,5600 | 2,5900 | 2,6200 | 2,6600 | 2,6900 | 2,7200 | 2,7600 | 2,7900 | 2,8200 | 2,8600 |
| 1,7 | 2,8900 | 2,9200 | 2,9600 | 2,9900 | 3,0300 | 3,0600 | 3,1000 | 3,1300 | 3,1700 | 3,2000 |
| 1,8 | 3,2400 | 3,2800 | 3,3100 | 3,3500 | 3,3900 | 3,4200 | 3,4600 | 3,4900 | 3,5300 | 3,5700 |
| 1,9 | 3,6100 | 3,6500 | 3,6900 | 3,7200 | 3,7600 | 3,8000 | 3,8400 | 3,8800 | 3,9200 | 3,9600 |
| 2,0 | 4,0000 | 4,0400 | 4,0800 | 4,1200 | 4,1600 | 4,2000 | 4,2400 | 4,2800 | 4,3300 | 4,3700 |
| 2,1 | 4,4100 | 4,4500 | 4,4900 | 4,5400 | 4,5800 | 4,6200 | 4,6700 | 4,7100 | 4,7500 | 4,8000 |
| 2,2 | 4,8400 | 4,8800 | 4,9200 | 4,9700 | 5,0200 | 5,0600 | 5,1100 | 5,1500 | 5,2000 | 5,2400 |
| 2,3 | 5,2900 | 5,3400 | 5,3800 | 5,4300 | 5,4800 | 5,5200 | 5,5700 | 5,6200 | 5,6600 | 5,7100 |
| 2,4 | 5,7600 | 5,8100 | 5,8600 | 5,9000 | 5,9500 | 6,0000 | 6,0500 | 6,1000 | 6,1500 | 6,2000 |
| 2,5 | 6,2500 | 6,3000 | 6,3500 | 6,4000 | 6,4500 | 6,5000 | 6,5500 | 6,6000 | 6,6600 | 6,7100 |
| 2,6 | 6,7600 | 6,8100 | 6,8600 | 6,9100 | 6,9700 | 7,0200 | 7,0800 | 7,1300 | 7,1800 | 7,2400 |
| 2,7 | 7,2900 | 7,3400 | 7,4000 | 7,4500 | 7,5100 | 7,5600 | 7,6100 | 7,6700 | 7,7300 | 7,7800 |

кой необходимо учитывать изменение числа слоев. Если двухслойная обмотка заменяется однослойной, коэффициент заполнения может быть увеличен, при замене однослойной обмотки двухслойной — уменьшен (см. табл. 27).

Для удобства проверки приводится табл. 30 квадратов диаметров.

Пример 10. Мощность электродвигателя 4,5 кВт. Данные старой обмотки: $n_{\text{ст}} = 51$, $D_{\text{ст}} = 0,86$ мм; данные новой обмотки: $n_{\text{нов}} = 89$, $D_{\text{нов}} = 0,6$ мм. Однослойная обмотка заменяется двухслойной. Паз грушевидный (рис. 11, а). Проверить возможность размещения новой обмотки в пазу.

По табл. 30 находим $D_{\text{ст}}^2 = 0,86^2 = 0,74$ (на пересечении строки 0,8 и графы 0,06); $D_{\text{нов}}^2 = 0,6^2 = 0,36$; $n_{\text{ст}} D_{\text{ст}}^2 = 51 \cdot 0,74 = 37,8$; $n_{\text{нов}} D_{\text{нов}}^2 = 89 \cdot 0,36 = 32$.

Для грушевидного паза (см. табл. 29) при мощности 4,5 кВт коэффициент заполнения равен 0,46 для однослойной обмотки и 0,40 — для двухслойной.

Уточним результат вычисления заполнения паза новой обмоткой: $32 \cdot 0,46 / 0,4 = 36,8 < 37,8$.

Значит, обмотка в пазу размещается.

Определение числа полюсов трехфазной обмотки статора

Число полюсов для двухслойной обмотки при известном шаге

$$2p \approx (0,8 - 1) z_1 / y,$$

где z_1 — число пазов статора, y — шаг обмотки статора.

Если по формуле получается результат больше двух, но меньше четырех, то следует принять $2p = 2$. Например, при $z_1 = 36$ и $y = 10$

$$2p \approx (0,8 - 1) 36 : 10 = 2,9 - 3,6 = 2.$$

Число полюсов для однослойной или двухслойной обмотки при известном числе пазов на полюс и фазу q

$$2p = z_1 / 3q.$$

В однослойных концентрических и шаблонных обмотках, где катушки расположены одна в центре другой, число q можно определить по лобовым частям.

Если невозможно по оставшейся обмотке определить q и y , то число полюсов можно предварительно найти по

31. Рекомендуемые числа пазов короткозамкнутых роторов

| 2p | z ₁ | z ₂ | |
|----|----------------|----------------|----------------|
| | | прямые пазы | скошенные пазы |
| 1 | 2 | 3 | 4 |

Электродвигатели для обычных условий работы

| | | | |
|----|-----|--|--|
| 2 | 18 | — | 26 |
| | 24 | [16], 32 | (18), (30), 31, 33, 34, 35 |
| | 30 | 22, 38 | (18), 20, 21, 23, (24), 37, 39, 40 |
| | 36 | 26, 28, 44, 46 | 25, 27, 29, 43, 45, 47 |
| | 42 | 32, 34, 50, 52 | — |
| | 48 | 38, 40, 56, 58 | 59 |
| 4 | 24 | [32] | 16, [20], 30, 33, 34, 35, 36 |
| | 36 | 26, 44, 46 | (24), 27, 28, 30, [32], 45, 48 |
| | 42 | (34), (50), 52, 54 | (33), 34, [38], (51), 53 |
| | 48 | 34, 38, 56, 58, 62, 64 | (36), (39), 40, [44], 57, 59 |
| | 60 | 50, 52, 68, 70, 74 | 48, 49, 51, 56, 64, 69, 71 |
| | 72 | 62, 64, 80, 82, 86 | 61, 63, 68, 76, 81, 83 |
| 6 | 36 | 26, 42, [48] | 47, 49, 50 |
| | 54 | 44, 64, 66, 68 | 42, 43, 65, 67 |
| | 72 | 56, 58, 62, 82, 84, 86, 88 | 57, 59, 60, 61, 83, 85, 87 |
| | 90 | 74, 76, 78, 80, 100, 102, 104 | 75, 77, 79, 101, 103, 105 |
| | 48 | 34, 62, [64] | 35, 61, 63, 65 |
| | 72 | 58, 86, 88, 90 | 56, 57, 59, 85, 87, 89 |
| 8 | 84 | 66, (68), 70, 98, 100, 102, 104 | (68), (69), (71), (97), (99), (101) |
| | 96 | 78, 82, 110, 112, 114 | 79, 80, 81, 83, 109, 111, 113 |
| | 60 | 44, 46, 74, 76 | 57, 63, 77, 78, 79 |
| | 90 | 68, 72, 74, 76, 104, 106, 108, 110, 112, 114 | 70, 71, 73, 87, 93, 107, 109 |
| | 120 | 86, 88, 92, 94, 96, 98, 102, 104, 106, 134, 138 | 99, 101, 108, 117, 123, 137, 139 |
| | 72 | 56, 64, 80, 88 | 69, 75, 80, 89, 91, 92 |
| 10 | 90 | 68, 70, 74, 82, 98, 106, 110 | (71), (73), 86, 87, 93, 94, (107) |
| | 108 | 86, 88, 92, 100, 116, 124, 128, 130, 132 | 84, 89, 91, 104, 105, 111, 112, 125, 127 |
| | 144 | 124, 128, 136, 152, 160, 164, 166, 168, 170, 172 | 125, 127, 141, 147, 161, 163 |
| | | | |
| | | | |
| | | | |

Электродвигатели для практически бесшумной работы

| | | | |
|---|----|---|--------------------------------------|
| 2 | 24 | — | 16, (12), (30), (32) |
| | 30 | — | (18), 20, 22, (24), (36), 38, 40 |
| 4 | 36 | — | (24), 26, 28, 44, 46, (48) |
| | 48 | — | (34), 36, 38, 40, 55, 58, 60, 62, 64 |

| 1 | 2 | 3 | 4 |
|---|----------|--------|---|
| 6 | 54 72 | — — | 42, 44, 64, 66, 68 56, 58, 60, 62, 82, 84, 86, 88, 90 |
| 8 | 72 96 | — — | 58, 86, 88, 90 78, 80, 82, 110, 112, 114 |

Примечания: 1. Числа пазов, заключенные в круглые скобки, дают ухудшенные пусковые характеристики.

2. Числа пазов, заключенные в квадратные скобки, не следует применять для машин, работающих в режиме тормоза.

отношению наружного диаметра D_a статора к его внутреннему диаметру D_i :

$$D_a/D_i \quad \begin{matrix} 2p \\ 1,70-1,90 \end{matrix} \quad \begin{matrix} 2 \\ 1,55-1,65 \end{matrix} \quad \begin{matrix} 4 \\ 1,40-1,50 \end{matrix} \quad \begin{matrix} 6 \\ 1,30-1,40 \end{matrix} \quad \begin{matrix} 8,10 \end{matrix}$$

Примечание. В серийных машинах при одних и тех же диаметрах могут быть различные числа полюсов, например 4 и 6, 6 и 8, 8 и 10,

а затем проверить по величине индукции в спинке статора и в зубцах. Правильность выбора числа полюсов можно проверить также по соотношению чисел пазов ротора и статора (табл. 31).

Расчет обмоточных данных статора трехфазного электродвигателя с всыпной обмоткой

Статорные обмотки асинхронных электродвигателей выполняются в виде мягких (всыпных) или жестких секций либо протяжкой вручную обмоточного провода в закрытые или полужакрытые пазы.

В электродвигателях малой и средней мощности наибольшее распространение получили двухслойные обмотки с мягкими секциями. Ниже рассматривается расчет подобных обмоток.

Полюсное деление (см)

$$\tau = 3,14 D_i / 2p.$$

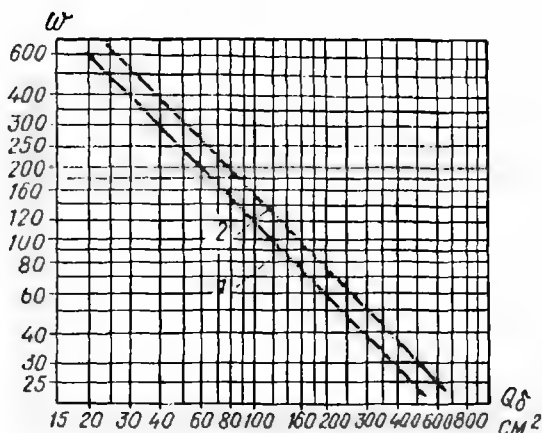
Площадь полюсного деления (см²) $Q_p = \tau l$.

Число последовательно соединенных витков в фазе обмотки при напряжении $U_\phi = 127$ В находят по рис. 12. Если напряжение равно не 127 В, то найденное число витков пересчитывают по формуле:

$$\omega' = \omega U_\phi / 127.$$

Рис. 12. Число последовательно соединенных витков в фазе ω в зависимости от площади полюсного деления Q при напряжении $U_n = 127$ В:

1 — при $2p=2$;
2 — при $2p>2$



Окончательное число витков уточняется после определения числа проводников в пазу и проверки величины индукции в воздушном зазоре, спинке статора и зубцах (табл. 32).

32. Значение индукций в нормальных асинхронных машинах

| $2p$ | B_δ , Т, при τ , см | | | B_0 , Т | B_z ***, Т |
|-----------|---------------------------------|-----------|-----------|-----------|--------------|
| | 3—6 | 6—11 | 12—30* | | |
| 2 | — | 0,45—0,50 | 0,65—0,70 | 1,2—1,7 | 1,3—1,7 |
| 4 | 0,55—0,65 | — | 0,70—0,75 | 1,0—1,5** | |
| 6 и более | — | — | 0,71—0,77 | — | |

* Для закрытых обдуваемых машин значения должны быть уменьшены на 10 %.

** Индукция может быть меньше указанных значений при унификации штампов для разных чисел полюсов, например, для $2p = 4$ и 6; 6 и 8 и т. д.

*** Для трапецидальных и грушевидных пазов.

Высота спинки статора (см)

$$h_c = 0,5 (D_a - D_i - 2h_n),$$

где h_n — глубина паза, см.

Число эффективных проводников в пазу

$$N = 6\omega'a/z_1.$$

Число пазов на полюс и фазу

$$q = z_1/2pt.$$

Индукция в воздушном зазоре (Т)

$$B_{\delta} = 64 K_E U_{\phi} / K_{об} Q_{\delta} w',$$

где K_E — отношение ЭДС к напряжению:

$$Q_{\delta}, \text{ см}^2 \quad 15-50 \quad 50-100 \quad 100-150 \quad 150-400 \quad \text{Свыше } 400$$

$$K_E \quad 0,75-0,86 \quad 0,86-0,90 \quad 0,90-0,93 \quad 0,93-0,95 \quad 0,96-0,97$$

Индукция в спинке статора (Т)

$$B_c = 0,36 B_{\delta} \tau / h_c.$$

Пазовое деление (см)

$$t = 3,14 D_1 / z_1.$$

Индукция в зубцах (Т)

$$B_z = B_{\delta} t / 0,93 b_z,$$

где b_z — минимальная толщина зуба, см.

Диаметр провода с изоляцией (мм)

$$D = \sqrt{K_n F / 0,785 n}.$$

Диаметр изолированного провода в асинхронных машинах мощностью 0,6 кВт и выше обычно меньше ширины шлица (прорези) паза на 1,5—2 мм.

При коэффициенте заполнения паза $K_n = 0,4$ диаметр изолированного провода можно определить без вычислений по рис. 13, 14. При других значениях K_n полученную величину надо умножить на коэффициент K :

| | | | | | | |
|-------|------|------|-----|------|------|------|
| K_n | 0,36 | 0,37 | 0,4 | 0,43 | 0,46 | 0,50 |
| K | 0,95 | 0,96 | 1,0 | 1,04 | 1,08 | 1,12 |

Пример 11. Определить диаметр изолированного провода при $F = 170 \text{ мм}^2$, $n = 82$ и $K_n = 0,36$. По рис. 13 находим при $K_n = 0,4$ $D = 1,02 \text{ мм}$, $K = 0,95$; при $K_n = 0,36$ $D' = 0,95 \cdot 1,02 = 0,97 \text{ мм}$.

Диаметр провода без изоляции определяется в зависимости от его марки.

Фазный ток обмотки статора (А)

$$I_{\phi} = j S_{эл} n_{эл} a,$$

где j — плотность тока, А/мм² (в системе единиц СИ плотность тока выражается в А/м²; 1 А/м² = 10⁶ А/мм²) (табл. 33).

33. Ориентировочные значения плотности тока (А/мм²) в асинхронных электродвигателях

| D_a , см | Защищенных | Закрытых обдуваемых |
|------------|------------|---------------------|
| 130—300 | 6,5—5,5 | 6,0—4,5 |
| 300—500 | 5,5—4,5 | 4,5—3,5 |

34. Энергетический КПД микродвигателей с короткозамкнутым ротором

| $2p$ | $\eta \cos \phi$ при S_H , В А | |
|------|----------------------------------|----------|
| | 150—400 | 400—1000 |
| 2 | 0,4—0,6 | 0,6—0,7 |
| 4 | 0,3—0,5 | 0,5—0,6 |

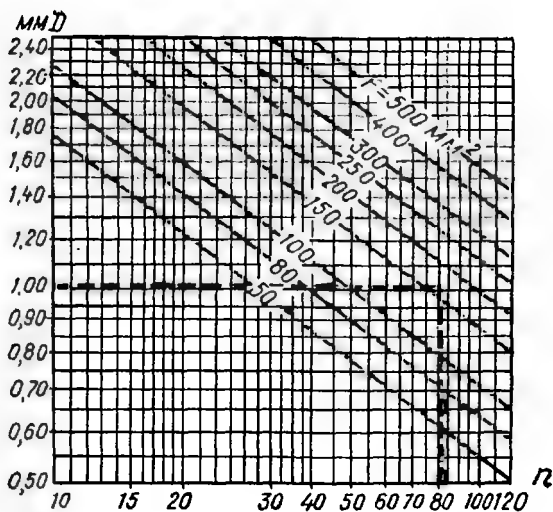


Рис. 13. Определение диаметра изолированного провода D при $K_n=0,4$ и числе проводников в пазу $n=10-120$

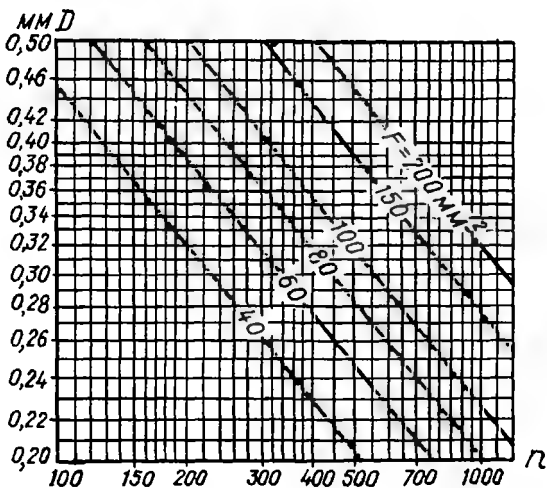


Рис. 14. Определение диаметра изолированного провода D при $K_n=0,4$ и числе проводников в пазу $n=120-1200$

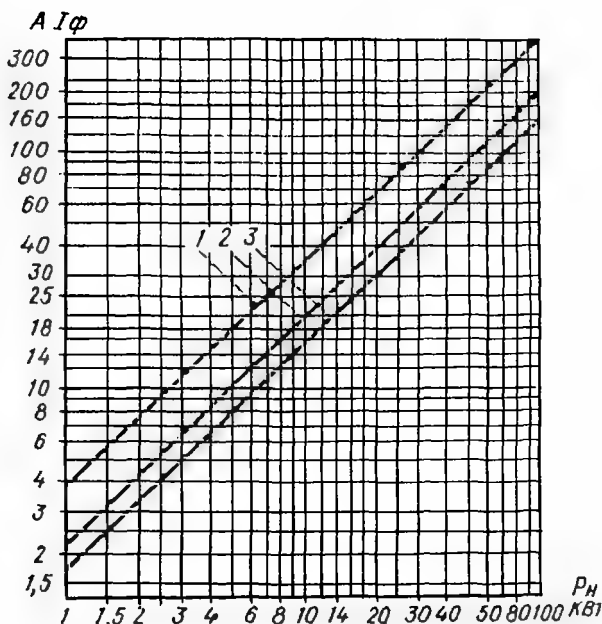


Рис. 15. Зависимость мощности P от тока фазы I_ϕ при числе полюсов $2p=2$ и напряжении U_ϕ :

1 — 127 В, 2 — 220 В, 3 — 289 В (фазное напряжение при напряжении сети 500 В и соединении фаз обмотки звездой)

Номинальная мощность электродвигателей и микродвигателей (до 600—1000 Вт):
полная мощность (В.А)

$$S'_n = 3U_{\phi.n}I_{\phi.n};$$

номинальная мощность на валу

$$P_n = S_n \eta_n \cos \varphi_n,$$

где $\eta_n \cos \varphi_n$ — номинальный энергетический КПД (табл. 34).

Номинальная мощность малых и средних электродвигателей (до 100 кВт) при числе полюсов $2p=2$ определяется по рис. 15; при $2p=4$ полученное значение надо уменьшить на 6—8 %, при $2p=6,8$ — на 5—15 % (большой процент для электродвигателей меньшей мощности).

Пример 12. Определить обмоточные данные статора, исходя из следующих данных: $U_n = 220/380$ В, $z_1 = 54$, $z_2 = 64$, $D_a = 29,1$ см,

$D_l = 20,6$ см, $l = 15$ см, паз — грушевидный (см. рис. 10). Размеры паза: $h = h_n = 25,9$ мм, $h_1 = 20,4$ мм, $b_2 = 9$ мм, $b_1 = 7$ мм, $r_2 = 4,5$ мм, $r_1 = 3,5$ мм, $b_z = 5,5$ мм. Число полюсов неизвестно. Электродвигатель закрытый обдуваемый.

Число полюсов определяем из отношения

$$D_a/D_l = 29,1/20,6 = 1,41.$$

Находим, что значение 1,41 (см. с. 58) наиболее близко к числу полюсов $2p = 6$. По табл. 31 проверяем, что $z_2 = 64$ допустимо при $z_1 = 54$ и $2p = 6$. Эта машина может быть использована и при $2p = 8$, так как отношение $D_a/D_l = 1,41$ близко к 1,40, которое соответствует $2p = 8,10$, а в единой серии А2, А02 применяются при $2p = 8$ числа пазов $z_1 = 54$ и $z_2 = 64$. Однако при этом могут ухудшиться некоторые характеристики электродвигателя.

Ведем расчет при $2p = 6$.

Полюсное деление

$$\tau = 3,14 \cdot 20,6/6 = 10,8 \text{ см.}$$

Площадь полюсного деления

$$Q_b = 10,8 \cdot 15 = 162 \text{ см}^2.$$

Число последовательно соединенных витков при напряжении $U_\phi = 127$ В $\omega = 76$ (по рис. 12).

Число витков при $U_\phi = 220$ В

$$\omega' = 76 \cdot 220/127 = 132.$$

Высота спинки статора

$$h_a = 0,5 (29,1 - 20,6 - 2 \cdot 25,9) = 1,66 \text{ см.}$$

Число эффективных проводников в пазу

$$N = 6 \cdot 132 \cdot 2/54 = 29,3 \approx 30,$$

где $a = 2$ (по табл. 24).

Число последовательных витков при $N = 30$

$$\omega' = 30 \cdot 54/6 \cdot 2 = 135.$$

Число пазов на полюс и фазу

$$q = 54/6 \cdot 3 = 3.$$

Шаг обмотки и обмоточный коэффициент определяем исходя из типа обмотки и числа полюсов. Так как диаметр $D_o > 250$ мм, выбираем двухслойную обмотку с укороченным шагом $y = 7$ (1 — 8) (по табл. 25); $K_{об} = 0,902$ (по табл. 28).

Индукция в воздушном зазоре

$$B_\delta = 64 \cdot 0,93 \cdot 220/0,902 \cdot 162 \cdot 135 = 0,664 \text{ Т.}$$

Индукция в спинке статора

$$B_c = 0,36 \cdot 0,664 \cdot 10,8/1,66 = 1,55 \text{ Т.}$$

Пазовое деление

$$t = 3,14 \cdot 20,6/54 = 1,2 \text{ см.}$$

Индукция в зубцах

$$B_z = 0,664 \cdot 1,2/0,93 \cdot 0,55 = 1,56 \text{ Т.}$$

Сравнивая величины индукций с допустимыми значениями, находим, что индукция в спинке статора несколько завышена. Чтобы уменьшить ее, увеличиваем число проводников в пазу. Верхнее предельно допустимое значение $B_c = 1,5 \text{ Т}$, берем $B_c = 1,4 \text{ Т}$ для создания некоторого запаса:

$$N' = NB_c / 1,4 = 30 \cdot 1,55/1,4 = 33,2 \approx 34.$$

Площадь паза

$$F = 1,57 (3,5^2 + 4,5^2) + 0,5 (20,4 - 3,5) (7 + 9) = 186 \text{ мм}^2.$$

Коэффициент заполнения $K_n = 0,4$ (по табл. 29), мощность определяем по размерам сердечника и таблицам обмоточных данных.

Диаметр провода с изоляцией $D = 1,64 \text{ мм}$ (по рис. 13) при $n = 34$ (принимаем $n_{\text{из}} = 1$).

Диаметр провода для марки ПЭТВ без изоляции выбираем по табл. 15: $d = 1,56 \text{ мм}$.

Сечение провода $S_{\text{эл}} = 1,91 \text{ мм}^2$ (по табл. 18).

Фазный ток обмотки статора

$$I_{\phi} = 5,2 \cdot 1,91 \cdot 1,2 \approx 19,9 \text{ А,}$$

где $5,2 \text{ А/мм}^2$ — плотность тока j по табл. 33.

Номинальная мощность по валу

$$P'_n = 0,9 \cdot 11 \approx 10 \text{ кВт,}$$

где $P_n = 11 \text{ кВт}$ (по рис. 15).

Расчет массы

и сопротивления всыпной обмотки статора

Средняя ширина (см) катушки двухслойной и однослойной цепной обмоток

$$\tau_y = 3,14 (D_i + h_n) y/z_1.$$

Длина лобовой части (см):

а) двухслойной и однослойной цепной обмоток

$$l_l = K_n \tau_y + 2,$$

где K_n находят по табл. 35;

б) однослойной концентрической обмотки

$$l_l = 1,4 \tau + (2 - 5).$$

Большие значения в скобках берутся для более крупных машин.

Вылет лобовой части (см для двухслойной обмотки (от торца сердечника)

$$l_b = K\tau_y + 2,$$

где K_b находят по табл. 35.

Средняя длина полувитка (см)

$$l_{пв} = l_n + l_1.$$

Общая длина провода (км) на обмотку

$$L = l_{пв} z_1 n 10^{-5}.$$

Масса меди (кг) без изоляции

$$M_m = 7Ld^2.$$

Масса провода (кг) с изоляцией

$$M = [0,876 + 0,124 (D/d)^2] M_m.$$

Сопротивление фазы трехфазной обмотки (Ом)

$$r = 5,85 L \rho S (n_{эл} d)^2.$$

35. Коэффициенты K_l и K_b для расчета обмоток

| 2p | Лобовые части не изолированы | | Лобовые части изолированы лентой | |
|----|------------------------------|-------|----------------------------------|-------|
| | K_l | K_b | K_l | K_b |
| 2 | 1,2 | 0,26 | 1,45 | 0,44 |
| 4 | 1,3 | 0,40 | 1,55 | 0,50 |
| 6 | 1,4 | 0,50 | 1,75 | 0,60 |
| 8 | 1,5 | 0,50 | 1,90 | 0,72 |

Примечание. Для однослойной цепной обмотки K_l берется на 10 — 15 % больше.

Пример 13. Определить массу и сопротивление обмотки при следующих данных: $D_i = 14,4$ см, $h_n = 2,1$ см, $l_1 = 14,8$ см, $z_1 = 36$, $2p = 6$, $m = 3$, $n = 32 \times 2$, $d = 1,12$ мм, $a = 1$. Обмотка однослойная концентрическая, провод медный ПЭВ-2, $D = 1,23$ мм. Лобовые части не изолированы.

Полюсное деление

$$\tau = 3,14 \cdot 14,4 / 6 = 7,55 \text{ см.}$$

Длина лобовой части

$$l_n = 1,4 \cdot 7,55 + 4 = 14,6 \text{ см.}$$

Средняя длина полувитка

$$l_{пв} = 14,6 + 14,8 = 29,4 \text{ см.}$$

Общая длина провода на обмотку

$$L = 29,4 \cdot 36 \cdot 32 \cdot 2 \cdot 10^{-5} = 0,678 \text{ км.}$$

Масса меди без изоляции

$$M_m = 7 \cdot 0,678 \cdot 1,12^2 = 5,95 \text{ кг.}$$

Масса провода с изоляцией

$$M = [0,876 + 0,124 (1,23/1,12)^2] 5,95 = 6,1 \text{ кг.}$$

Сопротивление фазы обмотки

$$r = 5,85 \cdot 0,678 / 0,985 (2 \cdot 1,12)^2 = 1 \text{ Ом,}$$

где $S = 0,985 \text{ мм}^2$ (по табл. 18).

**Обмоточные данные трехфазных асинхронных
электродвигателей серии 4А при высоте оси
вращения 50—250 мм**

Обозначение величин в таблицах приведено на с. 36. Шаги обмоток обозначены одной цифрой. Например, для однослойной concentрической обмотки $y = 11, 9, 7$, что равноценно 1—12, 2—11, 3—10 (катушки находятся одна внутри другой).

Число проводников в пазу представлено в виде произведения: множимое означает число эффективных проводников, множитель — число параллельных (элементарных) проводников. Для двухслойной обмотки число эффективных проводников представлено в виде суммы, причем каждое слагаемое означает число эффективных проводников в слое обмотки. Например, число 43 означает, что обмотка однослойная, наматывается одним проводом (параллельных проводников нет), число эффективных проводников в пазу 43, общее число проводников в пазу 43; запись 43×3 означает, что обмотка однослойная, наматывается тремя параллельными проводами, число эффективных проводников в пазу 43, общее число проводников в пазу $43 \times 3 = 129$; запись $(16 + 16) 2$ означает, что обмотка двухслойная, наматывается двумя параллельными проводами, число эффективных проводников в пазу $16 + 16 = 32$, в каждом слое обмотки 16 эффективных проводников в пазу, общее число проводников в пазу $(16 + 16) 2 = 64$.

36. Обмоточные данные электродвигателей при высоте оси вращения 50—63 мм

| Обозначение | Р _н , Вт | U _н = 127/220 В | | | | U _н = 220/380 В | | | | y | l _{ср} , мм |
|-----------------------------------|------------------------|----------------------------|-------|-------|-------|----------------------------|-------|-------|-------|-------|----------------------|
| | | n | d, мм | r, Ом | M, кг | n | d, мм | r, Ом | M, кг | | |
| 4АА50А2 | 90 | 260 | 0,35 | 28,2 | 0,43 | 450 | 0,27 | 82,3 | 0,44 | 7; 5 | 294 |
| 4АА50В2 | 120 | 228 | 0,41 | 19,1 | 0,54 | 394 | 0,31 | 57,8 | 0,53 | 7; 5 | 310 |
| 4АА50А4 | 60 | 367 | 0,33 | 35,2 | 0,42 | 635 | 0,27 | 91,0 | 0,48 | 3 | 230 |
| 4АА50В4 | 90 | 289 | 0,38 | 22,7 | 0,48 | 500 | 0,31 | 59,1 | 0,55 | 3 | 250 |
| 4АА56А2У3, 4ААВ56А2У3, 4АА56А2ПУ3 | 180 | 93 | 0,41 | 16,0 | 0,44 | 166 | 0,29 | 54,9 | 0,40 | 11; 9 | 306 |
| 4АА56В2У3, 4ААВ56В2У3, 4АА56В2ПУ3 | 250 | 82 | 0,44 | 12,9 | 0,47 | 143 | 0,33 | 38,6 | 0,46 | 11; 9 | 324 |
| 4АА56А4У3, 4ААВ56А4У3, 4АА56А4ПУ3 | 120 | 133 | 0,41 | 18,5 | 0,51 | 254 | 0,29 | 70,5 | 0,50 | 7; 5 | 257 |
| 4АА56В4У3, 4ААВ56В4У3, 4АА56В4ПУ3 | 180 | 117 | 0,44 | 15,0 | 0,57 | 203 | 0,33 | 46,5 | 0,55 | 7; 5 | 275 |
| 4АА63А2У3, 4ААВ63А2У3, 4АА63А2ПУ3 | 370 | 73 | 0,51 | 8,41 | 0,58 | 126 | 0,38 | 26,2 | 0,55 | 11; 9 | 330 |
| 4АА63В2У3, 4ААВ63В2У3, 4АА63В2ПУ3 | 550 | 58 | 0,57 | 5,62 | 0,60 | 101 | 0,44 | 16,7 | 0,62 | 11; 9 | 350 |
| 4АА63А4У3, 4ААВ63А4У3, 4АА63А4ПУ3 | 250 | 98 | 0,49 | 10,1 | 0,59 | 169 | 0,38 | 29,0 | 0,61 | 7; 5 | 272 |
| 4АА63В4У3, 4ААВ63В4У3, 4АА63В4ПУ3 | 370 | 79 | 0,53 | 7,4 | 0,59 | 137 | 0,41 | 21,4 | 0,61 | 7; 5 | 289 |
| 4АА63А6У3, 4ААВ63А6У3, 4АА63А6ПУ3 | 180 | 98 | 0,44 | 16,8 | 0,64 | 170 | 0,33 | 51,9 | 0,62 | 7; 5 | 244 |
| 4АА63В6У3, 4ААВ63В6У3, 4АА63В6ПУ3 | 250 | 76 | 0,53 | 10,5 | 0,83 | 131 | 0,41 | 30,0 | 0,85 | 7; 5 | 283 |

Примечания: 1. Марка провода — ПЭТВМ, класс нагревостойкости — Е.

2. Число параллельных ветвей — одна.

3. Односторонняя толщина лаковой изоляции — 0,2 мм.

37. Обмоточные данные электродвигателей при высоте оси вращения 71—100 мм

| Обозначение | Р _н , кВт | U _н = 220/380 В | | | | U _н = 380/660 В | | | | U _н = 550 В | | ν | t _{ср} , мм |
|-------------|-------------------------|----------------------------|------|-------|------|----------------------------|------|------|-------|------------------------|-------|----------|-------------------------|
| | | d, мм | | r, Ом | | M, кг | | n | d, мм | r, Ом | M, кг | n | d, мм |
| | | n | | | | | | | | | | | |
| 4A71A2 | 0,75 | 89 | 0,53 | 12,0 | 0,91 | 154 | 0,41 | 35,0 | 0,93 | 117 | 0,47 | 11; 9 | 420 |
| 4A71B2 | 1,10 | 73 | 0,59 | 8,35 | 0,96 | 126 | 0,44 | 25,9 | 0,92 | 96 | 0,51 | 11; 9 | 438 |
| 4A71A4 | 0,55 | 113 | 0,53 | 12,2 | 0,92 | 192 | 0,41 | 35,0 | 0,93 | 149 | 0,47 | 7; 5 | 336 |
| 4A71B4 | 0,75 | 95 | 0,57 | 9,45 | 0,94 | 164 | 0,44 | 27,3 | 0,97 | 125 | 0,49 | 7; 5 | 354 |
| 4A71A6 | 0,37 | 114 | 0,47 | 21,2 | 0,97 | — | — | — | — | 150 | 0,38 | 7; 5 | 300 |
| 4A71B6 | 0,55 | 85 | 0,53 | 14,45 | 1,08 | 147 | 0,41 | 41,8 | 1,11 | 112 | 0,47 | 7; 5 | 350 |
| 4A71B8 | 0,25 | 148 | 0,41 | 35,6 | 0,95 | — | — | — | — | 195 | 0,35 | 5; 3; 5* | 296 |
| 4A80A2 | 1,50 | 61 | 0,8 | 4,1 | 1,59 | 106 | 0,59 | 13,1 | 1,51 | 80 | 0,69 | 11; 9 | 474 |
| 4A80B2 | 2,20 | 48 | 0,93 | 2,6 | 1,82 | 83 | 0,69 | 8,14 | 1,74 | 63 | 0,8 | 11; 9 | 514 |
| 4A80A4 | 1,10 | 60 | 0,67 | 7,15 | 1,36 | 102 | 0,51 | 21,0 | 1,35 | 79 | 0,59 | 11; 9; 7 | 392 |
| 4A80B4 | 1,50 | 49 | 0,74 | 5,3 | 1,49 | 85 | 0,55 | 16,5 | 1,44 | 65 | 0,64 | 11; 9; 7 | 432 |
| 4A80A6 | 0,75 | 82 | 0,59 | 10,8 | 1,24 | 142 | 0,44 | 33,6 | 1,19 | 108 | 0,51 | 7; 5 | 336 |
| 4A80B6 | 1,10 | 58 | 0,72 | 6,25 | 1,58 | 101 | 0,53 | 20,0 | 1,51 | 76 | 0,62 | 7; 5 | 410 |
| 4A80A8 | 0,37 | 121 | 0,49 | 21,40 | 1,16 | 200 | 0,38 | 58,8 | 1,16 | 159 | 0,41 | 5; 3; 5* | 310 |
| 4A80B8 | 0,55 | 91 | 0,57 | 13,40 | 1,33 | 153 | 0,44 | 37,7 | 1,34 | 120 | 0,49 | 5; 3; 5* | 350 |
| 4A90L2 | 3,00 | 44 | 1,08 | 1,96 | 2,51 | 76 | 0,80 | 6,2 | 2,39 | 58 | 0,96 | 11; 9 | 572 |
| 4A90L4 | 2,20 | 40 | 0,90 | 3,10 | 1,92 | 69 | 0,67 | 9,7 | 1,84 | 53 | 0,77 | 11; 9; 7 | 462 |
| 4A90L6 | 1,50 | 51 | 0,83 | 4,37 | 1,95 | 88 | 0,62 | 13,5 | 1,89 | 67 | 0,72 | 7; 5 | 432 |
| 4A90LA8 | 0,75 | 74 | 0,67 | 8,30 | 1,58 | 128 | 0,51 | 24,9 | 1,60 | 97 | 0,59 | 5; 3; 5* | 370 |
| 4A90LB8 | 1,10 | 58 | 0,77 | 5,75 | 1,91 | 101 | 0,57 | 18,3 | 1,83 | 76 | 0,67 | 5; 3; 5* | 430 |
| 4A100S4 | 3,00 | 35 | 1,12 | 1,90 | 2,81 | 60 | 0,86 | 5,53 | 2,85 | 46 | 1,00 | 11; 9; 7 | 500 |
| 4A100L4 | 4,00 | 28 | 1,30 | 1,28 | 3,39 | 48 | 0,96 | 3,98 | 3,18 | 37 | 1,12 | 11; 9; 7 | 560 |

| | | | | | | | | | | | | | |
|---------|------|----|------|------|------|----|------|-------|------|----|------|----------|-----|
| 4A100L6 | 2,20 | 43 | 1,04 | 2,55 | 2,81 | 74 | 0,80 | 7,40 | 2,87 | 57 | 0,90 | 7; 5 | 170 |
| 4A100L8 | 1,50 | 56 | 0,93 | 3,85 | 2,71 | 97 | 0,69 | 12,14 | 2,60 | 74 | 0,80 | 5; 3; 5* | 436 |

* 5; 3 — шаги обмотки для катушечной подгруппы из двух катушек, 5 — шаг обмотки для катушечной группы из одной катушки.

Примечания: 1. Марка провода — ПЭТВ—9С9.

2. Число параллельных ветвей — одна.

3. Односторонняя толщина пазовой изоляции—0,2 мм при высоте оси вращения 71; 80 мм и 0,25 мм — при высоте оси вращения 90 и 100 мм.

4. Соединение фаз при напряжении 500 В — Y.

38. Обмоточные данные электродвигателей при высоте оси вращения 112—132 мм

| Обозначение | P _н , кВт | U _н = 127/220 В | | | | U _н = 220/380 В | | | | y | l _{ср} , мм | | |
|-------------|-------------------------|----------------------------|-------|---|-------|----------------------------|------|-------|---|-------|-------------------------|----------|-------|
| | | n | d, мм | a | r, Ом | M, кг | n | d, мм | a | | | r, Ом | M, кг |
| 4A112M2 | 7,5 | 30×2 | 1,16 | 2 | 0,174 | 4,79 | 26×2 | 1,25 | 1 | 0,521 | 4,81 | 11; 9 | 690 |
| 4A112M4 | 5,5 | 14×2 | 1,30 | 1 | 0,323 | 3,49 | 25 | 1,40 | 1 | 0,990 | 3,61 | 11; 9; 7 | 572 |
| 4A112MA6 | 3,0 | 16×2 | 1,04 | 1 | 0,687 | 3,05 | 28 | 1,12 | 1 | 2,06 | 3,09 | 11; 9; 7 | 454 |
| 4A112MB6 | 4,0 | 13×2 | 1,16 | 1 | 0,498 | 3,42 | 23 | 1,25 | 1 | 1,51 | 3,51 | 11; 9; 7 | 504 |
| 4A112MA8 | 2,2 | 23×2 | 0,96 | 1 | 0,945 | 3,04 | 39 | 1,04 | 1 | 2,73 | 3,03 | 7; 5 | 416 |
| 4A112MB8 | 3,0 | 18×2 | 1,08 | 1 | 0,668 | 3,45 | 31 | 1,20 | 1 | 1,87 | 3,68 | 7; 5 | 476 |
| 4A132M2 | 11,0 | 24×2 | 1,35 | 2 | 0,116 | 5,77 | 21×3 | 1,20 | 1 | 0,342 | 6,06 | 11; 9 | 772 |
| 4A132S4 | 7,5 | 13×3 | 1,35 | 1 | 0,193 | 5,44 | 22×2 | 1,25 | 1 | 0,571 | 5,27 | 11; 9; 7 | 596 |
| 4A132M4 | 11,0 | 19×2 | 1,35 | 3 | 0,121 | 6,09 | 32×2 | 1,04 | 2 | 0,346 | 6,14 | 11; 9; 7 | 686 |
| 4A132S6 | 5,5 | 12×2 | 1,35 | 1 | 0,348 | 4,35 | 20×2 | 1,04 | 1 | 0,976 | 4,33 | 11; 9; 7 | 516 |
| 4A132M6 | 7,5 | 9×3 | 1,25 | 1 | 0,239 | 4,94 | 15×2 | 1,20 | 1 | 0,649 | 5,10 | 11; 9; 7 | 606 |

| Обозначение | P_n , кВт | $U_n = 127/220$ В | | | | | $U_n = 220/380$ В | | | | | ν | $l_{ср}$, мм |
|-------------|-------------|-------------------|----------|----------|----------|----------|-------------------|----------|----------|----------|----------|----------|---------------|
| | | n | d , мм | α | r , Ом | M , кг | n | d , мм | α | r , Ом | M , кг | | |
| 4A132S8 | 4,0 | 16×2 | 1,25 | 1 | 0,440 | 4,04 | 27 | 1,40 | 1 | 1,18 | 4,28 | 7; 5 | 470 |
| 4A132M8 | 5,5 | 12×3 | 1,16 | 1 | 0,303 | 4,67 | 21×2 | 1,08 | 1 | 0,919 | 4,72 | 7; 5 | 560 |
| 4A1122MA | 7,5 | 45 | 1,36 | 1 | 1,55 | 4,84 | 34×2 | 1,08 | 1 | 0,912 | 4,71 | 11; 9 | 690 |
| 4A112M4 | 5,5 | 43 | 1,04 | 1 | 3,10 | 3,44 | 33 | 1,20 | 1 | 1,79 | 3,53 | 11; 9; 7 | 572 |
| 4A112MA6 | 3,0 | 48 | 0,86 | 1 | 6,02 | 3,12 | 37 | 0,96 | 1 | 3,73 | 2,99 | 11; 9; 7 | 452 |
| 4A1122MB6 | 4,0 | 40 | 0,93 | 1 | 4,77 | 3,37 | 30 | 1,08 | 1 | 2,65 | 3,42 | 11; 9; 7 | 504 |
| 4A112MA8 | 2,2 | 67 | 0,80 | 1 | 7,91 | 3,08 | 51 | 0,93 | 1 | 4,46 | 3,16 | 7; 5 | 416 |
| 4A112MB8 | 3,0 | 53 | 0,90 | 1 | 5,67 | 3,52 | 41 | 0,40 | 1 | 3,28 | 3,65 | 7; 5 | 476 |
| 4A132M2 | 11,0 | 36×2 | 1,12 | 1 | 1,00 | 5,98 | 28×2 | 1,25 | 1 | 0,63 | 5,79 | 11; 9 | 722 |
| 4A132S4 | 7,5 | 38 | 1,35 | 1 | 1,70 | 5,3 | 29×2 | 1,80 | 1 | 1,01 | 5,20 | 11; 9; 7 | 596 |
| 4A132M4 | 11,0 | 56 | 1,12 | 2 | 1,045 | 6,21 | 42 | 1,30 | 2 | 0,583 | 6,26 | 11; 9; 7 | 686 |
| 4A132S6 | 5,5 | 35 | 1,12 | 1 | 2,93 | 4,38 | 26 | 1,30 | 1 | 1,624 | 4,38 | 11; 9; 7 | 516 |
| 4A132M6 | 7,5 | 26 | 1,30 | 1 | 1,906 | 5,15 | 20×2 | 1,04 | 1 | 1,15 | 5,07 | 11; 9; 7 | 606 |
| 4A132S8 | 4,0 | 47 | 1,04 | 1 | 3,71 | 4,12 | 36 | 1,20 | 1 | 2,14 | 4,22 | 7; 5 | 470 |
| 4A132M8 | 5,5 | 36 | 1,20 | 1 | 2,55 | 5,02 | 28 | 1,35 | 1 | 1,563 | 4,89 | 7; 5 | 560 |

Примечания: 1. Марка провода — ПЭТВ.

2. Соединение фаз при напряжении 500 В — Y.

39. Обмоточные данные электродвигателей при высоте оси вращения 160—250 мм

| Обозначение | Р _в , кВт | U _н = 220/380 В | | | | | U _н = 380/660 В | | | | | y | I _{ср} , мм |
|-------------|----------------------|----------------------------|-------|---|-------|-------|----------------------------|-------|---|-------|-------|----------|----------------------|
| | | π | d, мм | a | γ, Ом | M, кг | π | d, мм | a | γ, Ом | M, кг | | |
| | | | | | | | | | | | | | |
| 4A160S2 | 15,0 | (16+16)2 | 1,20 | 2 | 0,268 | 9,0 | 28+28 | 1,30 | 2 | 0,86 | 9,2 | 12; 12 | 760 |
| 4A160M2 | 18,5 | (14+14)2 | 1,30 | 2 | 0,226 | 9,7 | 24+24 | 1,40 | 2 | 0,67 | 9,6 | 12; 12 | 800 |
| 4A160S4 | 15,0 | 27×2 | 1,25 | 2 | 0,270 | 9,9 | 47 | 1,35 | 2 | 0,81 | 10,0 | 11; 9 | 690 |
| 4A160M4 | 18,5 | 22×2 | 1,40 | 2 | 0,196 | 11,3 | 38 | 1,50 | 2 | 0,692 | 11,2 | 11; 9 | 770 |
| 4A160S6 | 11,0 | 46 | 1,16 | 3 | 0,520 | 7,9 | 27×2 | 1,08 | 1 | 1,590 | 8,1 | 11; 9; 7 | 670 |
| 4A160M6 | 15,0 | 34 | 1,35 | 3 | 0,330 | 9,2 | 20×2 | 1,25 | 1 | 1,020 | 9,3 | 11; 9; 7 | 780 |
| 4A160S8 | 7,5 | 41×2 | 0,93 | 2 | 0,642 | 7,2 | 71 | 1,00 | 2 | 1,920 | 7,2 | 7; 5 | 595 |
| 4A160M8 | 11,0 | 30×2 | 1,08 | 2 | 0,412 | 8,4 | 52 | 1,16 | 2 | 1,240 | 8,5 | 7; 5 | 705 |
| 4AH160S2 | 22,0 | (14+14)2 | 1,23 | 2 | 0,216 | 9,0 | 24+24 | 1,40 | 2 | 0,631 | 9,1 | 12 | 760 |
| 4AH160M2 | 30,0 | (11+11)2 | 1,50 | 2 | 0,133 | 10,6 | 19+19 | 1,62 | 2 | 0,416 | 10,7 | 12 | 840 |
| 4AH160S4 | 18,5 | 26×2 | 1,25 | 2 | 0,263 | 9,5 | 45 | 1,35 | 2 | 0,799 | 9,6 | 11; 9 | 690 |
| 4AH160M4 | 22,0 | 21×2 | 1,45 | 2 | 0,179 | 11,6 | 36 | 1,56 | 2 | 0,532 | 11,5 | 11; 9 | 770 |
| 4A180S2 | 22,0 | (14+14)3 | 1,25 | 2 | 0,150 | 12,5 | (24+24)2 | 1,16 | 2 | 0,449 | 12,3 | 11 | 738 |
| 4A180M2 | 30,0 | (10+10)3 | 1,50 | 2 | 0,087 | 14,8 | (18+18)2 | 1,35 | 2 | 0,230 | 14,4 | 12 | 860 |
| 4A180S4 | 22,0 | 23×3* | 1,25 | 2 | 0,161 | 13,2 | 40×2* | 1,16 | 2 | 0,490 | 13,2 | 11; 9; 7 | 720 |
| 4A180M4 | 30,0 | 17×4* | 1,25 | 2 | 0,099 | 14,5 | 29×2* | 1,35 | 2 | 0,268 | 14,4 | 11; 9; 7 | 800 |
| 4A180M6 | 18,5 | (10+10)2 | 1,35 | 2 | 0,240 | 12,1 | 18+17 | 1,45 | 2 | 0,738 | 12,2 | 10 | 650 |
| 4A180M8 | 15,0 | 23+23 | 1,25 | 4 | 0,320 | 11,7 | 20+20 | 1,35 | 2 | 0,950 | 11,9 | 7 | 634 |
| 4A200M2 | 37 | (10+10)4 | 1,50 | 2 | 0,067 | 19,7 | (17+18)3 | 1,50 | 2 | 0,203 | 19,5 | 11 | 860 |
| 4A200L2 | 45 | (8+9)5 | 1,45 | 2 | 0,051 | 21,0 | (15+15)3 | 1,40 | 2 | 0,160 | 20,7 | 11 | 920 |
| 4A200M4 | 37 | (9+8)4 | 1,35 | 2 | 0,090 | 17,6 | (14+15)3 | 1,20 | 2 | 0,259 | 18,1 | 10 | 850 |
| 4A200L4 | 45 | (7+7)5 | 1,35 | 2 | 0,065 | 20,5 | (12+12)3 | 1,30 | 2 | 0,202 | 19,5 | 10 | 940 |
| 4A200M6 | 22 | (14+14)2 | 1,25 | 3 | 0,193 | 15,9 | (16+16)2 | 1,16 | 2 | 0,575 | 15,6 | 10 | 710 |
| 4A200L5 | 30 | (11+11)2 | 1,40 | 3 | 0,129 | 16,8 | 19+19 | 1,50 | 3 | 0,389 | 16,6 | 10 | 760 |
| 4A200M8 | 18,5 | (11+11)2 | 1,40 | 2 | 0,234 | 13,5 | (19+19)2 | 1,04 | 2 | 0,750 | 13,1 | 7 | 625 |
| 4A200L5 | 22 | 19+19 | 1,50 | 4 | 0,195 | 14,5 | 33+33 | 1,12 | 4 | 0,608 | 14,1 | 7 | 675 |
| 4AH200M2 | 55 | (8+8)6 | 1,35 | 2 | 0,046 | 20,6 | (13+14)4 | 1,25 | 2 | 0,136 | 19,8 | 11 | 920 |

| Обозначение | Р _н , кВт | U _н = 220/380 В | | | | | U _н = 380/660 В | | | | | у | I _{ср} , мм |
|-------------|----------------------|----------------------------|-------|---|--------|-------|----------------------------|-------|---|-------|-------|----|----------------------|
| | | п | d, мм | а | r, Ом | М, кг | п | d, мм | а | r, Ом | М, кг | | |
| | | | | | | | | | | | | | |
| 4AH200L2 | 75 | (6+7)6 | 1,50 | 2 | 0,033 | 22,4 | (11+11)5 | 1,25 | 2 | 0,094 | 22,0 | 11 | 1000 |
| 4AH200M4 | 45 | (8+8)4 | 1,40 | 2 | 0,079 | 18,2 | (14+13)3 | 1,25 | 2 | 0,223 | 18,3 | 10 | 850 |
| 4AH200L4 | 55 | (6+7)4 | 1,56 | 2 | 0,057 | 20,4 | (11+11)4 | 1,20 | 2 | 0,163 | 20,3 | 10 | 940 |
| 4AH200M6 | 30 | (12+12)2 | 1,35 | 3 | 0,141 | 15,9 | 20+21 | 1,45 | 3 | 0,420 | 15,6 | 10 | 710 |
| 4AH200L6 | 37 | (9+9)3 | 1,25 | 3 | 0,095 | 17,8 | (15+16)2 | 1,16 | 3 | 0,285 | 17,5 | 10 | 820 |
| 4AH200M8 | 22 | (10+10)3 | 1,20 | 2 | 0,210 | 14,9 | (17+17)2 | 1,12 | 2 | 0,623 | 14,7 | 7 | 675 |
| 4AH200L8 | 30 | (14+14)2 | 1,25 | 4 | 0,125 | 18,6 | 24+24 | 1,35 | 4 | 0,370 | 18,5 | 7 | 825 |
| 4A225M2 | 35 | (7+8)6 | 1,45 | 2 | 0,042 | 24,8 | (13+13)3 | 1,56 | 2 | 0,124 | 24,7 | 11 | 1020 |
| 4A225M4 | 55 | (13+13)3 | 1,40 | 4 | 0,050 | 25,8 | (23+22)2 | 1,30 | 4 | 0,146 | 25,1 | 10 | 970 |
| 4A225M6 | 37 | (10+10)3 | 1,30 | 3 | 0,098 | 21,3 | (12+12)3 | 1,20 | 2 | 0,310 | 21,6 | 10 | 815 |
| 4A225M8 | 30 | (8+8)3 | 1,50 | 2 | 0,112 | 19,4 | 27+27 | 1,40 | 4 | 0,336 | 19,3 | 7 | 715 |
| 4AH225M2 | 90 | (6+6)7 | 1,50 | 2 | 0,0265 | 24,7 | (10+10)5 | 1,35 | 2 | 0,037 | 23,8 | 11 | 1020 |
| 4AH225M4 | 75 | (6+6)6 | 1,45 | 2 | 0,043 | 25,5 | (10+10)3 | 1,56 | 2 | 0,121 | 24,1 | 10 | 970 |
| 4AH225M6 | 45 | (10+9)3 | 1,35 | 3 | 0,087 | 21,8 | (11+11)2 | 1,56 | 2 | 0,251 | 22,3 | 10 | 815 |
| 4AH225M8 | 37 | (14+14)2 | 1,35 | 4 | 0,100 | 20,6 | 24+24 | 1,50 | 4 | 0,286 | 21,7 | 7 | 785 |
| 4A250S2 | 75 | (4+5)8 | 1,56 | 2 | 0,0233 | 33,0 | (8+8)6 | 1,35 | 2 | 0,074 | 33,0 | 14 | 1100 |
| 4A250M2 | 90 | (4+4)9 | 1,56 | 2 | 0,019 | 34,8 | (7+7)6 | 1,45 | 2 | 0,059 | 35,0 | 14 | 1170 |
| 4A250S4 | 75 | (9+9)4 | 1,56 | 4 | 0,028 | 39,6 | (16+16)2 | 1,62 | 4 | 0,092 | 38,0 | 12 | 1060 |
| 4A250M4 | 90 | (8+8)5 | 1,50 | 4 | 0,0233 | 43,8 | (14+14)3 | 1,40 | 4 | 0,077 | 40,0 | 12 | 1140 |
| 4A250S6 | 45 | (9+9)4 | 1,30 | 3 | 0,069 | 26,6 | (15+16)2 | 1,40 | 3 | 0,205 | 26,6 | 10 | 855 |
| 4A250M6 | 55 | (7+8)4 | 1,40 | 3 | 0,052 | 27,0 | (13+13)3 | 1,25 | 3 | 0,150 | 27,9 | 10 | 895 |
| 4A250S8 | 37 | (15+15)2 | 1,40 | 4 | 0,098 | 22,7 | 25+25 | 1,56 | 4 | 0,264 | 23,5 | 7 | 755 |
| 4A250M8 | 45 | (12+12)2 | 1,62 | 4 | 0,065 | 26,8 | (21+21)2 | 1,20 | 4 | 0,207 | 25,8 | 7 | 835 |
| 4AH250S2 | 110 | (4+4)9 | 1,56 | 2 | 0,018 | 32,5 | (7+7)6 | 1,45 | 2 | 0,055 | 32,8 | 14 | 1090 |
| 4AH250M2 | 132 | — | — | — | — | — | (6+6)6 | 1,56 | 2 | 0,043 | 34,4 | 14 | 1150 |
| 4AH250S4 | 90 | (9+9)4 | 1,56 | 4 | 0,027 | 38,1 | (16+16)2 | 1,62 | 4 | 0,088 | 36,5 | 12 | 1020 |
| 4AH250M4** | 110 | (8+8)5 | 1,50 | 4 | 0,022 | 39,5 | (14+14)3 | 1,40 | 4 | 0,072 | 37,2 | 12 | 1060 |

| | | | | | | | | | | | | | |
|------------|----|----------|------|---|-------|------|----------|------|---|-------|------|----|-----|
| 4АН250S6 | 55 | (8+9)4 | 1,35 | 3 | 0,061 | 27,1 | (14+15)3 | 1,16 | 3 | 0,186 | 25,6 | 10 | 855 |
| 4АН250M6** | 75 | (6+7)5 | 1,35 | 3 | 0,041 | 30,4 | (11+11)3 | 1,35 | 3 | 0,119 | 29,9 | 10 | 975 |
| 4АН250S8 | 45 | (12+13)3 | 1,25 | 4 | 0,072 | 23,8 | (21+22)2 | 1,16 | 4 | 0,216 | 23,5 | 7 | 795 |
| 4АН250M8 | 55 | (10+11)3 | 1,40 | 4 | 0,053 | 27,6 | (18+18)2 | 1,30 | 4 | 0,159 | 27,2 | 7 | 875 |

* Обмотка одно-, двухслойная.

** Для электродвигателя 4АН250M4 катушки следует выплнять из трех проводов $d = 1,5$ мм и двух проводов $d = 1,45$ мм, для электродвигателя 4АН250M6 — из трех проводов $d = 1,35$ мм и двух проводов $d = 1,40$ мм.

Примечания: 1. Марка провода — ПЭТ-155, класс нагревостойкости изоляции — F.

2. Односторонняя толщина лазовой изоляции — 0,4 мм.

3. Толщина клина — 1 мм при высоте оси вращения — 160 мм и 2,5 мм при высоте оси вращения 180—250 мм.

4. Неравнозначковые катушки в двухслойной обмотке при нечетном шаге чередовать через одну, при четном — парно. Например, для электродвигателя 4A200M2 при шаге $y = 11$ чередовать следующим образом: 17, 18, 17..., для электродвигателя 4A200M4 при шаге $y = 10$: 9, 8, 8, 9, 9, 9...

Размеры сердечников статоров трехфазных асинхронных электродвигателей серии 4А

Размеры сердечников статоров приведены в табл. 40, 41.

40. Размеры сердечников статоров электродвигателей серии 4А при высоте оси вращения 50 — 132 мм

| Высота оси вращения, мм | 2р | D _к , мм | D _л , мм | l ₁ , мм, при размерах | | | σ, мм | z ₁ | F _с , мм ² | z ₂ |
|-------------------------|----|---------------------|---------------------|-----------------------------------|-------------|-----|-------|----------------|----------------------------------|----------------|
| | | | | M, A, MA, LA | L, B LB, MB | S | | | | |
| 50 | 2 | 81 | 41 | 42 | 50 | — | 0,25 | 12 | 72,1 | 9 |
| | 4 | 81 | 46 | 42 | 50 | — | 0,25 | 12 | 94,0 | 15 |
| 56 | 2 | 89 | 48 | 47 | 56 | — | 0,25 | 24 | 31,4 | 18 |
| | 4 | 89 | 55 | 47 | 56 | — | 0,25 | 24 | 43,8 | 18 |
| 63 | 2 | 100 | 54 | 56 | 65 | — | 0,30 | 24 | 39,1 | 18 |
| | 4 | 100 | 61 | 56 | 65 | — | 0,25 | 24 | 47,0 | 18 |
| | 6 | 100 | 65 | 56 | 75 | — | 0,25 | 36 | 37,0 | 28 |
| 71 | 2 | 116 | 65 | 65 | 74 | — | 0,35 | 24 | 42,0 | 20 |
| | 4 | 116 | 70 | 65 | 74 | — | 0,25 | 24 | 52,2 | 18 |
| | 6 | 116 | 76 | 65 | 90 | — | 0,25 | 36 | 40,2 | 28 |
| | 8 | 116 | 76 | — | 74 | — | 0,25 | 36 | 40,2 | 28 |
| 80 | 2 | 131 | 74 | 78 | 98 | — | 0,35 | 24 | 64,3 | 20 |
| | 4 | 131 | 84 | 78 | 98 | — | 0,25 | 36 | 44,0 | 28 |
| | 6 | 131 | 88 | 78 | 115 | — | 0,25 | 36 | 48,0 | 28 |
| | 8 | 131 | 88 | 78 | 98 | — | 0,25 | 36 | 48,0 | 28 |
| 90 | 2 | 149 | 84 | — | 100 | — | 0,40 | 24 | 81,7 | 20 |
| | 4 | 149 | 95 | — | 110 | — | 0,25 | 36 | 50,2 | 28 |
| | 6 | 149 | 100 | — | 100 | — | 0,25 | 36 | 55,4 | 28 |
| | 8 | 149 | 100 | 100 | 130 | — | 0,25 | 36 | 55,4 | 28 |
| 100 | 2 | 168 | 95 | — | 130 | 100 | 0,45 | 24 | 111,0 | 20 |
| | 4 | 168 | 105 | — | 130 | 100 | 0,30 | 36 | 72,5 | 28 |
| | 6 | 168 | 113 | — | 120 | — | 0,30 | 36 | 76,2 | 28 |
| | 8 | 168 | 113 | — | 120 | — | 0,30 | 36 | 76,2 | 28 |
| 112 | 2 | 191 | 110 | 125 | — | — | 0,60 | 24 | — | 22 |
| | 4 | 191 | 126 | 125 | — | — | 0,30 | 36 | — | 34 |
| | 6 | 191 | 132 | 100 | 125 | — | 0,30 | 54 | — | 51 |
| | 8 | 191 | 132 | 100 | 130 | — | 0,30 | 48 | — | 44 |
| 132 | 2 | 225 | 130 | 130 | — | — | 0,60 | 24 | — | 19 |
| | 4 | 225 | 145 | 160 | — | 115 | 0,35 | 36 | — | 34 |
| | 6 | 225 | 158 | 160 | — | 115 | 0,35 | 54 | — | 51 |
| | 8 | 225 | 158 | 160 | — | 115 | 0,35 | 48 | — | 44 |

41. Размеры сердечников статоров электродвигателей серий 4А и 4АН при высоте оси вращения 160—250 мм

| Высота оси вра- щения, мм | 2p | D _a , мм | D _l , мм | l ₁ , мм, при размерах | | | σ, мм | z ₁ | F', мм ² | z ₂ |
|---------------------------------|----|------------------------|------------------------|-----------------------------------|----------|----------|----------|----------------|------------------------|----------------|
| | | | | S | M | L | | | | |
| 160 | 2 | 272 | 155 | 110(110) | 130(150) | — | 0,8 | 36 | 148 | 28 |
| | 4 | | 185 | 140(130) | 180(170) | — | 0,5 | 48 | 132 | 41 |
| | 6 | | 197 | 145 | 200 | — | 0,45 | 54 | 98 | 50 |
| | 8 | | 197 | 145 | 200 | — | 0,45 | 48 | 112 | 44 |
| 180 | 2 | 313 | 171 | 110(145) | 145(170) | — | 1,0 | 36 | 204 | 28 |
| | 4 | | 211 | 145(145) | 185(185) | — | 0,6 | 48 | 162 | 38 |
| | 6 | | 220 | (130) | 145(170) | — | 0,45 | 72 | 114 | 58 |
| | 8 | | 220 | 170(170) | 170(220) | — | 0,45 | 72 | 114 | 58 |
| 200 | 2 | 349 | 194 | — | 130(160) | 160(200) | 0,9 | 36 | 270 | 28 |
| | 4 | | 238 | — | 170(170) | 215(215) | 0,7 | 48 | 194 | 38 |
| | 6 | | 250 | — | 160(160) | 185(215) | 0,5 | 72 | 134 | 58 |
| | 8 | | 250 | — | 160(185) | 185(260) | 0,5 | 72 | 134 | 58 |
| 225 | 2 | 392 | 208 | — | 180(180) | — | 1,0 | 36 | 286 | 28 |
| | 4 | | 264 | — | 200(200) | — | 0,85 | 48 | 232 | 38 |
| | 6 | | 284 | — | 175(175) | — | 0,6 | 72 | 162 | 56 |
| | 8 | | 284 | — | 175(210) | — | 0,6 | 72 | 162 | 56 |
| 250 | 2 | 437 | 232 | 200(190) | 230(220) | — | 1,2 | 48 | 265 | 40 |
| | 4 | | 290 | 220(200) | 260(220) | — | 1,0 | 60 | 265 | 50 |
| | 6 | | 317 | 180(180) | 200(240) | — | 0,7 | 72 | 187 | 56 |
| | 8 | | 317 | 180(200) | 220(240) | — | 0,7 | 72 | 187 | 56 |

Примечание. В скобках указана длина статора для электродвигателей серии АН.

ВЫБОР ЭЛЕКТРОДВИГАТЕЛЕЙ ДЛЯ ПРОИЗВОДСТВЕННЫХ МЕХАНИЗМОВ

ОБЩИЕ СВЕДЕНИЯ

Электрический двигатель составляет основу автоматизированного электропривода производственного механизма. Соответствие конструктивных и технических данных электродвигателя условиям работы механизма является необходимым требованием, выполнение которого обеспечивает минимальную стоимость электрооборудования, высокую надежность работы и наименьшие потери электроэнергии при эксплуатации.

В приводах промышленных механизмов применяются электродвигатели переменного и постоянного тока. Из электродвигателей переменного тока наибольшее распространение в промышленности получили трехфазные асинхронные короткозамкнутые электродвигатели. По сравнению с другими электрическими двигателями они проще по конструкции, дешевле, надежнее в эксплуатации и не требуют применения преобразовательных установок, так как получают энергию непосредственно от заводской сети. В отношении компактности и возможности приспособления к конструкции производственного механизма этот электродвигатель также вне конкуренции. Возможность размещения в любом положении делает его особенно удобным для глубокой электрификации механизмов с максимальным развитием многодвигательного привода и органическим слиянием механических и электрических частей. Большое значение имеют также преимущества короткозамкнутых асинхронных электродвигателей и в отношении количества применяемой пусковой аппаратуры и схем управления. Но следует помнить, что такие электродвигатели обладают рядом специфических особенностей, касающихся прежде всего пуска, реверса и торможения.

Мощность электродвигателя для производственного механизма должна выбираться в соответствии с предполагаемой нагрузкой и режимом его работы. Если электродвига-

тель выбран недостаточной мощности для данной нагрузки, то это приводит к неполному использованию механизма или перегреву отдельных частей электродвигателя и преждевременному выходу его из строя. Завышение мощности электродвигателя влечет за собой систематическую недогрузку его и вследствие этого неполное использование электродвигателя, работу его с низким КПД, а для асинхронных электродвигателей, кроме того, еще и с низким коэффициентом мощности $\cos \varphi$. При завышенной мощности электродвигателя возрастают капитальные и эксплуатационные затраты.

В большинстве случаев мощность электродвигателя выбирается по нагреву, а затем двигатель проверяется по перегрузочной способности, а иногда и по пусковому моменту. Значения коэффициентов мгновенной перегрузки по моменту для асинхронных электродвигателей с контактными кольцами 2—2,5; асинхронных электродвигателей с короткозамкнутым ротором нормального исполнения 1,7—2,5; короткозамкнутых электродвигателей с двойной клеткой или глубоким пазом 1,7—2,6.

При выборе электродвигателя кроме мощности и частоты вращения необходимо учитывать еще ряд важных факторов. Электродвигатель должен выбираться в соответствии с напряжением заводской сети, с учетом установки и крепления его (горизонтальное, вертикальное исполнение), а также соединения с механизмом.

Важным является правильный выбор электродвигателя для работы в определенных условиях окружающей среды. От способа защиты электродвигателя зависит его долговечность, надежность и безопасность обслуживания.

РЕЖИМЫ РАБОТЫ ЭЛЕКТРОПРИВОДОВ

Режимы работы электроприводов отличаются большим разнообразием как по характеру, так и по длительности циклов, значениям нагрузок, условиям охлаждения. На основании анализа выделен специальный класс режимов — номинальных, для которых изготавливаются серийные электродвигатели.

Данные, содержащиеся в паспорте электрического двигателя, относятся к определенному номинальному режиму и называются номинальными данными электродвигателя.

Номинальные данные, характеризующие работу двигателя, устанавливаются исходя из работы его на высоте до 1000 м над уровнем моря, температуры газообразной охлаждающей среды 40 °С и охлаждающей воды 30 °С.

Действующим ГОСТ 183—74 предусматриваются восемь номинальных режимов, которые в соответствии с международной классификацией имеют условные обозначения S1—S8. Ниже приводится краткая характеристика этих режимов.

Продолжительный S1 (рис. 16, а) — это работа при неизменной нагрузке, продолжающаяся до тех пор, пока превышения температуры всех частей двигателя достигнут установившихся значений.

Кратковременный S2 (рис. 16, б), при котором период неизменной номинальной нагрузки чередуется с периодом отключения двигателя; при этом периоды нагрузки недостаточны, чтобы превышения температуры электрического двигателя могли достигнуть установившихся значений, а периоды остановки вполне достаточны для охлаждения двигателя до температуры окружающей среды. Для этого режима работы рекомендуется следующая продолжительность рабочего периода t_p : 15, 30, 60, 90 мин.

Повторно-кратковременный S3 (рис. 16, в), при котором кратковременные периоды неизменной номинальной нагрузки (рабочие) чередуются с периодами отключения двигателя (паузами); при этом за время работы он не успевает нагреться до температуры, соответствующей его номинальной нагрузке, а за время паузы не успевает охладиться до температуры окружающей среды, т. е. вступает в следующий цикл нагрузки уже нагретым. Продолжительность одного цикла принимается 10 мин.

Относительная продолжительность включения

$$ПВ = \frac{N}{N + R} 100,$$

где N — время работы; R — время паузы; $N + R$ — время цикла.

Нормируемые значения продолжительности включения (ПВ): 15, 25, 40, 60 %, или $\varepsilon = N/N + R = 0,15; 0,25; 0,4; 0,6$.

В этом режиме работы пусковые потери практически не оказывают влияния на превышение температуры отдельных частей электродвигателя.

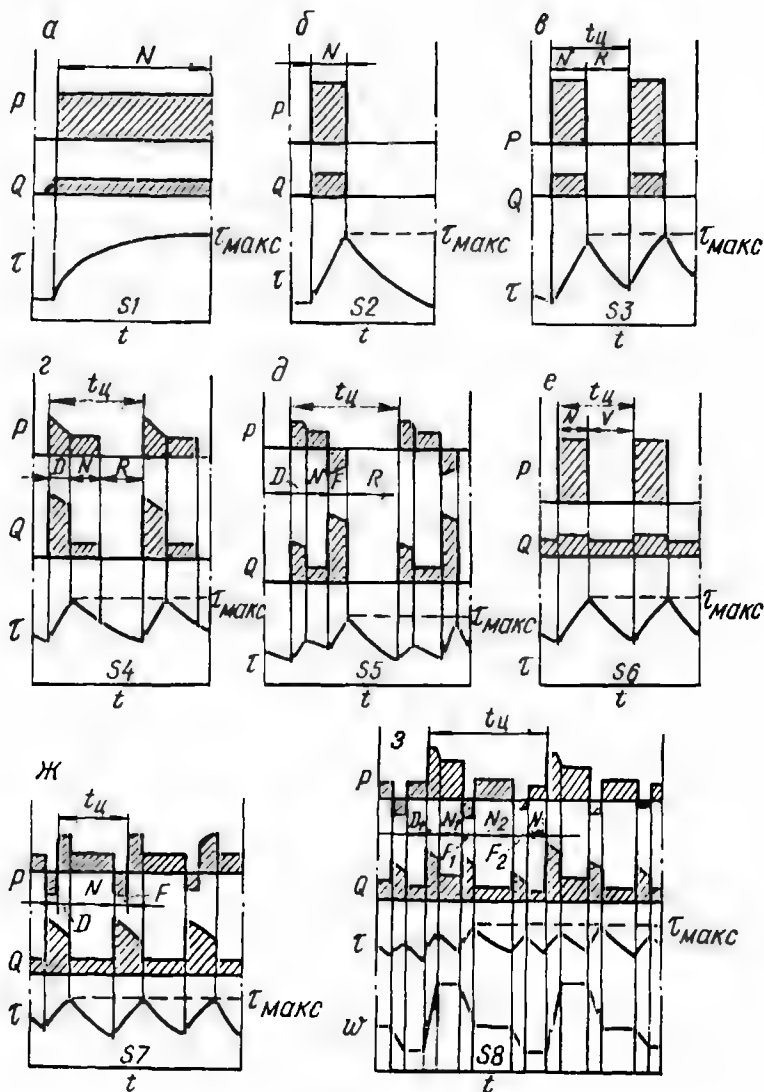


Рис 16 Стандартные номинальные режимы работы электрических двигателей и соответствующие изменения мощности P на валу двигателя, потерь Q и температуры τ во времени t :

а — продолжительный; б — кратковременный; в — повторно-кратковременный; г — повторно-кратковременный с частыми пусками; д — повторно-кратковременный с частыми пусками и электрическим торможением; е — перемежающийся; ж — перемежающийся с частыми реверсами и электрическим торможением; з — перемежающийся с двумя или более частотами вращения

Режимы S1, S2, S3 являются основными номинальные данные на которые включаются в паспорт электрического двигателя и каталоги.

Кроме основных предусмотрены дополнительные номинальные режимы S4—S8.

Повторно-кратковременный с частыми пусками S4 (рис. 16, з), при котором, в отличие от режима S3, пусковые потери оказывают существенное влияние на превышение температуры частей электродвигателя. Продолжительность включения (ПВ) составляет 15, 25, 40, 60 %; число включений в час 30, 60, 120, 240 при коэффициенте инерции $F = 1; 1,2; 1,6; 2,5; 4; 6,3; 10$. Коэффициент инерции — это отношение суммы приведенного к валу двигателя момента инерции приводимого механизма и момента инерции ротора двигателя к моменту инерции ротора двигателя.

Относительная продолжительность включения

$$\text{ПВ} = \frac{D + N}{D + N + R} 100,$$

где D — время пуска.

Повторно-кратковременный с частыми пусками и электрическим торможением S5 (рис. 16, д), при котором периоды пуска, кратковременной неизменной нагрузки и электрического торможения чередуются с периодами отключения, причем двигатель за время работы не успевает нагреться до температуры, соответствующей его номинальной нагрузке, а за время паузы не успевает охладиться до температуры окружающей среды.

В этом режиме пусковые потери и потери при электрическом торможении оказывают значительное влияние на превышение температуры отдельных частей двигателя. Продолжительность включения (ПВ) составляет 15, 25, 40, 60 %; число включений в час 30, 60, 120, 240 при коэффициенте инерции $F = 1; 1,2; 1,6; 2; 2,5; 4$.

Относительная продолжительность включения

$$\text{ПВ} = \frac{D + N + F}{D + N + F + R} 100,$$

где F — время электрического торможения.

Переключающийся S6 (рис. 16, е) с продолжительностью нагрузки (ПН) 15, 25, 40, 60 %. Продолжительность одного цикла принимают равной 10 мин. Этот режим отличается от S3 тем, что после периода работы двигатель не отключается, а продолжает работать вхолостую.

Относительная продолжительность нагрузки

$$\text{ПН} = \frac{N}{N + V} 100,$$

где V — время холостого хода.

Перемежающийся с частыми реверсами S7 (рис. 16, ж), при котором периоды реверса чередуются с периодами неизменной номинальной нагрузки, причем двигатель за время работы не успевает нагреться до температуры, соответствующей его номинальной нагрузке. Число реверсов в час 30, 60, 120, 240 при коэффициенте инерции $F = 1; 1,2; 1,6; 2; 2,5; 4$.

В этом режиме потери при реверсировании оказывают существенное влияние на превышение температуры отдельных частей двигателя, который работает без остановки, постоянно находясь под напряжением.

Перемежающийся с двумя и более частотами вращения S8 (рис. 16, з), при котором периоды с одной нагрузкой на одной частоте вращения чередуются с периодами работы на другой частоте вращения при соответствующей этой частоте нагрузке. Электродвигатель, работая на каждой из частот вращения, не успевает нагреться до температуры, соответствующей его номинальной нагрузке. Число циклов в час 30, 60, 120, 240 при коэффициенте инерции $F = 1; 1,2; 1,6; 2; 2,5; 4$.

Относительная продолжительность нагрузки на отдельных ступенях частоты вращения:

$$\text{ПН}_1 = \frac{D_1 + N_1}{D_1 + N_1 + F_1 + N_2 + F_2 + N_3} 100;$$

$$\text{ПН}_2 = \frac{F_1 + N_1}{D_1 + N_1 + F_1 + N_2 + F_2 + N_3} 100;$$

$$\text{ПН}_3 = \frac{F_2 + N_2}{D_1 + N_1 + F_1 + N_2 + F_2 + N_3} 100,$$

где D_1 — время пуска; N_1, N_2, N_3 — время работы; F_1, F_2 — время электрического торможения.

В этом режиме работы потери при переходе с одной частоты вращения на другую оказывают существенное влияние на превышение температуры отдельных частей электродвигателя.

Допустимый нагрев электродвигателя обычно лимитируется наименее теплостойкими материалами его конструкции. Таким материалом является изоляция его обмотки. Допустимая температура устанавливается исходя из срока службы изоляции — примерно десять лет. В качестве изоляционных материалов для асинхронных электродвигателей применяют хлопчатобумажные и шелковые ткани, пряжу, бумагу, волокнистые органические материалы, пропитанные изолирующими составами (класс А); синтетические органические пленки (класс Е); слюду, асбест, стекловолно с органическими связующими материалами (класс В); те же компоненты, что и для класса В, но с синтетическими связующими и пропитывающими веществами (класс F); те же компоненты, что и для класса В, но с кремнийорганическими связующими и пропитывающими веществами, (класс Н). Изоляции всех перечисленных классов соответственно допускают предельные температуры в 105, 120, 130, 155, 180 °С (см. табл. 12).

Мощность электродвигателя по условиям нагрева считается выбранной правильно, если при заданном режиме работы температура изоляции не превысит допустимую для данного класса.

При одной и той же нагрузке электродвигателя установившийся нагрев его будет различным в зависимости от температуры окружающей среды. За расчетную температуру t_0 окружающей среды принимают 40 °С. К этой температуре отнесены значения номинальной мощности P_n электродвигателей. Превышение температуры t электродвигателя над температурой t_0 окружающей среды называют перегревом:

$$\tau = t - t_0.$$

Таким образом превышения температуры (перегрев), измеренные в наиболее нагретой доступной точке, не должны быть выше: 65 °С — для изоляции класса А; 80 °С — для изоляции класса Е; 90 °С — для изоляции класса В; 115 °С — для изоляции класса F; 135 °С — для изоляции класса Н.

Температура подшипников скольжения не должна превышать 80 °С (температура масла при этом не более 65 °С), подшипников качения 100 °С. Более высокая температура допускается, если применены специальные подшипники

качения или специальные сорта масел при соответствующих материалах для подшипников скольжения.

Если условно принять, что электродвигатель представляет собой однородное в тепловом отношении и бесконечно теплопроводное тело, что теплоотдача в окружающую среду пропорциональна разности температур двигателя и охлаждающей среды (перегреву), что температура окружающей среды постоянна, то можно записать следующее уравнение баланса тепловой энергии:

$$Qdt = A \tau dt + C d\tau,$$

где Q — мощность тепловых потерь, Вт; A — теплоотдача двигателя, т. е. количество теплоты, выделяемой двигателем в окружающую среду в единицу времени при разности температур электродвигателя и окружающей среды в 1°C , Дж/ $^\circ\text{C}$; C — теплоемкость двигателя, т. е. количество теплоты, необходимое для повышения температуры двигателя на 1°C , Дж/ $^\circ\text{C}$.

Из уравнения определяем dt :

$$dt = \frac{C d\tau}{Q - A\tau}.$$

Интегрируем левую часть равенства в пределах от нуля до некоторого текущего значения времени t и правую часть в пределах от некоторого начального перегрева τ_0 электродвигателя до текущего значения перегрева τ :

$$\int_0^t dt = \int_{\tau_0}^{\tau} \frac{C d\tau}{Q - A\tau}.$$

Решая уравнение относительно τ , получим формулу нагрева электродвигателя:

$$\tau = \frac{Q}{A} \left(1 - e^{-\frac{tA}{C}} \right) + \tau_0 e^{-\frac{tA}{C}}.$$

Обозначим $\frac{C}{A} = T$, с,

где T — постоянная времени нагрева, т. е. время, в течение которого двигатель достиг бы установившейся температуры τ_y , если бы не было отдачи тепла в окружающую среду. В соответствии с этим обозначением уравнение нагрева примет вид:

$$\tau = \frac{Q}{A} \left(1 - e^{-\frac{t}{T}} \right) + \tau_0 e^{-\frac{t}{T}}.$$

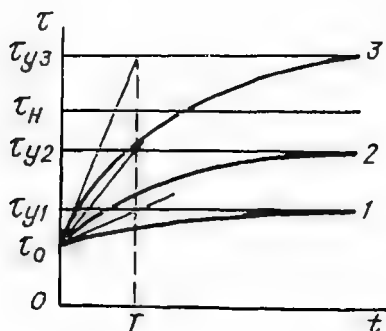


Рис. 17. Кривые, характеризующие нагрев электродвигателя

При $t = \infty$ получим $\tau_y = \frac{Q}{A}$, где τ_y — установившееся значение перегрева.

В реальных условиях при наличии теплоотдачи температура двигателя за время T повысится лишь до значения $\tau = 0,632 \tau_y$. Если $t = T$, то

$$\tau = \tau_y (1 - e^{-1}) = 0,632 \tau_y.$$

На рис. 17 приведены кривые нагрева для различных значений нагрузки. Если τ_y превышает величину допустимого перегрева τ_n , продолжительная работа двигателя не разрешается.

Наращивание перегрева носит асимптотический характер. Процесс нагрева практически можно считать законченным за время $t = 3T$.

Постоянную времени нагрева T можно определить графически. Для этого через произвольную точку C кривой нагрева 1 (рис. 18) необходимо провести касательную к кривой нагрева, затем через ту же точку провести вертикаль. Отрезок de асимптоты, заключенный между касательной и вертикалью, в масштабе оси абсцисс равен T .

Если принять $Q = 0$, то получим уравнение охлаждения электродвигателя:

$$\tau = \tau_0 e^{-\frac{t}{T}}.$$

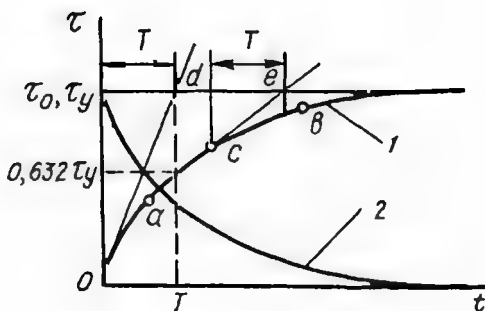


Рис. 18. Определение постоянной времени нагрева

Этому уравнению соответствует кривая охлаждения 2.

Продолжительность нагревания при нагрузке зависит от конструкции, габаритов и способов охлаждения двигателя.

Электродвигатели небольшой мощности (порядка нескольких киловатт) нагреваются до установившейся температуры в течение нескольких десятков минут, мощные электродвигатели — нескольких часов. Температура считается установившейся, если ее повышение за 1 час работы двигателя не превышает 1°C .

ВЫБОР МОЩНОСТИ ЭЛЕКТРОДВИГАТЕЛЕЙ ДЛЯ РАЗЛИЧНЫХ РЕЖИМОВ РАБОТЫ

Нагрузка продолжительная неизменная или малоизменяющаяся

Мощность электродвигателей для механизмов, работающих при длительно неизменной или мало изменяющейся нагрузке, выбирается следующим образом. Определяется мощность производственного механизма и с учетом КПД промежуточных передач по каталогу выбирается двигатель, номинальная мощность которого равна или немного больше расчетной мощности механизма. Так как нагрузка в данном случае постоянная, то проверка на нагрев и перегрузку во время работы выбранного двигателя не требуется.

Если мощность механизма неизвестна, ее определяют теоретическими расчетами или расчетами по эмпирическим формулам с использованием коэффициентов, полученных путем многочисленных опытов.

Металлорежущие станки. Мощность (кВт) электродвигателя для токарных, токарно-винторезных, карусельных и строгальных станков

$$P = \frac{F_p q v}{\eta_c} 10^{-3},$$

где F_p — удельное сопротивление резанию, Па; q — сечение стружки, м^2 ; v — скорость резания, м/с ; η_c — КПД станка (при полной нагрузке 0,65—0,7).

Обычно принимают $F_p = (3-5) F_{\text{раз}}$, где $F_{\text{раз}}$ — сопротивление разрыву, Па. Сопротивление разрыву для

стали $F_{\text{раз}} = (294—1180) 10^6$ Па; для чугуна $F_{\text{раз}} = (118—296) 10^6$ Па; для латуни и бронзы $F_{\text{раз}} = (147—197) 10^6$ Па.

Мощность (кВт) электродвигателя для сверлильных станков

$$P = \frac{M_{\text{св}} n_{\text{св}}}{\eta_0} 10^{-4},$$

где $M_{\text{св}}$ — момент на сверле, Н·м; $n_{\text{св}}$ — скорость вращения сверла, об/мин; η_0 — КПД станка (0,7—0,8).

Пример 14. Определить мощность электродвигателя для привода токарного станка. Материал — сталь $F_p = 1400 \cdot 10^6$ Па, подача $S = 2$ мм, глубина резания $t = 5$ мм, скорость резания $v = 15$ м/мин, $\eta_c = 0,7$.

Сечение стружки

$$q = St = 2 \cdot 5 = 10 \text{ мм}^2 = 10 \cdot 10^{-6} \text{ м}^2.$$

Мощность электродвигателя станка

$$P = \frac{F_p q v}{\eta_0} 10^{-3} = \frac{1400 \cdot 10^6 \cdot 10 \cdot 10^{-6} \cdot 15}{60 \cdot 0,7} 10^{-3} = 5 \text{ кВт}.$$

По каталожным данным асинхронных электродвигателей серии 4А выбираем двигатель 4А112М4УЗ, $P_n = 5,5$ кВт, $n_n = 1445$ об/мин.

Вентиляторы. Мощность (кВт) электродвигателя центробежного вентилятора

$$P = \frac{QH}{\eta_b \eta_n} 10^{-3},$$

где Q — производительность, м³/с; H — давление газа, Па; η_b — КПД вентилятора (0,2—0,5 для малых и 0,4—0,75 для больших); η_n — КПД передачи от двигателя к валу вентилятора.

Производительность вентилятора определяется на основании сечения газопровода F (м²) и заданной скорости движения газа v (м/с):

$$Q = Fv.$$

Производительность (м³/с) может быть определена также по формуле:

$$Q = q/\gamma,$$

где q — масса газа, перекачиваемого в секунду, кг/с; γ — плотность газа, Н/м³.

Давление (Па) газа вентиляторной установки определяется (пренебрегая статическим давлением) величиной скоростного давления

$$H = \frac{v^2 \gamma}{2g},$$

где g — ускорение, м/с².

Так как во время работы электродвигателя возможны его перегрузки за счет неучтенных или меняющихся условий работы вентилятора, то рекомендуется полученную расчетную мощность двигателя увеличить на коэффициент запаса, принимаемый для двигателей мощностью до 1 кВт — 2; до 2 кВт — 1,5; до 5 кВт — 1,25 и свыше 5 кВт — 1,15—1,1.

В большинстве случаев вентиляторы соединяются с электродвигателями непосредственно, однако в отдельных установках при тихоходных вентиляторах возникает необходимость в промежуточных передачах.

Для вентиляторов низкого и среднего давления малой производительности устанавливаются асинхронные электродвигатели с короткозамкнутым ротором с обычной пусковой аппаратурой. Для вентиляторов большой производительности и высокого давления могут устанавливаться асинхронные электродвигатели с контактными кольцами или синхронные электродвигатели.

Пример 15. Определить мощность электродвигателя для привода вентилятора при следующих данных: $Q = 16\,015$ м³/ч, $H = 730$ Па (75 мм вод. ст.), $\eta_v = 0,6$, $\eta_n = 1$, $n = 1500$ об/мин.

Расчетная мощность (кВт) электродвигателя

$$P = \frac{QH}{\eta_v \eta_n} 10^{-3} = \frac{16015 \cdot 730}{3600 \cdot 0,6 \cdot 1} 10^{-3} = 5,4 \text{ кВт.}$$

Увеличиваем ее на коэффициент запаса 1,1:

$$P = 5,4 \cdot 1,1 = 5,9 \text{ кВт.}$$

По каталожным данным асинхронных электродвигателей серии 4А выбираем двигатель 4А112М4УЗ, $P_n = 5,5$ кВт, $n_n = 1445$ об/мин.

Насосы. Мощность (кВт) электродвигателя насоса

$$P = \frac{QH\gamma}{\eta_n \eta_n} 10^{-3},$$

где Q — производительность, м³/с; H — полный напор (расчетная высота подачи), м; $H = H_v + H_n$; H_v — высота всасывания, т. е. расстояние от уровня жидкости до оси насоса; H_n — высота нагнетания, т. е. расстояние от оси насоса до наиболее высокого пункта потребления; γ — удельный вес перекачиваемой жидкости, Н/м³, η_n — КПД насоса (0,8—0,9 для поршневых насосов; 0,5—0,85 для центро-

бежных насосов высокого давления; 0,4—0,6 для центробежных насосов низкого давления); η_n — КПД передачи (0,85—0,9 — ременной; 0,97—0,98 — клиноременной; 0,98 — зубчатой; 1 — при непосредственном соединении при помощи муфты).

Ввиду возможной перегрузки электродвигателя во время работы за счет меняющихся условий работы насоса рекомендуется полученную расчетную мощность двигателя увеличить на коэффициент запаса, принимаемый для двигателей мощностью до 1 кВт — 2; до 2 кВт — 1,5; до 5 кВт — 1,25; до 50 кВт — 1,1 и свыше 50 кВт — 1,05.

При выборе электродвигателя к центробежному насосу следует обращать внимание на частоту вращения электродвигателя, так как мощность, напор, момент и производительность центробежного насоса связаны с частотой вращения следующими соотношениями:

$$\frac{P_1}{P_2} = \frac{n_1^3}{n_2^3}; \quad \frac{H_1}{H_2} = \frac{n_1^2}{n_2^2}; \quad \frac{M_1}{M_2} = \frac{n_1^2}{n_2^2}; \quad \frac{Q_1}{Q_2} = \frac{n_1}{n_2}.$$

Основным электрическим оборудованием насосных установок являются низковольтные асинхронные электродвигатели с короткозамкнутым ротором или с контактными кольцами в защищенном или закрытом обдуваемом исполнении, пусковая и защитная аппаратура.

При мощности электродвигателей свыше 100 кВт для центробежных насосов используются двигатели напряжением выше 1000 В.

Пример 16. Определить мощность электродвигателя для привода центробежного насоса в системе водоснабжения при следующих данных: $Q = 14,4 \text{ м}^3/\text{ч}$, $H = 22 \text{ м}$, $\gamma = 9880 \text{ Н/м}^3$, $\eta_n = 0,5$, $\eta_n = 1$, $n_n = 1435 \text{ об/мин}$. Проверить мощность, производительность и напор насоса при частоте вращения $n_2 = 1000 \text{ об/мин}$.

Расчетная мощность (кВт) электродвигателя

$$P = \frac{QH\gamma}{\eta_n \eta_n} 10^{-3} = \frac{14,4 \cdot 22 \cdot 9880}{3600 \cdot 0,5 \cdot 1} 10^{-3} = 1,74 \text{ кВт}.$$

Увеличиваем ее на коэффициент запаса 1,5:

$$P = 1,74 \cdot 1,5 = 2,6 \text{ кВт}.$$

По каталожным данным асинхронных электродвигателей серии 4А выбираем двигатель 4А100S4УЗ, $P_n = 3 \text{ кВт}$, $n_n = 1435 \text{ об/мин}$.

При $n_2 = 1000 \text{ об/мин}$ мощность, напор и производительность насоса составят:

$$P_2 = P_1 \frac{n_2^3}{n_n^3} = 3 \frac{1000^3}{1435^3} = 1 \text{ кВт},$$

$$Q_2 = Q_1 \frac{n_2}{n_1} = 14,4 \cdot \frac{1000}{1435} = 10 \text{ м}^3/\text{ч},$$

$$H_2 = H_1 \frac{n_2^2}{n_1^2} = 22 \frac{1000^2}{1435^2} = 10,7 \text{ м}.$$

Компрессоры. Мощность (кВт) электродвигателя поршневого компрессора:

$$P = \frac{QAK}{\eta_k \eta_n} 10^{-3},$$

где Q — производительность (количество всасываемого свободного воздуха, приведенного к нормальным условиям, т. е. к давлению 1011 гПа (760 мм рт. ст.) и температуре 0 °С), м³/с; A — работа, затрачиваемая на сжатие 1 м³ воздуха до заданной величины давления (принимается по табл. 42), Дж; K — коэффициент запаса, равный 1,1—1,8 (нижний предел — для компрессоров большой мощности, верхний — малой мощности); η_k — КПД компрессора (0,5—0,55 при производительности до 10 м³/мин; 0,55—0,6 — до 50 м³/мин и 0,6—0,7 — более 50 м³/мин); η_n — КПД ременной передачи (0,9—0,95).

42. Работа, затрачиваемая на сжатие 1 м³ воздуха

| Конечное давление, Па | Работа, Дж | Конечное давление, Па | Работа, Дж |
|--------------------------|------------|--------------------------|------------|
| 15 000 | 41 750 | 60 000 | 207 000 |
| 20 000 | 73 000 | 70 000 | 227 000 |
| 30 000 | 119 500 | 80 000 | 247 000 |
| 40 000 | 155 000 | 90 000 | 263 500 |
| 50 000 | 183 000 | 100 000 | 278 500 |

Для привода поршневого компрессора устанавливается асинхронный или синхронный электродвигатель.

Пример 17. Определить мощность электродвигателя для привода поршневого компрессора при следующих данных: $Q = 10 \text{ м}^3/\text{мин}$, конечное давление 80 000 Па (8 ат), $\eta_k = 0,7$, $\eta_n = 0,9$, $n = 1500 \text{ об/мин}$.

По табл. 42 находим, что конечному давлению 80 000 Па соответствует работа сжатия $A = 247 000 \text{ Дж}$.

Расчетная мощность (кВт) электродвигателя

$$P = \frac{QAK}{\eta_k \eta_n} 10^{-3} = \frac{10 \cdot 247 000 \cdot 1,1}{60 \cdot 0,7 \cdot 0,9} 10^{-3} = 71,5 \text{ кВт}.$$

По каталожным данным асинхронных электродвигателей серии 4А выбираем двигатель 4АН225М4УЗ, $P_n = 75 \text{ кВт}$, $n_n = 1475 \text{ об/мин}$.

Ленточные транспортеры и конвейеры, винтовые транспортеры. Мощность (кВт) электродвигателя

$$P = \frac{KQ}{270\eta} (CL + H),$$

где Q — производительность транспортера (конвейера), т/ч; L — длина транспортера между барабанами, м; H — высота подъема транспортера, м; K — коэффициент запаса (1,2—1,3); η — КПД механизма (0,75—0,8); C — расчетный коэффициент, принимаемый по табл. 43.

43. Значение коэффициента C для определения мощности ленточных конвейеров

| L, м | Q, т/ч | | | | | |
|------|--------|------|------|------|------|------|
| | 10 | 20 | 50 | 100 | 200 | 400 |
| 10 | 2,00 | 1,40 | 0,92 | 0,67 | 0,50 | 0,37 |
| 50 | 0,66 | 0,50 | 0,35 | 0,27 | 0,22 | 0,18 |
| 125 | 0,35 | 0,28 | 0,21 | 0,17 | 0,14 | 0,12 |

Пластинчатые транспортеры. Мощность (кВт) электродвигателя

$$P = CKQ/270 \eta,$$

где C — расчетный коэффициент, принимаемый по табл. 44.

Ковшовые транспортеры (элеваторы). Мощность (кВт) электродвигателя

$$P = KQH/270 \eta,$$

где η — КПД элеваторной установки (0,3—0,5).

Грузоподъемные механизмы. Мощность (кВт) электродвигателя для привода грузоподъемной лебедки

$$P = \frac{(F + F_0) v}{\eta_n} 10^{-3},$$

44. Значение коэффициента C для определения мощности пластинчатых конвейеров

| Ширина ленты, м | Q, т/ч | Значение C |
|-----------------|--------|--------------|
| 0,4 | 17 | 0,32 |
| 0,6 | 40 | 0,19 |
| 0,8 | 62 | 0,16 |
| 1,0 | 78 | 0,14 |
| 1,2 | 97 | 0,30 |

где F и F_0 — сила тяжести поднимаемого груза и грузозахватного устройства (крюка, трейфера и т. п.), Н; v — скорость подъема, м/с; η_n — КПД передачи (для одноступенчатого редуктора 0,8—0,9; двухступенчатого 0,75—0,8; трехступенчатого 0,65—0,75).

При использовании лебедки для тяжелых работ мощность (кВт) электродвигателя

$$P = \frac{Fv}{\eta_n} 10^{-3},$$

где F — тяговое усилие, Н.

Пример 18. Определить мощность электродвигателя для привода лебедки грузоподъемностью $G = 3$ т, масса грузозахватного устройства $G_0 = 100$ кг, $v = 15$ м/мин, $\eta_n = 0,9$.

$$P = \frac{9,8 (G + G_0) v}{\eta_n} 10^{-3} = \frac{9,8 (3000 + 100) 15}{60 \cdot 0,9} 10^{-3} = 8,6 \text{ кВт.}$$

Круглопильные станки, пилорамы. Мощность (кВт) электродвигателя для привода круглопильного станка

$$P = (8-10)D,$$

где D — расчетный диаметр бревна, м (равен $0,3 + \sqrt{0,1 + 2,5d^2}$; d — диаметр бревна).

Мощность (кВт) электродвигателя для привода пилорамы

$$P = Fv 10^{-3} / \eta_c,$$

где F — усилие резания, Н; v — средняя скорость пилы, м/с; η_c — КПД станка.

Усилие резания

$$F = KSh_{\Sigma}\sigma/2H,$$

где K — коэффициент резания, равный $(11-20) \cdot 10^7$ в зависимости от породы дерева: для сосны $11 \cdot 10^7$, березы $13 \cdot 10^7$, дуба $20 \cdot 10^7$; S — толщина пилы, м; h_{Σ} — общая высота пропила, м; σ — скорость подачи, м/с ($0,03-0,08$); $H = 2r$, где r — радиус кривошипа.

Общая высота пропила $h_{\Sigma} = 0,75zd$, где z — число пил; d — диаметр бревна, м.

Пример 19. Определить мощность электродвигателя для привода пилорамы при следующих данных: $d = 250$ мм = $0,25$ м, $z = 6$, $r = 200$ мм = $0,2$ м, $S = 2$ мм = $0,002$ м, $\sigma = 6$ мм/с = $0,006$ м/с, дерево — сосна, $K = 11 \cdot 10^7$, $n = 250$ об/мин, $\eta_c = 0,8$.

Общая высота пропила

$$h_{\Sigma} = 0,75zd = 0,75 \cdot 6 \cdot 0,25 = 1,1 \text{ м.}$$

Усилие резания

$$F = KSh_{\Sigma}\sigma/2H = 11 \cdot 10^7 \cdot 0,002 \cdot 1,1 \cdot 0,006 / 2 \cdot 0,4 = 3640 \text{ Н.}$$

Средняя скорость пилы

$$v = 2Hn/60 = 2 \cdot 0,4 \cdot 250/60 = 3,33 \text{ м/с.}$$

Мощность электродвигателя

$$P = Fv 10^{-3} / \eta_c = 3640 \cdot 3,33 \cdot 10^{-3} / 0,8 = 15 \text{ кВт.}$$

Нагрузка длительная переменная

При длительной переменной нагрузке работа электропривода характеризуется нагрузочным графиком, подобным представленному на рис. 19.

Для работы с переменной нагрузкой электродвигатель должен быть выбран так, чтобы он мог работать с наибольшей по графику мощностью (выбор по перегрузке) и чтобы при работе по заданному графику нагрузки двигатель не перегревался свыше нормы (выбор по нагреву). Из двух номинальных мощностей, определяемых из этих условий, выбирают большую.

Мощность по перегрузке

$$P_{н1} = P_m / \lambda_1,$$

где $P_{н1}$ — номинальная мощность двигателя, необходимая по условиям перегрузки; P_m — наибольшая мощность по графику нагрузки, соответствующая работе двигателя в установившемся режиме; λ_1 — коэффициент допустимой перегрузки: $\lambda_1 = M_m / M_n$, где M_m и M_n — максимально допустимый и номинальный моменты двигателя.

Асинхронный двигатель при нагрузках, превышающих максимальный момент, останавливается. Если при этом он остается включенным в электрическую сеть, то его обмотки будут сильно нагреваться и могут сгореть. Это приведет к

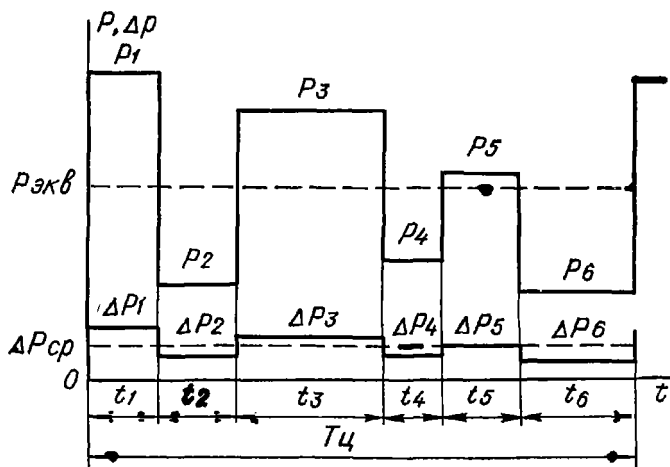


Рис. 19. График длительной работы с переменной нагрузкой

выходу электрического двигателя из строя. Поэтому коэффициент допустимой перегрузки ($\lambda_{\text{доп}}$) асинхронного двигателя определяется по его максимальному моменту с учетом возможного снижения напряжения заводской сети на 10 %:

$$\lambda_{\text{доп}}(U/U_n)^2 M_M/M_n = 0,81 M_M/M_n.$$

Следовательно, для асинхронного двигателя

$$P_{\text{нл}} = P_M/\lambda_{\text{доп}}.$$

Значения M_M/M_n указываются в каталогах.

Определение мощности электродвигателя по нагреву заключается в нахождении такой постоянной по величине мощности $P_{\text{экв}}$, которая по количеству тепла, выделяемого в электродвигателе за время $t_{\text{ц}}$, эквивалентна данному режиму ступенчатой нагрузки.

Существует несколько методов расчета мощности двигателя по нагреву: метод средних потерь, методы эквивалентного тока, момента и мощности.

Метод средних потерь. Сущность этого метода заключается в нахождении средних потерь двигателя $\Delta p_{\text{ср}}$ при заданном графике нагрузки и сравнении их с номинальными потерями Δp_n , на которые рассчитан двигатель при длительной работе. Предполагается, что при $\Delta p_{\text{ср}} = \Delta p_n$ двигатель будет работать с допустимой для него температурой.

Из графика (рис. 19) определяют среднюю мощность потерь

$$\Delta p_{\text{ср}} = \frac{\Delta p_1 t_1 + \Delta p_2 t_2 + \dots + \Delta p_n t_n}{t_1 + t_2 + \dots + t_n},$$

а затем необходимую мощность P_n электродвигателя. Для этого в каталоге нужно отыскать электродвигатель, у которого потери при номинальной нагрузке равны или несколько больше $\Delta p_{\text{ср}}$.

Потери энергии $\Delta A_i = \Delta p_i t_i$, соответствующие различным значениям мощности на валу электродвигателя при его работе по данному нагрузочному графику, могут быть определены, если известна зависимость $\eta = (P)$. При любой мощности P_i на валу электродвигателя потери

$$\Delta p_i = \frac{P_i}{\eta_i} - P_i,$$

где η_i — КПД электродвигателя, соответствующий мощности P_i .

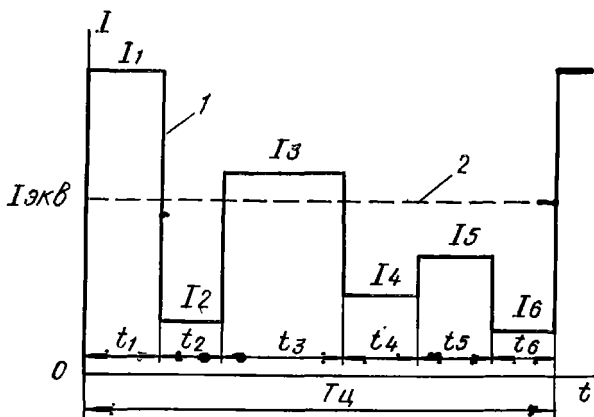


Рис. 20. Изменение тока электродвигателя при переменной нагрузке (1) и эквивалентный ток (2)

Для выбора мощности электродвигателя целесообразно сначала найти его номинальную мощность по условиям перегрузки и по данным каталога построить график $\Delta p = (P)$. После нахождения средних потерь по формуле, приведенной выше, сравнивают их с номинальными потерями двигателя, соответствующими его номинальному КПД.

Если $\Delta p_{ср} \leq \Delta p_n$, следовательно, двигатель выбран правильно. При $\Delta p_{ср} > \Delta p_n$ по каталогу находят электродвигатель ближайшей большей мощности и исходя из его данных повторяют расчет.

На практике чаще пользуются более удобными, хотя и менее точными методами эквивалентных величин.

Методы эквивалентного тока, момента и мощности. Метод эквивалентного тока основан на том, что проходящий в двигателе и изменяющийся по величине фактический ток заменяется в расчетах эквивалентным постоянным током $I_{экв}$, который вызывает в электродвигателе те же потери, что и фактический (рис. 20).

Величина эквивалентного тока

$$I_{экв} = \sqrt{\frac{I_1^2 t_1 + I_2^2 t_2 + \dots + I_n^2 t_n}{t_1 + t_2 + \dots + t_n}},$$

или в общем случае

$$I_{\text{экв}} = \sqrt{\frac{1}{T_{\text{ц}}} \int_0^{T_{\text{ц}}} i^2(t) dt}.$$

Полученная величина эквивалентного тока сопоставляется с номинальным током выбранного двигателя. Если $I_{\text{экв}} \leq I_n$, то двигатель отвечает условиям использования его по нагреву.

Для проверки электродвигателя по нагреву часто пользуются графиками момента или мощности.

Величина эквивалентного момента определяется по формуле:

$$M_{\text{экв}} = \sqrt{\frac{M_1^2 t_1 + M_2^2 t_2 + \dots + M_n^2 t_n}{t_1 + t_2 + \dots + t_n}}.$$

Эквивалентный момент сопоставляется с номинальным моментом двигателя. Если $M_{\text{экв}} \leq M_n$, то двигатель отвечает условиям использования его по нагреву.

Метод эквивалентного момента приемлем для асинхронных двигателей, работающих в пределах устойчивой части механической характеристики.

Эквивалентная мощность для ступенчатого графика определяется по формуле:

$$P_{\text{экв}} = \sqrt{\frac{P_1^2 t_1 + P_2^2 t_2 + \dots + P_n^2 t_n}{t_1 + t_2 + \dots + t_n}}$$

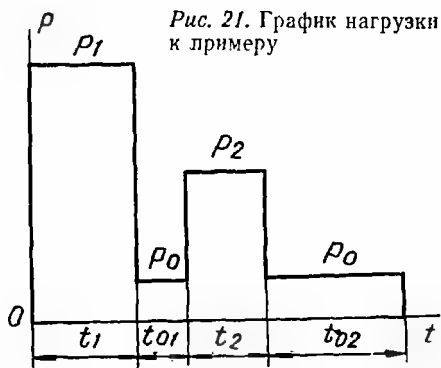
и сравнивается с номинальной мощностью двигателя. Если $P_{\text{экв}} \leq P_n$, то электродвигатель отвечает условиям использования его по нагреву.

Метод эквивалентной мощности может быть использован для проверки по нагреву асинхронных двигателей, работающих с постоянной или мало меняющейся частотой вращения.

Методы эквивалентного тока, момента и мощности основаны на допущении равенства среднего и максимального перегревов. Это допущение возможно, если постоянная времени нагрева электродвигателя значительно превышает время цикла.

Метод эквивалентного тока предпочтителен для асинхронных электродвигателей со значительной слагаемой тока холостого хода, достигающей для некоторых серий электродвигателей до 40–60 % номинального тока.

Рис. 21. График нагрузки
к примеру



Пример 20. На токарном станке установлен асинхронный двигатель типа 4А100Л4УЗ, $P_n = 4$ кВт, $n_n = 1500$ об/мин. Вследствие изменения технологического процесса мощность резания на станке изменилась и составляет: при черновой обработке $P_{p1} = 8,3$ кВт, при чистовой $P_{p2} = 4,2$ кВт. По данным хронометража, время черновой обработки $t_1 = 20$ с, чистовой $t_2 = 11$ с, время паузы $t_{01} = 7$ с, $t_{02} = 25$ с. Мощность на

валу двигателя при холостом ходе $P_0 = 0,5$ кВт. КПД станка $\eta_{с.н} = 0,8$. Во время пауз двигатель от сети не отключается. Следует ли заменять двигатель?

Мощность на валу электродвигателя при черновой обработке

$$P_1 = P_{p1} / \eta_{с.н} = 8,3 : 0,8 = 10,37 \text{ кВт},$$

при чистовой обработке

$$P_2 = P_{p2} / \eta_{с.н} = 4,2 : 0,8 = 5,25 \text{ кВт}.$$

График нагрузки станка, построенный по данным расчета, представлен на рис. 21.

Эквивалентная мощность нагрузки

$$P_{эв} = \sqrt{\frac{P_1^2 t_1 + P_0^2 t_{01} + P_2^2 t_2 + P_0^2 t_{02}}{t_1 + t_{01} + t_2 + t_{02}}} =$$

$$= \sqrt{\frac{10,37^2 \cdot 20 + 0,5^2 \cdot 7 + 5,25^2 \cdot 11 + 0,5^2 \cdot 25}{20 + 7 + 11 + 25}} = 6,3 \text{ кВт}.$$

Значит, установленный на станке электродвигатель необходимо заменить, так как для него $P_n = 4 \text{ кВт} < P_{эв} = 6,3 \text{ кВт}$.

По данным для асинхронных электродвигателей с короткозамкнутым ротором серии 4А определяем, что необходимо установить двигатель типа 4А132С4УЗ, $P_n = 7,5$ кВт, $n_n = 1455$ об/мин, так как для него $P_n = 7,5 \text{ кВт} > P_{эв} = 6,3 \text{ кВт}$.

Номинальный момент двигателя

$$M_n = \frac{P_n}{n_n} 10^4 = \frac{7,5}{1455} 10^4 = 51 \text{ Н} \cdot \text{м}.$$

Наибольший момент нагрузки

$$M_m = \frac{P_1}{n_n} 10^4 = \frac{10,37}{1455} 10^4 = 70 \text{ Н} \cdot \text{м}.$$

Перегрузочная способность двигателя по каталогу $M_m / M_n = 2,2$.

Перегрузочная способность двигателя с учетом возможного снижения напряжения

$$\lambda_{\text{доп}} = 0,8 \frac{M_{\text{н}}}{M_{\text{р}}} = 0,8 \cdot 2,2 = 1,76.$$

Допустимый момент двигателя

$$M_{\text{доп}} = 1,76 \cdot M_{\text{н}} = 1,76 \cdot 51 = 90 \text{ Н} \cdot \text{м}.$$

Проверяем двигатель по перегрузочной способности.

$M_{\text{м}} = 70 \text{ Н} \cdot \text{м} < M_{\text{доп}} = 90 \text{ Н} \cdot \text{м}$. Таким образом, двигатель по перегрузочной способности подходит.

Кратковременный режим работы

Кратковременный режим работы электродвигателя характеризуется графиком, представленным на рис. 16, б. В таком режиме работают электроприводы задвижек трубопроводов, различных зажимных и вспомогательных устройств. Увеличение времени работы двигателя при данной нагрузке ведет к возрастанию его перегрева, уменьшение времени — к снижению.

При кратковременной нагрузке могут использоваться электродвигатели продолжительного режима, но рациональнее применять специальные двигатели кратковременного режима, имеющие повышенную перегрузочную способность.

Если для кратковременного режима работы выбирается электродвигатель с длительной номинальной мощностью $P_{\text{н}}$ и номинальным моментом $M_{\text{н}}$, то значение момента $M_{\text{р}}$, допустимого в течение кратковременной работы $t_{\text{р}}$, определяется по формуле:

$$M_{\text{р}} = M_{\text{н}} \sqrt{\frac{\gamma + 1}{1 - e^{-t_{\text{р}}/T}} - \gamma}.$$

где γ — коэффициент потерь; $\gamma = K_{\text{н}}/v_{\text{н}}$; $K_{\text{н}}$ и $v_{\text{н}}$ — номинальные постоянные и переменные потери; T — постоянная времени нагрева.

Найденное значение $M_{\text{р}}$ не должно превышать допустимого по условиям перегрузки значения $M_{\text{доп}}$.

Время, в течение которого двигатель может работать с моментом $M_{\text{р}}$ не перегреваясь

$$t_{\text{р}} = \frac{1}{T} \ln \frac{\gamma M_{\text{н}}^2 + M_{\text{р}}^2}{M_{\text{р}}^2 - M_{\text{н}}^2}.$$

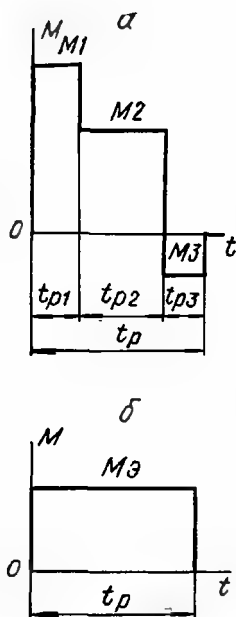


Рис. 22. Реальная (а) и эквивалентная (б) нагрузочные диаграммы электродвигателя при кратковременном режиме работы

Если график кратковременного режима многоступенчатый (рис. 22, а), то можно перейти к эквивалентному графику (рис. 22, б):

$$M_{\text{эв}} = \sqrt{\frac{M_1^2 t_{p1} + M_2^2 t_{p2} + M_3^2 t_{p3}}{t_p}}$$

В случае применения электродвигателей кратковременного режима работы (с нормированной длительностью работы 15, 30, 60 и 90 мин) и при условии, что время кратковременной работы t_p равно одному из времен $t_{pн}$, для которого в каталоге указана номинальная мощность P_n , двигатель выбирается по соотношению $P_n \geq P_p$ или $M_n \geq M_p$.

Если $t_p \neq t_{pн}$, то предварительно выбирается двигатель, имеющий по каталогу значения $t_{pн}$ и P_n , ближайшие к заданным значениям t_p и P_p .

Затем определяются потери в двигателе Δp_n при номинальной мощности P_n и Δp_p — при мощности P_p .

Электродвигатель выбран правильно, если

$$\Delta p_n \geq \Delta p_p \frac{1 - e^{-t_p/T}}{1 - e^{-t_{pн}/T}}$$

При малых значениях t_p двигателя выбирают только по условиям допустимой перегрузки $M_{\text{доп}} \geq M_p$ и пусковому моменту $M_{\text{пуск}} > M_{\text{с. макс}}$, где $M_{\text{пуск}}$ — момент пусковой; $M_{\text{с. макс}}$ — момент сопротивления максимальный.

Пример 21. Определить мощность электродвигателя для перемещения суппорта токарного станка. Сила тяжести (вес) суппорта $G = 3600$ Н, скорость перемещения $v = 0,2$ м/с, коэффициент трения в направляющих $\mu = 0,1$, КПД передачи $\eta = 0,15$, коэффициент трения покоя $\mu_0 = 0,2$. Частота вращения двигателя $n = 1380 - 1450$ об/мин.

Мощность двигателя с учетом кратковременной перегрузки ($\lambda = 1,6$)

$$P = \frac{G \mu v}{\lambda \eta} 10^{-3} = \frac{3600 \cdot 0,1 \cdot 0,2}{1,6 \cdot 0,15} 10^{-3} = 0,3 \text{ кВт.}$$

По каталогу подбираем асинхронный электродвигатель типа

4A71A4Y3, $P_n = 0,55$ кВт, $n_n = 1390$ об/мин, $n_0 = 1500$ об/мин.
 $M_{\text{пуск}}/M_n = 2$, $M_m/M_n = 2,2$.

Проверяем электродвигатель по перегрузке. Так как

$$0,85 \frac{M_m}{M_n} \geq \lambda; 0,85 \cdot 2,2 = 1,87 > \lambda = 1,6,$$

следовательно, двигатель по перегрузке выбран правильно.

Номинальный момент двигателя

$$M_n = \frac{P_n}{n_n} 10^4 = \frac{0,55}{1390} 10^4 = 3,9 \text{ Н} \cdot \text{м}.$$

Пусковой момент двигателя

$$M_{\text{пуск}} = 2M_n = 2 \cdot 3,9 = 7,8 \text{ Н} \cdot \text{м}.$$

Номинальное скольжение

$$S_n = (n_0 - n_n)/n_0 = (1500 - 1390)/1500 = 0,06.$$

Синхронная угловая скорость электродвигателя

$$\omega_0 = \pi n_0 / 30 = 3,14 \cdot 1500 / 30 = 157 \text{ рад/с}.$$

Момент сопротивления при трогании с места

$$M_{\text{с. макс}} = \frac{G \mu_0 v}{\eta \omega_0 (1 - \lambda S_n)} = \frac{3600 \cdot 0,2 \cdot 0,2}{0,15 \cdot 157 (1 - 1,6 \cdot 0,06)} = 6,32 \text{ Н} \cdot \text{м}.$$

Так как $0,85 M_{\text{пуск}} = 0,85 \cdot 7,8 = 6,63 \text{ Н} \cdot \text{м} > M_{\text{с. макс}} = 6,32 \text{ Н} \cdot \text{м}$, значит, двигатель выбран правильно.

Повторно-кратковременный режим работы

Для повторно-кратковременного режима электродвигатели выбираются из серии нормального исполнения либо из серии краново-металлургических.

Если для этого режима применяется электродвигатель нормальной серии, предназначенный для длительной работы, его мощность выбирается при помощи методов, применяемых для длительной переменной нагрузки с учетом поправочных коэффициентов, учитывающих ухудшение теплоотдачи в периоды пуска, торможения и паузы.

Например, для графика, приведенного на рис. 23, формула для определения эквивалентной мощности будет иметь вид:

$$P_{\text{экв}} = \sqrt{\frac{P_n^2 t_n + P_p^2 t_p + P_r^2 t_r}{\alpha t_n + t_p + \alpha t_r + \beta_0 t_0}},$$

где P_n , P_p , P_r — мощности на участках цикла соответствен

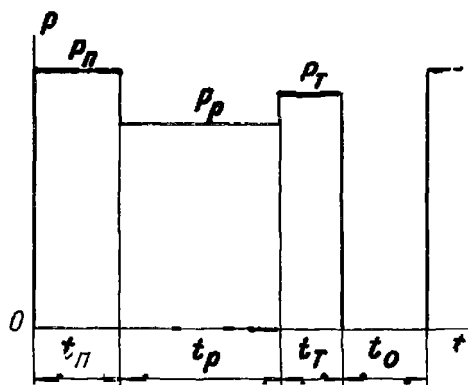


Рис. 23. График повторно-кратковременного режима работы электродвигателя

но при пуске, работе и торможении; t_n, t_p, t_r, t_o — соответственно время пуска, работы, торможения и останова двигателя; β_o — коэффициент, учитывающий уменьшение теплоотдачи электродвигателя в неподвижном состоянии (для закрытого электродвигателя без наружного охлаждения или с принудительной вентиляцией $\beta_o = 0,9-1$, для закры-

того с наружным охлаждением от собственного вентилятора на валу электродвигателя $\beta_o = 0,45-0,55$, для защищенного с самовентиляцией $\beta_o = 0,25-0,35$); α — коэффициент, учитывающий ухудшение условий охлаждения двигателя при пуске и торможении ($\alpha = (1 + \beta_o)/2$).

Формулу эквивалентной мощности применяют в тех случаях, когда процессы пуска и торможения сравнительно редки и существенно на нагрев электродвигателя не влияют.

Электроприводы многих металлорежущих станков (токарных, сверлильных, шлифовальных, строгальных), вспомогательных механизмов прокатных станов (ножниц, рольгангов, кантователей) работают в напряжённом повторно-кратковременном режиме, когда по условиям технологического процесса совершается 600—800 и более включений в час.

Существенное значение в таких режимах имеют пусковые и тормозные потери, вызывающие интенсивное нагревание двигателя и ограничивающие, таким образом, допустимую с точки зрения нагрева частоту его включений. Поэтому асинхронные короткозамкнутые электродвигатели малой мощности (до 10 кВт), рассчитанные на длительный режим, а работающие в повторно-кратковременном, должны быть проверены на допустимую частоту включений.

Допустимой частотой включений (числом включений в час) n считают такую частоту, при которой средняя темпера-

тура после большого числа рабочих циклов будет равна максимально допустимой. В этих условиях двигатель будет полностью использован по нагреву, а температура его обмоток не превысит допустимых значений.

Допустимое число включений в час

$$h = 3600 \frac{(\Delta p_n - \Delta p_{\text{ср}}) \varepsilon + \Delta p_n \beta (1 - \varepsilon)}{0,97 (\Delta A_p + \Delta A_t)},$$

где Δp_n и $\Delta p_{\text{ср}}$ — мощности потерь при номинальной и фактической нагрузке; ε — коэффициент относительной продолжительности включения; ΔA_p и ΔA_t — энергия потерь в электродвигателе за время разбега и торможения; β — коэффициент ухудшения теплоотдачи.

В целях улучшения экономических показателей электропривода для повторно-кратковременного режима выпускается также специальная серия краново-металлургических электродвигателей, которые имеют увеличенные пусковой и максимальный моменты. Кроме обычных данных, еще указывается, на какую продолжительность включения (ПВ %) они рассчитаны:

$$\text{ПВ \%} = \frac{t_p}{t_p + t_0} 100 \text{ или } \text{ПВ \%} = \frac{t_{p1} + t_{p2} + \dots + t_{pn}}{\Sigma t_p + t_0},$$

где t_p и t_0 — длительность соответственно рабочего периода и паузы.

В каталогах для двигателей повторно-кратковременного режима указывается мощность, которую может развивать двигатель при каждом из нормируемых значений ПВ % (15, 25, 40 и 60 %) или соответственно в относительных величинах ε (0,15; 0,25; 0,40-и 0,60). В этом случае выбор электродвигателя начинают с определения ПВ. Затем вычисляется эквивалентная мощность (ток, момент) для расчетной ПВ:

$$P_{\text{эк}} = \sqrt{\frac{P_1^2 t_1 + P_2^2 t_2 + \dots + P_n^2 t_n}{\Sigma t_p}}$$

В эту формулу время паузы t_0 не включается, поскольку оно учитывается величиной продолжительности включения ПВ.

Если расчетная величина продолжительности включения отличается от стандартной, выбирать двигатель необходимо по ближайшему стандартному значению ее, пересчитывая соответственно мощность двигателя по формуле:

$$P_{ст} = P_{эжв} \sqrt{ПВ/ПВ_{ст}} .$$

Полученная мощность сопоставляется с номинальной при $ПВ_{ст}$. Ввиду близости значений $ПВ$ и $ПВ_{ст}$ изменением условий теплоотдачи и величины постоянных потерь можно пренебречь.

При величинах $\epsilon > 0,6$ обычно выбирают электродвигатели, рассчитанные на длительный режим работы, а при $\epsilon < 0,1$ — двигатели для кратковременной работы.

Мощность электродвигателя для повторно-кратковременного режима с частыми пусками и электрическим торможением (режим S5), когда пусковые и тормозные потери энергии оказывают влияние на нагрев двигателя, рассчитывается методом непосредственного учета потерь в двигателе.

АППАРАТЫ

УПРАВЛЕНИЯ ЭЛЕКТРОДВИГАТЕЛЯМИ И ЗАЩИТНАЯ АППАРАТУРА В СЕТЯХ НАПРЯЖЕНИЕМ ДО 1000 В

Аппараты управления асинхронными электродвигателями на напряжение до 1000 В подразделяются на аппараты ручного управления (рубильники и переключатели, пакетные выключатели и переключатели, кнопочные пускатели, силовые ящики, контроллеры); аппараты автоматического управления (контакторы, магнитные и тиристорные пускатели); резисторы (пусковые, тормозные, регулировочные); командоаппараты (кнопки управления, универсальные переключатели, командоконтроллеры, путевые выключатели, электромагнитные муфты).

Аппараты управления состоят из различных элементов, которые на электрических схемах изображаются условными знаками, установленными ГОСТ 2. 755—74. Контакты аппаратов делятся на замыкающие и размыкающие и показываются на схемах в так называемом нормальном положении, т. е. которое они занимают при отсутствии тока в катушке аппарата или механического воздействия на контактную систему.

Контакты большинства электрических аппаратов изготавливаются из твердотянутой меди и иногда снабжаются пластинками из серебра.

Электрические аппараты, так же как и электродвигатели, могут работать в длительном, повторно-кратковременном и кратковременном режимах.

Ниже приводятся технические характеристики и область применения наиболее часто встречающихся аппаратов напряжением до 1000 В в электроприводах асинхронных электродвигателей.

АППАРАТЫ РУЧНОГО УПРАВЛЕНИЯ

Рубильники и переключатели (табл. 45) являются наиболее простыми по конструкции электрическими аппаратами, при помощи которых осуществляется включение и отключе-

45. Технические данные рубильников и переключателей

| Тип рубильника | Тип переключателя | I_H , А | Способ соединения |
|----------------|-------------------|-----------|----------------------|
| Р21, Р31 | П21, П31 | 100 | Переднее и заднее |
| Р22, Р32 | П22, П32 | 250 | |
| Р24, Р34 | П24, П34 | 400 | |
| РБ21, РБ31 | ПБ21, ПБ31 | 100 | Переднее |
| РБ22, РБ32 | ПБ22, ПБ32 | 250 | |
| РБ24, РБ34 | ПБ24, ПБ34 | 400 | |
| РПБ21, РПБ31 | ППБ21, ППБ31 | 100 | » |
| РПБ22, РПБ32 | ППБ22, ППБ32 | 250 | |
| РПБ24, РПБ34 | ППБ24, ППБ34 | 400 | |
| РПЦ21 | ППЦ21 | 100 | » |
| РПЦ22 | ППЦ22 | 250 | |
| РПЦ24 | ППЦ24 | 400 | |

Примечания: 1. Рубильники (Р) и переключатели (П) предназначены для отключения электрических цепей без нагрузки. Поставляются без изоляционных панелей, но по желанию заказчика могут поставляться и на панелях. Рубильники и переключатели с центральной и боковой рукоятками по заказу могут поставляться с контактом вспомогательной цепи.

2. Рубильники с боковой рукояткой (РБ), с боковым рычажным приводом (РПБ), с центральным рычажным приводом (РПЦ), а также соответствующие переключатели ПБ, ППБ, ППЦ предназначены для коммутации электрических цепей под нагрузкой в пределах 50—100 % номинального тока в зависимости от рода и величины напряжения. Поставляются с дугогасительными камерами без изоляционных панелей, но по желанию заказчика могут поставляться без камер и на панелях.

ние двигателей или электрических цепей. Рубильники изготавливаются одно-, двух- и трехполюсными. При помощи рубильников производится пуск двигателей малой мощности с небольшим числом включений в час. В схемах производственных и общепромышленных механизмов рубильники используются главным образом в качестве вводных для снятия напряжения со схемы при осмотрах и ремонтных работах или остановке станка на длительное время. Включение и отключение электродвигателей в этом случае осуществляется контакторами.

Разновидностями рубильников являются переключатели на два рабочих и одно нейтральное положение.

Рубильники и переключатели применяют для электрических цепей переменного тока частотой 50 Гц, напряжением до 500 В и цепей постоянного тока напряжением до 440 В.

Тип рубильника и переключателя расшифровывается следующим образом: первая цифра после буквы обозначает количество полюсов — 2, 3, вторая — номинальный ток рубильника — 1 (100 А), 2 (250 А), 4 (400 А), 6 (600 А). Например, РПБ32 — рубильник с боковым рычажным приводом, трехполюсный, номинальный ток 250 А.

Пакетные выключатели и переключатели (табл. 46) представляют собой более совершенные и компактные устройства по сравнению с рубильниками. Основное достоинство их — малые габариты. Пакетные выключатели и переключатели применяются в качестве вводных, присоединяющих электропривод производственного механизма (станка) к сети, переключателей обмотки статора со звезды на треугольник, переключателей цепей управления и сигнализации, а также в силовых цепях маломощных электродвигателей для непосредственного включения их при небольшом числе пусков (до 15—20 в час).

46. Технические данные пакетных выключателей и переключателей

| Тип | Число полюсов | I_n, A | | Исполнение | Тип | Число полюсов | I_n, A | | Исполнение |
|------------|---------------|----------|-------|------------|----------|---------------|----------|-------|---------------|
| | | 220 В | 380 В | | | | 220 В | 380 В | |
| ПВМ2-10 | 2 | 10 | 6,3 | Открытое | ВПКМ2-10 | 2 | 10 | 6,3 | Защищенное |
| ПВМ3-10 | 3 | 10 | 6,3 | | ВПКМ3-10 | 3 | 10 | 6,3 | |
| ППМ2-10/Н2 | 2 | 10 | 6,3 | | ВПКМ3-25 | 3 | 25 | 16 | |
| ППМ2-10/Н3 | 2 | 10 | 6,3 | | ГПВМ2-10 | 2 | 10 | 6,3 | Герметическое |
| ПВМ3-25 | 3 | 25 | 16 | | ГПВМ3-10 | 3 | 10 | 6,3 | |
| ПВМ3-60 | 3 | 63 | 40 | | ГПВМ3-25 | 3 | 25 | 16 | |
| ПВМ3-100 | 3 | 100 | 63 | | | | | | |

Примечание. Например, тип ПВМ2-10 означает: пакетный выключатель открытого исполнения, малогабаритный, двухполюсный, номинальный ток 10 А; ВПКМ2-10 — выключатель пакетный защищенного исполнения, малогабаритный, двухполюсный, номинальный ток 10 А; ГПВМ2-10 — герметический пакетный выключатель, малогабаритный, двухполюсный, номинальный ток 10 А; ППМ2-10/Н2 — пакетный переключатель открытого исполнения, двухполюсный, номинальный ток 10 А, на два направления вращения с одним нулевым положением.

Пакетные выключатели и переключатели (ГОСТ 16708—77) выпускают открытого, защищенного и герметического исполнения на напряжение переменного тока до 380 В, частотой до 220 Гц и постоянного тока до 440 В.

Для включения, отключения, реверсирования и переключения числа пар полюсов асинхронных короткозамкнутых электродвигателей используют пакетно-кулачковые переключатели ПКП и выключатели ПКВ на номинальные токи 10, 25, 63, 100, 160 А.

Кнопочные пускатели применяются для пуска электродвигателей малой мощности. Например, пускатель типа ПНВ предназначен для управления трехфазными короткозамкнутыми асинхронными двигателями мощностью до 4,5 кВт при напряжении до 500 В. Кнопочные пускатели имеют мостиковую трехполюсную контактную систему.

Ящики силовые (совмещенные рубильники-предохранители) (табл. 47, 48, 49) применяются для включения и отключения электрических цепей и для защиты от токов корот-

47. Технические данные силовых ящиков типа ЯВЗ, ЯВЗШ, ЯВЗБ

| Тип | Число полюсов | I_n , А | | U_n , В |
|---------|---------------|-----------|--------------------|-----------|
| | | аппарата | плавких вставок | |
| ЯВЗ-21 | 2 | 100 | 60, 80, 100 | 500 |
| ЯВЗ-22 | 2 | 200 | 100, 125, 160, 200 | |
| ЯВЗ-23 | 2 | 300 | 200, 225, 260, 300 | |
| ЯВЗ-31 | 3 | 100 | 60, 80, 100 | 500 |
| ЯВЗ-32 | 3 | 200 | 100, 125, 160, 200 | |
| ЯВЗ-33 | 3 | 300 | 200, 225, 260, 300 | |
| ЯВЗШ-21 | 2 | 100 | 60, 80, 100 | 380 |
| ЯВЗШ-31 | 3 | | | |
| ЯВЗБ-21 | 2 | 100 | 60, 80, 100 | 500 |
| ЯВЗБ-22 | 2 | 200 | 100, 125, 160, 200 | |
| ЯВЗБ-31 | 3 | 100 | 60, 80, 100 | |
| ЯВЗБ-32 | 3 | 200 | 100, 125, 160, 200 | |

Примечания. 1. Расшифровка обозначения типов аппаратов: Я — ящик, В — выключатель, З — закрытый, Ш — со штепсельным разъемом, Б — контактные стойки с барабанными зажимами; первая цифра после букв обозначает количество полюсов (2 или 3), вторая — номинальный ток в сотнях ампер.

2. Предназначены для коммутации электрических цепей, защиты от перегрузки и токов короткого замыкания.

48. Технические данные силовых ящиков типа ЯБП, ЯБПВУ, ЯРП и ЯПП, 380 В

| Тип | | | I_H , А | Масса ящика, кг |
|---------|--------|----------------|-----------|-----------------|
| ящика | блока | предохранителя | | |
| ЯБП-1 | — | ПН-2 | 100 | 6,5 |
| ЯБПВУ-2 | БПВУ-2 | ПН-2 | 200 | 23,8 |
| ЯБПВУ-4 | БПВУ-4 | ПН-2 | 400 | 26,7 |
| ЯРП-20 | — | Ц27 | 20 | 2,2 |
| ЯПП-15 | — | Ц27 | 15 | 1,7 |

Примечание. Ящики типа ЯБП и ЯБПВУ предназначены для защиты линий и нечастой коммутации электрических цепей трехфазного тока, типа ЯРП и ЯПП — для включения, отключения и защиты трехфазных электрических цепей, в том числе трехфазных асинхронных двигателей с короткозамкнутым ротором.

49. Технические данные силовых ящиков, предназначенных для коммутации электрических цепей

| Тип | Число полюсов | I_H , А | U_H , В | Тип | Число полюсов | I_H , А | U_H , В |
|----------|---------------|-----------|-----------|-----------|---------------|-----------|-----------|
| ЯВЗ-21-1 | 2 | 100 | 220 | ЯВЗШ-21-1 | 2 | 100 | 220 |
| ЯВЗ-22-1 | 2 | 250 | | ЯВЗШ-31-1 | 3 | 100 | 380 |
| ЯВЗ-24-1 | 2 | 400 | | ЯВЗБ-21-1 | 2 | 100 | 220 |
| ЯВЗ-31-1 | 3 | 100 | 500 | ЯВЗБ-22-1 | 2 | 250 | |
| ЯВЗ-32-1 | 3 | 250 | | ЯВЗБ-31-1 | 3 | 100 | 500 |
| ЯВЗ-34-1 | 3 | 400 | | ЯВЗБ-32-1 | 3 | 250 | |

Примечание. Ящики не имеют предохранителей.

кого замыкания. Они имеют блок рубильник-предохранитель и боковой привод. Ящики, служащие только для включения и отключения электрических цепей, не имеют предохранителей. Ящики силовые, в обозначение которых входят буквы Б и Ш (ЯВЗБ, ЯВЗШ), имеют соответственно барашковые зажимы или штепсельный разъем и служат для подключения передвижных электроприемников.

Ящики типов ЯБП и ЯБПВУ предназначены для защиты линий и нечастой коммутации электрических цепей трехфазного тока напряжением до 380 В, типов ЯРП и ЯПП — кроме того, еще и для включения, отключения и защиты трехфазных асинхронных двигателей с короткозамкнутым ротором.

Ввод проводов в ящик и вывод их можно осуществлять через верхнюю и нижнюю уплотненные крышки корпуса.

Ящики имеют блокировку, исключающую возможность открывания дверцы при включенном блоке и включения блока при открытой дверце. Для заземления и присоединения нулевых проводов на правой боковой стенке корпуса имеется болт.

Контроллеры — это многопозиционные и многоцепные аппараты ручного управления, предназначенные для изменения схемы соединений силовых цепей электродвигателей напряжением до 500 В либо для изменения величины включенных в эти цепи сопротивлений. Наиболее широко контроллеры используются в промышленности для управления электродвигателями кранов.

По конструкции переключающего устройства контроллеры делятся на барабанные, кулачковые и плоские. Для управления асинхронными электродвигателями с фазным ротором преимущественное применение получили кулачковые контроллеры переменного тока типа ККТ-61, которые широко используются в схемах управления электроприводами подъемных кранов. Поворот рукоятки контроллера в соответствующее положение приводит к поочередному замыканию контактов, шунтирующих секции роторных резисторов, обеспечивая тем самым плавный пуск двигателя. Контроллер обеспечивает также торможение, реверсирование и регулирование частоты вращения двигателя.

Для автоматического пуска, реверсирования и торможения двигателя с фазным ротором применяются магнитные контроллеры типа ТСА.

АППАРАТЫ АВТОМАТИЧЕСКОГО УПРАВЛЕНИЯ

Контакты переменного тока (табл. 50) представляют собой автоматически действующие электромагнитные аппараты, предназначенные для дистанционного управления электродвигателями. В этих аппаратах контакты замыкаются не под действием физических усилий человека, а при помощи электромагнита.

Контакты различают: по числу главных контактов — одно-, двух- и многополюсные; по конструкции электромагнита — с якорем клапанного типа и прямоходовым якорем; по способу гашения дуги — с магнитным гашением и дугогасительной решеткой.

50. Технические данные контакторов, применяемых в цепях переменного и постоянного тока

| Тип | U_H , В | I_H , А | Обмотка | | Допустимая частота включений, 1/ч | Дополнительные сведения |
|-------------|------------|--------------|--|----------|-----------------------------------|---|
| | | | U , В | P , Вт | | |
| МК1 | —220, ~380 | 40 | 24, 48, 110, 220 постоянного тока | 38 | — | Имеют общепромышленное, тропическое исполнение |
| КМЗ-0 | —220, ~380 | 4,5 | 127, 220 переменного тока | — | — | Используются в качестве промежуточных реле в схемах управления |
| КМ2000 | —220, ~380 | До 350 и 600 | 110, 220 постоянного тока, 127, 220, 380 переменного | 50 | 600 | Имеют общепромышленное, тропическое исполнение |
| РПК1 | —400, ~500 | 10 | 24—220 [постоянного тока, 36—500 переменного | — | 1200 | Используются в качестве промежуточных реле; имеют пневматическую приставку, обеспечивающую выдержку до 60 с |
| КН100-КН400 | ~380 | 25—200 | ~220 | 19—50 | — | Вибро- и ударостойкие |

Примечание. Контакторы типа КМЗ-0 еще находятся в эксплуатации, но в настоящее время сняты с производства.

При включении контактора переменного тока его катушка с небольшим активным сопротивлением потребляет пусковой ток, в 8—15 раз превышающий рабочий ток при втянутом якоре. В рабочем же состоянии (контактор включен) воздушный зазор мал, поэтому индуктивное сопротивление становится намного больше активного, следовательно, полное сопротивление катушки контактора возрастает и рабочий ток снижается.

Для уменьшения гудения и вибрации контактора применяется медный короткозамкнутый виток, закладываемый в торцовую поверхность якоря.

В электроприводах с большим числом включений в час применяются контакторы клапанного типа с питанием катушки постоянным током. Это повышает электрическую и механическую износостойчивость контактора.

Контакторы с бездуговой коммутацией предназначены для тяжелых режимов работы при частых отключениях токов, близких к пусковым.

Прямоходовые контакторы имеют магнитную систему броневого типа с якорем, втягивающимся при включении внутрь катушки. Связанные с якорем подвижные контакты перемещаются снизу вверх.

Контакторы переменного тока используются в цепях напряжением до 660 В на номинальные токи главных контактов от 20 до 600 А с числом полюсов от 1 до 5. Они нормально работают при напряжении $0,85-1,1 U_n$ и имеют напряжение отпуска $0,6-0,7 U_n$. Время включения контакторов колеблется в пределах $0,05-0,07$ с, время отключения $0,02-0,05$ с. Допустимая частота включений большинства контакторов — до 600 в час. Блок-контакты допускают протекание длительного тока до 20 А.

Для широкого применения рекомендуются типы контакторов, приведенные в табл. 51.

Магнитные пускатели — аппараты дистанционного управления трехфазными асинхронными электродвигателями. Они совмещают в себе функции пуска, остановки и защиты от перегрузки и понижения напряжения (нулевая защита). Нереверсивный магнитный пускатель состоит из одного трехполюсного контактора и тепловых реле (защита от перегрузки), реверсивный — из двух контакторов (вперед-назад) и тепловых реле, смонтированных на общем основании или

51. Технические данные контакторов переменного тока

| Тип | U_n , В | I_n , А | Число полюсов | Допустимая частота включений, 1/ч |
|---------|-----------|-------------------------------|---------------|-----------------------------------|
| КТ6000 | 380, 660 | 100, 160, 250, 400, 650, 1000 | 2, 3, 4, 5 | 1200 |
| КТ7000 | 380, 660 | 100, 160 | 2, 3, 4, 5 | 600 |
| КВДК630 | 660 | 630 | 3 | 3800 |
| КБК | 380 | 100 | 3 | 2000 |
| КТД121 | До 500 | 40 | 3 | 1200 |
| КТПВ600 | До 380 | 63, 100, 160, 250 | 2 | 1200 |

в общем кожухе. Реверсивные магнитные пускатели имеют механическую блокировку между контакторами, чем исключается их одновременное включение. При необходимости магнитный пускатель снабжается блоком задержки отключения, который удерживает контакты пускателя во включенном состоянии в течение 4—5 с.

Магнитные пускатели серий ПМЕ и ПАЕ (табл. 52, 53) изготавливаются на напряжение до 500 В в кожухе со степенью защиты IP00, IP30, IP52, IP64 и серии ПМ700 взрывозащищенные с масляным заполнением. В сетях напряжением 380 В пускатели ПМЕ предназначаются для управления электродвигателями мощностью от 1,1 до 10 кВт, а пускатели ПАЕ — электродвигателями мощностью 17—75 кВт. В пускателях ПМЕ используются электротепловые реле ТРН, в пускателях ПАЕ — тепловые реле ТРП (табл. 54). Пускатели ПМ700 в сетях напряжением 380 В предназначаются для управления электродвигателями мощностью до 100 кВт.

Тип пускателя расшифровывается следующим образом: буквы обозначают серию, первая цифра (от 0 до VI) — величину пускателя (серии ПМЕ выпускаются 0, I, II величин, серии ПАЕ — III, IV, V, VI величин), вторая цифра — исполнение по роду защиты от воздействия окружающей среды (1 — открытое, 2 — защищенное, 3 — пыле- и влаго- непроницаемое), третья цифра — электрическое исполнение (1 — неревверсивный без тепловых реле, 2 — то же с тепловыми реле, 3 — реверсивный без тепловых реле, 4 — то же с тепловыми реле). Например, тип ПАЕ-522 означает: пускатель пятой величины, защищенного исполнения, неревверсивный с тепловыми реле.

Для среды с влажностью воздуха до 100 % применяют пускатели серий ПМЕ и ПАЕ тропического исполнения. В этом случае в обозначение добавляется буква Т, например ПМЕ-511Т, ПАЕ-421Т.

В электроприводах металлорежущих станков применяются магнитные пускатели серии ПМА (табл. 55, 56), предназначенные главным образом для дистанционного управления асинхронными короткозамкнутыми электродвигателями напряжением до 660 В переменного тока частотой 50 и 60 Гц. Они рассчитаны для работы в условиях умеренного (У), холодного (ХЛ) и тропического (Т) климата.

Тиристорные пускатели предназначены для дистанционного или местного управления и защиты от перегрузки и

| Тип в исполнении | | Величина | Тепловое реле | I_n , А, при напряжении 380 В в исполнении | | Предельная мощность электродвигателя, кВт, при напряжении В | | |
|------------------|------------------|----------|---------------|--|----------|---|-----|---------|
| открытом | защитном | | | открытом | защитном | 127 | 220 | 380 500 |
| | пылеводозащитном | | | | | | | |

Нереверсивные

| | | | | | | | | | | |
|---------|---------|---------|-----|---------|-----|-----|------|------|----|----|
| ПМЕ-111 | ПМЕ-121 | ПМЕ-131 | I | Нет | 10 | 10 | 1,1 | 2,2 | 4 | 4 |
| ПМЕ-112 | ПМЕ-122 | ПМЕ-132 | | ТРН-10 | | | | | | |
| ПМЕ-211 | ПМЕ-221 | ПМЕ-231 | II | Нет | 25 | 23 | 3,0 | 5,5 | 10 | 10 |
| ПМЕ-212 | ПМЕ-222 | ПМЕ-232 | | ТРН-25 | | | | | | |
| ПАЕ-311 | ПАЕ-321 | ПАЕ-331 | III | Нет | 40 | 40 | 5,5 | 10,0 | 17 | 17 |
| ПАЕ-312 | ПАЕ-322 | ПАЕ-332 | | ТРН-40 | | | | | | |
| ПАЕ-411 | ПАЕ-421 | ПАЕ-431 | IV | Нет | 56 | 56 | 7,5 | 14,0 | 28 | 28 |
| ПАЕ-412 | ПАЕ-422 | ПАЕ-432 | | ТРП-60 | | | | | | |
| ПАЕ-511 | ПАЕ-521 | ПАЕ-531 | V | Нет | 115 | 115 | 14,0 | 30,0 | 55 | 55 |
| ПАЕ-512 | ПАЕ-522 | ПАЕ-532 | | ТРП-150 | | | | | | |
| ПАЕ-611 | ПАЕ-621 | ПАЕ-631 | VI | Нет | 150 | 140 | 20,0 | 40,0 | 75 | 75 |
| ПАЕ-612 | ПАЕ-622 | ПАЕ-632 | | ТРП-150 | | | | | | |

Реверсивные

| | | | | | | | | | | |
|---------|---------|---------|---|--------|----|----|-----|-----|---|---|
| ПМЕ-113 | ПМЕ-123 | ПМЕ-133 | I | Нет | 10 | 10 | 1,1 | 2,2 | 4 | 4 |
| ПМЕ-114 | ПМЕ-124 | ПМЕ-134 | | ТРН-10 | | | | | | |

| | | | | | | | | | | |
|--------------------|--------------------|--------------------|-----|----------------|-----|-----|------|------|----|----|
| ПМЕ-213 ПМЕ-214 | ПМЕ-223 ПМЕ-224 | ПМЕ-233 ПМЕ-234 | II | Her ТРН-25 | 25 | 23 | 3,0 | 5,5 | 10 | 10 |
| ПАЕ-313 ПАЕ-314 | ПАЕ-323 ПАЕ-324 | ПАЕ-333 ПАЕ-334 | III | Her ТРН-40 | 40 | 40 | 5,5 | 10,0 | 17 | 17 |
| ПАЕ-413 ПАЕ-414 | ПАЕ-423 ПАЕ-424 | ПАЕ-433 ПАЕ-434 | IV | Her ТРП-60 | 56 | 56 | 7,5 | 14,0 | 28 | 28 |
| ПАЕ-513 ПАЕ-514 | ПАЕ-523 ПАЕ-524 | ПАЕ-533 ПАЕ-534 | V | Her ТРП-150 | 115 | 115 | 14,0 | 30,0 | 55 | 55 |
| ПАЕ-613 ПАЕ-614 | ПАЕ-623 ПАЕ-624 | ПАЕ-633 ПАЕ-634 | VI | Her ТРП-150 | 150 | 140 | 20,0 | 40,0 | 75 | 75 |

53. Обмоточные данные катушек магнитных пускателей и потребляемые ими токи

| Тип | Диаметр провода, мм, при напряжении, В | | Число витков при напряжении, В | | Ток, А, потребляемый катушками при напряжении, В | |
|---------|--|------|--------------------------------|------|--|-------|
| | 220 | 380 | 220 | 380 | 220 | 380 |
| ПМЕ-000 | 0,12 | 0,09 | 5300 | 9000 | 0,055 | 0,032 |
| ПМЕ-100 | 0,15 | 0,11 | 4150 | 7170 | 0,104 | 0,060 |
| ПМЕ-200 | 0,27 | 0,20 | 2600 | 4500 | 0,136 | 0,071 |
| ПАЕ-300 | 0,25 | 0,19 | 2280 | 3800 | 0,146 | 0,087 |
| ПАЕ-400 | 0,35 | 0,27 | 1600 | 2760 | 0,280 | 0,160 |
| ПАЕ-500 | 0,49 | 0,35 | 1200 | 2070 | 0,355 | 0,215 |
| ПАЕ-600 | 0,62 | 0,47 | 890 | 1540 | 0,515 | 0,290 |

54. Технические данные электротепловых реле серий ТРН и ТРП

| Тип пускателя | Тепловое реле | | I_{Σ} тепловых элементов (уставки), А |
|---------------|---------------|------------------|--|
| | тип | I_{Σ} , А | |
| ПМЕ-000 | ТРН-10 | 3,2 | 0,32; 0,4; 0,5; 0,63; 0,8; 1,0; 1,25; 1,6; 2,0; 2,5; 3,2 |
| ПМЕ-100 | ТРН-10 | 10 | 0,5; 0,63; 0,8; 1,0; 1,25; 1,6; 2,0; 2,5; 3,2; 4,5; 6,3; 8; 10 |
| ПМЕ-200 | ТРН-25 | 25 | 4,5; 6,3; 8; 10; 12,5; 16; 20; 25 |
| ПАЕ-300 | ТРН-40 | 40 | 12,5; 16; 20; 25; 30; 40 |
| ПАЕ-400 | ТРП-60 | 60 | 20; 25; 30; 40; 50; 60 |
| ПАЕ-500 | ТРП-150 | 150 | 50; 60; 80; 100; 120 |
| ПАЕ-600 | ТРП-150 | 150 | 100; 120; 150 |

токов короткого замыкания асинхронных двигателей с короткозамкнутым ротором. Они устойчиво работают при температуре окружающей среды от -40 до $+40$ °С и относительной влажности не более 90 ± 3 %. Окружающая среда не должна содержать токопроводящей пыли, а также агрессивных газов и паров в концентрациях, разрушающих металл и изоляцию.

По сравнению с магнитными тиристорные пускатели отличаются большой коммутационной способностью и большим сроком службы, высоким быстродействием системы,

55. Технические данные магнитных пускателей серии ПМА

| Величина пускателя | I_H, A | Наибольшая мощность управляемого электродвигателя, кВт, при напряжении, В | | | | Номинальный рабочий ток контактов главной цепи пускателя в продолжительном и прерывисто-продолжительном режимах работы, А, при напряжении, В | | |
|--------------------|----------|---|-----|-----|-----|--|-----|-----|
| | | 220 | 380 | 500 | 660 | до 380 | 500 | 660 |
| III | 40 | 10 | 17 | 22 | 22 | 40 | 40 | 25 |
| IV | 63 | 17 | 30 | 40 | 40 | 63 | 63 | 40 |

Примечание. При работе пускателя в повторно-кратковременном режиме с заданной нагрузкой, частотой и ПВ% значение теплового эквивалентного тока этого режима не должно превышать номинального рабочего тока.

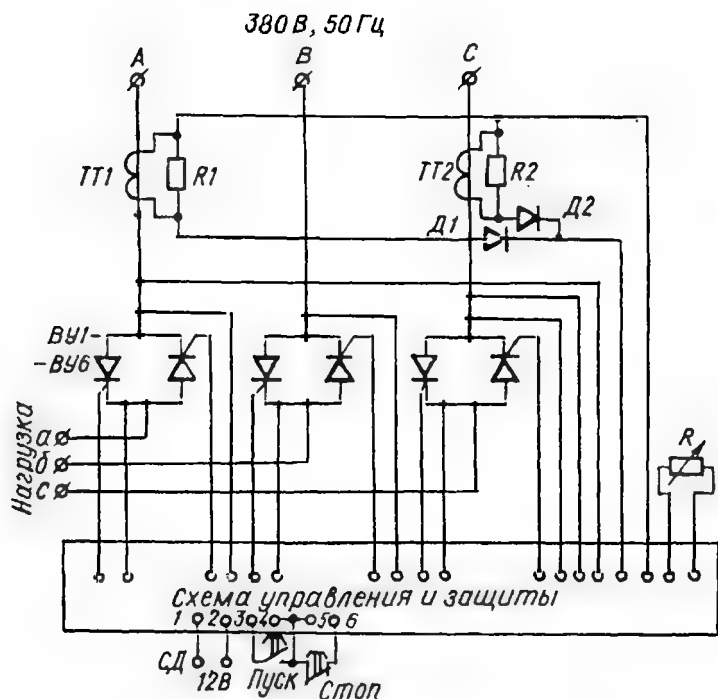


Рис. 24. Принципиальная электрическая схема тиристорного пускателя ПТ40-380

3~380В, 50 Гц

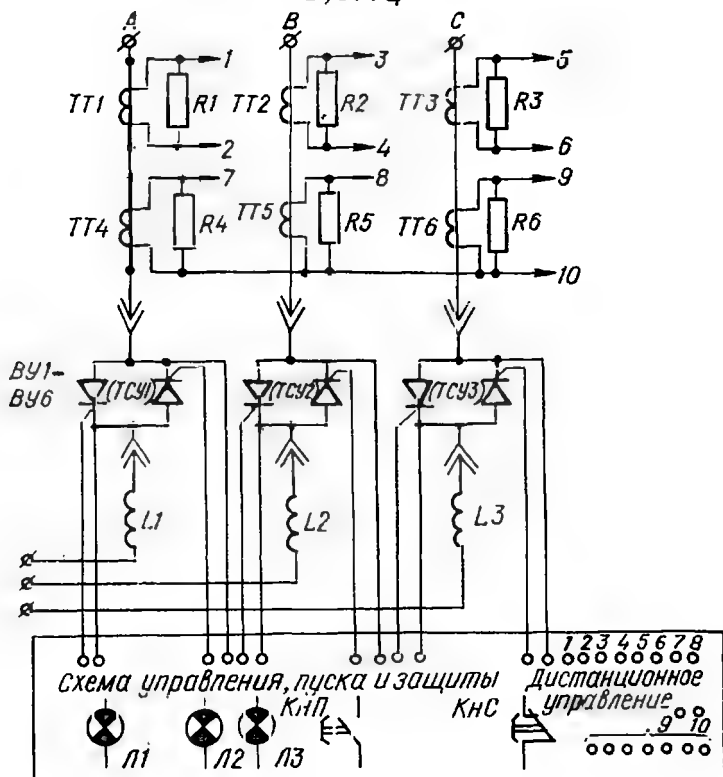


Рис. 25. Принципиальная электрическая схема пускового тиристорного устройства ПТУ63-380

плавным пуском электродвигателя, устойчивостью к механическим воздействиям и отсутствием механических коммутирующих контактов, что исключает образование электрической дуги при коммутации.

Для управления асинхронными двигателями с короткозамкнутым ротором на промышленных предприятиях применяют тиристорные пускатели типа ПТ40-380, ПТ40-380Д (рис. 24), реверсивные и пусковые тиристорные устройства ПТУ63-380 (рис. 25), технические данные которых приведены в табл. 57.

56. Обозначение типов магнитных пускателей серии ПМА

| Род тока цепи уп- равления | Нереверсивный | | Реверсивный с элек- трической блокиров- кой | | Реверсивный с элек- трической и механи- ческой блокировкой | |
|----------------------------------|---------------|--------|---|--------|--|--------|
| | без реле | с реле | без реле | с реле | без реле | с реле |
| 40 А, 380 В | | | | | | |
| Перемен- ный | 3100У4 | 3200У4 | 3300У4 | 3400У4 | 3500У4 | 3600У4 |
| | 3104У4 | 3204У4 | 3304У4 | 3404У4 | 3504У4 | 3604У4 |
| | 3108У4 | 3208У4 | 3308У4 | 3408У4 | 3508У4 | 3608У4 |
| Постоян- ный | 3101У4 | 3201У4 | 3301У4 | 3401У4 | 3501У4 | 3601У4 |
| | 3105У4 | 3205У4 | 3305У4 | 3405У4 | 3505У4 | 3605У4 |

| | | | | | | |
|-----------------|--------|--------|--------|--------|--------|--------|
| 40 А, 660 В | | | | | | |
| Перемен- ный | 3102У4 | 3202У4 | 3302У4 | 3402У4 | 3502У4 | 3602У4 |
| | 3106У4 | 3206У4 | 3306У4 | 3406У4 | 3506У4 | 3606У4 |
| | 3109У4 | 3209У4 | 3309У4 | 3409У4 | 3509У4 | 3609У4 |
| Постоян- ный | 3103У4 | 3203У4 | 3303У4 | 3403У4 | 3503У4 | 3603У4 |
| | 3107У4 | 3207У4 | 3307У4 | 3407У4 | 3507У4 | 3607У4 |

| | | | | | | |
|-----------------|--------|--------|--------|--------|--------|--------|
| 63 А, 380 В | | | | | | |
| Перемен- ный | 4100У4 | 4200У4 | 4300У4 | 4400У4 | 4500У4 | 4600У4 |
| | 4104У4 | 4204У4 | 4304У4 | 4404У4 | 4504У4 | 4604У4 |
| | 4108У4 | 4208У4 | 4308У4 | 4408У4 | 4508У4 | 4608У4 |
| Постоян- ный | 4101У4 | 4201У4 | 4301У4 | 4401У4 | 4501У4 | 4601У4 |
| | 4105У4 | 4205У4 | 4305У4 | 4405У4 | 4505У4 | 4605У4 |

| | | | | | | |
|-----------------|--------|--------|--------|--------|--------|--------|
| 60 А, 660 В | | | | | | |
| Перемен- ный | 4102У4 | 4202У4 | 4302У4 | 4402У4 | 4502У4 | 4602У4 |
| | 4106У4 | 4206У4 | 4306У4 | 4406У4 | 4506У4 | 4606У4 |
| | 4109У4 | 4209У4 | 4309У4 | 4409У4 | 4509У4 | 4609У4 |
| Постоян- ный | 4103У4 | 4203У4 | 4303У4 | 4403У4 | 4503У4 | 4603У4 |
| | 4107У4 | 4207У4 | 4307У4 | 4407У4 | 4507У4 | 4607У4 |

Примечание. Пускатели серии ПМА поставляются без кнопок.

РЕЗИСТОРЫ И РЕОСТАТЫ

В схемах электроприводов резисторы применяются в качестве пусковых, регулировочных, тормозных, разрядных и добавочных сопротивлений. Они могут являться частью аппарата, например реостата, или же представлять самостоятельный аппарат, соединяемый с переключающим устройством типа контроллера или контактора.

57. Технические данные тиристорных пускателей типа ПТ открытого исполнения и тиристорного пускового устройства ПТУ

| Показатели | ПТ40-380 | ПТ40-380Д | ПТУ63-380 |
|---|----------|-----------|-----------|
| Напряжение сети, В | 380 | 380 | 380 |
| Частота, Гц | 50 | 50 | 50 |
| Номинальный ток, А | 46 | 46 | 63 |
| Ток утечки при закрытых тиристорах (не более), мА | 20 | 20 | 24 |
| Пусковой ток, коммутируемый пускателями в течение 0,4 с (не более), А | 200 | 200 | — |
| Допустимые перегрузки при $1,2 I_n$, мин | — | — | 5 |
| Время отключения при допустимых перегрузках, мин: | | | |
| 1,25 I_n | 60 | 60 | — |
| 1,5 I_n | 30 | 30 | — |
| 2 I_n | 20 | 20 | — |
| Предельная коммутационная способность, А | — | — | 1700 |
| Напряжение в цепях управления, В | 24 | 24 | — |
| Ток в цепях управления (не более), А | 0,3 | 0,3 | 0,3 |
| Срок службы, тыс. ч | 10 | 10 | — |
| Масса, кг | 16 | 24 | 50 |

Резисторы характеризуются двумя основными параметрами: величиной сопротивления и рассеиваемой мощностью. В качестве токопроводящих (резистивных) элементов для резисторов применяют специальные сплавы, отличающиеся высоким удельным сопротивлением (фехраль, константан, никелин, нихром и другие жаростойкие сплавы, не содержащие цинк), а также листовую сталь и другие материалы (для штампованных резистивных элементов).

По исполнению резистивного элемента различают резисторы проволочные, ленточные, штампованные и литые, а по компоновке — одиночные и блоки резисторов.

Резисторы собирают на общем каркасе в виде ящика (ЯС) с разбивкой по ступеням элементов сопротивлений (ЭС). Наибольшее распространение получили открытые ящики с чугунными элементами, например: ЯС1 — пятиступенчатые (пределы изменения сопротивления 2,2 — 8 Ом, допустимые токи 46—24 А); ЯС2 — четырехступенчатые (пределы изменения сопротивления 0,1—1,6 Ом, допустимые токи 215—54 А); ЯСТ1 — трехступенчатые трехфазные (сопротивления 3 (0,9—2,4) Ом, допустимые токи 39—24 А); ЯСТ2 —

трехступенчатые трехфазные (сопротивления 3 (0,03—0,66) Ом, допустимые токи 215—46 А).

Ящики резисторов защищенные ЯС10, ЯС20, ЯС30 с чугунными элементами рассчитаны на мощность от 3,2 до 20,7 кВт, с константовыми элементами — от 2,45 до 16,8 кВт. Ящики типа ЯС эксплуатируются в цепях напряжением до 660 В. На промышленных предприятиях применяются крановые резисторы КФ-22 на токи 220—30 А и ящики резисторов защищенные с элементами из фехраля НФ-1 (пределы изменения сопротивления 0,1—0,1925 Ом, допустимые токи 214—156 А).

Реостаты панельные открытые модернизированные РПОМ-200, РПОМ-400 и ползунковые РПС-1 — РПС-4 находят применение в схемах пуска и регулирования частоты вращения асинхронных электродвигателей с фазным ротором.

КОМАНДОАППАРАТЫ

Кнопки управления (кнопочные станции) служат для дистанционного управления электроприводами производственных механизмов, имеющих контакторы или магнитные пускатели (табл. 58). Они представляют собой один или несколько кнопочных элементов, заключенных в общий корпус. Обычно кнопочные элементы имеют по одному размыкающему и замыкающему контакту с пружинным самовозвратом. Имеются также кнопки управления без самовозврата, т. е. с фиксацией положения. Кнопочная станция общего применения типа КУ-122 комплектуется из одно-, двух- или трехкнопочных элементов, имеющих закрытое утепленное исполнение для установки на панелях, встройки в нишу станины станка или в корпус другого его узла. Кнопочная станция КУ-90-ВЗГ имеет взрывозащищенное исполнение.

Кнопочные станции выполняются для монтажа на пульте, на стене, на полу (ножные) и подвесными.

Универсальные переключатели применяют в цепях управления электромагнитными аппаратами (контакторами, автоматами), магнитными станциями для переключения полюсов многоскоростных асинхронных двигателей мощностью до 4 кВт, для изменения режима работы электропривода. Переключатели различаются по числу секций, диаграмме замыканий контактов и углу поворота рукоятки. Число фиксированных положений рукоятки в зависимости

58. Технические данные кнопок управления и командоконтроллеров

| Наименование | Тип | U_n , В | I_n , А |
|--|--------|-----------|-----------|
| Командоконтроллеры регулируемые кулачковые с электроприводом | КА4000 | 500 | До 15 |
| Командоконтроллеры нерегулируемые кулачковые | КА5000 | 500 | 15 |
| Плоские командоконтроллеры быстроходные с моторным приводом | КПБ-10 | 220 | 25 |
| Микропереключатели | МП2000 | 380 | 2,5 |
| Кнопки управления ладонные | ЛКУ | 500 | 15 |
| Кнопочные посты управления | КС | 380 | 6 |
| | ПКЕ | 500 | 6,3 |
| Кнопки управления открытого исполнения | КЕ | 500 | 6,3 |
| Переключатели открытого исполнения | ПЕ | 500 | 6,3 |

от типа переключателя — до 12, число цепей — до 16. Некоторые типы переключателей изготавливаются с самовозвратом рукоятки в нулевое положение.

Переключатели рассчитаны для работы при температуре от -40 до $+35^\circ\text{C}$ и относительной влажности воздуха не более 80 %. Их нельзя устанавливать в сырых помещениях, в местах, не защищенных от атмосферных осадков, в средах, насыщенных токопроводимой, взрывоопасной пылью. В схемах управления применяются преимущественно переключатели серий УП5300 и ПКУ-3.

Командоконтроллеры, или переключатели управления (табл. 58), используются для управления двигателями, работающими в напряженном повторно-кратковременном режиме. Наибольшее распространение в промышленности получили кулачковые командоконтроллеры (КА), которые выпускаются на разное число коммутируемых цепей и положений с ручным или ножным (педальным) приводом, а также с электроприводом.

Путевые (конечные) выключатели применяют в схемах управления электроприводами кранов и задвижек. Они приводятся в действие подвижными частями производственного механизма в зависимости от их положения, т. е. от пройденного пути. Контакты путевого выключателя в определенных точках пути переключаются и подают соответствующие команды управления. Путевые выключатели, снабженные сильной пружиной, возвращающей переключатель в исходное положение после прекращения воздействия движущейся части механизма.

59. Технические данные контактных путевых выключателей

| Тип | U_n , В | I_n , А | Износостойкость (число включений) | | Рабочий угол поворота (ход) |
|----------|-----------|-----------|-----------------------------------|------------------|-----------------------------|
| | | | механическая | электрическая | |
| ВК-200 | 380 | 6,3 | $5 \cdot 10^6$ | 10^6 | 12° |
| ВПК-1000 | 380 | 4 | $1,6 \cdot 10^6$ | 10^6 | 15° (1,7 мм) |
| ВПК-2000 | 380 | 6—4 | 10^7 | $2,5 \cdot 10^6$ | 5,5—8 мм |
| ВПК-3000 | 380 | 6 | $6,3 \cdot 10^6$ | — | 12° (6,15 мм) |
| ВПК-4000 | 500 | 6—4 | 10^6 | $2,5 \cdot 10^6$ | 5—9 мм |

щегося упора, называются переключателями с самовозвратом. Контактные путевые выключатели (табл. 59) бывают вращающимися, рычажными и нажимными. Применяются также бесконтактные путевые выключатели серии БВК, предназначенные для контроля положения механизма.

Если длина хода переключающего упора мала и при этом требуется повышенная точность переключения, применяется микропереключатель типа МП с ходом штока 0,3—0,7 мм.

Электромагнитные муфты предназначены для замыкания и размыкания кинематических цепей без прерывания вращения. Они широко применяются в металлорежущих станках, где с их помощью производятся различные переключения в кинематических цепях (коробках скоростей) станка и в других механизмах и устройствах.

60. Технические данные электромагнитных муфт

| Серия | Передаваемый момент, Н·м | Частота вращения, об/мин | Ток управления, А |
|-------|--------------------------|--------------------------|-------------------|
|-------|--------------------------|--------------------------|-------------------|

Фрикционные многодисковые

| | | | |
|---------|------|------|------|
| ЭМ-12 | 16 | 3000 | 1,1 |
| ЭМ-42 | 160 | 2000 | 3,5 |
| ЭМ-62 | 1000 | 1000 | 16,2 |
| ЭТМ-012 | 2,5 | 6000 | 0,15 |
| ЭТМ-103 | 1000 | 4000 | 1,68 |
| ЭТМ-15 | 1600 | 2500 | 6,0 |

Порошковые бесконтактные

| | | | |
|------------|-------|------|------|
| МПБ-63-2 | 6,3 | 2000 | 0,45 |
| МПБ-10-2 | 0,4 | 2000 | 0,18 |
| МПБ-0,63-2 | 0,063 | 2000 | 0,16 |

Быстродействующие многодисковые фрикционные электромагнитные муфты (табл. 60) используют в следящих системах электрокопировальных станков. Частота срабатывания муфт доходит до 50 включений в секунду и более. Электромагнитные муфты изготовляют для передачи моментов 2,5 — 1600 Н. м. (0,25—160 кГ. м).

При работе электромагнитной муфты с асинхронным двигателем передаваемый муфтой момент должен быть несколько больше максимального момента электродвигателя, иначе при перегрузке двигателя муфта будет проскальзывать при полном моменте, перегреется и выйдет из строя. Электромагнитные фрикционные муфты могут работать с горизонтальной и вертикальной осью.

Кроме многодисковых в станкостроении применяют однодисковые фрикционные электромагнитные муфты и электромагнитные порошковые муфты (табл. 60). У этих муфт зазор между сцепляющимися поверхностями заполняется текучими или сыпучими смесями. Удельная сила сцепления у порошковых муфт достигает 10 Н/см^2 . Преимуществом этих муфт является высокая скорость срабатывания, недостатком — старение магнитной смеси.

ЗАЩИТНАЯ АППАРАТУРА ДЛЯ УСТАНОВОК НАПРЯЖЕНИЕМ ДО 1000 В

Для защиты электродвигателей и другого электрооборудования автоматизированных электроприводов при коротких замыканиях, чрезмерных или длительных перегрузках применяются плавкие предохранители, электромагнитные реле тока, автоматические воздушные выключатели, электротепловые реле.

Плавкие предохранители (табл. 61 и 62) являются наиболее простыми защитными аппаратами. Они применяются для защиты главных цепей электродвигателей небольшой мощности, а также цепей управления при коротких замыканиях. Существует несколько типов плавких предохранителей (пробочные, трубчатые и др.). Трубчатые предохранители кроме типа ПР2 заполнены кварцевым песком и могут устанавливаться в вертикальном и горизонтальном положениях. Они имеют разборные плавкие вставки кроме типа НПН. Предохранители ПР2 устанавливаются только в вертикальном положении.

61. Технические данные плавких предохранителей типов НПН, ПН, ПП

| Тип | U_n , В | I_n , А | | Предельный ток отключения, кА, при напряжении переменного тока, В | |
|---------|----------------|----------------|-------------------------------|---|-----|
| | | предохранителя | плавкой вставки | | |
| | | | | 380 | 500 |
| НПН2-60 | ~380 | 63 | 6, 10, 16, 20, 25, 32, 40, 63 | 10 | |
| ПН2-100 | ~380*, —220 | 100 | 30, 40, 50, 60, 80, 100 | 100 | 50 |
| ПН2-250 | | 250 | 80, 100, 120, 150, 200, 250 | 100 | 50 |
| ПН2-400 | | 400 | 200, 250, 300, 400 | 40 | 25 |
| ПН2-600 | | 600 | 300, 400, 500, 600 | 25 | 25 |
| ПП17-39 | ~380*, —220 | 1000 | 500, 630, 800, 1000 | 110 | 64 |
| ПП18-33 | ~660, —440 | 160 | 50, 63, 80, 100, 125, 160 | | |
| ПП18-34 | | 250 | 125, 160, 200, 250 | | |
| ПП18-37 | | 400 | 250, 320, 400 | | |
| ПП18-39 | | 630 | 400, 500, 630 | | |
| ПП18-41 | | 1000 | 630, 800, 1000 | | |

* Допускается применение в сетях напряжением 500 В.

Предохранители ПН2, ПП17, ПП18 могут поставляться с указателем срабатывания, с указателем и замыкающим контактом, с указателем и размыкающим контактом, а также без указателя срабатывания и контакта вспомогательной цепи.

Электромагнитные реле тока мгновенного действия ЭТ-520 используются для защиты электродвигателей, работающих в повторно-кратковременном режиме, от чрезмерных перегрузок и коротких замыканий в главной цепи, а также для управления пуском и торможением двигателей. Эти реле при срабатывании разрывают цепь катушки линейного контактора и этим отключают двигатель от сети. Все электромагнитные реле отключают электродвигатель при определенном токе независимо от его теплового состояния.

62. Технические данные предохранителей типа ПР2

| I_n , А | | U_n , В | | Предельная отключающая способность, кА, при переменном токе, $\cos \varphi = 0,4$ (действующее значение) |
|--------------------------|-----------------|----------------|--------------------|--|
| основания предохранителя | плавкой вставки | предохранителя | электрической цепи | |
| 15 | 6 | 220 | 220 380 | 1,2 0,8 |
| | 10 | 500 | 380 | 8 |
| | 15 | | 500 | 7 |
| 60 | 15 | 220 | 220 | 1,8 |
| | 20 | | 380 | |
| | 25 | | 500 | |
| | 35 | 500 | 380 | 4,5 |
| 100 | 45 | | 500 | 3,5 |
| | 60 | | | |
| | 60 | 220 | 220 | 11 |
| | 80 | | 380 | 6 |
| 200 | 100 | 500 | 380 | 11 |
| | 125 | | 500 | 10 |
| | 160 | 220 | 220 | 11 |
| 200 | 200 | | 380 | 6 |
| | | 500 | 380 | 11 |
| | | | 500 | 10 |

Примечания: 1. Предельная отключающая способность при постоянном токе $3 I_n$ тока плавкой вставки.

2. Расшифровка условного обозначения предохранителей ПР2: П — предохранитель, Р — разборный, 2 — условный номер разработки.

В тех случаях, когда электрическая схема должна обеспечить защиту лишь от однофазного включения асинхронного двигателя, может быть применено специальное электромагнитное реле обрыва фазы (РОФ).

Автоматические воздушные выключатели (автоматы) осуществляют защиту электродвигателей при коротких замыканиях и перегрузках (табл. 63). В установках трехфазного переменного тока напряжением до 660 В применяются трехполюсные автоматы, а для защиты цепей управле-

63. Технические данные автоматических воздушных выключателей, находящихся в эксплуатации

| Тип | I_n, A | U_n, B | Число полюсов | Возможность заказа с расцепителем | | Ток установки расцепителя, A | Время отключения, с | Природ |
|------------|-------------|--------------|---------------|-----------------------------------|------------------|------------------------------|---------------------|---|
| | | | | с тепловым | электромагнитным | | | |
| A3100 | 50 | ~220, —110 | 1, 2, 3 | Есть | Нет | 15—50 | 0,015—0,03 | Ручной |
| A3110 | 100 | ~380, —220 | 2, 3 | Нет | Есть | 15—100 | 0,01—0,015 | » |
| A3120 | 200 | ~380, —220 | 2, 3 | » | » | 15—100 | — | » |
| A3130 | 200 | ~380, —220 | 2, 3 | » | » | 120—200 | 0,01—0,02 | » |
| A3140 | 600 | ~380, —220 | 2, 3 | » | » | 250—600 | 0,025—0,035 | » |
| AK-63 | 63 | ~380, —220 | 2, 3 | » | » | 0,63—63 | 0,02—0,04 | » |
| AK-50 | 50 | ~380, —440 | 2, 3 | — | » | 2—50 | 0,04 | » |
| AP-50 | 50 | ~500, —220 | 2, 3 | Есть | » | 1,6—50 | 0,02 | » |
| A-63 | 25 | ~220, —110 | 1 | » | » | 0,63—25 | — | » |
| AE1000 | 25 | ~220 | 1 | » | » | 6—25 | — | » |
| AE2000 | 25, 63, 100 | ~500, —220 | 1, 2, 3 | — | » | — | — | » |
| «Электрон» | 630 1000 | —440 ~600 | 2, 3 | — | » | — | — | Ручной, электромагнитный, электродвигательный |

ния этих установок могут использоваться двухполюсные автоматы.

Все автоматы имеют механизм свободного расцепления, который обеспечивает автоматическое их отключение при аварийном режиме защищаемой цепи. Двух- и трехполюсные автоматы снабжаются тепловыми и электромагнитными расцепителями в каждом полюсе и отключают одновременно все цепи при срабатывании любого из расцепителей.

Выключатели серии АЗ100 применяются на номинальные токи до 600 А в одно-, двух- и трехполюсном исполнении с нерегулируемыми расцепителями: тепловым, с обратной зависимой от тока нагрузки выдержкой времени (на токи до 50 А); электромагнитным, осуществляющим мгновенное отключение при токах, больших тока уставки; комбинированным, имеющим и тепловой, и электромагнитный элементы.

Автоматические выключатели АЗ100 пока еще находятся в эксплуатации, но в настоящее время постепенно заменяются представителями новых серий: АЗ700 (табл. 64) и АЕ-2000.

Выключатели серии АЗ700 выпускаются с полупроводниковым и электромагнитным расцепителями максимального тока (АЗ710Б—АЗ740Б) соответственно на токи от 40 до 630 А; с электромагнитным расцепителем максимального тока (АЗ711Б—АЗ742Б) соответственно на токи 160—630 А; с полупроводниковым расцепителем максимального тока (АЗ733С—АЗ744С) соответственно на токи 250—630 А.

Начато также производство выключателей серии АЗ700Ф в фенопластовых корпусах с термобиметаллическими и электромагнитными расцепителями. Они имеют те же электрические данные, что и АЗ700, и могут заменять выключатели серии АЗ100.

Автоматические выключатели серии «Электрон» предназначены для электроустановок переменного тока напряжением до 660 В и постоянного тока — до 440 В.

Выключатели серии АЕ-2000 выпускаются в одно-, двух- и трехполюсном исполнении с комбинированными и электромагнитными расцепителями следующих типов: АЕ-2010 — номинальный ток комбинированного расцепителя 0,6—10 А, динамическая устойчивость до 5 кА, как и для типа АЕ-2030; АЕ-2030 — номинальный ток комбини-

64. Технические данные автоматических воздушных выключателей серии АЗ700

| Тип | Вид расцепителей максимального тока | I_n , А | | Ток уставки расцепителя, А | Предель- ный ток отключе- ния вы- ключателя при $U=380$ В, кА |
|----------|--|------------------|-------------------------------|-------------------------------|---|
| | | выклю- чателя | расцепи- теля | | |
| А3710Б | Электромагнит- ные; полупро- водниковые и электромагнит- ные | 40 | 20, 25, 32, 40 | 400, 630, 1000, 1600 | 18 |
| | | 80 | 40, 50, 63, 80 | | 36 |
| | | 160 | 80, 100, 125, 160 | | 75 |
| А3720Б | | 250 | 160, 200, 250 | 1600, 2000, 2500 | 75 |
| А3730Б | | 400 | 160, 200, 250, 320, 400 | 2500, 3200, 4000 | 100 |
| А3740Б | | 630 | 250, 320, 400, 500, 630 | 4000, 5000, 6300 | 150 |
| А3710ФУЗ | Электромаг- нитные | 160 | 160 | 400, 630, 1000, 1600 | 25 |
| А3720ФУЗ | | 250 | 250 | 1600, 2000, 4000 | 35 |
| А3730ФУЗ | | 630 | 400 | 2500, 3200, 4000 | 50 |
| | | | 630 | 4000, 5000, 6300 | |

Примечание. Расшифровка условного обозначения воздушного выключателя АЗ710ФУЗ: А — автоматический; 3710 — условный номер разработки; Ф — фенопластовый корпус; У — климатическое исполнение (умеренный климат); З — категория размещения (в закрытых помещениях с естественной вентиляцией).

рованного расцепителя 10—25 А; АЕ-2040 — номинальный ток комбинированного расцепителя 10—63 А, динамическая устойчивость 10 кА; АЕ-2050 — номинальный ток комбини-

рованного расцепителя 16—100 А, динамическая устойчивость 20 кА.

Назначение и область применения выключателей этой серии, а также характеристики расцепителей те же, что и для выключателей серии АЗ100 на токи до 100 А.

Электротепловые токовые реле предназначены для защиты электродвигателя от недопустимого нагрева при длительных перегрузках. Обычно применяют два реле, нагревательные элементы которых включаются в две фазы статора. Блок-контакты их воздействуют на отключающее устройство. Иногда применяется одно реле с двумя нагревательными элементами и одним блок-контактом. Примером двухполюсного реле может служить реле типа ТРН (см. табл. 54), устанавливаемое в магнитных пускателях серии ПМЕ.

Очень важно обеспечить защиту электродвигателей от резкого снижения или исчезновения напряжения, так как снижение напряжения в асинхронных двигателях вызывает резкое увеличение потребляемого ими тока, а восстановление напряжения после его исчезновения — самозапуск двигателей, что может привести к несчастным случаям. В схемах контакторного управления эта защита осуществляется катушкой магнитного пускателя или контактора. При снижении напряжения более чем на 15 % удерживающее усилие катушки уменьшается и пускатель (контактор) отключается. Защиту от снижения напряжения обеспечивает также реле минимального напряжения.

После восстановления напряжения для включения двигателя необходимо повторно нажать кнопку или повернуть рукоятку командоконтроллера.

Глава VI

ВЫБОР ПИТАЮЩИХ ПРОВОДОВ И КАБЕЛЕЙ ДЛЯ ЭЛЕКТРОДВИГАТЕЛЕЙ

СПОСОБЫ ПРОКЛАДКИ И ХАРАКТЕРИСТИКА ПРОВОДОВ И КАБЕЛЕЙ

Электрические двигатели производственных механизмов, являющиеся потребителями электрической энергии, присоединяются к внутрицеховым шинопроводам или отдельно стоящим шкафам управления посредством проводов и кабелей.

Провода с резиновой, пластмассовой и другими видами изоляции изготовляют одно-, двух-, трех-, четырех- и многожильными на напряжения 380, 660 и 3000 В. Номенклатура некоторых проводов, сортамент и рекомендуемые области применения их приведены в табл. 65—68.

65. Номенклатура установочных проводов

| Марка | Характеристика | ГОСТ или ТУ |
|-------|----------------|-------------|
| 1 | 2 | 3 |

Провода с резиновой изоляцией

| | | |
|-------|--|---------------|
| АППР | С алюминиевой жилой, резиновой изоляцией, не распространяющей горение | ГОСТ 20520—75 |
| АПР | То же, в оплетке из хлопчатобумажной пряжи, пропитанной противогнилостным составом | То же |
| АПРВ | С алюминиевой жилой в оплетке из хлопчатобумажной пряжи, в оболочке из поливинилхлоридного пластика | » |
| АПРН | То же, в оболочке из резины, не распространяющей горение | » |
| АПРТО | То же, в оплетке из хлопчатобумажной пряжи, пропитанной противогнилостным составом, для прокладки в трубах | » |
| АПРФ | То же, в оболочке из сплава АМЦ с фальцованным швом | ГОСТ 1843—69 |
| АРТ | То же, с резиновой изоляцией с несущим тросом | ГОСТ 14175—69 |

| 1 | 2 | 3 |
|------|--|------------------|
| ПР | То же, с медной жилой в оплетке из хлопчатобумажной пряжи, пропитанной противогнилостным составом | ГОСТ 20520—75 |
| ПРВ | То же, в оболочке из поливинилхлоридного пластика | То же |
| ПРВД | То же, двухжильный витой | ТУ 16.505.904—75 |
| ПРГ | То же, с гибкой медной жилой, с резиновой изоляцией, в оплетке из хлопчатобумажной пряжи, пропитанной противогнилостным составом | ГОСТ 20520—75 |
| ПРГВ | То же, в оболочке из поливинилхлоридного пластика | То же |

Провода с пластмассовой изоляцией

| | | |
|-------|--|------------------|
| АВТ-1 | С алюминиевыми жилами, поливинилхлоридной изоляцией с несущим тросом | ГОСТ 14175—69 |
| АВТ-2 | То же, с усиленным несущим тросом | То же |
| АПП | То же, с полиэтиленовой изоляцией | ГОСТ 6323—71 |
| ВПВ | То же, с медной жилой, полиэтиленовой изоляцией, в поливинилхлоридной оболочке для питания водопогружных электродвигателей | ТУ 16.505.364—69 |
| ВПП | То же, в полиэтиленовой оболочке | То же |
| ПВ | То же, с поливинилхлоридной изоляцией для открытой прокладки | » |
| ПГВ | То же, гибкий | ГОСТ 6323—71 |

Провода для выводов электродвигателей

| | | |
|------|---|------------------|
| ПАЛ | С медной жилой, с асбестовой изоляцией для рабочих температур до +200 °С, лакированный | ТУ 16.505.656—74 |
| ПАЛО | То же, облегченный | То же |
| ПВБЛ | То же, с изоляцией из резины на основе бутылкаучука в оплетке из хлопчатобумажной пряжи, пропитанной противогнилостным составом для рабочих температур до +105 °С | ГОСТ 16036—70 |

| 1 | 2 | 3 |
|------------------------------------|---|--------------|
| Провода гибкие лакированные | | |
| ЛПРГС | С медной гибкой жилой, резиновой изоляцией, в оплетке из хлопчатобумажной пряжи, покрытой лаком | ГОСТ 2262—75 |
| ЛПРГСЭ | То же, экранированный | » |

66. Сортамент установочных проводов

| Марка | Число жил | S, мм ² , при U _н , В | |
|---------------------------------------|-----------|---|----------|
| | | 380 | 660 |
| Провода с резиновой изоляцией | | | |
| АПР, АПР1 | 1 | — | 2,5—120 |
| ПР, ПРГ | 1 | — | 0,75—120 |
| ПРГВ | 1 | — | 1—6 |
| АПРВ | 1,2 | — | 2,5—16 |
| ПРВ | 1,2 | — | 1—10 |
| ПРВД, ПРД | 2 | 0,75—6 | — |
| АППР | 2,4 | — | 2,5—10 |
| | 3 | — | 2,5 |
| АРГ | 2 | — | 2,5—4 |
| | 3 | — | 4—6 |
| | 4 | — | 4—35 |
| АПРФ | 1, 2, 3 | — | 2,5—4 |
| | 1, 2, 3 | — | 1—4 |
| АПРТО | 2,3 | — | 2,5—120 |
| | 4,7 | — | 2,5—10 |
| | 10,14 | — | 2,5 |
| Провода с пластмассовой изоляцией | | | |
| АПП, АПВ | 1 | 2,5—120 | 2,5—120 |
| ПВ, ПГВ | 1 | 0,5—95 | 0,5—95 |
| АВТ-1, АВТ-2 | 2,3 | 2,5—4 | — |
| ВПВ, ВПП | 1 | — | 1,5—50 |
| Провода для выводов электродвигателей | | | |
| ПАЛ, ПАЛО | 1 | — | 0,75—50 |
| ПВБЛ | 1 | — | 2,5—50 |
| Провода гибкие лакированные | | | |
| ЛПРГС* | 1 | 0,5—95 | — |
| | 2,3 | 0,5—2,5 | — |
| ЛПРГСЭ* | 1 | 0,5—95 | — |
| | 2,3 | 0,5—2,5 | — |

* Сечения этих проводов указаны при U_н = 220 В.

67. Рекомендуемые области применения установочных проводов

| Виды и способы проводки | Характеристика помещения | | | | |
|---|--------------------------|--|---------------------|-------------------|------------------------|
| | сухое | влажное | сырое и особо сырое | жаркое | пыльное |
| Открытая по несгораемым и трудносгораемым конструкциям: непосредственно | АПРН, ПРГВ, АПРФ | АПВ, АПП, АПРВ, АППР, АПРН, ПРГВ, АПРФ | АПВ, АПРВ, АППР | АПРФ | АПРФ, АПРВ, АППР, АПРН |
| на роликах и изоляторах | АПР, ПРД, ПРВД | АПР, ПРВД, ПРД, АПП | АПВ, АПРВ, АПП | АПР | АПР |
| в виниловых трубах | АПРВ, АПР, ПРГВ | АПРТО, АПРВ, ПРГВ | АПВ, АПРТО, АПРВ | — | АПРВ, АПР |
| в стальных трубах | АПРТО, АПРВ, АПР, ПРГВ | АПВ, АПРТО, АПРВ, АПП, ПРГВ | АПВ, АПРТО, АПРВ | АПРТО, АПР, АПРВ | АПРТО, АПРВ, АПР |
| в коробах и лотках | АПРВ, АПРН, АПР | АПВ, АПРН, АПРВ | АПВ, АПРВ | АПРВ, АПРН, АПР | АПРВ, АПРН, АПР |
| тросовая | АРТ, АВТ-1, АВТ-2 | АРТ, АВТ-1, АВТ-2 | АРТ, АВТ-1, АВТ-2 | АРТ, АВТ-1, АВТ-2 | АРТ, АВТ-1, АВТ-2 |
| в гибких металлических рукавах | АПРТО, АПРВ, АПР, ПРГВ | АПВ, ПРГВ, АПРТО | АПВ, АПРВ | АПРТО, АПРВ, АПР | АПРТО, АПРВ, АПР |
| Открытая по сгораемым конструкциям и поверхностям: непосредственно | АПРФ | АПРФ | — | — | — |

| | | | | |
|---|------------------------|-----------------------------|-----------------------|----------------------------|
| с подкладкой несгораемых или трудногорящих материалов | АПВ, АПРВ, АПП | АПВ, АПРВ, АПП | АПВ, АПВ, АПРВ | АПВ |
| на роликах и изоляторах | АПР, ПРВД | АПВ, АПП, ПРВД | АПВ, АПРВ, АПП | — |
| в стальных трубах | АПРТО, АПРВ, АПР, ПРГВ | АПВ, АПРТО, АПРВ, ПРГВ | АПВ, АПРТО, АПП, АПРВ | АПВ, АПП, АПРТО, АПРВ, АПР |
| в коробах и лотках | АПРВ, АПРН, АПР | АПВ, АПРВ, АПП | АПВ, АПП, АПРВ, АРТ | — |
| тросовая | АРТ, АВТ-1, АВТ-2 | АВТ-1, АВТ-2 | — | — |
| в гибких металлических рукавах | АПРТО, АПРВ, АПР, ПРГВ | АПВ, АПРТО, АПРВ, ПРГВ | АПВ, АПП, АПРВ | — |
| Скрытая по несгораемому, трудногоряемому и сгораемому конструкциям: | | | | |
| в виниловых, полистироновых и полипропиленовых трубах | АПРВ, АПР, ПРГВ | АПВ, АПРТО, АПРВ, АПП | АПВ, АПП, АПРВ | АПРВ, АПРН, АПР |
| в стальных трубах | АПРТО, АПРВ, АПР, ПРГВ | АПВ, АПРТО, АПРВ, АПП, ПРГВ | АПВ, АПП, АПРВ | АПРТО, АПРВ, АПРН, АПР |
| в коробах | АПРВ, АПРН, АПР | АПВ, АПП, АПРВ | АПВ, АПП | — |
| под штукатуркой | АПВ, АПП | АПВ, АПП | АПВ | — |
| в каналах строительных конструкций | АПВ, АПП | АПВ, АПП | АПВ, АПП | — |

68. Технические данные проводов с поливинилхлоридной изоляцией для электрических установок (по ГОСТ 6323—79)

| Марка | Характеристика | Область применения | Число жил | S, мм ² |
|-------|---|---|-----------|--------------------|
| АПВ | С алюминиевой жилой, с поливинилхлоридной изоляцией | Для монтажа вторичных цепей, прокладки в трубах, пустотных каналах несгораемых строительных конструкций и для монтажа силовых и осветительных сетей | 1 | 2,5—120,0 |
| ПВ1 | То же, с медной жилой | То же | 1 | 0,5—95,0 |
| ПВ2 | С медной жилой, с поливинилхлоридной изоляцией, гибкий | Для монтажа вторичных цепей, гибкого монтажа при скрытой и открытой прокладках | 1 | 2,5—95,0 |
| ПВ3 | То же, повышенной гибкости | То же | 1 | 0,5—95,0 |
| ПВ4 | То же, особо гибкий | Для особо гибкого монтажа вторичных цепей при скрытой и открытой прокладках | 1 | 0,5—6,0 |
| АППВ | С алюминиевыми жилами, с поливинилхлоридной изоляцией, плоский, с разделительным основанием | Для монтажа силовых и осветительных сетей в машинах и станках и для неподвижной открытой прокладки | 2 и 3 | 2,5—6,0 |
| ППВ | То же, с медными жилами | То же | 2 и 3 | 0,75—4,0 |
| АППВС | С алюминиевыми жилами, с поливинилхлоридной изоляцией, без разделительного основания | Для неподвижной скрытой прокладки под штукатуркой, для прокладки в трубах и пустотных каналах несгораемых строительных конструкций | 2 и 3 | 2,5—6,0 |
| ППВС | То же, с медными жилами | То же | 2 и 3 | 0,75—4,0 |

Для обеспечения надежной защиты от механических повреждений провода прокладывают в защитных трубах. Номинальные диаметры и сечения проводов, а также размеры труб в зависимости от числа и сечения затягиваемых проводов приведены в табл. 69 и 70. Такая прокладка согласно ПУЭ обязательна для взрывоопасных помещений, для этого предназначены и специальные кабели типов ВВВ и АБВВ.

Сточная и подпольная прокладка проводов в защитных трубах обеспечивает высокую надежность и хорошую механическую защиту их.

Разновидностью подпольной прокладки является модульная, выполняемая в стальных, полиэтиленовых и винилпластовых трубах с выходом их на колонки, к каждой из которых подключается группа электродвигателей.

Открытая прокладка проводов в цехе с креплением на роликах, изоляторах, тросах и других конструкциях является наиболее простой и дешевой, но она не обеспечивает достаточной надежности и защиты проводов от механических повреждений. Более совершенной является прокладка проводов в лотках и коробах. Особенно удобен этот вид прокладки при большом количестве проводов и кабелей для сложных многодвигательных агрегатов и автоматических линий.

69. Номинальные диаметры и сечения проводов с медными и алюминиевыми круглыми жилами (по ГОСТ 1956—70)

| Сечение, мм ² | Число проволок | Диаметр жилы, мм | Сечение, мм ² | Число проволок | Диаметр жи- лы, мм |
|-----------------------------|-------------------|---------------------|-----------------------------|-------------------|-----------------------|
| 0,1 | 1 | 0,37 | 35 | 7/1 | 7,53/6,60 |
| 0,2 | 1 | 0,52 | 50 | 7/1 | 9,05/9,00 |
| 0,35 | 1 | 0,62 | 70 | 19 | 10,65 |
| 0,5 | 1 | 0,79 | 95 | 19 | 12,55 |
| 0,75 | 1 | 0,97 | 120 | 37 | 14,07 |
| 1,0 | 1 | 1,13 | 150 | 37 | 15,68 |
| 1,5 | 1 | 1,37 | 185 | 37 | 17,57/15,3 |
| 2,5 | 1 | 1,76 | 240 | 61 | 20,16/17,4 |
| 4 | 1 | 2,24 | 300 | 61 | 22,59/19,5 |
| 6 | 1 | 2,73 | 400 | 61 | 25,65/22,5 |
| 10 | 7/1 | 4,11/3,55 | 500 | 91 | 28,71/25,2 |
| 16 | 7/1 | 5,10/4,50 | 625 | 127 | 32,63/28,2 |
| 25 | 7/1 | 6,30/5,60 | | | |

Примечание. Цифры в числителе обозначают диаметр жилы при семи и более проволоках, в знаменателе — при одной проволоке.

70. Рекомендуемые диаметры труб (мм) для проводов различных сечений

| S мм² | Количество одножильных проводов марок ПР, АПР, ПРГ, ПВ, ПРТО в трубах | | | | Один многожильный провод марки ПРТО или АПРТО в трубе | | |
|-------|---|----|----|----|---|-------------|----------------|
| | 1 | 2 | 3 | 4 | двухжильный | трехжильный | четырёхжильный |
| 1,5 | 15 | 15 | 15 | 15 | 15 | 15 | 15 |
| 2,5 | 15 | 15 | 21 | 21 | 15 | 21 | 21 |
| 4 | 15 | 21 | 21 | 21 | 21 | 21 | 21 |
| 6 | 15 | 21 | 21 | 21 | 21 | 21 | 21 |
| 10 | 15 | 27 | 27 | 27 | 27 | 27 | 27 |
| 16 | 15 | 27 | 27 | 41 | 27 | 41 | 41 |
| 25 | 21 | 41 | 41 | 41 | 41 | 41 | 41 |
| 35 | 21 | 41 | 41 | 41 | 41 | 41 | 41 |
| 50 | 27 | 41 | 41 | 53 | 53 | 53 | 53 |
| 70 | 27 | 53 | 53 | 68 | 53 | 53 | 68 |
| 95 | 36 | 53 | 68 | 68 | 68 | 68 | 68 |
| 120 | 36 | 68 | 68 | 80 | 68 | 68 | 80 |

71. Технические данные шинопроводов

| Тип | I_H , А | Динамическая стойкость, кА | Сечение рабочей шины, мм |
|-----|-----------|----------------------------|--------------------------|
|-----|-----------|----------------------------|--------------------------|

Магистральные переменного тока

| | | | |
|----------|------|-----|-----------|
| ШМА-73 | 1600 | 70 | 2(90×80) |
| ШМА-59-Н | 2500 | 70 | 2(120×10) |
| | 4000 | 100 | 2(160×12) |

Магистральные постоянного тока

| | | | |
|----------|------|-----|-----------|
| ШМАД-70 | 1600 | 60 | 2(80×8) |
| ШМАДК-70 | 2500 | 80 | 3(80×8) |
| | 4000 | 110 | 3(120×10) |
| | 6300 | 125 | 3(160×12) |

Распределительные четырехпроводные

| | | | |
|--------|-----|----|------|
| ШРА-73 | 250 | 15 | 35×5 |
| | 400 | 25 | 50×5 |
| | 630 | 35 | 80×5 |

Осветительные четырехпроводные

| | | | |
|---------|-----|---|----|
| ШОС-67 | 25 | 3 | 6 |
| ШОС-73А | 63 | 5 | 10 |
| ШОС-73 | 100 | 5 | 10 |

Троллейные четырехпроводные

| | | | |
|--------|-----|----|-----|
| ШТМ-76 | 100 | 5 | 40 |
| ШТМ-70 | 200 | 10 | 70 |
| ШТМ-72 | 400 | 25 | 100 |

Троллейные токопроводы (троллей) прокладываются для питания перемещающихся приемников (мостовых кранов, тельферов, тележек). Троллей выполняются из профильной стали (обычно уголковой) или троллейными шинопроводами ШТМ (табл. 71). Для питания электродвигателей производственных механизмов в цехах промышленных предприятий широко применяются закрытые магистральные шинопроводы серии ШМА и распределительные закрытые шинопроводы серии ШРА с алюминиевыми шинами.

Шинопроводы серии ШМА служат для передачи электрической энергии трехфазного тока частотой 50 Гц при напряжении до 660 В в цехах и установках, не содержащих токопроводящей пыли, химически активных газов и испарений.

72. Технические данные силовых кабелей (по ГОСТ 433—73)

| Марка | Оболочка и защитный покров | Область применения | Число основных жил | Сечение жил, мм² |
|-----------------------------|---|---|--------------------------|------------------|
| 1 | 2 | 3 | 4 | 5 |
| СРГ | Свинцовая оболочка | Внутри помещений, в каналах, туннелях, в местах, не подверженных вибрации, в условиях отсутствия механических воздействий на кабель, в среде, нейтральной по отношению к свинцу | 1 | 1—240 |
| АСРГ СРБ | То же Свинцовая оболочка, защитный покров типа Б | То же В земле (траншеях), если кабель не подвергается значительным растягивающим усилиям | 1 2 и 3 | 4—300 2,5—185 |
| АСРБ | То же | То же | 2 3 | 4—240 2,5—240 |
| ВРГ ВРТГ | Поливинилхлоридная оболочка | Внутри помещений, в каналах, туннелях, в условиях отсутствия механических воздействий на кабель и при наличии агрессивных сред (кислот, щелочей и др.) | 1—3 | 1—240 |
| АВРГ АВРТГ | То же | То же | 1 2 и 3 | 4—300 2,5—300 |

| 1 | 2 | 3 | 4 | 5 |
|------------------|--|---|------------|--------------------|
| ВРБ, ВРТБ | Поливинилхлоридная оболочка, защитный покров типа Б | В земле (траншеях), если кабель не подвергается значительным растягивающим усилиям | 2 и 3 | 2,5—185 |
| АВРБ, АВРТБ | То же | То же | 2 | 4—240 |
| ВРБГ, ВРТБГ | Поливинилхлоридная оболочка, защитный покров типа БГ | Внутри помещений, в каналах, туннелях, если кабель не подвергается значительным растягивающим усилиям | 3 2 и 3 | 2,5—240 2,5—185 |
| АВРБГ, АВРТБГ | То же | То же | 2 | 4—240 |
| НРБГ | Резиновая масло-стойкая оболочка, не распространяющая горение, защитный покров типа БГ | » | 3 2 и 3 | 2,5—240 2,5—185 |
| АНРБГ | То же | » | 2 | 4—240 |
| НРГ | Резиновая масло-стойкая оболочка, не распространяющая горение | Внутри помещений, в каналах, туннелях, в условиях отсутствия механических воздействий на кабель | 3 1—3 | 2,5—240 1—240 |
| АНРГ | То же | То же | 1 | 4—300 |
| НРБ | То же, защитный покров типа Б | В земле (траншеях), если кабель не подвергается значительным растягивающим усилиям | 2 и 3 | 2,5—185 |
| АНРБ | То же | То же | 2 | 4—240 |
| ВРБн, ВРТБн | Поливинилхлоридная оболочка, защитный покров типа Бн | То же, а также когда требуется стойкость к распространению горения | 3 2 и 3 | 2,5—240 2,5—185 |
| АВРБн, АВРТБн | То же | То же | 2 3 | 4—240 2,5—240 |

Примечание. Кабели марок ВРТГ, АВРТГ, ВРТБ, АВРТБ, ВРТБГ, АВРТБГ, ВРТБн, АВРТБн выдерживают длительное воздействие температуры на жиле до 90 °С, кабели остальных марок — до 65 °С.

73. Номенклатура гибких кабелей напряжением до 660 В (по ГОСТ 13497—77)

| Марка | Характеристика | Область применения |
|-------|--|---|
| КРПТ | С медными жилами, резиновой изоляцией, в резиновой оболочке | При изгибах радиусом не менее 8 диаметров кабеля; при температуре окружающей среды от минус 40 до плюс 50 °С |
| КРПТН | С медными жилами, резиновой изоляцией, в резиновой маслостойкой оболочке, не распространяющей горение | При изгибах радиусом не менее 8 диаметров кабеля; при возможности попадания на оболочку масла; при температуре окружающей среды от минус 30 до плюс 50 °С |
| КРПГ | С медными жилами повышенной гибкости, резиновой изоляцией, в резиновой оболочке | При изгибах радиусом не менее 5 диаметров кабеля; при температуре окружающей среды от минус 50 до плюс 50 °С |
| КРПГН | С медными жилами повышенной гибкости, резиновой изоляцией, в резиновой маслостойкой оболочке, не распространяющей горение | При изгибах радиусом не менее 5 диаметров кабеля; при возможности попадания на оболочку масла; при температуре окружающей среды от минус 30 до плюс 50 °С |
| КРПС | С медными жилами повышенной гибкости, резиновой изоляцией, с профилированным сердечником, в резиновой оболочке | При изгибах радиусом не менее 5 диаметров кабеля; при возможности воздействия на кабель ударных и раздавливающих нагрузок; при температуре окружающей среды от минус 50 до плюс 50 °С |
| КРПСН | С медными жилами повышенной гибкости, резиновой изоляцией, с профилированным сердечником, в резиновой маслостойкой оболочке, не распространяющей горение | При изгибах радиусом не менее 5 диаметров кабеля; при возможности воздействия на кабель ударных и раздавливающих нагрузок и попадания на оболочку масла; при температуре окружающей среды от минус 30 до плюс 50 °С |
| КРШК | С медными жилами повышенной гибкости, резиновой изоляцией с заполнением, в резиновой оболочке | При изгибах радиусом не менее 10 диаметров кабеля; при температуре окружающей среды от минус 50 до плюс 50 °С |

Распределительный шинопровод серии ШРА предназначен для распределения электрической энергии трехфазного тока частотой 50 Гц при напряжении до 400 В в цехах с нормальной окружающей средой.

Электрические двигатели большой мощности присоединяются к шкафам управления посредством кабельных линий. В цехах кабели прокладываются в каналах закрытыми негорючими плитами или при небольшом числе кабелей в одном направлении — в трубах, укрепленных скобами по стенам и потолку. В табл. 72 приведены основные технические данные силовых кабелей с медными и алюминиевыми жилами, с резиновой изоляцией, предназначенных для неподвижной прокладки в электрических сетях напряжением 660 В. Для присоединения передвижных механизмов к электрическим сетям на номинальное напряжение до 660 В применяются гибкие силовые кабели (табл. 73, 74). В этих целях можно использовать также силовые гибкие экранированные кабели с медными жилами, с резиновой изоляцией в резиновой оболочке ГРШЭ (ГОСТ 10694—78).

74. Сечение жил гибких кабелей, мм²

| Основных | Заземления | | Вспомогательных | |
|----------|--------------------------------------|-------------|-----------------|-------------|
| | КРПТ, КРПТН, КРПС, КРПСН, КРШК | КРПГ, КРПГН | КРПГН | КРПС, КРПСН |
| 0,75 | 0,75 | 0,75 | — | — |
| 1,0 | 1,0 | 1,0 | — | — |
| 1,5 | 1,0 | 1,5 | 1,5 | — |
| 2,5 | 1,5 | 2,5 | 2,5 | 1,5 |
| 4,0 | 2,5 | 4,0 | 4,0 | 2,5 |
| 6,0 | 4,0 | 6,0 | 6,0 | 4,0 |
| 10 | 6,0 | 10 | 10 | 6,0 |
| 16 | 6,0 | 16 | — | 6,0 |
| 25 | 10 | 25 | — | 10 |
| 35 | 10 | 35 | — | 10 |
| 50 | 16 | 50 | — | 10 |
| 70 | 25 | 70 | — | — |
| 95 | 35 | — | — | — |
| 120 | 35 | — | — | — |
| 150 | 50 | — | — | — |

Примечание. Обозначение кабеля марки КРПС с тремя основными жилами сечением 2,5 мм², одной жилой заземления сечением 1,5 мм² и одной вспомогательной жилой сечением 1,5 мм²: КРПС 3×2,5+1×1,5+1×1,5 (ГОСТ 13497—77).

Вид электропроводки и способ ее прокладки, а также марка проводов и кабелей выбираются в зависимости от среды производственных помещений, которые в соответствии с ПУЭ делятся на сухие, влажные, сырые, особо сырые, жаркие, пыльные, с химически активной средой, пожароопасные и взрывоопасные (Кузнецов Б. В., Сацукевич М. Ф. Справочное пособие заводского электрика. Мн., 1978).

Для электрических сетей следует применять проводники с алюминиевыми жилами. Проводники с медными жилами из-за дефицита меди допускается использовать только в особых случаях, установленных ПУЭ, например для питания электроприводов в механизмах передвижения крановых установок, а также во взрывоопасных помещениях классов В-1 и В-1а.

ЗАЩИТА ЭЛЕКТРОДВИГАТЕЛЕЙ И СИЛОВЫХ СЕТЕЙ

Рассматривая защиту силовых сетей, необходимо учитывать защиту как собственно электроприемников (электродвигателей), так и электрической сети. Если ответвление питает только один электродвигатель, то защита ответвления совмещается с защитой электродвигателя.

Электродвигатели должны иметь аппараты, защищающие их при междупазовом коротком замыкании, однофазном замыкании на корпус, перегрузке, понижении или исчезновении напряжения.

Защита от коротких замыканий обязательна для всех электродвигателей (силовых электроприемников) и всех силовых электрических сетей.

Защита от перегрузки выполняется для электродвигателей длительного режима работы, за исключением тех случаев, когда такая перегрузка маловероятна (двигатели привода вентиляторов, насосов и т. д.). Для электродвигателей, работающих в повторно-кратковременном режиме, защита от перегрузки не выполняется.

Электродвигатели, устанавливаемые во взрывоопасных помещениях, защищаются от перегрузки во всех случаях.

От перегрузки необходимо защищать также: сети внутри помещений (цехов), проложенные открыто незащищенными изолированными проводами с горючей оболочкой; сети, выполненные кабелями и проводами, проложенными в трубах; сети, проложенные во взрывоопасных помещениях.

Защиту от понижения напряжения устанавливают на крупных электродвигателях, работа которых не допускается при пониженном напряжении.

Защитными аппаратами от коротких замыканий являются плавкие предохранители, автоматические воздушные выключатели и максимальные токовые электромагнитные реле, воздействующие на отключающие аппараты.

Магнитные пускатели с электротепловыми реле защищают электродвигатель от перегрузки и от понижения или исчезновения напряжения. Контакторы защищают электродвигатель только от понижения или исчезновения напряжения.

Аппараты, устанавливаемые в сетях до 1000 В для защиты от коротких замыканий и перегрузки, должны быть выбраны так, чтобы номинальный ток каждого из них $I_{н. з. а}$ был не менее расчетного тока $I_{расч}$ электроприемника (электродвигателя) или рассматриваемого участка сети:

$$I_{н. з. а} \geq I_{расч}.$$

Выбор плавких вставок предохранителей. Опытным путем установлено, что если кратность пускового тока приемника не превышает 2,5, то плавкую вставку можно выбирать по расчетному току линии. Номинальный ток плавкой вставки $I_{н. вст}$ должен быть равен или больше расчетного тока линии:

$$I_{н. вст} \geq I_{расч}.$$

Этому условию удовлетворяют электродвигатели с остаточным пуском, трансформаторы, лампы накаливания.

Для ответвления к одиночному короткозамкнутому электродвигателю величина тока плавкой вставки $I_{вст}$ предохранителя должна удовлетворять условию:

$$I_{вст} \geq I_{пуск}/2,5,$$

где $I_{пуск}$ — пусковой ток электродвигателя.

Для ответвлений к одиночным электродвигателям с тяжелыми условиями пуска и длительностью пускового периода более 2—2,5 с (крупные вентиляторы, краны, дробилки и т. д.)

$$I_{вст} \geq I_{пуск}/1,6—2.$$

Плавкая вставка предохранителя, устанавливаемого для защиты линии, питающей группу электродвигателей, выбирается по двум условиям:

$$\left. \begin{aligned} I_{вст} &\geq I_{расч} \\ \text{и } I_{вст} &\geq (I_{пуск} + I_{расч})/2,5 \end{aligned} \right\},$$

где $I_{\text{расч}}$ — расчетный ток группы двигателей, работающих в длительном режиме; $I_{\text{пуск}}$ — наибольший пусковой ток одного из электродвигателей данной группы; $I'_{\text{расч}}$ — расчетный ток остальных электродвигателей группы, работающих в длительном режиме.

Ток плавкой вставки выбирают по большей из величин, определенных по этим формулам. Затем выбранную плавкую вставку проверяют на срабатывание током короткого замыкания (сети с глухозаземленной нейтралью):

$$I_{\text{к.з.}}/I_{\text{н. вст}} \geq 3-4,$$

где $I_{\text{к.з.}}$ — ток короткого замыкания цепи «фаза — нулевой провод».

Выбор нагревательных элементов тепловых реле магнитных пускателей. Для электродвигателей с длительным режимом работы они выбираются по расчетному току $I_{\text{расч}}$ электродвигателя:

$$I_{\text{н. тепл}} \geq I_{\text{расч}},$$

где $I_{\text{н. тепл}}$ — номинальный ток нагревательного элемента.

Выбор тепловых расцепителей автоматических выключателей. Номинальный ток теплового расцепителя $I_{\text{н. а. тепл}}$ для ответвления к электродвигателю или линии, питающей группу двигателей, выбирается по расчетному току цепи:

$$I_{\text{н. а. тепл}} \geq I_{\text{расч}}.$$

При затяжных пусках двигателя

$$I_{\text{н. а. тепл}} \geq (1,2-1,25) I_{\text{расч}}.$$

При установке группы автоматических выключателей в закрытом шкафу

$$I_{\text{н. а. тепл}} \geq (1,1-1,15) I_{\text{расч}}.$$

Ток срабатывания $I_{\text{ср}}$ нагревательных элементов расцепителя или теплового реле

$$I_{\text{ср}} \geq 1,25 I_{\text{н. а. тепл}}.$$

Выбор электромагнитных расцепителей автоматических выключателей. Номинальный ток электромагнитного $I_{\text{н. а. эл.}}$ или комбинированного расцепителя выбирается по длительному расчетному току линии (ответвления):

$$I_{\text{н. а. эл.}} \geq I_{\text{расч}}.$$

Ток срабатывания (отсечки) $I_{\text{ср. эл.}}$ электромагнитного или комбинированного расцепителя проверяется по максимальному кратковременному току $I_{\text{кр}}$ линии (установки):

$$I_{\text{ср. эл.}} \geq 1,25 I_{\text{кр}}.$$

Для ответвления к одиночному электродвигателю максимальный кратковременный ток линии равен пусковому току электродвигателя $I_{кр} = I_{пуск}$.

Установка автоматов, имеющих только электромагнитные расцепители, на ответвлениях к короткозамкнутым электродвигателям не рекомендуется, поскольку это вызывает резкое увеличение сечений проводов.

ОПРЕДЕЛЕНИЕ СЕЧЕНИЙ ПРОВОДОВ И КАБЕЛЕЙ ПО НАГРЕВУ

При прохождении тока по проводнику выделяется тепло и он нагревается. Излишне высокая температура изолированного провода вызывает быстрый его износ. Изоляция провода при сильном нагреве может обуглиться и даже загореться, что особенно опасно для пожароопасных и взрывоопасных помещений.

Для безаварийной работы проводов и кабелей ПУЭ установлена предельная длительно допустимая температура нагрева (55—70°C) в зависимости от марки провода и кабеля и способа их прокладки (монтажа).

В табл. 75—77 приведены длительно допустимые токовые нагрузки на провода и кабели для нормальных условий прокладки.

Нормальными условиями прокладки на воздухе считается прокладка проводов или кабелей на расстоянии друг от друга в свету не менее 35 мм (при прокладке в канале —

75. Длительно допустимые токовые нагрузки (А) на неизолированные провода, проложенные внутри помещений, исходя из допустимой температуры нагрева +70°С при температуре воздуха +25°С

| Сечение токопроводящей жилы, мм ² | Медные (М) | Алюминиевые (А) | Сталеалюминиевые (АС) | Стальные (ПС) |
|--|------------|-----------------|-----------------------|---------------|
| 4 | 25 | — | — | — |
| 6 | 35 | — | — | — |
| 10 | 60 | — | 50 | — |
| 16 | 100 | 75 | 75 | — |
| 25 | 135 | 105 | 100 | 60 |
| 35 | 170 | 130 | 135 | 75 |
| 50 | 215 | 165 | 165 | 90 |
| 70 | 270 | 210 | 210 | 125 |
| 95 | 335 | 255 | 260 | 135 |
| 120 | 395 | 300 | 305 | — |
| 150 | 415 | 355 | 365 | — |

76. Длительно допустимые токовые нагрузки (А) на провода с резиновой и пластмассовой изоляцией и шнуры с резиновой изоляцией, исходя из максимально допустимой температуры нагрева $+55^{\circ}\text{C}$ при температуре воздуха $+25^{\circ}\text{C}$

| Сечение токопроводящей жилы, мм ² | Провода, проложенные открыто | Провода, проложенные в одной трубе | | | | |
|--|------------------------------|------------------------------------|----------------------|-------------------------|-----------------------|-----------------------|
| | | два одно- жильных | три одно- жильных | четыре од- ножильных | один двух- жильный | один трех- жильный |

С медными жилами

| | | | | | | |
|-------|-----|-----|-----|-----|-----|-----|
| 0,5 | 11 | — | — | — | — | — |
| 0,75 | 15 | — | — | — | — | — |
| 1,0 | 17 | 16 | 15 | 14 | 15 | 14 |
| 1,5 | 23 | 19 | 17 | 16 | 18 | 15 |
| 2,5 | 30 | 27 | 25 | 25 | 25 | 21 |
| 4,0 | 41 | 38 | 35 | 30 | 32 | 27 |
| 6,0 | 50 | 46 | 42 | 40 | 40 | 34 |
| 10,0 | 80 | 70 | 60 | 50 | 55 | 50 |
| 16,0 | 100 | 85 | 80 | 75 | 80 | 70 |
| 25,0 | 140 | 115 | 100 | 90 | 100 | 85 |
| 35,0 | 170 | 135 | 125 | 115 | 125 | 100 |
| 50,0 | 215 | 185 | 170 | 150 | 160 | 135 |
| 70,0 | 270 | 225 | 210 | 185 | 195 | 175 |
| 95,0 | 330 | 275 | 255 | 225 | 245 | 215 |
| 120,0 | 385 | 315 | 290 | 260 | 295 | 250 |
| 150,0 | 440 | 360 | 330 | — | — | — |

С алюминиевыми жилами

| | | | | |
|-------|-----|-----|-----|-----|
| 2,5 | 24 | 20 | 19 | 19 |
| 4,0 | 32 | 28 | 28 | 23 |
| 6,0 | 38 | 36 | 32 | 30 |
| 10,0 | 55 | 50 | 47 | 39 |
| 16,0 | 80 | 60 | 60 | 55 |
| 25,0 | 105 | 85 | 80 | 70 |
| 35,0 | 130 | 100 | 95 | 120 |
| 50,0 | 165 | 140 | 130 | 120 |
| 70,0 | 210 | 175 | 165 | 140 |
| 95,0 | 255 | 215 | 220 | 175 |
| 120,0 | 295 | 245 | 220 | 200 |
| 150,0 | 340 | 275 | 255 | — |

не менее 50 мм) при температуре окружающего воздуха $+25^{\circ}\text{C}$. В земле нормальной считается прокладка одного кабеля в траншее на глубине 0,7 м при температуре почвы $+15^{\circ}\text{C}$. При значениях температур, отличных от указанных, и при прокладке нескольких кабелей в общей траншее к токовым нагрузкам, указанным в таблицах, вводятся поправочные коэффициенты — температурный K_1 (табл. 78)

77. Длительно допустимые токовые нагрузки (А) на кабели с бумажной пропитанной изоляцией в свинцовой или алюминиевой оболочке, исходя из максимально допустимой температуры нагрева жил 80°C

| Сечение токо- проводящей жилы, мм² | Прокладка кабелей | | | | | | | |
|--|--------------------|-----|----------|-----|----------------------|-----|----------|-----|
| | в земле при +15 °С | | | | в воздухе при +25 °С | | | |
| | Материал жил | | | | | | | |
| | медь | | алюминий | | медь | | алюминий | |
| | Число жил кабеля | | | | | | | |
| | 3 | 4 | 3 | 4 | 3 | 4 | 3 | 4 |
| 1,5 | 30 | — | — | — | 18 | — | — | — |
| 2,5 | 40 | — | 31 | — | 28 | — | 22 | — |
| 4,0 | 55 | 50 | 42 | 38 | 37 | 35 | 29 | 27 |
| 6,0 | 70 | 60 | 55 | 46 | 45 | 45 | 35 | 35 |
| 10,0 | 95 | 85 | 75 | 65 | 60 | 60 | 46 | 45 |
| 16,0 | 120 | 115 | 90 | 90 | 80 | 80 | 60 | 60 |
| 25,0 | 160 | 150 | 125 | 115 | 105 | 100 | 80 | 75 |
| 35,0 | 190 | 175 | 145 | 135 | 125 | 120 | 95 | 95 |
| 50,0 | 235 | 215 | 180 | 165 | 155 | 145 | 120 | 110 |
| 70,0 | 285 | 265 | 220 | 200 | 200 | 185 | 155 | 140 |
| 95,0 | 340 | 310 | 260 | 240 | 245 | 215 | 190 | 165 |
| 120,0 | 390 | 350 | 300 | 270 | 285 | 260 | 220 | 200 |
| 150,0 | 435 | 395 | 335 | 300 | 330 | 300 | 255 | 230 |

Примечание. Токовые нагрузки на кабели приведены при напряжении до 1 кВ.

и прокладки K_2 (табл. 79). Чем больше кабелей проложено в одной траншее, тем хуже условия их охлаждения.

Если условия проводки требуют введения нескольких поправок, то общий поправочный коэффициент определяется перемножением отдельных коэффициентов.

При определении числа проводов, проложенных в одной трубе, нулевой провод четырехпроводной системы трехфазного тока в расчет не принимается.

Длительно допустимые токовые нагрузки на провода, проложенные в коробах, а также в лотках пучками, принимаются как на провода, проложенные в трубах.

Если в трубах, коробах, а также в лотках проложено одновременно больше четырех проводов, нагрузка на них должна приниматься как для проводов, проложенных открыто (в воздухе), с введением снижающих коэффициентов: 0,68 для 5—6; 0,63 для 7—9 и 0,6 для 10—12 проводов.

78. Поправочный коэффициент K' , на температуру земли и воздуха для допустимых токовых нагрузок на кабели, неизолированные и изолированные провода и шины

| Нормированная температура жил, °C | Расчетная температура среды, °C | Фактическая температура среды, °C | | | | | | | | | | | |
|-----------------------------------|---------------------------------|-----------------------------------|------|------|------|------|------|------|------|------|------|------|------|
| | | -5 | 0 | +5 | +10 | +15 | +20 | +25 | +30 | +35 | +40 | +45 | +50 |
| 80 | 15 | 1,14 | 1,11 | 1,08 | 1,04 | 1,00 | 0,96 | 0,92 | 0,88 | 0,83 | 0,78 | 0,73 | 0,68 |
| | 25 | 1,24 | 1,20 | 1,17 | 1,13 | 1,09 | 1,04 | 1,00 | 0,95 | 0,90 | 0,85 | 0,80 | 0,74 |
| 70 | 25 | 1,29 | 1,24 | 1,20 | 1,15 | 1,11 | 1,05 | 1,00 | 0,94 | 0,88 | 0,81 | 0,74 | 0,67 |
| | 15 | 1,18 | 1,14 | 1,10 | 1,05 | 1,00 | 0,95 | 0,89 | 0,84 | 0,77 | 0,71 | 0,63 | 0,55 |
| 65 | 25 | 1,32 | 1,27 | 1,22 | 1,17 | 1,12 | 1,06 | 1,00 | 0,94 | 0,87 | 0,79 | 0,71 | 0,61 |
| | 15 | 1,20 | 1,15 | 1,12 | 1,06 | 1,00 | 0,94 | 0,88 | 0,82 | 0,75 | 0,67 | 0,57 | 0,47 |
| 60 | 25 | 1,36 | 1,31 | 1,25 | 1,20 | 1,13 | 1,07 | 1,00 | 0,93 | 0,85 | 0,76 | 0,66 | 0,54 |
| | 15 | 1,22 | 1,17 | 1,12 | 1,07 | 1,00 | 0,93 | 0,86 | 0,79 | 0,71 | 0,61 | 0,50 | 0,36 |
| 55 | 25 | 1,41 | 1,35 | 1,29 | 1,23 | 1,15 | 1,08 | 1,00 | 0,91 | 0,82 | 0,71 | 0,58 | 0,41 |
| | 15 | 1,25 | 1,20 | 1,14 | 1,07 | 1,00 | 0,93 | 0,84 | 0,76 | 0,66 | 0,54 | 0,37 | — |
| 50 | 25 | 1,48 | 1,41 | 1,34 | 1,26 | 1,18 | 1,09 | 1,00 | 0,89 | 0,78 | 0,63 | 0,45 | — |

79. Поправочный коэффициент K_2 на число работающих кабелей, укладываемых рядом в земле без труб и в трубах

| Расстояние в свету, мм | Число кабелей | | | | | |
|------------------------------|---------------|------|------|------|------|------|
| | 1 | 2 | 3 | 4 | 5 | 6 |
| 100 | 1 | 0,90 | 0,85 | 0,80 | 0,78 | 0,75 |
| 200 | 1 | 0,92 | 0,87 | 0,84 | 0,82 | 0,81 |
| 300 | 1 | 0,93 | 0,90 | 0,87 | 0,86 | 0,85 |

Сечение проводов и кабелей для напряжения до 1000 В по условию нагрева определяется по табл. 75—77 в зависимости от расчетного значения длительно допустимой токовой нагрузки при нормальных условиях прокладки из двух соотношений:

по условию нагрева длительным расчетным током

$$I_{\text{доп}} \geq I_{\text{расч}}/K_1 K_2,$$

где $I_{\text{доп}}$ — длительно допустимый ток провода;

по условию соответствия выбранному аппарату максимальной токовой защиты

$$I_{\text{доп}} \geq K_3 I_{\text{з.а.}}/K_1 K_2,$$

где K_3 — коэффициент защиты, т. е. отношение длительно допустимого тока для провода или кабеля к номинальному току или току срабатывания защитного аппарата (табл. 80); $I_{\text{з.а.}}$ — номинальный ток или ток срабатывания защитного аппарата, А.

При нормальных условиях прокладки $K_1 K_2 = 1$, и тогда указанные соотношения упрощаются:

$$\begin{aligned} I_{\text{доп}} &\geq I_{\text{расч}}; \\ I_{\text{доп}} &\geq K_3 I_{\text{з.а.}} \end{aligned}$$

Сечения проводов и кабелей для ответвлений к короткозамкнутым электродвигателям, установленным во взрывоопасных помещениях, должны быть рассчитаны на ток не менее 125 % номинального тока электродвигателя. Сечения проводов для ответвлений к короткозамкнутым электродвигателям в сетях, проложенных в невзрывоопасных помещениях и защищаемых от перегрузки, выбираются по номинальному току электродвигателя. При этом в обоих случаях проверка кратности защитных аппаратов производится только как для сетей, защищаемых от коротких замыканий.

80. Коэффициент K_3 при защите сетей предохранителями и автоматами

| Ток и тип защитного аппарата | Сети, защищаемые от перегрузки | | | Сети, не требующие защиты от перегрузки |
|---|---|---|-----------------------------|---|
| | провода с резиновой и аналогичной по тепловым характеристикам изоляцией | | кабели с бумажной изоляцией | |
| | взрыво- и пожаро-опасные, служебно-бытовые помещения промышленных предприятий | невзрыво- и непожароопасные производственные помещения промышленных предприятий | | |
| Номинальный ток плавкой вставки предохранителей | 1,25 | 1,0 | 1,0 | 0,33 |
| Ток уставки автоматического выключателя, имеющего только максимальный мгновенно действующий расцепитель | 1,25 | 1,0 | 1,0 | 0,22 |
| Номинальный ток расцепителя автоматического выключателя с нерегулируемой обратно зависимой от тока характеристикой (независимо от наличия или отсутствия отсечки) | 1,0 | 1,0 | 1,0 | 1,0 |
| Ток трогания расцепителя автоматического выключателя с регулируемой обратно зависимой от тока характеристикой (при наличии на автоматическом выключателе отсечки ее кратность тока не ограничивается) | 1,0 | 1,0 | 0,8 | 0,66 |

РАСЧЕТ ПРОВОДОВ И КАБЕЛЕЙ ПО ПОТЕРЕ НАПРЯЖЕНИЯ

Электрические провода и кабели, выбранные по току нагрузки и рассчитанные на нагрев, как правило, должны проверяться по потере напряжения. Исключение составляют силовые сети, питающиеся от встроенных и пристроенных комплектных подстанций КТП и КТПН. Согласно ПУЭ, для силовых сетей отклонение напряжения от номинального

должно составлять не более $\pm 5\%$. Это требование обусловлено тем, что величина вращающего момента электродвигателей зависит от квадрата подведенного напряжения, и его уменьшение ниже допустимого не обеспечит пуск механизмов. В особых случаях для электродвигателей допускается отклонение напряжения от номинального до $\pm 10\%$. В этом случае намагничивающий ток и реактивная мощность электродвигателя возрастают, что приводит к уменьшению коэффициента мощности $\cos \varphi$. Кроме того, увеличиваются потери на нагрев статора и общий нагрев двигателя.

Исходя из допустимых отклонений напряжения, можно определить величину допустимых потерь напряжения в сети. Она должна быть такой, чтобы отклонения напряжения на зажимах двигателей не превышали указанных выше значений.

Без учета индуктивного сопротивления проводов рассчитываются сети: переменного тока, для которых можно принять $\cos \varphi = 1$; выполненные проводами и кабелями сечением до 6 мм^2 включительно; выполненные проводами или кабелями, если их сечения не превышают указанных в табл. 81. Все остальные сети должны рассчитываться с учетом индуктивного сопротивления.

81. Провода и кабели, рассчитываемые без учета индуктивного сопротивления

| Вид проводки | Коэффициент мощности | | | | | |
|---|----------------------|---------------|------|---------------|------|---------------|
| | 0,9 | | 0,8 | | 0,7 | |
| | Материал провода | | | | | |
| | медь | алюми- ний | медь | алюми- ний | медь | алюми- ний |
| Кабели и провода в трубах, мм ² | 70 | 120 | 35 | 70 | 25 | 50 |
| Провода на роликах и изо- ляторах, мм ² | 16 | 25 | 10 | 16 | 6 | 10 |

Провода и кабели электрической сети в большинстве случаев выполняются из одного материала с одинаковым сечением. Поэтому, если у потребителя $\cos \varphi < 1$ на всех силовых нагрузках, то потеря напряжения в сети трехфазного тока

$$\Delta U \% = \frac{\sqrt{3} \cdot 100}{U_n} (r_0 \cos \varphi + x_0 \sin \varphi) \sum I_{\text{расч}} l,$$

где r_0, x_0 — активное и индуктивное сопротивления, Ом/км; $I_{\text{расч}}$ — ток, протекающий по расчетному участку, А; l — расчетная длина участка, км.

Если нагрузка задана мощностями, то

$$\Delta U \% = \frac{10^5}{U_n^2 \cos \varphi} (r_0 \cos \varphi + x_0 \sin \varphi) \Sigma P_{\text{расч}} l,$$

где $P_{\text{расч}}$ — расчетная мощность на участке, кВт.

Потеря напряжения $\Delta U \%$ в сети трехфазного тока напряжением до 1000 В небольшой длины, выполненной медными или алюминиевыми проводами, может быть определена по упрощенным формулам:

при нагрузке в конце линии

$$\Delta U \% = \frac{10^5 P_{\text{расч}} l}{U_n^2 \gamma S},$$

при нагрузках, присоединенных по длине линии

$$\Delta U \% = \frac{10^5}{U_n^2 \gamma S} \Sigma P_{\text{расч}} l,$$

где γ — удельная электрическая проводимость провода, м/Ом.мм².

Пример 22. Определить номинальный ток расцепителя автоматического выключателя, встроенного с группой других выключателей в шкаф, и выбрать сечение провода из условия нагрева и соответствия току расцепителя для присоединения асинхронного электродвигателя $P_n = 40$ кВт; $U_n = 380$ В; $I_n = 73,1$ А; $I_{\text{пуск}}/I_n = 6$; $I_{\text{пуск}} = 437$ А. Двигатель и защитная аппаратура установлены в помещении с нормальной средой.

Поправочный коэффициент $K_1 = 1$ (температура воздуха в помещении 25 °С). По расчетному току двигателя $I_{\text{расч}} = I_n = 73,1$ А выбираем автоматический выключатель АЗ710Б на 160 А (см. табл. 64).

Так как автоматический выключатель встроен в шкаф, то при выборе электромагнитного расцепителя следует учесть тепловой поправочный коэффициент

$$I_{\text{а.эл}} = 1,15 I_{\text{расч}} = 1,15 \times 73,1 = 84,1 \text{ А.}$$

По расчетному току выбираем расцепитель с номинальным током $I_{\text{н.а.эл}} = 100$ А и током мгновенного срабатывания 1600 А.

Определяем ток срабатывания автомата при пуске $I_{\text{ср.эл}} = 1,25 I_{\text{пуск}} = 1,25 \times 437 = 546$ А.

Так как $I_{\text{ср.эл}} = 546$ А меньше тока мгновенного срабатывания, то автомат при пуске не срабатывает.

Подбираем по табл. 65, 66 и 76 три одножильных провода с алюминиевыми жилами марки АПРТО сечением 25 мм², для которых допустимая токовая нагрузка равна 80 А. Проверяем выбранное се-

чение по коэффициенту защиты аппарата. Так как в автоматических выключателях серии АЗ700 ток уставки не регулируется, то кратность допустимого тока ответвления должна определяться по отношению к номинальному току расцепителя, в данном случае равному $I_{3.a} = 100$ А. Находим значение K_3 для сетей, не требующих защиты от перегрузки, для номинального тока расцепителя автоматического выключателя с нерегулируемой обратно зависимой от тока характеристикой (см. табл. 80): $K_3 = 1$.

Так как $K_3 I_{3.a} = 1 \cdot 100 = 100$ А $> I_{доп} = 80$ А, следовательно, требуемое условие не выполняется.

Окончательно выбираем сечение провода 50 мм^2 ; $I_{доп} = 130$ А, для которого условие $I_{доп} \geq K_3 I_{3.a}$, выполняется, так как $I_{доп} = 130$ А $> K_3 I_{3.a} = 1 \cdot 100 = 100$ А.

Пример 23. Определить потерю напряжения в процентах к номинальному в сети трехфазного переменного тока напряжением $U_n = 380$ В, выполненной медными проводами сечением 4 мм^2 , длиной 12 м. В конце сети присоединен электродвигатель мощностью $P_n = 10$ кВт; $\cos \varphi_n = 0,82$; $\eta_n = 0,865$.

Расчетный ток электродвигателя

$$I_{расч} = I_n = \frac{P_n 10^3}{\sqrt{3} U_n \cos \varphi_n \eta_n} = \frac{10 \cdot 10^3}{1,73 \cdot 380 \cdot 0,82 \cdot 0,865} = 21,5 \text{ А.}$$

Потерю напряжения ΔU определяем без учета индуктивного сопротивления проводов, так как при прокладке медных проводов в трубах при $\cos \varphi = 0,8$ индуктивностью можно пренебречь для сечений до 35 мм^2 (см. табл. 81):

$$\Delta U \% = \frac{100 P l}{U^2 \gamma S} = \frac{100 \sqrt{3} I_{расч} l \cos \varphi_n}{U \gamma S} = \frac{100 \cdot 1,73 \cdot 21,5 \cdot 12 \cdot 0,82}{380 \cdot 53 \cdot 4} = 0,45 \%.$$

Пример 24. Выбрать плавкие предохранители для силовой сети напряжением $U_n = 380$ В механической мастерской, в которой установлено пять электродвигателей. Данные электродвигателей приведены в табл. 82.

В мастерской одновременно могут работать не более четырех электродвигателей. Одновременного пуска двух и более электродвигателей не бывает.

Расчетная нагрузка для двигателя № 1 соответствует номинальной ($K_c = 1$):

$$P_{расч} = P_n = 10 \text{ кВт.}$$

Расчетный ток электродвигателя

$$I_{расч} = I_n = \frac{P_n 10^3}{\sqrt{3} U_n \cos \varphi_n \eta_n} = \frac{10 \cdot 10^3}{1,73 \cdot 380 \cdot 0,86 \cdot 0,82} = 21,5 \text{ А.}$$

82. Данные электродвигателей

| № п. п. | P_n , кВт | I_n , А | $\cos \varphi$ | η | $\frac{I_{\text{пуск}}}{I_n} = K_p$ | K_c | $I_{\text{расч.}}$ А |
|------------|-------------|-----------|----------------|--------|-------------------------------------|-------|-------------------------|
| 1 | 10,0 | 21,5 | 0,82 | 0,86 | 4,5 | 1,0 | 21,5 |
| 2 | 4,5 | 10,1 | 0,80 | 0,84 | 5,5 | 1,0 | 10,1 |
| 3 | 1,7 | 3,9 | 0,82 | 0,81 | 5,0 | 0,9 | 3,5 |
| 4 | 2,8 | 6,1 | 0,84 | 0,83 | 5,5 | 0,9 | 5,5 |
| 5 | 1,7 | 3,9 | 0,82 | 0,81 | 5,0 | 0,85 | 2,7 |

Пусковой ток электродвигателя

$$I_{\text{пуск}} = K_I I_n = 4,5 \cdot 21,5 = 96,8 \text{ А.}$$

Ток плавкой вставки предохранителя

$$I_{\text{вст}} = I_{\text{пуск}} / 2,5 = 96,8 / 2,5 = 38,7 \text{ А.}$$

Выбираем плавкую вставку на номинальный ток $I_{n \text{ вст}} = 45 \text{ А.}$

Аналогично определяем расчетный и пусковой ток и выбор плавких вставок для остальных электродвигателей. Определение расчетных токов электродвигателей № 3, 4 и 5 производим с учетом коэффициентов спроса. Расчетный ток магистрали с учетом работы четырех наиболее крупных электродвигателей $I_{\text{расч}} = 40,6 \text{ А}$, что соответствует току плавкой вставки $I_{\text{вст}} \geq I_{\text{расч}} = 40,6 \text{ А.}$

Расчетный ток магистрали за вычетом тока электродвигателя № 1, имеющего наибольший пусковой ток,

$$I'_{\text{расч}} = 40,6 - 21,5 = 19,1 \text{ А.}$$

Ток плавкой вставки магистрали

$$I_{\text{вст}} \geq \frac{I_{\text{пуск}} + I'_{\text{расч}}}{2,5} = \frac{96,8 + 19,1}{2,5} = 47 \text{ А.}$$

По большему из двух расчетных токов плавких вставок выбираем вставку с номинальным током $I_{n \text{ вст}} = 60 \text{ А}$. Выбранные плавкие вставки удовлетворяют условию селективности.

Пример 25. Определить нагрузку для алюминиевого провода АПР-500 сечением 6 мм^2 с резиновой изоляцией при открытой прокладке и прокладке трех проводов в одной трубе, $t = 40^\circ \text{С}$.

По табл. 76 находим длительно допустимую нагрузку на провод в нормальных условиях, которая при открытой прокладке равна 38 А , а при прокладке трех проводов в одной трубе — 32 А . С учетом температуры воздуха 40°С и допускаемой температуры жилы провода 55°С определяем новые допустимые нагрузки на провод с учетом поправочного коэффициента K_1 (табл. 78). При открытой прокладке $I_{\text{доп}} = K_1 \cdot 38 = 0,71 \cdot 38 = 27 \text{ А}$, при прокладке трех проводов в одной трубе $I_{\text{доп}} = 0,71 \cdot 32 = 23 \text{ А}$.

АВТОМАТИЧЕСКОЕ УПРАВЛЕНИЕ АСИНХРОННЫМИ ЭЛЕКТРОДВИГАТЕЛЯМИ

Автоматическое управление электроприводами осуществляется посредством контакторов, магнитных пускателей и различных реле. Эти аппараты и их элементы (катушки, главные и вспомогательные контакты) электрически соединяются в общую схему, позволяющую осуществлять заданные операции в определенной последовательности.

Электрическая схема включает в себя десятки, а иногда и сотни отдельных элементов аппаратов и обеспечивает их электрическую взаимосвязь. Поэтому построение схемы производится по определенной системе. Так, силовые электрические цепи (статоров, роторов и якорей электродвигателей) на схеме показываются утолщенными линиями, а вспомогательные (цепи управления, защиты, блокировки и сигнализации) — тонкими.

Электрические двигатели, аппараты управления и их элементы на схеме изображаются условными графическими обозначениями, которые регламентируются соответствующими ГОСТами: электрические машины (электродвигатели) — ГОСТ 2.722—68, трансформаторы, дроссели, магнитные усилители — ГОСТ 2.723—68, коммутационные и контактные соединения — ГОСТ 2.755—74.

Условные обозначения элементов вычерчивают на схеме либо в положении, в котором они изображены в соответствующих стандартах, либо повернутыми (в направлении против часовой стрелки) на угол, кратный 90° по отношению к этому положению. В отдельных случаях допускается условное графическое обозначение поворота угла, кратного 45° .

Каждый элемент, изображенный на принципиальной схеме, должен иметь буквенно-цифровое позиционное обозначение. Буквы указывают назначение отдельных элементов: КнП — кнопка «Пуск»; КнС — кнопка «Стоп»; РВ — реле времени; КЛ — контактор линейный. Порядковые номера элементам присваивают начиная с единицы, на-

пример: C1, C2, C3; R1, R2, R3 и т. д. Различные элементы одного и того же аппарата обозначают одинаковыми буквами, указывающими обычно на функцию данного аппарата.

Коммутирующие аппараты на схемах показывают, как правило, в отключенном положении, т. е. при отсутствии тока в цепи и внешних сил, воздействующих на подвижные контакты. Все контакты аппаратов разделяются на замыкающие и размыкающие.

УПРАВЛЕНИЕ

КОРОТКОЗАМКНУТЫМИ ЭЛЕКТРОДВИГАТЕЛЯМИ

Производственные механизмы приводятся в движение преимущественно асинхронными короткозамкнутыми электродвигателями, что обусловлено простотой их устройства и обслуживания, а также высокой надежностью в работе.

Управление нереверсивным асинхронным двигателем. Простейшим примером схемы управления и защиты асинхронного короткозамкнутого электродвигателя может служить схема с магнитным пускателем (рис. 26). При нажатии кнопки «Пуск» подается команда на включение электродвигателя, кнопки «Стоп» — на отключение. В схеме предусмотрена защита электродвигателя от перегрузок электротепловыми реле T1 и T2 и от коротких замыканий — плавкими предохранителями Пр.

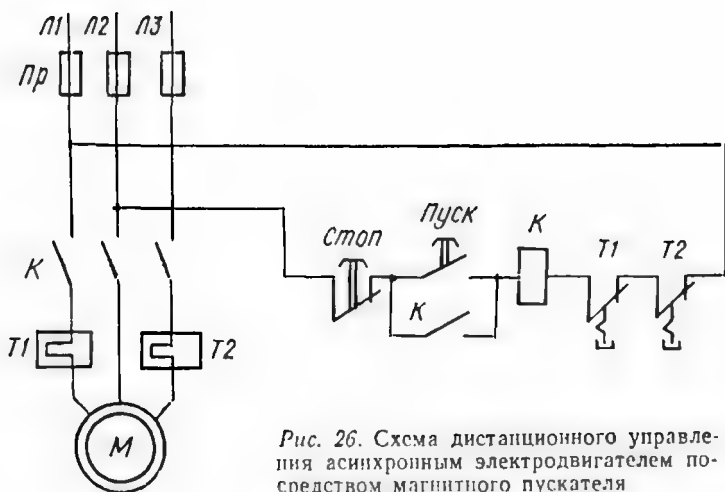


Рис. 26. Схема дистанционного управления асинхронным электродвигателем посредством магнитного пускателя

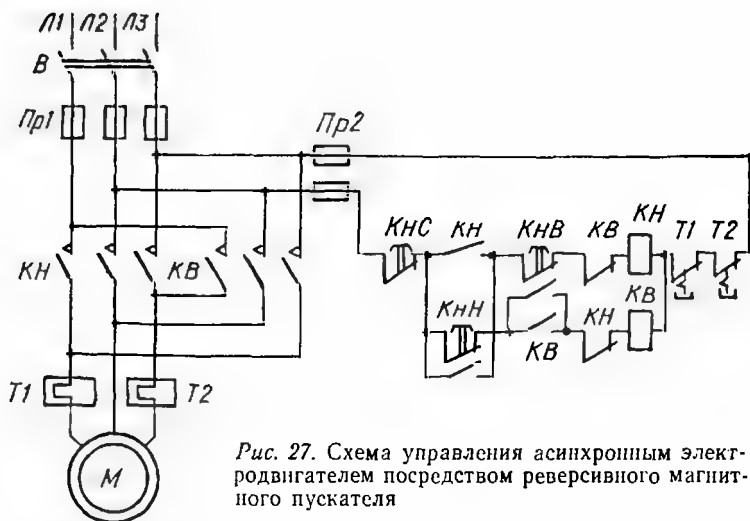


Рис. 27. Схема управления асинхронным электродвигателем посредством реверсивного магнитного пускателя

Управление реверсивным асинхронным двигателем. В схеме работы электродвигателя в реверсивном режиме (рис. 27) используется реверсивный магнитный пускатель, посредством которого осуществляются дистанционный пуск, остановка и реверсирование электродвигателя, а также защита от перегрева (реле Т1 и Т2) и нулевая защита (контакты КВ и КН). Для защиты при коротком замыкании дополнительно устанавливаются плавкие предохранители Пр1 и Пр2. Напряжение на схему подается рубильником или пакетным выключателем В. Предохранители Пр1 и выключатель В могут быть заменены автоматическим воздушным выключателем (автоматом). Командными аппаратами в схеме являются кнопки управления КНВ, КНН и КНС, объединенные в одну кнопочную станцию. Если по условиям работы привода предусмотрен самозапуск электродвигателя, то кнопки заменяются ключом управления с тремя фиксированными положениями («Вперед», «Назад», «0»). Во избежание короткого замыкания при одновременном нажатии кнопок КНВ и КНН в подобных схемах предусматривается электрическая или механическая блокировка. Например, при нажатии кнопки КНВ срабатывает контактор КВ и своими блок-контактами разрывает цепь контактора КН.

Электрическая схема динамического торможения асинхронного электродвигателя. В схеме управления асинхронным короткозамкнутым электродвигателем с динамическим торможением (рис. 28, а) статор электродвигателя отключают от питающей сети переменного тока с помощью непереворсивного магнитного пускателя Л и подключают к сети постоянного тока посредством контактора торможения Т.

Пуск электродвигателя осуществляется нажатием кнопки «Пуск». При этом контактор Т отключен и, следовательно, его блок-контакт Т в цепи контактора Л замкнут. Одновременно с замыканием главных контактов контактора Л включаются два его замыкающих блок-контакта и размыкается блок-контакт в цепи катушки контактора Т. Один из замыкающих блок-контактов контактора Л шунтирует кнопку «Пуск», другой замыкает цепь обмотки реле времени В и подключает его к источнику постоянного тока. Реле В срабатывает мгновенно и замыкает свои контакты в цепи катушки контактора Т.

Для осуществления процесса торможения нажимают кнопку «Стоп». Контактор Л обесточивается и своими главными контактами Л отключает электродвигатель от сети. Размыкающий блок-контакт Л замыкается, контактор Т срабатывает и своими главными контактами включает постоянный ток в обмотку статора. С этого момента начинается процесс торможения. Одновременно замыкающий блок-контакт Л в цепи катушки реле времени В размыкается, и реле начинает отсчет выдержки времени. По истечении заданной выдержки контакты реле времени снова размыкаются и выключают контактор Т. В схеме предусматривается взаимная блокировка контакторов Л и Т, которая обеспечивается размыкающими блок-контактами Л и Т.

Аналогично идет процесс торможения при автоматическом срабатывании реле Т1 или Т2.

Электрическая схема торможения противовключением непереворсивного электродвигателя. Наиболее распространенным способом торможения асинхронных электродвигателей является торможение противовключением. На рис. 28,б приведена схема торможения противовключением с использованием реле контроля скорости РКС. При пуске электродвигателя реле замыкает свои контакты РКС в цепи контактора торможения Т, но цепь втягивающей катушки контактора Т разомкнута, так как в нее включен размыкающий блок-контакт контактора Л, который при работе электро-

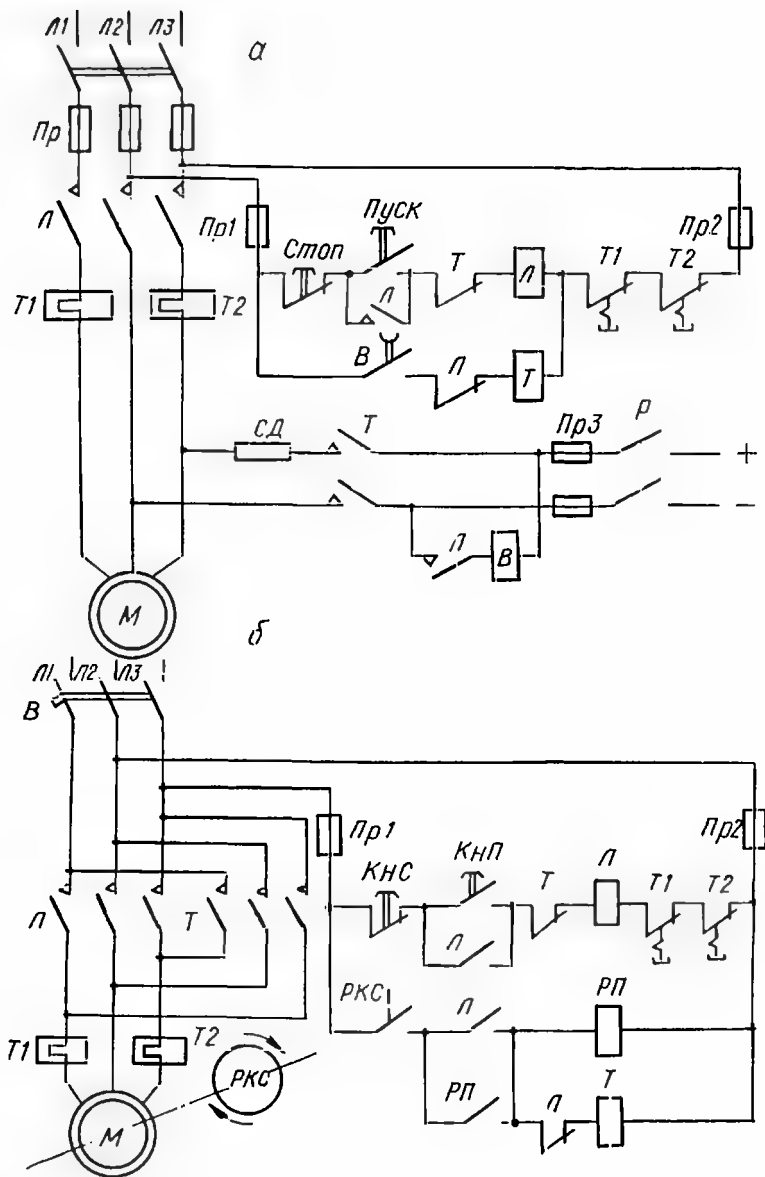
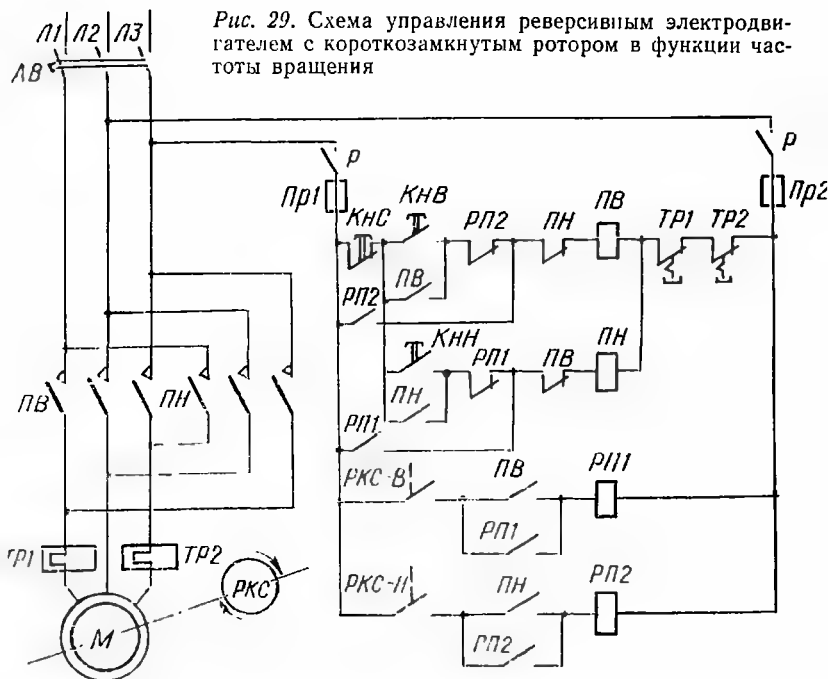


Рис. 28. Схема управления асинхронным короткозамкнутым электродвигателем с динамическим торможением (а) и с торможением противоключением (б)

Рис. 29. Схема управления реверсивным электродвигателем с короткозамкнутым ротором в функции частоты вращения



двигателя разомкнут. После выключения контактора Л кнопкой КНС (или при срабатывании Т1 или Т2) блок-контакт Л в цепи контактора Т замыкается, контактор Т срабатывает и включает электродвигатель на реверс. Происходит интенсивное торможение, и когда скорость электродвигателя приблизится к нулю (50—100 об/мин), реле РКС разомкнет свои контакты и контактор Т отключится. Промежуточное реле РП предотвращает возможность аварийного (при случайном замыкании контактов РКС) пуска двигателя.

Управление реверсивным асинхронным короткозамкнутым электродвигателем в функции скорости. Командным аппаратом при этом способе пуска (рис. 29) является реле контроля скорости РКС с контактами РКС-В (вперед) и РКС-Н (назад). При нажатии кнопки КНВ магнитный пускатель ПВ (вперед) включает электродвигатель в сеть. Как только электродвигатель начнет вращаться, контакт РКС-В

замкнется, сработает промежуточное реле РП1 и своим замыкающим контактом подготовит к включению магнитный пускатель ПН (назад). При этом контакт ПВ, находящийся в его цепи, разомкнут.

При нажатии кнопки КнС магнитный пускатель ПВ отключает электродвигатель от сети и своим блок-контактом включает магнитный пускатель ПН на вращение электродвигателя в обратную сторону. Происходит торможение электродвигателя противовключением. При снижении частоты вращения до определенного значения, близкого к нулю, реле РКС размыкает замыкающий контакт РКС-В. Магнитный пускатель ПН отключается и отключает электродвигатель от сети. При нажатии кнопки КнН схема работает аналогично описанному. При этом роль тормозного магнитного пускателя выполняет магнитный пускатель ПВ, а управлять процессом торможения будут контакты РКС-Н реле контроля скорости РКС.

Согласование работы отдельных асинхронных электродвигателей. Примером согласования работы двух электродвигателей одной производственной машины является возможность пуска главного двигателя только после включения двигателя насоса смазки и автоматическое отключение главного двигателя при падении давления в системе смазки. При этом остановке привода должен предшествовать сигнал, предупреждающий обслуживающий персонал о нарушении работы системы смазки.

Схема, обеспечивающая такую блокировку, приведена на рис. 30. Здесь МГ — главный двигатель, МН — двигатель насоса смазки, РД — контакт реле давления масла в системе смазки. Включение контактора КГ главного двигателя возможно только после того, как будет включен контактор КН двигателя насоса, и при исправном реле давления РД. Контакт этого реле должен быть замкнут при достаточном давлении в системе смазки.

При снижении давления из-за неисправностей в системе смазки реле РД размыкает свой контакт, приходят в действие реле времени РВ и аварийная сигнализация (сигнальная лампа ЛС и звонок Зв), поскольку в соответствующих цепях замыкаются контакты промежуточного реле РП. По истечении заданной выдержки времени размыкается контакт реле РВ, контактор КГ теряет питание, и двигатель МГ отключается. Одновременно прекращается действие сигнализации.

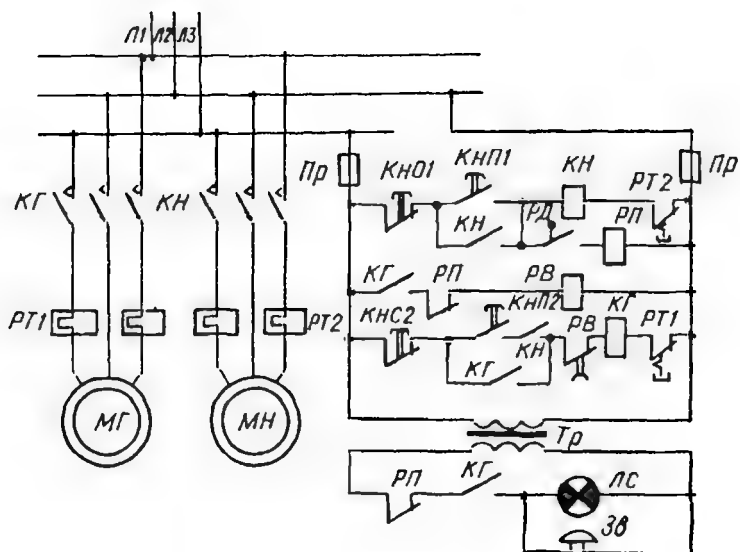


Рис 30 Схема согласования работы двух асинхронных электродвигателей с короткозамкнутым ротором

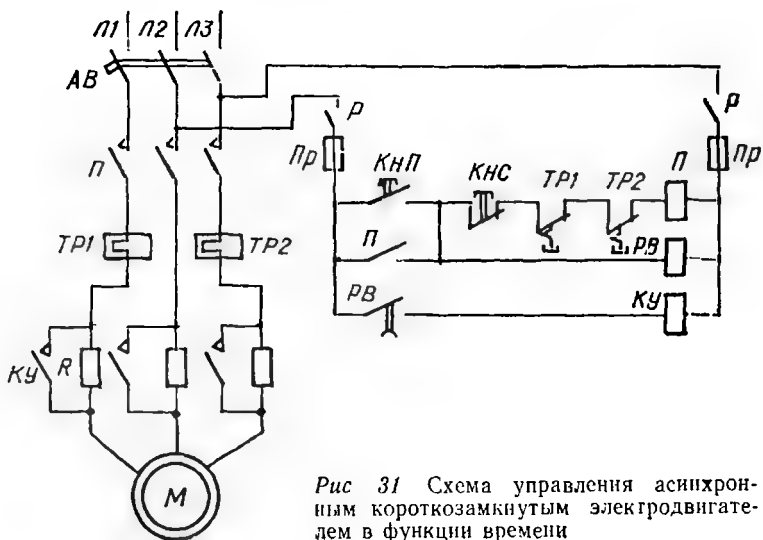


Рис 31 Схема управления асинхронным короткозамкнутым электродвигателем в функции времени

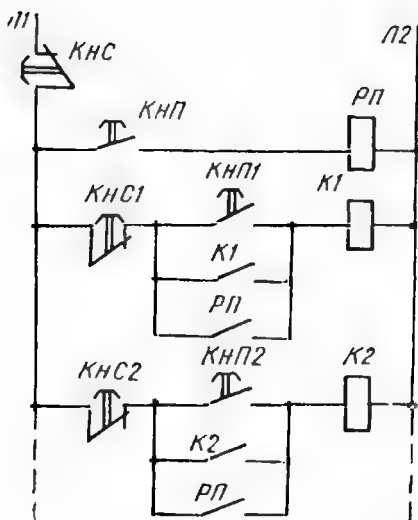


Рис. 32. Схема одновременного включения нескольких электродвигателей

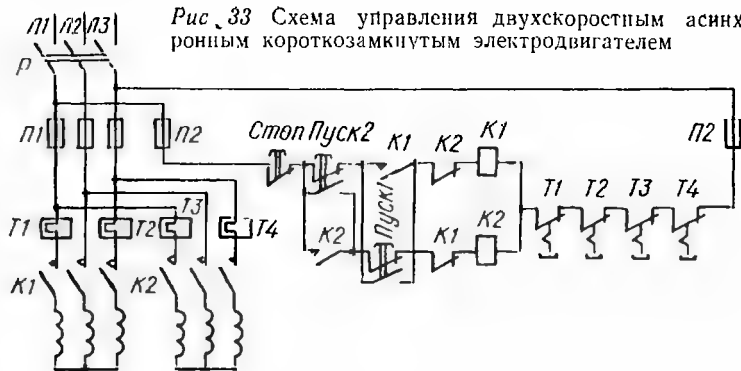
Управление асинхронным короткозамкнутым электродвигателем в функции времени. Для автоматизации пуска электродвигателя в этом режиме (рис. 31) используют реле времени с определенной выдержкой. При нажатии кнопки КНП магнитный пускатель П своими главными контактами включает электродвигатель М через резисторы

(сопротивления) R . Параллельно обмотке магнитного пускателя П включена обмотка реле времени РВ (реле ускорения). По истечении заданной выдержки времени контакт реле РВ замыкается и включает обмотку контактора ускорения КУ, главные контакты которого шунтируют сопротивление R , и двигатель включается на полное напряжение.

Схема одновременного включения нескольких электродвигателей. В электрических схемах металлорежущих станков часто предусматривается управление несколькими асинхронными короткозамкнутыми электродвигателями при помощи одной кнопки. В этом случае используют многоконтактное промежуточное реле РП. На рис. 32 дана схема, в которой при нажатии на кнопку КНП происходит включение контакторов К1, К2 и т. д. и, следовательно, одновременный пуск ряда электродвигателей. Для одновременной остановки всех электродвигателей служит кнопка КНС. Схема предусматривает также возможность отдельного включения и отключения каждого электродвигателя соответственно кнопками КНП1 и КНС1, КНП2 и КНС2 и т. д.

Схема управления двухскоростным асинхронным короткозамкнутым электродвигателем. Электродвигатель имеет две статорные обмотки. Для пуска на первую скорость (рис. 33) необходимо включить рубильник Р и нажать кнопку «Пуск I», что приведет к замыканию цепи катушки кон-

Рис. 33 Схема управления двухскоростным асинхронным короткозамкнутым электродвигателем



тактора К1. Главные контакты контактора К1 замкнутся и включают в сеть статорную обмотку первой скорости. Одновременно замыкаются блок-контакты контактора К1 и шунтируют кнопку «Пуск 1», а также размыкаются блок-контакты К1, включенные в цепь управления контактором К2 (блокировка против одновременного включения обоих контакторов).

Аналогично при нажатии кнопки «Пуск 2» происходит срабатывание контактора К2 и включение в сеть статорной обмотки второй скорости.

В схеме используются двухцепные пусковые кнопки, имеющие по одной паре замыкающих и размыкающих контактов.

УПРАВЛЕНИЕ ЭЛЕКТРОДВИГАТЕЛЯМИ С ФАЗНЫМ РОТОРОМ

Схема управления асинхронным электродвигателем с фазным ротором. При автоматическом пуске асинхронного электродвигателя с фазным ротором ввод сопротивления в цепь ротора и последующий вывод его по ступеням пуска осуществляется соответствующими реле. Для автоматизации пуска электродвигателя в функции тока (рис. 34) применяются токовые реле ускорения РУ1, РУ2 и РУ3, включенные в цепь ротора последовательно с пусковым резистором. При нажатии на кнопку «Пуск» главные контакты контактора К замыкаются и электродвигатель подключается к сети при полностью введенных пусковых резисторах в цепи ротора. Одновременно подается питание через блок-контакт К к катушке реле времени РВ с последующим замы-

В схеме предусмотрено шунтирование размыкающих контактов реле ускорения РУ1, РУ2, РУ3 соответствующими блок-контактами контакторов ускорения У1, У2, У3 ввиду возможности вибрации контактов реле ускорения при бросках роторного тока. Реле времени РВ обеспечивает некоторую выдержку, чтобы ток в цепи ротора достиг значения, при котором все реле ускорения открывают свои размыкающие контакты. Защита электродвигателя от перегрузки и короткого замыкания осуществляется при помощи реле максимального тока РМ1 и РМ2.

Схема контакторного управления реверсивным электродвигателем с фазным ротором. Управление электродвигателем осуществляется при помощи командоконтроллера. Схема (рис. 35) обеспечивает управление пуском с тремя ступенями сопротивления и торможения методом противовключения. Для управления пуском применяют реле времени, для управления торможением — реле тока.

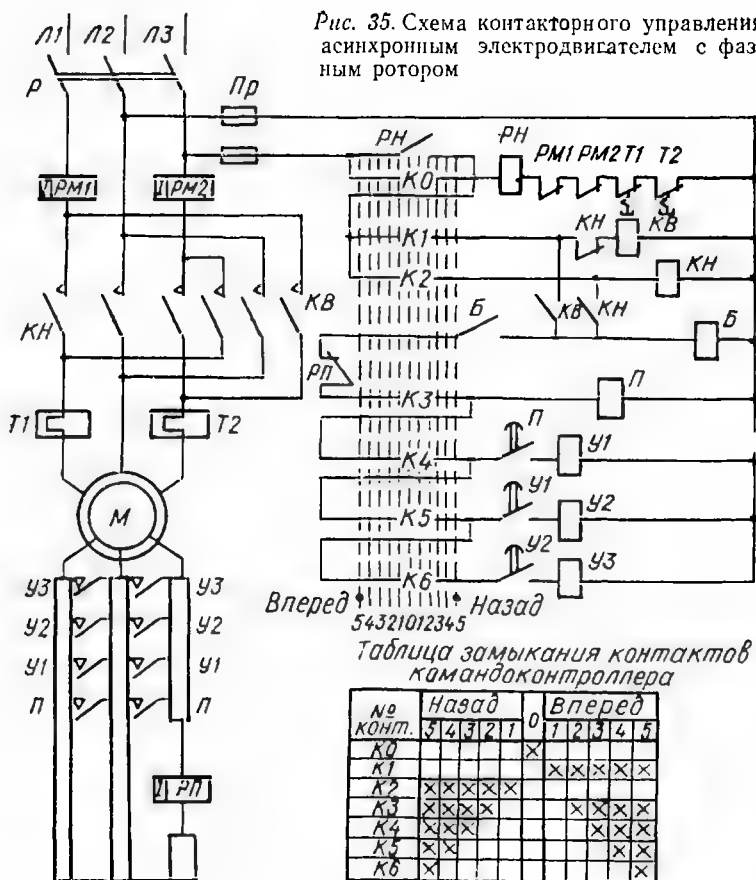
В исходном (нулевом) положении командоконтроллера замыкается контакт КО, срабатывает реле напряжения РН и своими контактами РН блокирует блок-контакт командоконтроллера.

При переводе рукоятки командоконтроллера из нулевого положения в положение I (вперед или назад) замыкается контакт К1 или К2, включается соответствующий контактор КВ или КН, через главные контакты которого электродвигатель включается в сеть, а через замыкающие блок-контакты — на катушку блокировочного реле Б. После замыкания замыкающих контактов этого реле и перевода рукоятки командоконтроллера в положение 2 замыкается контакт К3 и подается питание на катушку контактора противовключения П, если размыкающие контакты реле противовключения РП замкнуты.

Реле РП настраивается так, чтобы его ток срабатывания был выше максимального пускового тока. После срабатывания контактора П его замыкающие контакты мгновенного действия закорачивают тормозную часть сопротивлений, а блок-контакты, работающие с выдержкой времени, замыкают цепь катушки контактора У1 первой ступени ускорения.

При дальнейшем перемещении рукоятки командоконтроллера в положение 3, 4, 5 закорачиваются последовательно с определенной выдержкой времени первая, вторая и третья ступени пускового резистора. После замыкания

Рис. 35. Схема контакторного управления асинхронным электродвигателем с фазным ротором



контактов контактора УЗ пуск электродвигателя заканчивается.

Реверсирование электродвигателя осуществляется переводом командоконтроллера в противоположное положение. При этом размыкается цепь контактора КВ и замыкается цепь контактора КН. Реверсирование электродвигателя сопровождается режимом противовключения. В результате по цепи ротора (и реле РП) будет проходить ток противовключения, который больше пускового. Реле РП разомкнет свои контакты, вследствие чего цепь контактора противовключения П не получит питания до тех пор, пока ток противовключения не снизится до значения пускового. Таким

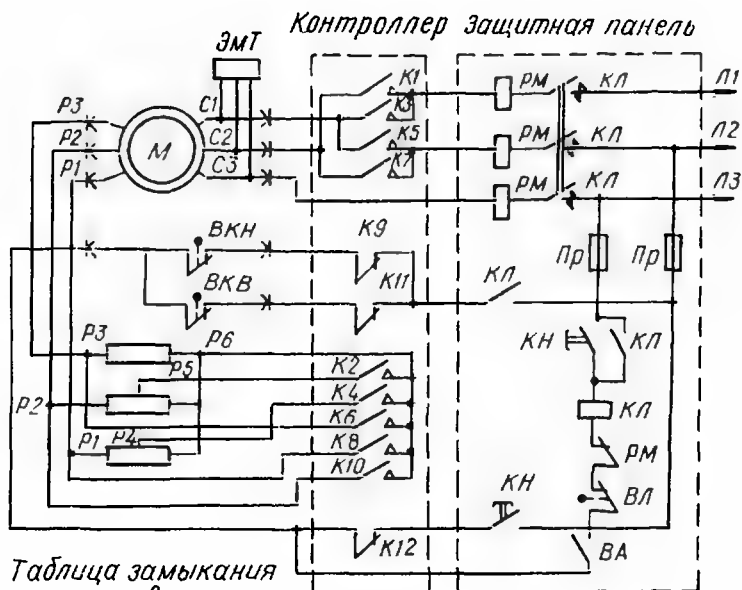


Таблица замыкания контактов кулачкового контроллера типа ККТ-61А

| Контакт | Назад спуск | | | | | 0 | Вперед Подъем | | | | |
|---------|----------------|---|---|---|---|---|------------------|---|---|---|---|
| | 5 | 4 | 3 | 2 | 1 | | 1 | 2 | 3 | 4 | 5 |
| K1 | x | x | x | x | x | | | | | | |
| K2 | x | x | x | x | | | | x | x | x | x |
| K3 | | | | | | | x | x | x | x | x |
| K4 | x | x | x | | | | | | x | x | x |
| K5 | x | x | x | x | x | | | | | | |
| K6 | x | x | | | | | | | | x | x |
| K7 | | | | | | | x | x | x | x | x |
| K8 | x | | | | | | | | | | x |
| K9 | x | x | x | x | x | x | | | | | |
| K10 | x | | | | | | | | | | x |
| K11 | | | | | | x | x | x | x | x | x |
| K12 | | | | | | x | | | | | |

Рис. 36. Контроллерное управление крановым электродвигателем с фазным ротором

образом, пусковая ступень резистора не может быть выведена раньше времени.

Электромагнитное реле напряжения обеспечивает минимальную и нулевую защиту электродвигателя. При резком снижении напряжения или полном его исчезновении реле срабатывает, отключается вся цепь управления и электродвигатель останавливается. Защита электродвигателя М от коротких замыканий осуществляется посредством реле максимального тока РМ1 и РМ2, а от перегрузки — электротепловыми реле Т1 и Т2. Для последующего включения электродвигателя рукоятку командоконтроллера следует установить снова в исходное положение.

Таблица замыкания контактов командоконтроллера при повороте его рукоятки приведена на рис. 35.

Электрическая схема контроллерного управления асинхронным электродвигателем с фазным ротором. Управление электродвигателем (рис. 36) осуществляется посредством кулачкового контроллера типа ККТ-61А. Одна фаза ЛЗ питающей сети подводится к статору электродвигателя помимо контроллера, а две фазы Л1 и Л2 — через контроллер. Контакты К1, К3, К5, К7 контроллера включают статор электродвигателя в сеть при полностью введенных сопротивлениях в цепи ротора и осуществляют реверсирование электродвигателя: в первом положении рукоятки контроллера «Вперед» замыкаются контакты К3 и К7, а в первом положении «Назад» — контакты К1 и К5 (меняется порядок чередования фаз). Одновременно со статором двигателя в сеть включается тормозной электромагнит ЭМТ, растормаживающий механизм. Показанный на схеме троллейный токоподвод применяется, как правило, только для привода подъема.

При дальнейшем перемещении рукоятки контроллера в положения 2, 3, 4, 5 «вперед» или «назад» выводятся (шунтируются) ступени пусковых резисторов посредством контактов К2, К4, К6, К8, К10 контроллера. Резисторы в роторной цепи выводятся несимметрично, что позволяет уменьшить число переключающих контактов контроллера при требуемом числе пускорегулировочных ступеней и получить механические характеристики, обеспечивающие требуемый режим работы механизма. С помощью контактов К9, К11, К12 контроллера создаются цепи конечной и нулевой защиты. На схеме показаны контакты путевых (конечных) выключателей ВКВ и ВКН; контакт люка кабины ВЛ; ава-

рийный выключатель ВА; кнопка включения Кн. После перерыва в электроснабжении пуск электродвигателя возможен в том случае, если рукоятка контроллера будет предварительно поставлена в нулевое положение, в котором замкнуты контакты К9, К11, К12. При этом может включиться линейный контактор КЛ и подать напряжение на силовые цепи.

Контакты максимально-токовых блок-реле РМ действуют на отключение контактора КЛ.

НЕИСПРАВНОСТИ АСИНХРОННЫХ ЭЛЕКТРОДВИГАТЕЛЕЙ И ИХ УСТРАНЕНИЕ

При эксплуатации электродвигателей могут возникнуть различные неисправности как в подводящей сети, так и в самом двигателе.

Характерными неисправностями подводящей сети являются: обрыв цепи; пониженное или повышенное напряжение; несимметричное напряжение.

Наиболее часто обрыв электрических цепей происходит из-за сгорания плавкой вставки предохранителя или обрыва проводов. При этом двигатель при пуске не разгоняется, гудит, а при толчке извне разгоняется до номинальной скорости в ту сторону, в которую был направлен толчок.

В этом режиме двигатель теряет $\frac{1}{3}$ номинальной мощности, и если он работал при полной нагрузке, то при обрыве провода снижает частоту вращения и потребляет ток, больший номинального. Поэтому статор двигателя перегревается, что может стать причиной сгорания изоляции обмотки.

Напряжение, пониженное относительно номинального, вызывает резкое снижение пускового, номинального и максимального моментов, так как они пропорциональны квадрату приложенного напряжения ($M = cU^2$). В этом случае при пуске под нагрузкой двигатель разгоняется медленно или не запускается совсем. При работе он вращается с пониженной скоростью и потребляет повышенный ток, а при толчках нагрузки может остановиться. Повышенный потребляемый ток вызывает дополнительный нагрев двигателя и, следовательно, преждевременный износ изоляции. В этом случае необходимо переключить ступень питающего трансформатора или увеличить сечение подводящих проводов.

Повышенное напряжение вызывает увеличение магнитных нагрузок стали двигателя, что приводит к резкому возрастанию тока холостого хода, снижению $\cos \varphi$ за счет повышенного потребления реактивной энергии, увеличе-

нию потерь в стали и ее нагрев. Уменьшить напряжение питающей сети можно путем переключения ответвлений трансформатора.

Несимметричное напряжение возникает при неправильном распределении между фазами однофазных нагрузок (сварочные аппараты, нагревательные приборы). Это вызывает появление в двигателе обратного вращающегося поля, создающего тормозной момент. В результате уменьшается частота вращения двигателя, он начинает потреблять повышенный ток, неодинаковый по фазам. Это ведет к перегреву двигателя и преждевременному износу изоляции. Возникшую несимметрию устраняют перераспределением однофазных нагрузок.

Встречаются электрические неисправности в обмотках статора и ротора электродвигателя (короткое замыкание в обмотках, обрывы и замыкание обмоток на корпус), неисправности магнитной цепи, а также механические неисправности.

Неисправности электрического двигателя могут быть выявлены как во время пуска его в ход, так и во время работы.

НЕКОТОРЫЕ НЕИСПРАВНОСТИ, ОБНАРУЖИВАЕМЫЕ ПРИ ПУСКЕ ДВИГАТЕЛЯ

Двигатель не разгоняется или вращается ненормально. Произошло заклинивание приводимого механизма (станка, крана), или механизм (мельница, мешалка) чрезмерно загружен. Чтобы убедиться, что двигатель при пуске не разгоняется из-за перегрузки, необходимо пустить его без приводного механизма.

В самом двигателе может произойти задевание статора ротором, повреждение подшипников, перекос при затяжке подшипниковых щитов.

Признаком, подтверждающим механические причины неисправности двигателя, является одинаковый ток во всех трех фазах статора.

Электрическими причинами данной неисправности являются обрывы в питающей сети, пусковой и защитной аппаратуре, а также внутренний обрыв в одной фазе обмотки статора, соединенной звездой, или обрыв в двух или трех фазах роторной цепи двигателя с контактными кольцами.

Для выявления причины неисправности необходимо в пер-

вую очередь проверить целостность предохранителей и проводки к статору и ротору двигателя, а также исправность включающей аппаратуры.

Наличие обрывов в цепи статора может быть определено при помощи вольтметра или мегомметра.

При обрыве в одной фазе сети или внутреннем обрыве в статорной обмотке, соединенной звездой, двигатель, если его первоначально повернуть рукой, будет работать толчками и ненормально гудеть. Если же обрыв в фазе произошел во время работы, то двигатель может продолжать работать, но его частота вращения при номинальной нагрузке понижается, а ток значительно повышается, что может вызвать перегрев и повреждение обмоток двигателя.

При обрыве одной фазы обмотки статора, соединенной треугольником, образуется вращающееся магнитное поле, и двигатель разворачивается. Но так как работают две фазы, то мощность двигателя снижается до $\frac{2}{3}$ номинальной. Это приводит к увеличенному нагреву (в случае полной нагрузки) и может быть причиной сгорания изоляции всей обмотки статора.

Фазу, имеющую обрыв, можно найти при помощи мегомметра. В этом случае разъединяют общие точки обмотки и измеряют сопротивление каждой фазы мегомметром. При измерениях на выводах фаз, не имеющих обрывов, мегомметр покажет нуль, а на зажимах фазы, имеющей обрыв, — большую величину.

Двигатель плохо разгоняется, развивает малый вращающий момент и сильно гудит. Возможны ошибки в соединениях обмотки: неправильное соединение начала и концов; соединение обмотки, не соответствующее напряжению в сети; обратное соединение катушек. Это чаще всего наблюдается у электродвигателей, имеющих шесть выводов для соединения их звездой или треугольником, при работе, например, на напряжении 220/380 В, а также у многоскоростных двигателей.

При неправильном соединении выводных концов обмотки величина тока в фазах различна, а при холостом ходе превышает номинальную.

Указанная неисправность может также возникнуть в случае, если двигатель с короткозамкнутым ротором запускается путем переключения обмотки статора на время пуска с треугольника на звезду посредством переключателя.

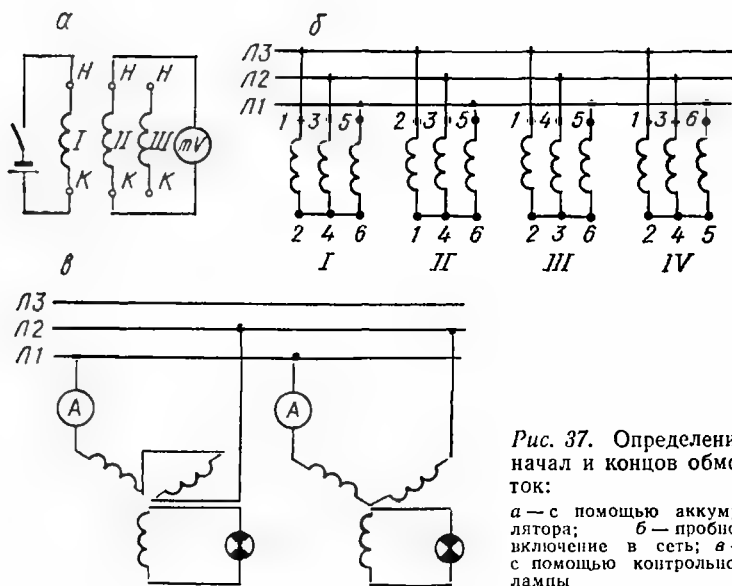


Рис. 37. Определение начал и концов обмоток:

а — с помощью аккумулятора; б — пробное включение в сеть; в — с помощью контрольной лампы

Для правильного соединения обмотки необходимо установить правильную маркировку ее концов. Для этого мегомметром или контрольной лампой определяют принадлежность концов к фазам и предварительно их обозначают. Затем проверяют и определяют начало и конец фазы опытным путем, для чего существует несколько способов.

В первом случае одну из фаз (рис. 37, а) подключают к аккумулятору напряжением 2—6 В; при этом начало Н подключают к плюсу, а конец К — к минусу. К другой фазе подключают милливольтметр. При включении рубильника возникает поток, который индуцирует ЭДС во второй фазе определенного направления; при этом Н соответствует минусу, а К — плюсу. При выключении рубильника поток исчезает и также индуцирует ЭДС, но обратного направления: Н соответствует плюсу, К — минусу. Правильность предварительного обозначения проверяют по отклонению стрелки милливольтметра.

Во втором случае концы обмоток обозначают пофазно цифрами 1, 2, 3, 4, 5, 6; цифры 2, 4, 6 считают концами и соединяют в нулевую точку, а цифры 1, 3, 5 принимают за начала и включают в сеть (рис. 37, б). Если двигатель нор-

мально не разгоняется и гудит, значит, включение неправильное, и соединяют по-иному, т. е. 1, 4, 6 — в нулевую точку, а 2, 3, 5 — в сеть. Если и при новом соединении двигатель включен неправильно, то восстанавливают положение первой фазы, а меняют включение второй, т. е. 2, 3, 6 соединяют в нулевую точку, а 1, 4, 5 — в сеть. Если вновь двигатель включен неправильно, то восстанавливают положение второй фазы и меняют включение третьей, т. е. 2, 4, 5 — в нулевую точку, 1, 3, 6 — в сеть.

В третьем случае правильность сопряжения фаз устанавливают с помощью вольтметра или контрольной лампы. Для этого одну фазу отсоединяют и в нее включают вольтметр или контрольную лампу (рис. 37, в). Две другие фазы включают в сеть на пониженное напряжение ($0,2-0,35 U_n$).

Если две фазы включены разноименными концами, то в третьей будет индуцироваться ЭДС, равная примерно 50 % подведенного напряжения. Если же эти фазы включены одноименными концами, то в третьей фазе напряжение

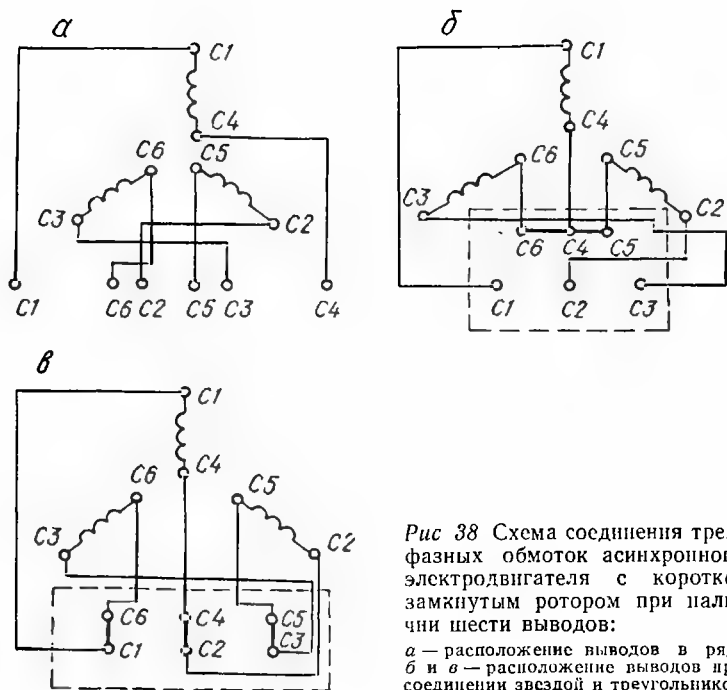


Рис 38 Схема соединения трехфазных обмоток асинхронного электродвигателя с короткозамкнутым ротором при наличии шести выводов:

а — расположение выводов в ряд; б и в — расположение выводов при соединении звездой и треугольником

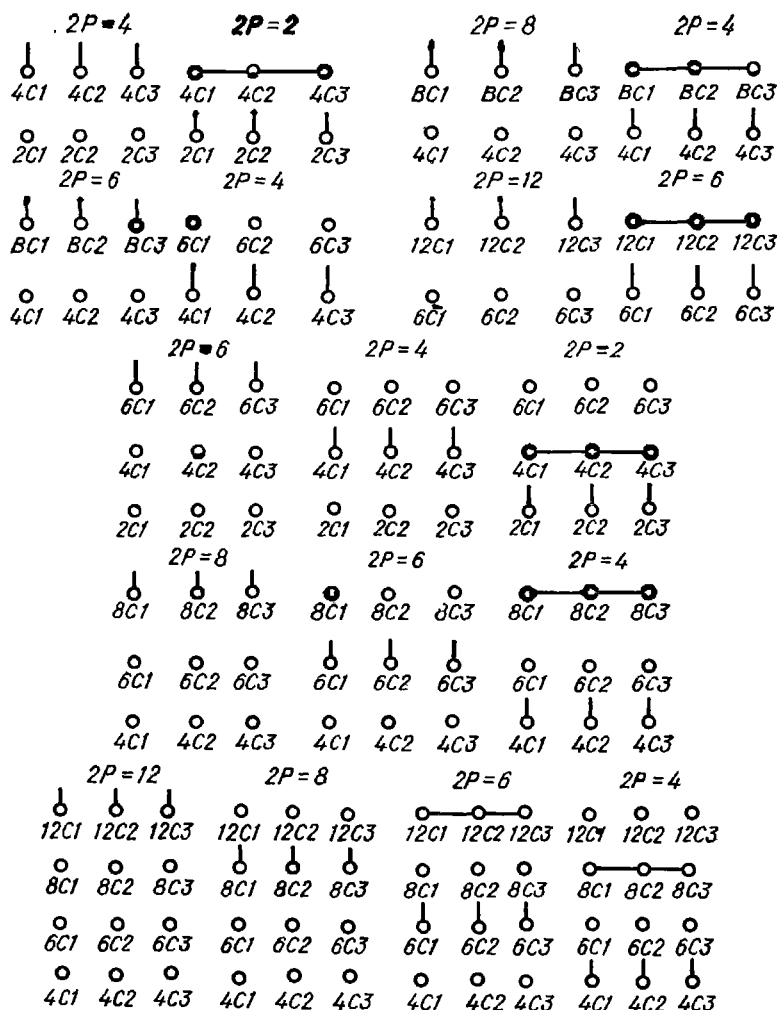


Рис 39. Схемы соединения обмоток многоскоростных асинхронных электродвигателей на две, три и четыре частоты вращения

будет отсутствовать. После того как определены одноименные выводы двух фаз, определяют выводы третьей фазы. Для этого одну из фаз, выводы которой определены, соединяют последовательно с третьей фазой и повторяют опыт.

Схема соединения трехфазных обмоток односкоростного

асинхронного двигателя при наличии шести выводов показана на рис. 38.

Для получения необходимых сочетаний чисел полюсов многоскоростных асинхронных двигателей, обеспечивающих требуемую комбинацию частот вращения (от 500 до 3000 об/мин), двигатели имеют специальные схемы обмотки (рис. 39).

При включении двигатель отключается вследствие срабатывания защиты или перегорания предохранителей. Причиной этого может быть: перегрузка двигателя; неисправность приводимого механизма; короткое замыкание в цепи двигателя; пуск при рабочем (а не пусковом) положении механизма; переход от одной ступени пускового сопротивления к другой в процессе пуска совершается слишком быстро, до спада тока; пуск двигателя с фазным ротором произведен с закороченным пусковым сопротивлением.

Двигатель с фазным ротором при пуске вращается с уменьшенной вдвое скоростью и сильно гудит. Причиной неисправности является обрыв в одной фазе роторной цепи (внутри обмотки, в одном из проводов, соединяющих щетки с пусковым сопротивлением, в самом пусковом сопротивлении).

Двигатель с фазным ротором разворачивается при разомкнутой цепи ротора. Причина — короткое замыкание в обмотке ротора. В этом случае при пуске с нагрузкой двигатель медленно разворачивается, а обмотка ротора сильно нагревается. Нагрев обмотки объясняется тем, что в замкнутых накоротко витках вращающимся полем статора наводится ЭДС и протекает значительный ток.

Двигатель вращается, но частота вращения его ниже номинальной при номинальной нагрузке. Это происходит при пониженном напряжении на зажимах статора; соединении обмотки статора звездой вместо соединения треугольником; большом сопротивлении или плохом контакте в цепи ротора.

НЕИСПРАВНОСТИ ЭЛЕКТРОДВИГАТЕЛЯ, ОБНАРУЖИВАЕМЫЕ ВО ВРЕМЯ ЕГО РАБОТЫ

В обмотке статора наблюдается сильный местный нагрев, что сопровождается гудением и резким снижением частоты вращения двигателя, при этом ток в фазах неодинаков. В этом случае возможны: замыкание между вит-

ками в одной фазе обмотки статора; короткое замыкание между двумя фазами обмотки статора; замыкание обмотки на корпус в двух местах; неправильное присоединение выводов одной фазы.

В обмотках при коротких замыканиях образуются замкнутые контуры, в которых наводится ЭДС вращающимся магнитным потоком и, следовательно, в этих контурах могут циркулировать большие токи, вызывающие нагрев, расплавление паек и обугливание изоляции, а при длительной работе двигателя могут нанести повреждение и активной стали.

Замыкание обмоток на корпус может произойти при пробое изоляции. В этом случае рассоединяют обмотку и мегомметром определяют поврежденную фазу, присоединяя один конец его к корпусу, а второй поочередно к фазам. При определении места повреждения рекомендуется пошевелить обмотку у подозрительных мест. Это создает изменение контакта, а следовательно, и изменение сопротивления. Если обнаружить место повреждения не удастся, можно прибегнуть к «прожиганию». Один конец фазы присоединяют через предохранитель на 30—40 А к корпусу, второй — к сети. При прохождении тока по обмоткам из места замыкания появляется дым.

Сильный местный нагрев активной стали статора при холостом ходе двигателя и при номинальном напряжении сети является следствием нарушения изоляции между ее отдельными листами, которое может возникнуть при задевании ротором статора или при оплавлении стали в местах повреждения обмотки пробоем на корпус. Места оплавления следует вырубить, зачистить напильником, не оставляя заусенцев, и между отдельными листами стали проложить тонкий электрокартон, покрытый лаком. При большом количестве поврежденных зубцов необходимо производить полную перешихтовку стали.

Общий перегрев активной стали при работе двигателя с нагрузкой происходит от увеличения магнитной индукции в стали из-за неправильного включения двигателя или питания его током с повышенным напряжением. При этом увеличивается потребление двигателем реактивного тока и снижается его $\cos \varphi$.

Неправильное включение двигателя в сеть имеет место в тех случаях, когда для данного напряжения предусмотрено включение обмотки статора в звезду, а ее соединяют в треугольник. Это приводит к резкому увеличению тока холос-

того хода, появлению магнитного шума и нагрева стали. Повышенное напряжение на зажимах двигателя следует снизить соответствующим переключением ответвления трансформатора.

Причиной увеличения магнитной индукции в стали у двигателей, прошедших ремонт, может быть недостаточное количество витков в обмотке фазы, неправильное соединение катушечных групп с увеличением числа параллельных ветвей или недостаточное количество витков в катушках. Такой двигатель к эксплуатации непригоден и требует устранения дефектов.

Обмотки и активная сталь двигателя равномерно и сильно нагреваются. Такое явление может наблюдаться при значительной перегрузке двигателя; засорении вентиляционных путей; эксплуатации электродвигателей, предназначенных для кратковременного или повторно-кратковременного режима работы, с относительной продолжительностью включения, превышающей номинальную. При перегрузке двигателя возрастает потребляемый им из сети ток, что вызывает повышенный нагрев обмотки (нагрев пропорционален квадрату тока) и в результате перегрев активной стали.

Засорение вентиляционных путей двигателя часто наблюдается на текстильных, цементных, деревообделочных и других предприятиях. В этом случае необходимо очистить двигатель и продуть его сжатым воздухом.

Контакты на зажимах двигателя сильно нагреваются. Это свидетельствует о слабой затяжке гаек контактных болтов или малой их площади сечения. Для устранения этой неисправности рекомендуется на контактных болтах применять контргайки, пружинящие шайбы и другие устройства, способствующие сохранению контакта. В случае необходимости следует применять контактные болты с большой площадью сечения.

Контактные кольца и щетки перегреваются. Причина — либо слишком сильное нажатие щеток на контактные кольца, либо слабая вентиляция контактных колец и щеток.

Щетки сильно искрят и обгорают контактные кольца двигателя с фазным ротором. Это является следствием загрязнения контактных колец и щеток; слабого нажатия щеток (в этом случае следует отрегулировать величину нажатия щеток в соответствии с их маркой); плохой пришлифовки щеток или биением контактных колец (устраняется путем проточки и шлифовки); неравномерного распределения

тока между отдельными щетками (необходимо проверить все контакты траверсы, токоподводов, щеткодержателей и щеток, отрегулировать величину нажатия щеток в соответствии с их маркой); несоответствия марки щеток данному электродвигателю.

Щетки и контактные кольца быстро изнашиваются. Основными причинами этого являются: неравномерное распределение тока между отдельными щетками; сильное нажатие щеток на контактные кольца; большая плотность тока в щетках; неровная поверхность или загрязнение контактных колец; искрение щеток; вибрация ротора.

Ротор задевает статор. Признаками этого являются: вибрация двигателя, которая сопровождается характерным шумом; появление дыма, запаха гари и искр. Причина заключается в нарушении величины зазора между ротором и статором из-за износа подшипников, смещения подшипниковых щитов. При повреждении подшипников качения происходит оседание ротора, что является непосредственной причиной задевания статора ротором.

Ненормальная работа подшипника может быть вызвана неправильной посадкой, перекосами, зажатием шариков, отсутствием смазки.

Во избежание проникновения в подшипники абразивной пыли и влаги все промежутки между вращающимися и неподвижными деталями уплотнений должны тщательно заполняться смазкой.

Вибрация двигателя. Повышенные вибрации могут возникнуть по причинам механического или электромагнитного характера. К механическим причинам относятся: неуравновешенность вращающихся частей (ротора, муфты, шкива); нарушение центровки агрегата при соединении электродвигателя с приводимым механизмом при помощи муфты; ослабление посадки вращающихся частей на валу (ротора, шкива, полумуфты); искривление вала; недостаточно прочное закрепление двигателя на фундаменте, ослабление затяжки болтов, крепящих подшипниковые щиты к корпусу; колебания фундамента или металлической конструкции, на которой установлен двигатель, вследствие вибрации соседних двигателей.

Электромагнитными причинами вибрации двигателя являются неправильно выполненные соединения в обмотке статора; короткое замыкание в обмотке фазного ротора; обрыв или плохой контакт в обмотке ротора.

Чтобы установить причину вибрации, необходимо тщательно обследовать двигатель. Если вибрация после отключения двигателя исчезает немедленно, то причиной ее является биение стали ротора или короткое замыкание в обмотке фазного ротора. Если во время работы двигателя величина тока во всех фазах различна и двигатель сильно гудит, а после отключения вибрация исчезает, то причиной ее является неправильное соединение в обмотке статора. Если же после отключения двигателя вибрация продолжается и исчезает только после значительного снижения частоты его вращения, а ток во всех фазах до отключения одинаков, то вибрация является следствием механических причин.

ОБЕСПЕЧЕНИЕ НАДЕЖНОСТИ АСИНХРОННЫХ ЭЛЕКТРОДВИГАТЕЛЕЙ ПРИ ИХ МОНТАЖЕ И ЭКСПЛУАТАЦИИ

Технический уровень производства в любой отрасли в значительной мере определяется надежностью работы и долговечностью электроустановок. Надежность электроустановок в целом зависит от надежности помещенных в них электрических устройств, электрических сетей и правильной эксплуатации.

Основная роль в электротехнических устройствах отводится электродвигателям.

К наиболее часто встречающимся неисправностям, вызываемым неудовлетворительным изготовлением и ремонтом электродвигателей, относятся: для обмоток статоров — ослабление крепления секций, увлажнение изоляции (с последующим замыканием витков), ослабление пазовых клиньев с последующим их выпадением в воздушный зазор; для обмоток роторов — обрыв стержней в пазах и в месте припайки их к кольцам короткозамкнутого ротора. Кроме того, значительное число отказов электродвигателей вызвано плохой пропиткой их обмоток, что приводит к ухудшению электрических и механических характеристик изоляции и снижению ее нагревостойкости и теплопроводности.

При эксплуатации электродвигателей часто происходят отказы в результате попадания **внутрь** масла и воды, загрязнения обмоток пылью, попадания предметов на обмотки, перегрузки по току, плохой балансировки ро-

тора после ремонта, неудовлетворительной токовой и тепловой защиты. Нередко из-за чрезмерно плотной набивки подшипников смазкой происходит их перегрев и смазка вытекает из узла на обмотку. Смазка не должна превышать $\frac{2}{3}$ свободного объема узла, а в скоростных подшипниках — половины или трети его объема. На надежность подшипниковых узлов электродвигателей влияет также рациональный выбор смазочных материалов в зависимости от конкретных условий эксплуатации.

Отказы частей электродвигателей характеризуются следующими данными: обмотка (65—80 %), подшипниковый узел (около 13 %), вводное устройство (7—22 %) и др.

Для обеспечения надежности при монтаже асинхронных электродвигателей электрические и механические параметры их должны соответствовать параметрам производственных механизмов, а исполнение электродвигателей — условиям окружающей среды.

Электродвигатели и их коммутационные аппараты должны выбираться с таким расчетом, чтобы их температура нагрева при работе не превышала допустимых значений. Их следует устанавливать таким образом, чтобы исключалась возможность попадания на их обмотки и токосъемные устройства воды, масла, эмульсии, а вибрация оборудования, фундаментов и частей зданий не превышала допустимых значений.

При приемке электродвигателей необходимо определить их общее состояние без дополнительной разборки, измерить сопротивление изоляции обмоток, траверс, изолированных подшипников и других изолированных частей мегомметром на соответствующее напряжение.

Качество монтажа электродвигателей предъявляет определенные требования к фундаментам, подшипникам скольжения и качения, валам электродвигателей, воздушным зазорам между статором и ротором.

В процессе эксплуатации необходимо систематически производить технический осмотр электродвигателей. Периодичность осмотров устанавливается в зависимости от местных условий, но не реже одного раза в 2 месяца.

Требуют тщательного наблюдения и ухода подшипники и другие активные элементы электродвигателей. Температура их не должна превышать допустимых пределов. Сорт масла для подшипников должен соответ-

ствовать техническим условиям на данный тип машины.

Плавкие вставки предохранителей должны быть калиброваны с указанием их номинальных токов.

Выключатели, контакторы, магнитные пускатели, рубильники, пускорегулирующие устройства, а также предохранители должны иметь надписи, указывающие, к какой электрической машине они относятся.

Аварийное отключение электродвигателя от сети осуществляется в следующих случаях: при появлении дыма или огня из электродвигателя или его пускорегулирующей аппаратуры; вибрации сверх допустимых норм, угрожающей целостности электродвигателя; поломке приводного механизма; нагреве подшипника сверх допустимой температуры, значительном снижении частоты вращения, сопровождающемся быстрым нагревом электродвигателя; несчастном случае (или угрозе возникновения его).

Периодичность ремонтов электродвигателей устанавливается главным энергетиком предприятия в зависимости от местных условий.

Текущий ремонт и обдувка электродвигателей должны, как правило, производиться одновременно с ремонтом приводимых механизмов. Капитальный ремонт электродвигателей ответственных механизмов, работающих в тяжелых температурных условиях и при загрязненности окружающей среды, должен производиться не реже одного раза в 2 года.

ПРИЛОЖЕНИЕ

АСИНХРОННЫЕ ЭЛЕКТРОДВИГАТЕЛИ ЕДИНОЙ СЕРИИ 4А И ИХ МОДИФИКАЦИИ

Электродвигатели основного исполнения. Единая серия 4А охватывает диапазон мощностей от 0,06 до 400 кВт и высоты оси вращения от 50 до 355 мм.

По степени защиты электродвигатели изготавливаются в двух исполнениях: IP44 — закрытое обдуваемое и IP23 — защищенное. Электродвигатели IP23 выпускаются только в основном исполнении.

Электродвигатели изготавливаются на номинальные напряжения согласно табл. 83 и частоту сети 50 Гц (60 Гц — по заказу потребителя).

83. Номинальные напряжения электродвигателей серии 4А

| P_n , кВт | U_n , В | Схема соединения | Число выводных концов |
|-----------------|-------------------|------------------|-----------------------|
| От 0,06 до 0,37 | 220 и 380 | Δ или Y | 3 |
| » 0,55 » 11 | 220, 380 и 660 | | |
| » 15 » 110 | 220/380 и 380/660 | Δ/Y | 6 |
| » 132 » 400 | 380/660 | | |

Исполнение электродвигателей по способу монтажа отвечает требованиям ГОСТ 19523—74 и 2479—65.

Структура условных обозначений электродвигателей (табл. 84, 85): 4 — порядковый номер серии; А — вид электродвигателя (асинхронный); исполнение электродвигателя по способу защиты от воздействия окружающей среды (II — защищенное, при отсутствии данной буквы — закрытое обдуваемое); исполнение электродвигателя по материалу станины и щитов (А — станина и щиты алюминиевые, Х — любое сочетание чугуна и алюминия в качестве материалов станины и щитов; отсутствие знаков означает, что станина или щиты чугунные или стальные); высота оси вращения (три или две цифры); установочный размер по длине станины (S, M или L); длина сердечника статора (А или В) при условии сохранения установочного размера, отсутствие букв означает наличие только одной длины сердечника; число полюсов 2, 4, 6, 8, 10 или 12; УЗ — климатическое исполнение и категория размещения по ГОСТ 15150—69.

В электродвигателях с высотами оси вращения 50—132 мм применяется изоляция класса нагревостойкости В, с высотами оси вращения 160—355 мм — класса F (ГОСТ 8865—70).

В электродвигателях с высотами оси вращения 50—132 мм применяются герметизированные подшипники серии 18 000 с заложеной смазкой на срок службы не менее 12000 ч, с высотами оси вращения 160—355 мм предусмотрено два вида подшипниковых узлов: с наложением смазки только при разборке электродвигателя и устройством для пополнения смазки без разборки электродвигателя.

Выводное устройство служит для подключения электродвигателя к сети с помощью кабелей в оболочке из резины или пластмассы, а также бронированных кабелей. Возможно подключение кабелей, защищенных металлорукавом или газовой трубой. Для подключения могут применяться кабели с медными или алюминиевыми жилами.

Структура условного обозначения различных исполнений вводных устройств: К — коробка выводов; З — с панелью выводов или 2 — без панели выводов; М — с удлинителем под сухую разделку кабеля или заливку кабельной массой; 1 — с одним штуцером, II — с двумя штуцерами.

Электродвигатели изготавливаются нормальной и повышенной точности.

Электродвигатели с повышенным пусковым моментом (табл. 86) предназначены для привода механизмов, имеющих большие статические и инерционные нагрузки в момент пуска (компрессоры, конвейеры, насосы, шлифовальные станки, поворотные круги и т. д.). В отличие от основного исполнения ротор этих электродвигателей имеет двойную клетку, залитую алюминием, обеспечивающую повышение пускового момента и снижение пускового тока. Электродвигатели с повышенным пусковым моментом выпускаются с высотами оси вращения от 160 до 250 мм.

Обозначение электродвигателей с повышенным пусковым моментом отличается от обозначения двигателей основного исполнения добавлением буквы Р, например, 4AP180M4Y3.

Электродвигатели с повышенным скольжением (табл. 87, 88) предназначены для работы в повторно-кратковременном режиме с частым пуском или пульсирующей нагрузкой (штамповочные прессы, молоты, кузнечно-ковочные машины, поршневые компрессоры и т. д.).

В отличие от основного исполнения ротор этих электродвигателей имеет уменьшенные размеры пазов и заливается специальным сплавом повышенного сопротивления, что обеспечивает «мягкую» механическую характеристику.

Электродвигатели с повышенным скольжением выпускаются с высотами оси вращения 71—250 мм.

В обозначении электродвигателей с повышенным скольжением добавляется буква С, например, 4AC180M6Y3.

Многоскоростные электродвигатели (табл. 89) выпускаются на две, три, четыре частоты вращения и предназначены для привода механизмов со ступенчатой регулировкой частоты вращения (металлообрабатывающие станки, некоторые виды лебедок, механические колосниковые решетки и т. п.) от 500 до 3000 об/мин. Для получения необходимых сочетаний чисел полюсов, обеспечивающих требуемую комбинацию частот вращения, электродвигатели имеют специальные схемы (рис. 39).

В обозначении многоскоростных электродвигателей дополнительно указываются числа полюсов, соответствующие частотам вращения, например, 4AI32S4/2Y3.

Электродвигатели с фазным ротором. В серии 4А электродвигатели с фазным ротором предусмотрены с высотами оси вращения 160—250 мм со степенью защиты IP44 (4AK160—250); с высотами оси вращения 160—355 мм со степенью защиты IP23 (4ANK160—355). Шкала мощностей электродвигателей 4AK, 4АНК и ее связь с установочными размерами приведены в табл. 90.

Малошумные электродвигатели (табл. 91) предназначены для работы в приводах с повышенными требованиями к уровню шума. Они выпускаются с высотами оси вращения 56—160 мм и отличаются от электродвигателей основного исполнения наличием двухслойной обмотки с укороченным шагом, числом пазов ротора, обеспечивающим минимальный магнитный шум, увеличением скоса пазов ротора до 1,5 зубцового деления, наличием повышенного воздушного зазора с минимальной неравномерностью, применением пластмассового вентилятора.

По уровню звука электродвигатели соответствуют требованиям ГОСТ 16372—70 для машин 3-го класса. Допустимые вибрации соответствуют ГОСТ 16921—71. Классы вибрации следующие: для высот оси вращения 56—71 мм и частот вращения 1500, 1000, 750 об/мин — 0,7, соответственно для высот оси вращения 80—132 мм — 1,1, для высоты оси вращения 160 мм и частоты вращения 1500 об/мин — 1,1, для частот вращения 1000, 750 об/мин — 0,7.

В обозначение малошумных электродвигателей добавляется буква Н, например, 4А160М4НУЗ.

Встраиваемые электродвигатели предназначены для встраивания в станки и механизмы. Они поставляются в виде обмотанного статорного сердечника и ротора в двух вариантах: с вентилятором и без него.

При поставке электродвигателей с вентилятором указывается размер отверстий для прохода охлаждающего воздуха, без вентилятора — расход воздуха, необходимого для охлаждения электродвигателя до температуры, допустимой данным классом нагревостойкости изоляции.

Встраиваемые электродвигатели могут поставляться как в основном, так и специализированных исполнениях и соответствующих модификациях.

Технические данные встраиваемых электродвигателей аналогичны данным электродвигателей основного исполнения со степенью защиты IP44 или их модификаций (ГОСТ 19523—74).

Электродвигатели со встроенной температурной защитой предназначены для привода механизмов, работающих со значительными перегрузками, частыми пусками и т. д.

Температурная защита обеспечивает продолжительную работу электродвигателей без ложных срабатываний при температуре обмоток, измеренной по методу сопротивления и соответствующей предельной для данного класса изоляции; отключение электродвигателя при любых режимах, приводящих к чрезмерному перегреву обмоток; полное использование перегрузочной способности электродвигателя в пределах допустимых перегревов, достаточное быстроедействие и минимальное время возврата после устранения неисправностей или перегрузок.

В лобовые части обмоток электродвигателей устанавливаются полупроводниковые датчики температуры (терморезисторы). Электродвигатели работают в комплекте со специальными устройствами температурной защиты, дающими сигнал на отключение.

Электродвигатели поставляются в основном исполнении, а также в электрических модификациях и специализированном исполнении. В обозначение электродвигателей добавляется буква Б, например, 4А132М4БУЗ.

| Тип | P_H , кВт | n_H , об/мин | I_H , А | η_H , % | $\cos \varphi_H$ | $\frac{I_{пуск}}{I_H}$ | $\frac{M_{пуск}}{M_H}$ | $\frac{M_{мин}}{M_H}$ | $\frac{M_{макс}}{M_H}$ | Максимальный момент, кгс м |
|---|-------------|----------------|-----------|--------------|------------------|------------------------|------------------------|-----------------------|------------------------|----------------------------|
| Закрытое обдуваемое исполнение Синхронная частота вращения 3000 об/мин | | | | | | | | | | |
| 4А50А2У3 | 0,09 | 2740 | 0,32 | 60,0 | 0,70 | 4,0 | 2,0 | 1,8 | 2,2 | $0,25 \times 10^{-4}$ |
| 4А50В2У3 | 0,12 | 2710 | 0,32 | 63,0 | 0,70 | 4,0 | 2,0 | 1,8 | 2,2 | $0,27 \times 10^{-4}$ |
| 4А56А2У3 | 0,18 | 2800 | 0,54 | 66,0 | 0,76 | 4,0 | 2,0 | 1,5 | 2,2 | $4,15 \times 10^{-4}$ |
| 4А56В2У3 | 0,25 | 2770 | 0,74 | 68,0 | 0,77 | 4,0 | 2,0 | 1,5 | 2,2 | $4,65 \times 10^{-4}$ |
| 4А63А2У3 | 0,37 | 2750 | 0,93 | 70,0 | 0,86 | 4,5 | 2,0 | 1,5 | 2,2 | $7,63 \times 10^{-4}$ |
| 4А63В2У3 | 0,55 | 2740 | 1,33 | 73,0 | 0,86 | 4,5 | 2,0 | 1,5 | 2,2 | 9×10^{-4} |
| 4А71А2У3 | 0,75 | 2840 | 1,7 | 77,0 | 0,87 | 5,5 | 2,0 | 1,5 | 2,2 | $9,8 \times 10^{-4}$ |
| 4А71В2У3 | 1,1 | 2810 | 2,5 | 77,5 | 0,87 | 5,5 | 2,0 | 1,5 | 2,2 | $10,5 \times 10^{-4}$ |
| 4А80А2У3 | 1,5 | 2850 | 3,3 | 81,0 | 0,85 | 6,5 | 2,1 | 1,4 | 2,6 | $18,3 \times 10^{-4}$ |
| 4А80В2У3 | 2,2 | 2850 | 4,7 | 83,0 | 0,87 | 6,5 | 2,1 | 1,4 | 2,5 | $21,3 \times 10^{-4}$ |
| 4А90Л2У3 | 3,0 | 2840 | 6,1 | 84,5 | 0,88 | 6,5 | 2,1 | 1,6 | 2,5 | $0,35 \times 10^{-2}$ |
| 4А100С2У3 | 4,0 | 2880 | 7,8 | 86,5 | 0,89 | 7,5 | 2,0 | 1,6 | 2,5 | $0,6 \times 10^{-2}$ |
| 4А100Л2У3 | 5,5 | 2880 | 10,5 | 87,5 | 0,91 | 7,5 | 2,0 | 1,6 | 2,5 | 3×10^{-2} |
| 4А112М2У3 | 7,5 | 2900 | 14,9 | 87,5 | 0,88 | 7,5 | 2,0 | 1,8 | 2,8 | 4×10^{-2} |
| 4А132М2У3 | 11,0 | 2900 | 21,2 | 88,0 | 0,90 | 7,5 | 1,7 | 1,5 | 2,8 | 9×10^{-2} |
| 4А160С2У3 | 15,0 | 2940 | 28,5 | 88,0 | 0,91 | 7,0 | 1,4 | 1,0 | 2,2 | 19×10^{-2} |
| 4А160М2У3 | 18,5 | 2940 | 34,5 | 88,5 | 0,92 | 7,0 | 1,4 | 1,0 | 2,2 | 21×10^{-2} |
| 4А180С2У3 | 22,0 | 2945 | 41,6 | 88,5 | 0,91 | 7,5 | 1,4 | 1,1 | 2,5 | 28×10^{-2} |
| 4А180М2У3 | 30,0 | 2945 | 56,0 | 90,5 | 0,90 | 7,5 | 1,4 | 1,1 | 2,5 | 34×10^{-2} |
| 4А200М2У3 | 37,0 | 2945 | 70,0 | 90,0 | 0,89 | 7,5 | 1,4 | 1,0 | 2,5 | 58×10^{-2} |
| 4А200Л2У3 | 45,0 | 2945 | 83,8 | 91,0 | 0,90 | 7,5 | 1,4 | 1,0 | 2,5 | 67×10^{-2} |
| 4А225М2У3 | 55,0 | 2945 | 100,0 | 91,0 | 0,92 | 7,5 | 1,4 | 1,2 | 2,5 | 1,0 |
| 4А250С2У3 | 75,0 | 2960 | 140,0 | 91,0 | 0,89 | 7,5 | 1,2 | 1,0 | 2,5 | 1,86 |
| 4А250М2У3 | 90,0 | 2960 | 165,0 | 92,0 | 0,90 | 7,5 | 1,2 | 1,0 | 2,5 | 2,03 |

| Синхронная частота вращения 1500 об/мин | | | | | | | | | |
|---|-------|------|-------|------|------|-----|-----|-----|-----------------------|
| 4A280S2Y3 | 110,0 | 2970 | 206,0 | 91,0 | 0,89 | 7,0 | 1,2 | 1,0 | 4,36 |
| 4A280M2Y3 | 132,0 | 2970 | 247,0 | 91,5 | 0,89 | 7,0 | 1,2 | 1,0 | 4,76 |
| 4A315S2Y3 | 160,0 | 2970 | 294,0 | 92,0 | 0,90 | 6,5 | 1,2 | 0,9 | 5,6 |
| 4A315M2Y3 | 200,0 | 2970 | 365,0 | 92,5 | 0,90 | 7,0 | 1,2 | 0,9 | 6,5 |
| 4A355S2Y3 | 250,0 | 2970 | 459,0 | 92,5 | 0,90 | 7,0 | 1,0 | 0,9 | 11,4 |
| 4A355M2Y3 | 315,0 | 2970 | 565,0 | 93,0 | 0,91 | 7,0 | 1,0 | 0,9 | 12,9 |
| 4A50A4Y3 | 0,06 | 1380 | 0,31 | 50,0 | 0,60 | 2,5 | 2,0 | 1,7 | $1,15 \times 10^{-4}$ |
| 4A50B4Y3 | 0,09 | 1370 | 0,42 | 55,0 | 0,60 | 2,5 | 2,0 | 1,7 | $1,3 \times 10^{-4}$ |
| 4A56A4Y3 | 0,12 | 1375 | 0,44 | 63,0 | 0,66 | 3,5 | 2,1 | 1,5 | 28×10^{-4} |
| 4A56B4Y3 | 0,18 | 1365 | 0,66 | 64,0 | 0,64 | 3,5 | 2,1 | 1,5 | $31,5 \times 10^{-4}$ |
| 4A63A4Y3 | 0,25 | 1380 | 0,85 | 68,0 | 0,65 | 4,0 | 2,0 | 1,5 | $49,5 \times 10^{-4}$ |
| 4A63B4Y3 | 0,37 | 1365 | 1,2 | 68,0 | 0,69 | 4,0 | 2,0 | 1,5 | 55×10^{-4} |
| 4A71A4Y3 | 0,55 | 1390 | 1,7 | 70,5 | 0,70 | 4,5 | 2,0 | 1,8 | 52×10^{-4} |
| 4A71B4Y3 | 0,75 | 1390 | 2,17 | 72,0 | 0,73 | 4,5 | 2,0 | 1,8 | 57×10^{-4} |
| 4A80A4Y3 | 1,1 | 1420 | 2,76 | 75,0 | 0,81 | 5,0 | 2,0 | 1,6 | $1,29 \times 10^{-2}$ |
| 4A80B4Y3 | 1,5 | 1415 | 2,56 | 77,0 | 0,83 | 5,0 | 2,0 | 1,6 | $1,33 \times 10^{-2}$ |
| 4A90L4Y3 | 2,2 | 1425 | 5,02 | 80,0 | 0,83 | 6,0 | 2,1 | 1,6 | $2,24 \times 10^{-2}$ |
| 4A100S4Y3 | 3,0 | 1435 | 6,7 | 82,0 | 0,83 | 6,0 | 2,0 | 1,6 | $3,47 \times 10^{-2}$ |
| 4A100L4Y3 | 4,0 | 1430 | 8,6 | 84,0 | 0,84 | 6,0 | 2,0 | 1,6 | $4,5 \times 10^{-2}$ |
| 4A112M4Y3 | 5,5 | 1445 | 11,5 | 85,5 | 0,85 | 7,0 | 2,0 | 1,6 | $7,0 \times 10^{-2}$ |
| 4A132S4Y3 | 7,5 | 1455 | 11,1 | 87,5 | 0,86 | 7,5 | 2,2 | 1,7 | $11,0 \times 10^{-2}$ |
| 4A132M4Y3 | 11,0 | 1460 | 22,0 | 87,5 | 0,87 | 7,5 | 1,4 | 1,7 | 16×10^{-2} |
| 4A160S4Y3 | 15,0 | 1465 | 29,3 | 88,5 | 0,88 | 7,0 | 1,4 | 1,0 | 41×10^{-2} |
| 4A160M4Y3 | 18,5 | 1465 | 35,7 | 89,5 | 0,88 | 7,0 | 1,4 | 1,0 | 51×10^{-2} |
| 4A180S4Y3 | 22,0 | 1470 | 41,3 | 90,0 | 0,90 | 6,5 | 1,4 | 1,0 | 76×10^{-2} |
| 4A180M4Y3 | 30,0 | 1470 | 56,0 | 91,0 | 0,89 | 6,5 | 1,4 | 1,0 | 93×10^{-2} |
| 4A200M4Y3 | 37,0 | 1475 | 68,8 | 91,0 | 0,90 | 7,0 | 1,4 | 1,0 | 1,47 |
| 4A200L4Y3 | 45,0 | 1475 | 82,6 | 92,0 | 0,90 | 7,0 | 1,4 | 1,0 | 1,78 |
| 4A225M4Y3 | 55,0 | 1480 | 100,0 | 92,5 | 0,90 | 7,0 | 1,3 | 1,0 | 2,56 |
| 4A250S4Y3 | 75,0 | 1480 | 136,0 | 93,0 | 0,90 | 7,0 | 1,2 | 1,0 | 2,5 |
| 4A250M4Y3 | | | | | | | | | 2,3 |

| Тип | $P_{н'}$ кВт | $n_{н'}$ об/мин | $I_{н'}$ А | $\eta_{н'}$ % | $\cos \varphi_{н'}$ | $\frac{I_{пуск}}{I_{н'}}$ | $\frac{M_{пуск}}{M_{н'}}$ | $\frac{M_{мин}}{M_{н'}}$ | $\frac{M_{макс}}{M_{н'}}$ | Маховой мо- мент, кгс м ² |
|---|-----------------|--------------------|------------|---------------|---------------------|---------------------------|---------------------------|--------------------------|---------------------------|---|
| 4А250М4У3 | 90,0 | 1480 | 162,0 | 93,0 | 0,91 | 7,0 | 1,2 | 1,0 | 2,3 | 4,67 |
| 4А280С4У3 | 110,0 | 1470 | 201,0 | 92,5 | 0,90 | 5,5 | 1,2 | 1,0 | 2,0 | 9,2 |
| 4А280М4У3 | 132,0 | 1480 | 240,0 | 93,0 | 0,90 | 5,5 | 1,3 | 1,0 | 2,0 | 9,9 |
| 4А315С4У3 | 160,0 | 1480 | 285,0 | 93,5 | 0,91 | 6,0 | 1,3 | 0,9 | 2,2 | 12,3 |
| 4А315М4У3 | 200,0 | 1480 | 351,0 | 94,0 | 0,92 | 6,0 | 1,3 | 0,9 | 2,2 | 14,5 |
| 4А355С4У3 | 250,0 | 1485 | 438,0 | 94,5 | 0,92 | 7,0 | 1,2 | 0,9 | 2,0 | 24,0 |
| 4А355М4У3 | 315,0 | 1485 | 549,0 | 94,5 | 0,92 | 7,0 | 1,2 | 0,9 | 2,0 | 28,2 |
| Синхронная частота вращения 1000 об/мин | | | | | | | | | | |
| 4А63А6У3 | 0,18 | 885 | 0,78 | 56,0 | 0,62 | 3,0 | 2,2 | 1,5 | 2,2 | $69,4 \times 10^{-4}$ |
| 4А63В6У3 | 0,25 | 890 | 1,04 | 59,0 | 0,62 | 3,0 | 2,2 | 1,5 | 2,2 | 86×10^{-4} |
| 4А71А6У3 | 0,37 | 910 | 1,26 | 64,5 | 0,69 | 4,0 | 2,0 | 1,8 | 2,2 | 67×10^{-4} |
| 4А71В6У3 | 0,55 | 900 | 1,74 | 67,5 | 0,71 | 4,0 | 2,0 | 1,8 | 2,2 | 81×10^{-4} |
| 4А80А6У3 | 0,75 | 915 | 2,24 | 69,0 | 0,74 | 4,0 | 2,0 | 1,6 | 2,2 | $1,85 \times 10^{-4}$ |
| 4А80В6У3 | 1,1 | 920 | 3,05 | 74,0 | 0,74 | 4,0 | 2,0 | 1,6 | 2,2 | $1,84 \times 10^{-4}$ |
| 4А90Л6У3 | 1,5 | 935 | 4,10 | 75,0 | 0,74 | 4,5 | 2,0 | 1,7 | 2,2 | $2,94 \times 10^{-2}$ |
| 4А100Л6У3 | 2,2 | 950 | 5,65 | 81,0 | 0,73 | 5,0 | 2,0 | 1,6 | 2,2 | $5,24 \times 10^{-2}$ |
| 4А112М6У3 | 3,0 | 955 | 7,40 | 81,0 | 0,76 | 6,0 | 2,0 | 1,8 | 2,5 | 7×10^{-2} |
| 4А112М6ВУ3 | 4,0 | 950 | 9,13 | 82,0 | 0,81 | 6,0 | 2,0 | 1,8 | 2,5 | 8×10^{-2} |
| 4А132С6У3 | 5,5 | 965 | 12,2 | 85,0 | 0,80 | 6,5 | 2,0 | 1,8 | 2,5 | 16×10^{-2} |
| 4А132М6У3 | 7,5 | 870 | 16,5 | 85,5 | 0,81 | 6,5 | 2,0 | 1,8 | 2,5 | 23×10^{-2} |
| 4А160С6У3 | 11,0 | 975 | 22,6 | 86,0 | 0,86 | 6,0 | 1,2 | 1,0 | 2,0 | 55×10^{-2} |
| 4А160М6У3 | 15,0 | 975 | 30,0 | 87,5 | 0,87 | 6,0 | 1,2 | 1,0 | 2,0 | 73×10^{-2} |
| 4А180М6У3 | 18,5 | 975 | 36,6 | 88,0 | 0,87 | 5,0 | 1,2 | 1,0 | 2,0 | 88×10^{-2} |
| 4А200М6У3 | 22,0 | 975 | 41,3 | 90,0 | 0,90 | 6,5 | 1,3 | 1,0 | 2,4 | 1,60 |
| 4А200Л6У3 | 30,0 | 980 | 56,0 | 90,5 | 0,90 | 6,5 | 1,3 | 1,0 | 2,4 | 1,81 |
| 4А225М6У3 | 37,0 | 980 | 69,4 | 91,0 | 0,89 | 6,5 | 1,2 | 1,0 | 2,3 | 2,95 |

| | | | | | | | | | | |
|--|-------|-----|-------|------|------|-----|-----|-----|-----|-----------------------|
| 4A250S6Y3 | 45,0 | 985 | 84,0 | 91,5 | 0,89 | 6,5 | 1,2 | 1,0 | 2,1 | 4,62 |
| 4A250M6Y3 | 55,0 | 985 | 103,0 | 91,5 | 0,89 | 6,5 | 1,2 | 1,0 | 2,1 | 5,04 |
| 4A280S6Y3 | 75,0 | 985 | 139,0 | 92,0 | 0,89 | 6,5 | 1,4 | 1,2 | 2,2 | 11,7 |
| 4A280M6Y3 | 90,0 | 985 | 165,0 | 92,5 | 0,89 | 5,5 | 1,4 | 1,2 | 2,2 | 13,5 |
| 4A315S6Y3 | 110,0 | 985 | 199,0 | 93,0 | 0,90 | 5,5 | 1,4 | 0,9 | 2,2 | 16,0 |
| 4A315M6Y3 | 132,0 | 985 | 239,0 | 93,5 | 0,90 | 6,5 | 1,4 | 0,9 | 2,2 | 18,0 |
| 4A355S6Y3 | 160,0 | 985 | 291,0 | 93,5 | 0,90 | 6,5 | 1,4 | 0,9 | 2,2 | 29,3 |
| 4A355M6Y3 | 200,0 | 985 | 362,0 | 94,0 | 0,90 | 6,5 | 1,4 | 0,9 | 2,2 | 35,2 |
| Синхронная частота вращения 750 об/мин | | | | | | | | | | |
| 4A71B8Y3 | 0,25 | 680 | 1,05 | 56,0 | 0,65 | 3,0 | 1,6 | 1,4 | 1,7 | 74×10^{-4} |
| 4A80A8Y3 | 0,37 | 675 | 1,4 | 61,5 | 0,65 | 3,5 | 1,6 | 1,2 | 1,7 | $1,35 \times 10^{-2}$ |
| 4A80L8Y3 | 0,55 | 700 | 2,0 | 64,0 | 0,65 | 3,5 | 1,6 | 1,2 | 1,7 | $1,62 \times 10^{-2}$ |
| 4A90L8Y3 | 0,75 | 700 | 2,7 | 68,0 | 0,62 | 3,5 | 1,6 | 1,4 | 1,9 | $2,7 \times 10^{-2}$ |
| 4A90LB8Y3 | 1,1 | 700 | 3,5 | 70,0 | 0,68 | 3,5 | 1,6 | 1,4 | 1,9 | $3,45 \times 10^{-2}$ |
| 4A100LSY3 | 1,5 | 700 | 4,7 | 74,0 | 0,65 | 4,0 | 1,6 | 1,3 | 1,9 | $5,2 \times 10^{-2}$ |
| 4A112MA8Y3 | 2,2 | 700 | 6,18 | 76,5 | 0,71 | 5,0 | 1,9 | 1,5 | 2,2 | $7,0 \times 10^{-2}$ |
| 4A112MB8Y3 | 3,0 | 700 | 7,8 | 79,0 | 0,74 | 5,0 | 1,9 | 1,5 | 2,2 | 10×10^{-2} |
| 4A132S3Y3 | 4,0 | 720 | 10,3 | 83,0 | 0,70 | 5,5 | 1,9 | 1,7 | 2,6 | 17×10^{-2} |
| 4A132M8Y3 | 5,5 | 720 | 13,6 | 83,0 | 0,74 | 5,5 | 1,9 | 1,7 | 2,6 | 23×10^{-2} |
| 4A160S8Y3 | 7,5 | 730 | 17,7 | 86,0 | 0,75 | 6,0 | 1,4 | 1,0 | 2,2 | 55×10^{-2} |
| 4A160M8Y3 | 11,0 | 730 | 25,6 | 87,0 | 0,75 | 6,0 | 1,4 | 1,0 | 2,2 | 72×10^{-2} |
| 4A180M8Y3 | 15,0 | 730 | 32,0 | 87,0 | 0,82 | 6,0 | 1,2 | 1,0 | 2,0 | 1,0 |
| 4A200M8Y3 | 18,5 | 735 | 37,8 | 88,5 | 0,84 | 5,5 | 1,2 | 1,1 | 2,2 | 1,6 |
| 4A200L8Y3 | 22,0 | 735 | 45,0 | 88,5 | 0,84 | 5,5 | 1,2 | 1,1 | 2,0 | 1,81 |
| 4A225M8Y3 | 30,0 | 740 | 62,4 | 90,0 | 0,81 | 6,0 | 1,2 | 1,2 | 2,1 | 2,95 |
| 4A250S3Y3 | 37,0 | 735 | 75,0 | 90,0 | 0,83 | 6,0 | 1,2 | 1,0 | 2,0 | 4,62 |
| 4A250M8Y3 | 45,0 | 735 | 89,6 | 91,0 | 0,84 | 6,0 | 1,2 | 1,0 | 2,0 | 5,45 |
| 4A280S8Y3 | 55,0 | 740 | 108,0 | 92,0 | 0,84 | 5,5 | 1,2 | 1,0 | 2,0 | 12,7 |
| 4A280M8Y3 | 75,0 | 740 | 146,0 | 92,5 | 0,85 | 5,5 | 1,2 | 1,0 | 2,0 | 16,5 |
| 4A315S8Y3 | 90,0 | 740 | 173,0 | 93,0 | 0,85 | 6,5 | 1,2 | 0,9 | 2,3 | 19,7 |

| Тип | P_{H1} кВт | n_{H1} об/мин | I_{H1} А | η_{H1} % | $\cos \varphi_{H1}$ | $\frac{I_{пуск}}{I_{H1}}$ | $\frac{M_{пуск}}{M_{H1}}$ | $\frac{M_{мин}}{M_{H1}}$ | $\frac{M_{макс}}{M_{H1}}$ | Маховой мо- мент, кгс м ² |
|---|-----------------|--------------------|------------|---------------|---------------------|---------------------------|---------------------------|--------------------------|---------------------------|---|
| Синхронная частота вращения 600 об/мин | | | | | | | | | | |
| 4А315М8У3 | 110,0 | 740 | 211,0 | 93,0 | 0,85 | 6,5 | 1,2 | 0,9 | 2,3 | 23,4 |
| 4А355S8У3 | 132,0 | 740 | 253,0 | 93,5 | 0,85 | 6,5 | 1,2 | 0,9 | 2,2 | 36,2 |
| 4А355М8У3 | 160,0 | 740 | 306,0 | 93,5 | 0,85 | 6,5 | 1,2 | 0,9 | 2,2 | 40,8 |
| Синхронная частота вращения 500 об/мин | | | | | | | | | | |
| 4А250S10У3 | 30,0 | 590 | 64,0 | 88,0 | 0,81 | 6,0 | 1,2 | 1,0 | 1,9 | 5,45 |
| 4А250М10У3 | 37,0 | 590 | 80,0 | 89,0 | 0,81 | 6,0 | 1,2 | 1,0 | 1,9 | 6,42 |
| 4А280S10У3 | 37,0 | 590 | 80,0 | 91,0 | 0,78 | 6,0 | 1,0 | 1,0 | 1,8 | 14,4 |
| 4А280М10У3 | 45,0 | 590 | 97,0 | 91,5 | 0,78 | 6,0 | 1,0 | 1,0 | 1,8 | 15,1 |
| 4А315S10У3 | 55,0 | 590 | 116,0 | 92,0 | 0,79 | 6,0 | 1,0 | 0,9 | 1,8 | 21,0 |
| 4А315М10У3 | 75,0 | 590 | 155,0 | 92,0 | 0,80 | 6,0 | 1,0 | 0,9 | 1,8 | 24,7 |
| 4А355S10У3 | 90,0 | 590 | 179,0 | 92,5 | 0,83 | 6,0 | 1,0 | 0,9 | 1,8 | 37,3 |
| 4А355М10У3 | 110,0 | 590 | 217,0 | 93,0 | 0,83 | 6,0 | 1,0 | 0,9 | 1,8 | 43,5 |
| Синхронная частота вращения 500 об/мин | | | | | | | | | | |
| 4А315S12У3 | 45,0 | 490 | 100,0 | 90,5 | 0,75 | 6,0 | 1,0 | 0,9 | 1,8 | 21,0 |
| 4А315М12У3 | 55,0 | 940 | 122,0 | 91,5 | 0,75 | 6,0 | 1,0 | 0,9 | 1,8 | 24,7 |
| 4А355S12У3 | 75,0 | 490 | 164,5 | 91,5 | 0,76 | 6,0 | 1,0 | 0,9 | 1,8 | 37,3 |
| 4А355М12У3 | 90,0 | 495 | 196,6 | 92,0 | 0,76 | 6,0 | 1,0 | 0,9 | 1,8 | 43,5 |
| Защищенное исполнение | | | | | | | | | | |
| Синхронная частота вращения 3000 об/мин | | | | | | | | | | |
| 4АН160S2У3 | 22,0 | 2915 | 43,2 | 88,0 | 0,88 | 7,0 | 1,3 | 1,0 | 2,2 | 17×10^{-2} |
| 4АН160М2У3 | 30,0 | 2914 | 55,7 | 90,0 | 0,91 | 7,0 | 1,3 | 1,0 | 2,2 | 22×10^{-2} |
| 4АН180S2У3 | 37,0 | 2945 | 67,8 | 91,0 | 0,91 | 7,0 | 1,2 | 1,0 | 2,2 | 32×10^{-2} |

| | | | | | | | | | | |
|------------|-------|------|-------|------|------|-----|-----|-----|-----|---------------------|
| 4AH180M2Y3 | 45,0 | 2945 | 82,7 | 91,0 | 0,91 | 7,0 | 1,3 | 1,0 | 2,2 | 37×10^{-2} |
| 4AH200M2Y3 | 55,0 | 2940 | 93,0 | 91,0 | 0,90 | 7,0 | 1,3 | 1,0 | 2,5 | 64×10^{-2} |
| 4AH200L2Y3 | 75,0 | 2940 | 137,0 | 92,0 | 0,90 | 7,0 | 1,3 | 1,0 | 2,5 | 76×10^{-2} |
| 4AH225M2Y3 | 90,0 | 2945 | 169,0 | 92,0 | 0,88 | 7,0 | 1,2 | 1,0 | 2,2 | 95×10^{-2} |
| 4AH250S2Y3 | 110,0 | 2950 | 209,0 | 93,0 | 0,86 | 7,0 | 1,2 | 1,0 | 2,2 | 1,77 |
| 4AH250M2Y3 | 132,0 | 2945 | 245,0 | 93,0 | 0,88 | 7,0 | 1,2 | 1,0 | 2,2 | 1,98 |
| 4AH280S2Y3 | 160,0 | 2970 | 288,0 | 94,0 | 0,90 | 6,5 | 1,2 | 1,0 | 2,2 | 3,1 |
| 4AH280M2Y3 | 200,0 | 2960 | 359,0 | 94,5 | 0,90 | 6,5 | 1,2 | 1,0 | 2,2 | 4,1 |
| 4AH315M2Y3 | 250,0 | 2970 | 442,0 | 94,5 | 0,91 | 6,0 | 1,0 | 0,9 | 2,1 | 6,8 |
| 4AH355S2Y3 | 315,0 | 2970 | 558,0 | 94,5 | 0,91 | 7,0 | 1,0 | 0,9 | 2,1 | 9,5 |
| 4AH355M2Y3 | 400,0 | 2970 | 700,0 | 95,0 | 0,92 | 7,0 | 1,0 | 0,9 | 2,1 | 11,4 |

Синхронная частота вращения 1500 об/мин

| | | | | | | | | | | |
|------------|-------|------|-------|------|------|-----|-----|-----|-----|---------------------|
| 4AH160S4Y3 | 18,5 | 1450 | 36,5 | 88,5 | 0,87 | 6,5 | 1,3 | 1,1 | 2,1 | 37×10^{-2} |
| 4AH160M4Y3 | 32,0 | 1458 | 42,2 | 90,0 | 0,88 | 6,5 | 1,3 | 1,1 | 2,1 | 47×10^{-2} |
| 4AH180S4Y3 | 37,0 | 1465 | 60,3 | 90,0 | 0,84 | 6,5 | 1,2 | 1,0 | 2,2 | 71×10^{-2} |
| 4AH180M4Y3 | 37,0 | 1470 | 70,0 | 90,5 | 0,89 | 6,5 | 1,2 | 1,0 | 2,2 | 87×10^{-2} |
| 4AH200M4Y3 | 45,0 | 1475 | 84,4 | 91,0 | 0,89 | 6,5 | 1,3 | 1,0 | 2,5 | 1,38 |
| 4AH200L4Y3 | 55,0 | 1475 | 102,0 | 92,0 | 0,89 | 6,5 | 1,3 | 1,0 | 2,5 | 1,69 |
| 4AH225M4Y3 | 75,0 | 1475 | 139,0 | 92,5 | 0,89 | 6,5 | 1,2 | 1,0 | 2,2 | 2,41 |
| 4AH250S4Y3 | 90,0 | 1480 | 164,0 | 93,5 | 0,89 | 6,5 | 1,2 | 1,0 | 2,2 | 3,53 |
| 4AH250M4Y3 | 110,0 | 1475 | 201,0 | 93,5 | 0,89 | 6,5 | 1,2 | 1,0 | 2,2 | 3,83 |
| 4AH280S4Y3 | 132,0 | 1470 | 242,0 | 93,0 | 0,89 | 6,0 | 1,2 | 1,0 | 2,0 | 7,3 |
| 4AH280M4Y3 | 160,0 | 1470 | 291,0 | 93,5 | 0,90 | 6,0 | 1,2 | 1,0 | 2,0 | 8,5 |
| 4AH315S4Y3 | 200,0 | 1475 | 355,0 | 94,0 | 0,91 | 6,0 | 1,2 | 0,9 | 2,0 | 12,6 |
| 4AH315M4Y3 | 250,0 | 1475 | 448,0 | 94,0 | 0,91 | 6,0 | 1,2 | 0,9 | 2,0 | 14,8 |
| 4AH355S4Y3 | 315,0 | 1485 | 557,0 | 94,5 | 0,91 | 7,0 | 1,0 | 0,9 | 2,0 | 23,0 |
| 4AH355M4Y3 | 400,0 | 1485 | 704,0 | 94,5 | 0,91 | 7,0 | 1,0 | 0,9 | 2,0 | 28,0 |

| Тип | P_{H1} , кВт | n_{H1} , об/мин | I_{H1} , А | η_{H1} , % | $\cos \varphi_{H1}$ | $\frac{I_{\text{пуск}}}{I_{H1}}$ | $\frac{M_{\text{пуск}}}{M_{H1}}$ | $\frac{M_{\text{МВВ}}}{M_{H1}}$ | $\frac{M_{\text{МВКС}}}{M_{H1}}$ | Маховой мо- мент, кгс м ² |
|---|-------------------|----------------------|--------------|-----------------|---------------------|----------------------------------|----------------------------------|---------------------------------|----------------------------------|---|
| Синхронная частота вращения 1000 об/мин | | | | | | | | | | |
| 4АН180S64У3 | 18,5 | 975 | 38,0 | 87,0 | 0,85 | 6,0 | 1,2 | 1,0 | 2,0 | 75×10^{-2} |
| 4АН180M64У3 | 22,0 | 975 | 43,3 | 88,5 | 0,87 | 6,0 | 1,2 | 1,0 | 2,0 | 94×10^{-2} |
| 4АН200M64У3 | 30,0 | 975 | 57,7 | 90,0 | 0,88 | 6,0 | 1,3 | 1,0 | 2,1 | 1,51 |
| 4АН200L64У3 | 37,0 | 980 | 70,7 | 90,5 | 0,88 | 6,5 | 1,3 | 1,0 | 2,1 | 1,72 |
| 4АН225M64У3 | 45,0 | 980 | 86,5 | 91,0 | 0,87 | 6,5 | 1,2 | 1,0 | 2,0 | 2,81 |
| 4АН250S64У3 | 55,0 | 985 | 104,0 | 92,5 | 0,87 | 6,5 | 1,2 | 1,0 | 2,0 | 4,36 |
| 4АН250M64У3 | 75,0 | 985 | 142,0 | 93,0 | 0,87 | 7,0 | 1,2 | 1,0 | 2,0 | 5,6 |
| 4АН280S64У3 | 90,0 | 985 | 167,0 | 92,5 | 0,89 | 6,0 | 1,2 | 1,0 | 2,0 | 10,0 |
| 4АН280M64У3 | 110,0 | 985 | 203,0 | 92,5 | 0,89 | 6,0 | 1,2 | 1,0 | 2,0 | 11,5 |
| 4АН315S64У3 | 132,0 | 985 | 242,0 | 93,0 | 0,89 | 6,0 | 1,2 | 1,0 | 2,0 | 17,8 |
| 4АН315M64У3 | 160,0 | 985 | 293,0 | 93,5 | 0,89 | 6,0 | 1,2 | 1,0 | 2,0 | 20,5 |
| 4АН355S64У3 | 200,0 | 985 | 361,0 | 94,0 | 0,90 | 6,0 | 1,2 | 1,0 | 2,0 | 31,2 |
| 4АН355M64У3 | 250,0 | 985 | 450,0 | 94,0 | 0,90 | 6,0 | 1,2 | 1,0 | 2,0 | 38,0 |
| Синхронная частота вращения 750 об/мин | | | | | | | | | | |
| 4АН180S8У3 | 15,0 | 730 | 32,2 | 86,0 | 0,80 | 5,5 | 1,2 | 1,0 | 1,9 | 94×10^{-2} |
| 4АН180M8У3 | 18,5 | 730 | 40,3 | 87,5 | 0,80 | 5,5 | 1,2 | 1,0 | 1,9 | 1,19 |
| 4АН200M8У3 | 22,0 | 730 | 42,0 | 89,0 | 0,84 | 5,5 | 1,3 | 1,0 | 2,0 | 1,96 |
| 4АН200L8У3 | 30,0 | 730 | 62,0 | 89,5 | 0,82 | 5,5 | 1,3 | 1,0 | 2,0 | 2,33 |
| 4АН225M8У3 | 37,0 | 735 | 77,0 | 90,0 | 0,81 | 5,5 | 1,2 | 1,0 | 1,9 | 3,3 |
| 4АН250S8У3 | 45,0 | 770 | 92,5 | 91,0 | 0,81 | 5,5 | 1,2 | 1,0 | 1,9 | 4,77 |
| 4АН250M8У3 | 55,0 | 735 | 112,0 | 92,0 | 0,81 | 6,0 | 1,2 | 1,0 | 1,9 | 5,6 |
| 4АН280S8У3 | 75,0 | 735 | 146,0 | 92,0 | 0,85 | 5,0 | 1,2 | 1,0 | 1,9 | 12,0 |
| 4АН280M8У3 | 90,0 | 735 | 173,0 | 92,5 | 0,86 | 5,0 | 1,2 | 1,0 | 1,9 | 13,5 |

| | | | | | | | | | | |
|------------|-------|-----|-------|------|------|-----|-----|-----|-----|------|
| 4АН315S8V3 | 110,0 | 735 | 208,0 | 93,0 | 0,86 | 5,0 | 1,2 | 1,0 | 1,9 | 24,3 |
| 4АН315M8V3 | 132,0 | 735 | 251,0 | 93,0 | 0,86 | 5,0 | 1,2 | 1,0 | 1,9 | 28,0 |
| 4АН355S8V3 | 160,0 | 740 | 302,0 | 93,5 | 0,86 | 5,5 | 1,2 | 1,0 | 1,9 | 39,0 |
| 4АН355M8V3 | 200,0 | 740 | 377,0 | 94,0 | 0,86 | 5,5 | 1,2 | 1,0 | 1,9 | 47,5 |

7 Зак 1797

Синхронная частота вращения 600 об/мин

| | | | | | | | | | | |
|-------------|-------|-----|-------|------|------|-----|-----|-----|-----|------|
| 4АН280S10V3 | 45,0 | 585 | 94,0 | 90,0 | 0,81 | 5,5 | 1,0 | 1,0 | 1,8 | 12,9 |
| 4АН280M10V3 | 55,0 | 585 | 114,0 | 90,5 | 0,81 | 5,5 | 1,0 | 1,0 | 1,8 | 15,0 |
| 4АН315S10V3 | 75,0 | 590 | 153,0 | 91,0 | 0,82 | 5,5 | 1,0 | 0,9 | 1,8 | 22,5 |
| 4АН315M10V3 | 90,0 | 590 | 182,0 | 91,5 | 0,82 | 5,5 | 1,0 | 0,9 | 1,8 | 26,5 |
| 4АН355S10V3 | 110,0 | 590 | 219,0 | 92,0 | 0,83 | 5,5 | 1,0 | 0,9 | 1,8 | 38,7 |
| 4АН355M10V3 | 132,0 | 590 | 260,0 | 92,5 | 0,83 | 5,5 | 1,0 | 0,9 | 1,8 | 44,0 |

Синхронная частота вращения 500 об/мин

| | | | | | | | | | | |
|-------------|-------|-----|-----|------|------|-----|-----|-----|-----|------|
| 4АН315S12V3 | 55,0 | 490 | 118 | 90,5 | 0,78 | 5,5 | 1,0 | 0,9 | 1,8 | 22,5 |
| 4АН315M12V3 | 75,0 | 490 | 160 | 91,0 | 0,78 | 5,5 | 1,0 | 0,9 | 1,8 | 26,5 |
| 4АН355S12V3 | 90,0 | 490 | 195 | 91,5 | 0,77 | 5,5 | 1,0 | 0,9 | 1,8 | 38,7 |
| 4АН355M12V3 | 110,0 | 490 | 237 | 92,0 | 0,77 | 5,5 | 1,0 | 0,9 | 1,8 | 44,0 |

| Тип | $P_{\text{н}}$, кВт | η , % | | | | | | | | | | $\cos \varphi$ | | | | | | | | |
|-----|----------------------|-------------------------------------|----|----|-----|-----|----|----|----|-----|-----|----------------|--|--|--|--|--|--|--|--|
| | | Нагрузка от номинальной мощности, % | | | | | | | | | | | | | | | | | | |
| | | 25 | 50 | 75 | 100 | 125 | 25 | 50 | 75 | 100 | 125 | | | | | | | | | |
| | | | | | | | | | | | | | | | | | | | | |

Закрытое обдуваемое исполнение
Синхронная частота вращения 3000 об/мин

| | | 25 | 50 | 75 | 100 | 125 | 25 | 50 | 75 | 100 | 125 | | |
|-----------|------|------|------|------|------|------|------|------|------|------|------|--|--|
| 4A50A2Y3 | 0,09 | 42,0 | 55,5 | 60,0 | 60,0 | 57,5 | 0,31 | 0,49 | 0,61 | 0,70 | 0,75 | | |
| 4A50B2Y3 | 0,12 | 48,5 | 60,0 | 63,5 | 63,0 | 58,0 | 0,31 | 0,50 | 0,62 | 0,70 | 0,75 | | |
| 4A56A2Y3 | 0,18 | 51,0 | 63,0 | 66,0 | 66,0 | 63,0 | 0,34 | 0,54 | 0,66 | 0,76 | 0,81 | | |
| 4A56B2Y3 | 0,25 | 57,5 | 67,5 | 69,0 | 68,0 | 64,0 | 0,35 | 0,57 | 0,70 | 0,77 | 0,81 | | |
| 4A63A2Y3 | 0,37 | 63,0 | 71,0 | 72,0 | 70,0 | 65,0 | 0,45 | 0,69 | 0,80 | 0,86 | 0,89 | | |
| 4A63B2Y3 | 0,55 | 69,0 | 75,0 | 75,0 | 73,0 | 68,0 | 0,47 | 0,69 | 0,80 | 0,86 | 0,88 | | |
| 4A71A2Y3 | 0,75 | 71,0 | 78,0 | 78,5 | 77,0 | 73,0 | 0,50 | 0,72 | 0,82 | 0,87 | 0,89 | | |
| 4A71B2Y3 | 1,1 | 76,0 | 79,5 | 79,5 | 77,5 | 73,0 | 0,50 | 0,73 | 0,82 | 0,87 | 0,89 | | |
| 4A80A2Y3 | 1,5 | 73,0 | 80,5 | 81,5 | 81,0 | 79,0 | 0,48 | 0,70 | 0,80 | 0,85 | 0,87 | | |
| 4A80B2Y3 | 2,2 | 77,0 | 83,0 | 83,5 | 83,0 | 81,0 | 0,51 | 0,73 | 0,83 | 0,87 | 0,89 | | |
| 4A90L2Y3 | 3,0 | 80,0 | 85,5 | 85,5 | 84,5 | 82,0 | 0,58 | 0,78 | 0,85 | 0,88 | 0,89 | | |
| 4A100S2Y3 | 4,0 | 80,0 | 86,0 | 87,0 | 86,5 | 85,0 | 0,60 | 0,80 | 0,86 | 0,89 | 0,90 | | |
| 4A100L2Y3 | 5,5 | 82,5 | 87,5 | 88,0 | 87,5 | 80,0 | 0,65 | 0,83 | 0,88 | 0,91 | 0,91 | | |
| 4A112M2Y3 | 7,5 | 78,0 | 85,5 | 87,5 | 87,5 | 86,5 | 0,56 | 0,74 | 0,83 | 0,88 | 0,89 | | |
| 4A132M2Y3 | 11,0 | 80,0 | 87,0 | 88,0 | 87,0 | 0,65 | 0,82 | 0,87 | 0,90 | 0,90 | 0,90 | | |
| 4A160S2Y3 | 15,0 | 80,0 | 86,5 | 88,0 | 88,0 | 87,0 | 0,65 | 0,82 | 0,87 | 0,90 | 0,90 | | |
| 4A160M2Y3 | 18,5 | 82,0 | 87,5 | 88,5 | 88,5 | 87,0 | 0,72 | 0,86 | 0,90 | 0,92 | 0,92 | | |
| 4A180S2Y3 | 22,0 | 79,0 | 86,0 | 88,5 | 88,5 | 88,0 | 0,65 | 0,82 | 0,80 | 0,91 | 0,92 | | |
| 4A180M2Y3 | 30,0 | 82,0 | 88,5 | 90,5 | 90,5 | 89,0 | 0,66 | 0,82 | 0,88 | 0,90 | 0,90 | | |
| 4A200M2Y3 | 37,0 | 81,0 | 87,5 | 90,0 | 90,0 | 89,5 | 0,67 | 0,82 | 0,87 | 0,89 | 0,89 | | |
| 4A200L2Y3 | 45,0 | 83,0 | 89,0 | 91,0 | 91,0 | 90,5 | 0,71 | 0,85 | 0,89 | 0,90 | 0,90 | | |
| 4A225M2Y3 | 55,0 | 82,5 | 89,5 | 91,0 | 91,0 | 90,5 | 0,78 | 0,89 | 0,91 | 0,92 | 0,92 | | |

4A250S2V3
4A250M2V3
4A280S2V3
4A280M2V3
4A315S2V3
4A315M2V3
4A355S2V3
4A355M2V3

| | | | | | | | | | |
|-------|------|------|------|------|------|------|------|------|------|
| 75,0 | 81,0 | 88,0 | 91,0 | 91,0 | 91,0 | 0,71 | 0,84 | 0,88 | 0,89 |
| 90,0 | 84,0 | 90,0 | 92,0 | 92,0 | 91,5 | 0,71 | 0,84 | 0,89 | 0,90 |
| 110,0 | 82,0 | 88,5 | 91,0 | 91,0 | 90,5 | 0,83 | 0,87 | 0,88 | 0,88 |
| 132,0 | 84,0 | 89,5 | 91,5 | 91,5 | 91,0 | 0,83 | 0,87 | 0,88 | 0,88 |
| 160,0 | 85,5 | 90,5 | 92,0 | 92,0 | 91,5 | 0,83 | 0,87 | 0,89 | 0,89 |
| 200,0 | 87,0 | 91,5 | 92,5 | 92,5 | 92,0 | 0,83 | 0,88 | 0,89 | 0,89 |
| 250,0 | 87,0 | 91,0 | 92,5 | 92,5 | 92,0 | 0,86 | 0,88 | 0,89 | 0,89 |
| 315,0 | 89,0 | 92,0 | 93,0 | 93,0 | 92,0 | 0,88 | 0,89 | 0,90 | 0,90 |

Синхронная частота вращения 1500 об/мин

4A50A4V3
4A50B4V3
4A56A4V3
4A56B4V3
4A63A4V3
4A63B4V3
4A71A4V3
4A71B4V3
4A80A4V3
4A80B4V3
4A90L4V3
4A100S4V3
4A100L4V3
4A112M4V3
4A132S4V3
4A132M4V3
4A160S4V3
4A160M4V3
4A180S4V3
4A180M4V3
4A200M4V3

| | | | | | | | | | |
|------|------|------|------|------|------|------|------|------|------|
| 0,06 | 25,0 | 40,0 | 50,0 | 50,0 | 49,5 | 0,31 | 0,41 | 0,51 | 0,60 |
| 0,09 | 31,0 | 46,0 | 55,0 | 55,0 | 54,5 | 0,31 | 0,40 | 0,51 | 0,60 |
| 0,12 | 40,0 | 55,0 | 63,0 | 63,0 | 61,5 | 0,30 | 0,43 | 0,56 | 0,66 |
| 0,18 | 43,5 | 58,0 | 64,0 | 64,0 | 61,5 | 0,26 | 0,40 | 0,53 | 0,64 |
| 0,25 | 49,0 | 63,0 | 68,0 | 68,0 | 65,5 | 0,26 | 0,41 | 0,54 | 0,65 |
| 0,37 | 51,5 | 64,5 | 68,0 | 68,0 | 64,0 | 0,29 | 0,45 | 0,58 | 0,69 |
| 0,55 | 55,0 | 67,0 | 70,5 | 70,5 | 67,0 | 0,29 | 0,46 | 0,59 | 0,70 |
| 0,75 | 58,5 | 70,0 | 73,0 | 72,0 | 68,5 | 0,33 | 0,50 | 0,64 | 0,73 |
| 1,1 | 64,0 | 74,0 | 76,0 | 75,0 | 72,0 | 0,38 | 0,59 | 0,73 | 0,81 |
| 1,5 | 70,0 | 78,0 | 78,5 | 77,0 | 73,0 | 0,41 | 0,63 | 0,76 | 0,83 |
| 2,2 | 74,0 | 81,0 | 81,5 | 80,0 | 76,5 | 0,42 | 0,64 | 0,76 | 0,83 |
| 3,0 | 75,5 | 82,0 | 83,0 | 82,0 | 79,5 | 0,43 | 0,65 | 0,77 | 0,83 |
| 4,0 | 79,5 | 84,5 | 85,0 | 84,0 | 81,5 | 0,46 | 0,68 | 0,79 | 0,84 |
| 5,5 | 82,0 | 86,5 | 86,5 | 85,5 | 83,0 | 0,51 | 0,72 | 0,80 | 0,85 |
| 7,5 | 77,5 | 86,0 | 87,5 | 87,5 | 86,0 | 0,53 | 0,71 | 0,83 | 0,87 |
| 11,0 | 80,0 | 86,0 | 88,0 | 87,5 | 87,0 | 0,55 | 0,75 | 0,84 | 0,88 |
| 15,0 | 86,0 | 89,5 | 89,5 | 88,5 | 86,5 | 0,63 | 0,81 | 0,87 | 0,88 |
| 18,5 | 87,5 | 90,5 | 90,5 | 89,5 | 87,5 | 0,66 | 0,82 | 0,86 | 0,88 |
| 22,5 | 85,5 | 89,5 | 90,0 | 90,0 | 87,0 | 0,65 | 0,82 | 0,87 | 0,88 |
| 30,0 | 87,0 | 90,5 | 91,0 | 91,0 | 89,0 | 0,66 | 0,83 | 0,88 | 0,89 |
| 37,0 | 87,0 | 90,5 | 91,0 | 91,0 | 90,5 | 0,67 | 0,84 | 0,89 | 0,90 |

| Тип | Р _н , кВт | η, % | | | | | | cos φ | | | | | |
|-----------|-------------------------|-------------------------------------|------|------|------|------|------|-------|------|------|------|--|--|
| | | Нагрузка от номинальной мощности, % | | | | | | | | | | | |
| | | 25 | 50 | 75 | 100 | 125 | 25 | 50 | 75 | 100 | 125 | | |
| 4A200L4V3 | 45,0 | 88,5 | 92,0 | 92,5 | 92,0 | 91,0 | 0,69 | 0,85 | 0,89 | 0,90 | 0,90 | | |
| 4A225M4V3 | 55,0 | 88,5 | 92,0 | 92,5 | 92,5 | 91,5 | 0,68 | 0,84 | 0,89 | 0,90 | 0,90 | | |
| 4A250S4V3 | 75,0 | 88,5 | 92,0 | 93,0 | 93,0 | 92,5 | 0,69 | 0,84 | 0,88 | 0,90 | 0,90 | | |
| 4A250M4V3 | 90,0 | 89,0 | 92,5 | 93,0 | 93,0 | 92,0 | 0,73 | 0,87 | 0,90 | 0,91 | 0,90 | | |
| 4A280S4V3 | 110,0 | 89,5 | 92,5 | 93,0 | 92,5 | 91,0 | 0,82 | 0,90 | 0,91 | 0,90 | 0,87 | | |
| 4A280M4V3 | 132,0 | 90,0 | 93,0 | 93,5 | 93,0 | 92,5 | 0,80 | 0,90 | 0,91 | 0,90 | 0,87 | | |
| 4A315S4V3 | 160,0 | 91,0 | 93,5 | 94,0 | 93,5 | 92,5 | 0,81 | 0,90 | 0,91 | 0,91 | 0,88 | | |
| 4A315M4V3 | 200,0 | 91,5 | 94,0 | 94,5 | 94,0 | 93,0 | 0,82 | 0,90 | 0,92 | 0,92 | 0,89 | | |
| 4A335S4V3 | 250,0 | 91,5 | 94,0 | 94,5 | 94,0 | 93,5 | 0,82 | 0,90 | 0,92 | 0,92 | 0,89 | | |
| 4A335M4V3 | 315,0 | 92,5 | 94,5 | 95,0 | 94,5 | 93,5 | 0,85 | 0,92 | 0,92 | 0,92 | 0,89 | | |

| Синхронная частота вращения 1000 об/мин | | | | | | | | | | | | | | | | |
|---|------|------|------|------|------|------|------|------|------|------|------|--|--|--|--|--|
| 4A63A6V3 | 0,18 | 34,5 | 49,5 | 56,0 | 56,0 | 52,0 | 0,25 | 0,38 | 0,51 | 0,62 | 0,71 | | | | | |
| 4A63B6V3 | 0,25 | 39,5 | 54,0 | 59,0 | 59,0 | 55,5 | 0,24 | 0,38 | 0,51 | 0,62 | 0,70 | | | | | |
| 4A71A6V3 | 0,37 | 45,5 | 59,5 | 64,5 | 64,5 | 61,0 | 0,30 | 0,45 | 0,58 | 0,69 | 0,76 | | | | | |
| 4A71B6V3 | 0,55 | 52,5 | 65,5 | 68,5 | 67,5 | 62,5 | 0,30 | 0,47 | 0,60 | 0,71 | 0,77 | | | | | |
| 4A80A6V3 | 0,75 | 56,0 | 68,0 | 69,5 | 69,0 | 63,5 | 0,33 | 0,51 | 0,65 | 0,74 | 0,79 | | | | | |
| 4A80B6V3 | 1,1 | 63,0 | 73,5 | 75,0 | 74,0 | 69,0 | 0,33 | 0,52 | 0,65 | 0,74 | 0,78 | | | | | |
| 4A90L6V3 | 1,5 | 65,5 | 75,0 | 76,0 | 75,0 | 71,0 | 0,33 | 0,53 | 0,66 | 0,74 | 0,77 | | | | | |
| 4A100L6V3 | 2,2 | 74,0 | 81,5 | 82,0 | 81,0 | 78,0 | 0,32 | 0,53 | 0,66 | 0,73 | 0,76 | | | | | |
| 4A112MA6V3 | 3,0 | 73,0 | 81,0 | 82,0 | 81,0 | 78,5 | 0,33 | 0,56 | 0,69 | 0,76 | 0,79 | | | | | |
| 4A112MB6V3 | 4,0 | 77,0 | 82,5 | 83,0 | 82,0 | 79,5 | 0,40 | 0,62 | 0,74 | 0,81 | 0,83 | | | | | |
| 4A132S6V3 | 5,5 | 71,0 | 81,0 | 84,0 | 85,0 | 83,0 | 0,33 | 0,56 | 0,69 | 0,80 | 0,84 | | | | | |
| 4A132M6V3 | 7,5 | 76,0 | 84,0 | 85,0 | 85,0 | 84,0 | 0,40 | 0,62 | 0,74 | 0,81 | 0,84 | | | | | |
| 4A160S6V3 | 11,0 | 83,5 | 87,5 | 87,5 | 86,0 | 83,5 | 0,54 | 0,75 | 0,83 | 0,86 | 0,87 | | | | | |

| | | | | | | | | | | | |
|-----------|-------|------|------|------|------|------|------|------|------|------|------|
| 4A160M6Y3 | 15,0 | 85,0 | 88,5 | 88,5 | 87,5 | 85,0 | 0,55 | 0,76 | 0,84 | 0,87 | 0,87 |
| 4A180M6Y3 | 18,5 | 85,0 | 89,0 | 89,0 | 88,0 | 86,0 | 0,54 | 0,76 | 0,84 | 0,87 | 0,87 |
| 4A200M5Y3 | 22,0 | 87,5 | 91,0 | 91,0 | 90,0 | 88,0 | 0,68 | 0,84 | 0,88 | 0,90 | 0,90 |
| 4A200L6Y3 | 30,0 | 88,0 | 91,0 | 91,0 | 90,5 | 89,0 | 0,64 | 0,82 | 0,88 | 0,90 | 0,90 |
| 4A225M6Y3 | 37,0 | 87,5 | 91,0 | 91,5 | 91,0 | 89,5 | 0,63 | 0,81 | 0,87 | 0,89 | 0,89 |
| 4A250S6Y3 | 45,0 | 87,5 | 91,0 | 91,5 | 91,5 | 90,5 | 0,64 | 0,82 | 0,87 | 0,89 | 0,89 |
| 4A250M6Y3 | 55,0 | 88,0 | 91,0 | 91,5 | 91,5 | 90,5 | 0,60 | 0,80 | 0,86 | 0,89 | 0,89 |
| 4A280S6Y3 | 75,0 | 90,0 | 92,5 | 92,5 | 92,0 | 90,0 | 0,70 | 0,85 | 0,88 | 0,89 | 0,88 |
| 4A280M6Y3 | 90,0 | 90,0 | 93,0 | 93,0 | 92,5 | 91,0 | 0,67 | 0,83 | 0,87 | 0,89 | 0,88 |
| 4A315S6Y3 | 110,0 | 91,0 | 93,0 | 93,5 | 93,5 | 92,0 | 0,68 | 0,84 | 0,88 | 0,90 | 0,89 |
| 4A315M6Y3 | 132,0 | 91,5 | 93,5 | 94,0 | 93,5 | 92,5 | 0,68 | 0,84 | 0,88 | 0,90 | 0,89 |
| 4A355S6Y3 | 160,0 | 91,5 | 93,5 | 94,0 | 93,5 | 92,5 | 0,73 | 0,86 | 0,89 | 0,90 | 0,89 |
| 4A355M6Y3 | 200,0 | 92,0 | 94,0 | 94,0 | 94,0 | 93,0 | 0,72 | 0,86 | 0,89 | 0,90 | 0,89 |

Синхронная частота вращения 750 об/мин

| | | | | | | | | | | | |
|------------|------|------|------|------|------|------|------|------|------|------|------|
| 4A71B8Y3 | 0,25 | 36,5 | 51,5 | 56,5 | 56,0 | 45,0 | 0,29 | 0,42 | 0,55 | 0,65 | 0,75 |
| 4A80A8Y3 | 0,37 | 42,5 | 57,0 | 61,5 | 61,5 | 56,5 | 0,28 | 0,42 | 0,55 | 0,65 | 0,72 |
| 4A80B8Y3 | 0,55 | 46,0 | 60,0 | 64,5 | 64,0 | 59,0 | 0,28 | 0,42 | 0,55 | 0,65 | 0,71 |
| 4A90LA8Y3 | 0,75 | 49,0 | 63,0 | 68,0 | 68,0 | 65,5 | 0,26 | 0,40 | 0,52 | 0,62 | 0,68 |
| 4A90LB8Y3 | 1,1 | 55,5 | 67,5 | 70,5 | 70,0 | 66,0 | 0,30 | 0,46 | 0,59 | 0,68 | 0,73 |
| 4A100L8Y3 | 1,5 | 62,0 | 73,0 | 75,0 | 74,0 | 70,0 | 0,26 | 0,44 | 0,57 | 0,65 | 0,69 |
| 4A112MA8Y3 | 2,2 | 64,0 | 74,5 | 76,0 | 76,5 | 74,0 | 0,30 | 0,48 | 0,62 | 0,71 | 0,76 |
| 4A112MB8Y3 | 3,0 | 69,5 | 78,0 | 79,5 | 79,5 | 76,5 | 0,33 | 0,52 | 0,66 | 0,74 | 0,78 |
| 4A132SBY3 | 4,0 | 71,0 | 80,0 | 83,0 | 83,0 | 81,0 | 0,27 | 0,46 | 0,59 | 0,70 | 0,73 |
| 4A132M8Y3 | 5,5 | 74,5 | 82,0 | 83,5 | 83,0 | 80,5 | 0,32 | 0,52 | 0,65 | 0,74 | 0,76 |
| 4A160S8Y3 | 7,5 | 79,5 | 86,0 | 86,5 | 86,0 | 84,0 | 0,35 | 0,57 | 0,69 | 0,75 | 0,77 |
| 4A160M8Y3 | 11,0 | 81,0 | 87,0 | 87,5 | 87,0 | 85,0 | 0,57 | 0,57 | 0,69 | 0,75 | 0,77 |
| 4A180M8Y3 | 15,0 | 82,5 | 87,5 | 88,0 | 87,0 | 84,5 | 0,68 | 0,68 | 0,78 | 0,82 | 0,83 |
| 4A200M8Y3 | 18,5 | 85,5 | 89,5 | 89,5 | 88,5 | 86,5 | 0,71 | 0,71 | 0,80 | 0,84 | 0,84 |
| 4A200L8Y3 | 22,0 | 87,5 | 90,0 | 90,0 | 88,5 | 88,5 | 0,75 | 0,75 | 0,82 | 0,84 | 0,84 |
| 4A225M8Y3 | 30,0 | 85,0 | 90,0 | 90,5 | 90,0 | 88,5 | 0,66 | 0,66 | 0,76 | 0,81 | 0,82 |

| Тип | Р _н , кВт | η, % | | | | | | | | | | | | cos φ | | | | | |
|--|-------------------------|-------------------------------------|------|------|------|------|------|------|------|------|------|------|------|-------|------|------|--|--|--|
| | | Нагрузка от номинальной мощности, % | | | | | | | | | | | | | | | | | |
| | | 25 | 50 | 75 | 100 | 125 | 25 | 50 | 75 | 100 | 125 | 25 | 50 | 75 | 100 | 125 | | | |
| 4A250S8V3 | 37,0 | 86,5 | 90,5 | 90,0 | 88,5 | 0,72 | 0,72 | 0,80 | 0,83 | 0,83 | 0,83 | 0,72 | 0,72 | 0,80 | 0,83 | 0,83 | | | |
| 4A250M8V3 | 45,0 | 87,0 | 90,5 | 91,0 | 90,0 | 0,71 | 0,71 | 0,80 | 0,84 | 0,84 | 0,84 | 0,71 | 0,71 | 0,80 | 0,84 | 0,84 | | | |
| 4A280S8V3 | 55,0 | 90,0 | 92,5 | 92,5 | 90,0 | 0,76 | 0,76 | 0,81 | 0,84 | 0,84 | 0,84 | 0,76 | 0,76 | 0,81 | 0,84 | 0,82 | | | |
| 4A280M8V3 | 75,0 | 90,5 | 93,0 | 93,0 | 91,0 | 0,77 | 0,77 | 0,82 | 0,85 | 0,85 | 0,84 | 0,77 | 0,77 | 0,82 | 0,85 | 0,84 | | | |
| 4A315S8V3 | 90,0 | 93,0 | 93,5 | 93,0 | 91,5 | 0,76 | 0,76 | 0,82 | 0,85 | 0,85 | 0,84 | 0,76 | 0,76 | 0,82 | 0,85 | 0,84 | | | |
| 4A315M8V3 | 110,0 | 91,0 | 93,0 | 93,5 | 93,0 | 0,75 | 0,75 | 0,82 | 0,85 | 0,85 | 0,84 | 0,75 | 0,75 | 0,82 | 0,85 | 0,84 | | | |
| 4A355S8V3 | 132,0 | 91,5 | 94,0 | 94,0 | 93,5 | 0,78 | 0,78 | 0,83 | 0,85 | 0,85 | 0,84 | 0,78 | 0,78 | 0,83 | 0,85 | 0,84 | | | |
| 4A355M8V3 | 160,0 | 92,0 | 94,0 | 94,0 | 93,5 | 0,79 | 0,79 | 0,83 | 0,85 | 0,85 | 0,83 | 0,79 | 0,79 | 0,83 | 0,85 | 0,83 | | | |
| Синхронная частота вращения 600 об/мин | | | | | | | | | | | | | | | | | | | |
| 4A250S10V3 | 30,0 | 84,5 | 88,5 | 88,0 | 86,0 | 0,43 | 0,66 | 0,76 | 0,81 | 0,82 | 0,82 | 0,43 | 0,66 | 0,76 | 0,81 | 0,82 | | | |
| 4A250M10V3 | 37,0 | 85,0 | 89,0 | 89,0 | 87,5 | 0,42 | 0,65 | 0,76 | 0,81 | 0,82 | 0,82 | 0,42 | 0,65 | 0,76 | 0,81 | 0,82 | | | |
| 4A280S10V3 | 37,0 | 86,5 | 90,5 | 91,0 | 89,5 | 0,44 | 0,65 | 0,73 | 0,78 | 0,77 | 0,77 | 0,44 | 0,65 | 0,73 | 0,78 | 0,77 | | | |
| 4A280M10V3 | 45,0 | 87,0 | 92,0 | 91,5 | 89,5 | 0,47 | 0,68 | 0,74 | 0,78 | 0,77 | 0,77 | 0,47 | 0,68 | 0,74 | 0,78 | 0,77 | | | |
| 4A315S10V3 | 55,0 | 88,5 | 92,0 | 92,0 | 91,0 | 0,49 | 0,69 | 0,76 | 0,79 | 0,79 | 0,79 | 0,49 | 0,69 | 0,76 | 0,79 | 0,79 | | | |
| 4A315M10V3 | 75,0 | 89,5 | 92,5 | 92,0 | 90,5 | 0,52 | 0,71 | 0,78 | 0,80 | 0,80 | 0,80 | 0,52 | 0,71 | 0,78 | 0,80 | 0,80 | | | |
| 4A355S10V3 | 90,0 | 91,0 | 93,0 | 92,5 | 90,5 | 0,60 | 0,77 | 0,81 | 0,83 | 0,83 | 0,80 | 0,60 | 0,77 | 0,81 | 0,83 | 0,80 | | | |
| 4A355M10V3 | 110,0 | 91,0 | 93,5 | 93,0 | 91,5 | 0,56 | 0,74 | 0,80 | 0,83 | 0,83 | 0,81 | 0,56 | 0,74 | 0,80 | 0,83 | 0,81 | | | |
| Синхронная частота вращения 500 об/мин | | | | | | | | | | | | | | | | | | | |
| 4A315S12V3 | 45,0 | 87,5 | 91,0 | 91,0 | 89,0 | 0,43 | 0,64 | 0,72 | 0,75 | 0,75 | 0,75 | 0,43 | 0,64 | 0,72 | 0,75 | 0,75 | | | |
| 4A315M12V3 | 55,0 | 88,0 | 91,0 | 91,5 | 89,5 | 0,42 | 0,63 | 0,71 | 0,75 | 0,75 | 0,75 | 0,42 | 0,63 | 0,71 | 0,75 | 0,75 | | | |
| 4A355S12V3 | 75,0 | 88,0 | 91,5 | 91,5 | 90,5 | 0,41 | 0,62 | 0,71 | 0,76 | 0,76 | 0,75 | 0,41 | 0,62 | 0,71 | 0,76 | 0,75 | | | |
| 4A355M12V3 | 90,0 | 88,0 | 91,5 | 92,0 | 91,0 | 0,40 | 0,61 | 0,71 | 0,76 | 0,76 | 0,76 | 0,40 | 0,61 | 0,71 | 0,76 | 0,76 | | | |

Защищенное исполнение
Синхронная частота вращения 3000 об/мин

| | | | | | | | | | | | |
|------------|-------|------|------|------|------|------|------|------|------|------|------|
| 4AH160S2Y3 | 22,0 | 87,5 | 90,0 | 89,5 | 88,0 | 85,0 | 0,68 | 0,83 | 0,87 | 0,88 | 0,87 |
| 4AH160M2Y3 | 30,0 | 90,0 | 92,0 | 91,5 | 90,0 | 87,0 | 0,77 | 0,88 | 0,90 | 0,91 | 0,90 |
| 4AH180S2Y3 | 37,0 | 87,0 | 90,5 | 91,0 | 91,0 | 90,0 | 0,59 | 0,78 | 0,87 | 0,91 | 0,91 |
| 4AH180M2Y3 | 45,0 | 88,5 | 91,5 | 91,5 | 91,0 | 89,5 | 0,66 | 0,83 | 0,88 | 0,91 | 0,91 |
| 4AH200M2Y3 | 55,0 | 87,5 | 91,0 | 91,0 | 91,0 | 90,0 | 0,68 | 0,84 | 0,88 | 0,90 | 0,90 |
| 4AH200L2Y3 | 75,0 | 89,5 | 92,0 | 92,5 | 92,0 | 91,0 | 0,72 | 0,85 | 0,89 | 0,90 | 0,89 |
| 4AH225M2Y3 | 90,0 | 89,5 | 92,0 | 92,5 | 92,0 | 91,0 | 0,67 | 0,83 | 0,87 | 0,88 | 0,88 |
| 4AH250S2Y3 | 110,0 | 90,0 | 92,5 | 93,0 | 93,0 | 92,0 | 0,67 | 0,81 | 0,85 | 0,86 | 0,85 |
| 4AH250M2Y3 | 132,0 | 91,5 | 93,0 | 93,5 | 93,0 | 92,0 | 0,76 | 0,86 | 0,87 | 0,88 | 0,87 |
| 4AH280S2Y3 | 160,0 | 93,0 | 94,5 | 94,5 | 94,0 | 92,0 | 0,86 | 0,88 | 0,89 | 0,90 | 0,87 |
| 4AH280M2Y3 | 200,0 | 94,5 | 95,5 | 95,0 | 94,5 | 92,5 | 0,85 | 0,88 | 0,89 | 0,90 | 0,86 |
| 4AH315L2Y3 | 250,0 | 94,0 | 95,0 | 95,0 | 94,5 | 93,0 | 0,89 | 0,93 | 0,92 | 0,91 | 0,85 |
| 4AH355S2Y3 | 315,0 | 93,0 | 94,5 | 94,5 | 94,5 | 93,0 | 0,86 | 0,92 | 0,92 | 0,92 | 0,89 |
| 4AH355M2Y3 | 400,0 | 94,5 | 95,5 | 95,9 | 95,0 | 93,5 | 0,89 | 0,93 | 0,93 | 0,92 | 0,88 |

Синхронная частота вращения 1500 об/мин

| | | | | | | | | | | | |
|------------|-------|------|------|------|------|------|------|------|------|------|------|
| 4AH160S4Y3 | 18,5 | 88,5 | 91,0 | 90,5 | 88,5 | 86,5 | 0,64 | 0,81 | 0,86 | 0,87 | 0,86 |
| 4AH160M4Y3 | 22,0 | 89,0 | 92,0 | 91,5 | 90,0 | 88,0 | 0,66 | 0,82 | 0,87 | 0,88 | 0,87 |
| 4AH180S4Y3 | 30,0 | 88,0 | 90,5 | 90,5 | 90,0 | 87,5 | 0,57 | 0,73 | 0,81 | 0,84 | 0,82 |
| 4AH180M4Y3 | 37,0 | 89,0 | 91,5 | 91,5 | 90,5 | 88,5 | 0,65 | 0,82 | 0,87 | 0,89 | 0,88 |
| 4AH200M4Y3 | 45,0 | 89,5 | 92,0 | 92,0 | 91,0 | 89,5 | 0,65 | 0,83 | 0,87 | 0,89 | 0,88 |
| 4AH200L4Y3 | 55,0 | 90,0 | 92,5 | 92,5 | 92,0 | 90,5 | 0,67 | 0,83 | 0,88 | 0,89 | 0,88 |
| 4AH225M4Y3 | 75,0 | 91,5 | 93,0 | 93,0 | 92,5 | 91,0 | 0,68 | 0,84 | 0,88 | 0,89 | 0,88 |
| 4AH250S4Y3 | 90,0 | 91,0 | 93,5 | 93,5 | 93,5 | 92,5 | 0,67 | 0,83 | 0,87 | 0,89 | 0,88 |
| 4AH250M4Y3 | 110,0 | 91,5 | 93,5 | 93,5 | 93,5 | 92,5 | 0,67 | 0,83 | 0,87 | 0,89 | 0,88 |
| 4AH280S4Y3 | 132,0 | 93,0 | 94,0 | 94,0 | 93,0 | 91,0 | 0,79 | 0,88 | 0,89 | 0,90 | 0,85 |
| 4AH280M4Y3 | 160,0 | 93,0 | 94,5 | 94,5 | 93,5 | 92,0 | 0,79 | 0,89 | 0,90 | 0,91 | 0,87 |
| 4AH315S4Y3 | 200,0 | 93,5 | 94,5 | 94,5 | 94,0 | 92,5 | 0,79 | 0,89 | 0,91 | 0,91 | 0,88 |

| Тип | Р _н , кВт | η, % | | | | | | cos φ | | | | | |
|---|-------------------------|-------------------------------------|------|------|------|------|------|-------|------|------|------|--|--|
| | | Нагрузка от номинальной мощности, % | | | | | | | | | | | |
| | | 25 | 50 | 75 | 100 | 125 | 25 | 50 | 75 | 100 | 125 | | |
| Синхронная частота вращения 1000 об/мин | | | | | | | | | | | | | |
| 4АН315М4У3 | 250,0 | 94,0 | 95,0 | 95,0 | 94,0 | 92,0 | 0,84 | 0,91 | 0,92 | 0,91 | 0,86 | | |
| 4АН355С4У3 | 315,0 | 94,0 | 95,5 | 95,5 | 94,5 | 93,0 | 0,82 | 0,91 | 0,91 | 0,91 | 0,87 | | |
| 4АН355М4У3 | 400,0 | 94,5 | 95,5 | 95,5 | 94,5 | 93,0 | 0,89 | 0,91 | 0,91 | 0,91 | 0,87 | | |
| Синхронная частота вращения 1000 об/мин | | | | | | | | | | | | | |
| 4АП180С6У3 | 18,5 | 83,5 | 88,0 | 88,0 | 87,0 | 85,0 | 0,47 | 0,72 | 0,81 | 0,85 | | | |
| 4АН180М6У3 | 22,0 | 86,0 | 89,5 | 89,5 | 88,5 | 86,5 | 0,56 | 0,77 | 0,84 | 0,87 | | | |
| 4АН200М6У3 | 30,0 | 88,5 | 91,0 | 91,0 | 90,0 | 88,0 | 0,60 | 0,80 | 0,86 | 0,88 | | | |
| 4АН200Л6У3 | 37,0 | 87,5 | 91,0 | 91,0 | 90,5 | 89,0 | 0,58 | 0,78 | 0,85 | 0,88 | | | |
| 4АН225М6У3 | 40,0 | 89,5 | 92,0 | 92,0 | 91,0 | 89,0 | 0,62 | 0,80 | 0,85 | 0,86 | | | |
| 4АН250С6У3 | 55,0 | 88,5 | 92,5 | 93,0 | 92,5 | 91,5 | 0,57 | 0,77 | 0,84 | 0,87 | | | |
| 4АН250М6У3 | 75,0 | 90,0 | 93,0 | 93,0 | 93,0 | 92,0 | 0,57 | 0,78 | 0,84 | 0,87 | | | |
| 4АН280С6У3 | 90,0 | 92,5 | 94,0 | 93,5 | 92,5 | 90,5 | 0,70 | 0,85 | 0,88 | 0,87 | | | |
| 4АН280М6У3 | 110,0 | 93,0 | 94,0 | 93,5 | 92,5 | 90,5 | 0,70 | 0,85 | 0,88 | 0,87 | | | |
| 4АН315С6У3 | 132,0 | 93,5 | 94,5 | 94,0 | 93,0 | 91,0 | 0,75 | 0,87 | 0,89 | 0,85 | | | |
| 4АН315М6У3 | 160,0 | 94,0 | 95,0 | 94,5 | 93,5 | 91,5 | 0,75 | 0,87 | 0,89 | 0,85 | | | |
| 4АН355С6У3 | 200,0 | 94,0 | 95,0 | 95,0 | 94,0 | 92,0 | 0,76 | 0,88 | 0,90 | 0,87 | | | |
| 4АН355М6У3 | 250,0 | 94,0 | 95,0 | 94,5 | 94,0 | 92,5 | 0,75 | 0,88 | 0,90 | 0,87 | | | |
| Синхронная частота вращения 750 об/мин | | | | | | | | | | | | | |
| 4АП180С8У3 | 15,0 | 82,0 | 86,5 | 87,0 | 86,0 | 83,5 | 0,44 | 0,66 | 0,76 | 0,80 | | | |
| 4АН180М8У3 | 18,5 | 84,5 | 88,5 | 88,5 | 87,5 | 85,0 | 0,47 | 0,69 | 0,77 | 0,88 | | | |
| 4АН200М8У3 | 22,0 | 88,0 | 91,0 | 90,5 | 89,0 | 86,0 | 0,54 | 0,75 | 0,82 | 0,84 | | | |

| | | | | | | | | | | | |
|------------|-------|------|------|------|------|------|------|------|------|------|------|
| 4AH200L8Y3 | 30,0 | 87,0 | 90,5 | 90,5 | 89,5 | 0,50 | 0,49 | 0,71 | 0,79 | 0,82 | 0,82 |
| 4AH225M8Y3 | 37,0 | 87,5 | 91,0 | 91,0 | 90,0 | 88,0 | 0,48 | 0,70 | 0,78 | 0,81 | 0,81 |
| 4AH250S8Y3 | 45,0 | 88,0 | 91,5 | 91,5 | 91,0 | 89,5 | 0,47 | 0,68 | 0,77 | 0,81 | 0,80 |
| 4AH250M8Y3 | 55,0 | 89,5 | 92,5 | 92,5 | 92,0 | 90,5 | 0,49 | 0,70 | 0,78 | 0,85 | 0,82 |
| 4AH280S8Y3 | 75,0 | 91,5 | 93,5 | 93,5 | 92,0 | 90,0 | 0,58 | 0,77 | 0,83 | 0,86 | 0,83 |
| 4AH280M8Y3 | 90,0 | 93,0 | 94,0 | 93,5 | 92,5 | 90,0 | 0,62 | 0,80 | 0,84 | 0,86 | 0,83 |
| 4AH315S8Y3 | 110,0 | 92,5 | 94,0 | 94,0 | 93,0 | 91,0 | 0,64 | 0,81 | 0,85 | 0,86 | 0,82 |
| 4AH315M8Y3 | 132,0 | 93,0 | 94,5 | 94,0 | 93,0 | 91,0 | 0,65 | 0,81 | 0,85 | 0,86 | 0,82 |
| 4AH355S8Y3 | 160,0 | 94,0 | 95,0 | 94,5 | 93,5 | 91,5 | 0,67 | 0,83 | 0,86 | 0,86 | 0,82 |
| 4AH355M8Y3 | 200,0 | 94,5 | 95,5 | 95,0 | 94,0 | 92,0 | 0,70 | 0,84 | 0,86 | 0,86 | 0,81 |

Синхронная частота вращения 600 об/мин

| | | | | | | | | | | | |
|-------------|-------|------|------|------|------|------|------|------|------|------|------|
| 4AH280S10Y3 | 45,0 | 88,5 | 91,0 | 90,5 | 90,0 | 88,0 | 0,50 | 0,70 | 0,77 | 0,81 | 0,79 |
| 4AH280M10Y3 | 55,0 | 88,5 | 91,0 | 91,0 | 90,5 | 88,5 | 0,50 | 0,70 | 0,77 | 0,81 | 0,79 |
| 4AH315S10Y3 | 75,0 | 91,0 | 92,5 | 92,0 | 91,0 | 88,5 | 0,59 | 0,76 | 0,81 | 0,82 | 0,78 |
| 4AH315M10Y3 | 90,0 | 91,0 | 93,0 | 92,5 | 91,5 | 89,5 | 0,59 | 0,76 | 0,80 | 0,82 | 0,79 |
| 4AH355S10Y3 | 110,0 | 91,5 | 93,0 | 92,5 | 92,0 | 90,5 | 0,57 | 0,75 | 0,82 | 0,83 | 0,81 |
| 4AH355M10Y3 | 132,0 | 92,0 | 93,5 | 93,0 | 92,5 | 91,0 | 0,59 | 0,77 | 0,82 | 0,83 | 0,81 |

Синхронная частота вращения 500 об/мин

| | | | | | | | | | | | |
|-------------|-------|------|------|------|------|------|------|------|------|------|------|
| 4AH315S12Y3 | 55,0 | 91,0 | 93,0 | 92,0 | 90,5 | 86,0 | 0,53 | 0,72 | 0,77 | 0,78 | 0,71 |
| 4AH315M12Y3 | 75,0 | 89,5 | 91,5 | 91,5 | 91,0 | 89,0 | 0,46 | 0,67 | 0,74 | 0,78 | 0,76 |
| 4AH355S12Y3 | 90,0 | 80,0 | 87,5 | 90,0 | 91,5 | 92,0 | 0,16 | 0,32 | 0,44 | 0,77 | 0,61 |
| 4AH355M12Y3 | 110,0 | 80,0 | 87,5 | 90,5 | 92,0 | 92,0 | 0,15 | 0,30 | 0,43 | 0,77 | 0,59 |

86. Технические данные асинхронных электродвигателей серии 4А с повышенным пусковым моментом.

| Тип | P_H , кВт | n_H , об/мин | I_H , А, при $U_H = 380$ В | η_H , % | $\cos \varphi_H$ | $I_{пуск}$, А | $\frac{M_{пуск}}{M_H}$ | $\frac{M_{мин}}{M_H}$ | $\frac{M_{макс}}{M_H}$ | Момент инерции, кг м ² |
|---|-------------|----------------|------------------------------|--------------|------------------|----------------|------------------------|-----------------------|------------------------|-----------------------------------|
| Синхронная частота вращения 1500 об/мин | | | | | | | | | | |
| 4AP160S4Y3 | 15,0 | 1465 | 29,6 | 87,5 | 0,87 | 7,5 | 2,0 | 1,6 | 2,2 | 0,102 |
| 4AP160M4Y3 | 18,5 | 1465 | 36,1 | 88,5 | 0,87 | 7,5 | 2,0 | 1,6 | 2,2 | 0,127 |
| 4AP180S4Y3 | 22,0 | 1460 | 42,2 | 90,0 | 0,87 | 7,5 | 2,0 | 1,6 | 2,2 | 0,19 |
| 4AP180M4Y3 | 30,0 | 1460 | 57,5 | 90,0 | 0,87 | 7,5 | 2,0 | 1,6 | 2,2 | 0,232 |
| 4AP200M4Y3 | 37,0 | 1470 | 69,5 | 91,0 | 0,88 | 7,5 | 2,0 | 1,6 | 2,2 | 0,365 |
| 4AP200L4Y3 | 45,0 | 1470 | 83,5 | 92,0 | 0,88 | 7,5 | 2,0 | 1,6 | 2,2 | 0,445 |
| 4AP225M4Y3 | 55,0 | 1475 | 101,0 | 92,5 | 0,88 | 7,5 | 2,0 | 1,6 | 2,2 | 0,64 |
| 4AP250S4Y3 | 75,0 | 1475 | 139,0 | 93,0 | 0,87 | 7,5 | 2,0 | 1,6 | 2,2 | 1,02 |
| 4AP250M4Y3 | 90,0 | 1475 | 165,0 | 93,0 | 0,88 | 7,5 | 2,0 | 1,6 | 2,2 | 1,17 |
| Синхронная частота вращения 1000 об/мин | | | | | | | | | | |
| 4AP160S6Y3 | 11,0 | 975 | 23,5 | 85,5 | 0,83 | 7,0 | 2,0 | 1,6 | 2,2 | 0,55 |
| 4AP160M6Y3 | 15,0 | 975 | 31,4 | 87,5 | 0,83 | 7,0 | 2,0 | 1,6 | 2,2 | 0,73 |
| 4AP180M6Y3 | 18,5 | 970 | 40,4 | 87,0 | 0,80 | 6,0 | 2,0 | 1,6 | 2,2 | 0,88 |
| 4AP200M6Y3 | 22,0 | 975 | 43,4 | 90,5 | 0,85 | 6,5 | 2,0 | 1,6 | 2,2 | 1,6 |
| 4AP200L6Y3 | 30,0 | 975 | 58,5 | 90,5 | 0,86 | 6,5 | 2,0 | 1,6 | 2,2 | 1,81 |
| 4AP225M6Y3 | 37,0 | 980 | 73,8 | 90,5 | 0,84 | 7,0 | 2,0 | 1,6 | 2,2 | 2,95 |
| 4AP250S6Y3 | 45,0 | 980 | 91,0 | 91,5 | 0,82 | 6,5 | 2,0 | 1,6 | 2,2 | 4,62 |
| 4AP250M6Y2 | 55,0 | 980 | 110,0 | 91,5 | 0,83 | 6,5 | 2,0 | 1,6 | 2,2 | 5,04 |
| Синхронная частота вращения 750 об/мин | | | | | | | | | | |
| 4AP160S8Y3 | 7,5 | 730 | 17,6 | 86,0 | 0,75 | 6,0 | 1,8 | 1,5 | 2,0 | 0,55 |
| 4AP160M8Y3 | 11,0 | 730 | 25,6 | 87,0 | 0,75 | 6,0 | 1,8 | 1,5 | 2,0 | 0,72 |
| 4AP180M8Y3 | 15,0 | 730 | 34,2 | 86,5 | 0,77 | 5,5 | 1,8 | 1,5 | 2,0 | 1,0 |

| | | | | | | | | | | |
|------------|------|-----|-------|------|------|-----|-----|-----|-----|------|
| 4AP200M8Y3 | 18,5 | 730 | 41,0 | 88,0 | 0,78 | 5,5 | 1,8 | 1,5 | 2,0 | 1,6 |
| 4AP200L8Y3 | 22,0 | 730 | 47,3 | 88,5 | 0,80 | 5,5 | 1,8 | 1,5 | 2,0 | 1,81 |
| 4AP225M8Y3 | 30,0 | 735 | 63,4 | 90,0 | 0,80 | 5,5 | 1,8 | 1,5 | 2,0 | 2,95 |
| 4AP250S8Y3 | 37,0 | 735 | 87,0 | 90,0 | 0,72 | 5,5 | 1,8 | 1,5 | 2,0 | 4,62 |
| 4AP250M8Y3 | 45,0 | 735 | 101,0 | 90,5 | 0,75 | 5,5 | 1,8 | 1,5 | 2,0 | 5,45 |

87. Технические данные асинхронных электродвигателей серии 4А с повышенным скольжением при номинальной ПВ = 40 %

| Тип | P_n , кВт | n_n , об/мин | I_n , А, при $U_n = 380$ В | η_d , % | $\cos \varphi_n$ | $I_{пуск} / I_n$ | $M_{пуск} / M_n$ | $M_{мин} / M_n$ | $M_{макс} / M_n$ | Момент инерции, кг м ² |
|-----|-------------|----------------|------------------------------|--------------|------------------|------------------|------------------|-----------------|------------------|-----------------------------------|
|-----|-------------|----------------|------------------------------|--------------|------------------|------------------|------------------|-----------------|------------------|-----------------------------------|

Синхронная частота вращения 3000 об/мин

| | | | | | | | | | | |
|------------|------|------|------|------|------|-----|-----|-----|-----|----------------------|
| 4AC71A2AY | 1,0 | 2700 | 2,4 | 72,0 | 0,87 | 5,5 | 2,0 | 1,6 | 2,2 | $9,8 \times 10^{-4}$ |
| 4AC71B2Y3 | 1,2 | 2700 | 3,0 | 72,0 | 0,83 | 5,5 | 2,0 | 1,6 | 2,2 | 10×10^{-4} |
| 4AC80A2Y3 | 1,9 | 2745 | 4,4 | 75,0 | 0,87 | 6,5 | 2,0 | 1,6 | 2,2 | 18×10^{-4} |
| 4AC80B2Y3 | 2,5 | 2745 | 5,7 | 76,0 | 0,87 | 6,5 | 2,0 | 1,6 | 2,2 | $0,4 \times 10^{-2}$ |
| 4AC90L2Y3 | 3,5 | 2775 | 7,7 | 80,0 | 0,86 | 6,5 | 2,0 | 1,6 | 2,2 | $0,6 \times 10^{-2}$ |
| 4AC100S2Y3 | 4,8 | 2805 | 10,3 | 82,0 | 0,86 | 7,5 | 2,0 | 1,6 | 2,2 | $0,8 \times 10^{-2}$ |
| 4AC100L2Y3 | 6,3 | 2805 | 13,4 | 82,0 | 0,86 | 7,5 | 2,0 | 1,6 | 2,2 | $1,0 \times 10^{-2}$ |
| 4AC112M2Y3 | 8,0 | 2850 | 17,2 | 84,0 | 0,84 | 7,5 | 2,0 | 1,6 | 2,4 | $2,3 \times 10^{-2}$ |
| 4AC132M2Y3 | 11,0 | 2840 | 24,0 | 84,0 | 0,89 | 7,5 | 2,0 | 1,6 | 2,4 | |

Синхронная частота вращения 1500 об/мин

| | | | | | | | | | | |
|------------|-----|------|-----|------|------|-----|-----|-----|-----|-----------------------|
| 4AC71A4Y3 | 0,6 | 1350 | 1,8 | 86,0 | 0,73 | 4,5 | 2,0 | 1,6 | 2,2 | $13,0 \times 10^{-4}$ |
| 4AC71B4Y3 | 0,8 | 1350 | 2,4 | 68,5 | 0,75 | 4,5 | 2,0 | 1,6 | 2,2 | $14,2 \times 10^{-4}$ |
| 4AC80A4Y3 | 1,3 | 1358 | 3,5 | 68,5 | 0,82 | 5,0 | 2,0 | 1,6 | 2,2 | $0,3 \times 10^{-2}$ |
| 4AC80B4Y3 | 1,7 | 1335 | 4,5 | 70,0 | 0,82 | 5,0 | 2,0 | 1,6 | 2,2 | $0,33 \times 10^{-2}$ |
| 4AC90L4Y3 | 2,4 | 1360 | 5,9 | 76,0 | 0,82 | 6,0 | 2,0 | 1,6 | 2,2 | $0,55 \times 10^{-2}$ |
| 4AC100S4Y3 | 3,2 | 1395 | 7,8 | 76,5 | 0,82 | 6,0 | 2,0 | 1,6 | 2,2 | $0,87 \times 10^{-2}$ |

| Тип | P_{II} , кВт | \dot{W}_{II} , об/мин | I_{II} , А при $U_{II} = 380 В$ | η , % | $\cos \varphi_{II}$ | $\frac{I_{пуск}}{I_{II}}$ | $\frac{M_{пуск}}{M_{II}}$ | $\frac{M_{мин}}{M_{II}}$ | $\frac{M_{макс}}{M_{II}}$ | Момент инерции, кг м ² |
|------------|----------------|-------------------------|-----------------------------------|------------|---------------------|---------------------------|---------------------------|--------------------------|---------------------------|-----------------------------------|
| 4AC160L4Y3 | 4,25 | 1395 | 10,1 | 78,0 | 0,82 | 6,0 | 2,0 | 1,6 | 2,2 | $1,1 \times 10^{-2}$ |
| 4AC112M4Y3 | 5,6 | 1395 | 13,0 | 79,0 | 0,83 | 7,0 | 2,0 | 1,6 | 2,2 | $1,7 \times 10^{-2}$ |
| 4AC132S4Y3 | 8,5 | 1395 | 18,4 | 82,5 | 0,85 | 7,0 | 2,6 | 1,6 | 2,8 | $2,8 \times 10^{-2}$ |
| 4AC132M4Y3 | 11,8 | 1410 | 25,0 | 84,0 | 0,85 | 7,0 | 2,0 | 1,6 | 2,2 | $4,0 \times 10^{-2}$ |
| 4AC160S4Y3 | 17,0 | 1425 | 33,3 | 84,5 | 0,86 | 7,0 | 2,0 | 1,6 | 2,2 | $11,0 \times 10^{-2}$ |
| 4AC160M4Y3 | 20,0 | 1432 | 37,6 | 87,0 | 0,87 | 7,0 | 2,0 | 1,6 | 2,2 | $12,3 \times 10^{-2}$ |
| 4AC180S4Y3 | 21,0 | 1418 | 40,3 | 86,0 | 0,92 | 7,0 | 2,0 | 1,6 | 2,2 | $10,8 \times 10^{-2}$ |
| 4AC180M4Y3 | 26,5 | 1440 | 50,0 | 88,5 | 0,91 | 7,0 | 2,0 | 1,6 | 2,2 | $23,0 \times 10^{-2}$ |
| 4AC200M4Y3 | 31,5 | 1410 | 59,4 | 87,5 | 0,92 | 7,0 | 2,0 | 1,6 | 2,2 | 0,37 |
| 4AC200L4Y3 | 40,0 | 1410 | 73,5 | 89,0 | 0,93 | 7,0 | 2,0 | 1,6 | 2,2 | 0,45 |
| 4AC225M4Y3 | 50,0 | 1395 | 94,3 | 87,5 | 0,92 | 7,0 | 2,0 | 1,6 | 2,2 | 0,64 |
| 4AC250S4Y3 | 56,0 | 1380 | 106,0 | 87,5 | 0,92 | 7,0 | 2,0 | 1,6 | 2,2 | 1,0 |
| 4AC250M4Y3 | 63,0 | 1365 | 118,0 | 87,0 | 0,93 | 7,0 | 2,0 | 1,6 | 2,2 | 1,17 |

Синхронная частота вращения 1000 об/мин

| | | | | | | | | | | |
|-------------|------|-----|------|------|------|-----|-----|-----|-----|-----------------------|
| 4AC71A6Y3 | 0,4 | 920 | 1,4 | 62,5 | 0,70 | 4,0 | 2,0 | 1,6 | 2,1 | $1,7 \times 10^{-4}$ |
| 4AC71B6Y3 | 0,63 | 920 | 2,2 | 65,0 | 0,70 | 4,0 | 2,0 | 1,6 | 2,1 | $20,3 \times 10^{-4}$ |
| 4AC80A6Y3 | 0,8 | 860 | 2,9 | 61,0 | 0,68 | 4,0 | 2,0 | 1,6 | 2,1 | $0,34 \times 10^{-2}$ |
| 4AC80B6Y3 | 1,2 | 860 | 3,7 | 66,5 | 0,73 | 4,0 | 2,0 | 1,6 | 2,1 | $0,35 \times 10^{-2}$ |
| 4AC90L6Y3 | 1,7 | 900 | 5,0 | 71,0 | 0,72 | 6,0 | 1,9 | 1,6 | 2,1 | $0,74 \times 10^{-2}$ |
| 4AC100L6Y3 | 2,6 | 920 | 6,9 | 75,0 | 0,76 | 6,0 | 1,9 | 1,6 | 2,1 | $1,3 \times 10^{-2}$ |
| 4AC112MA6Y3 | 3,2 | 910 | 9,1 | 72,0 | 0,74 | 6,5 | 1,9 | 1,6 | 2,1 | $1,7 \times 10^{-2}$ |
| 4AC112MB6Y3 | 4,2 | 910 | 10,8 | 75,0 | 0,79 | 6,5 | 1,9 | 1,6 | 2,1 | $2,1 \times 10^{-2}$ |
| 4AC132S6Y3 | 6,3 | 940 | 15,1 | 79,0 | 0,80 | 6,5 | 1,9 | 1,5 | 2,1 | $4,0 \times 10^{-2}$ |
| 4AC132M6Y3 | 8,5 | 940 | 20,2 | 80,0 | 0,80 | 6,5 | 1,9 | 1,5 | 2,1 | $5,6 \times 10^{-2}$ |
| 4AC160S6Y3 | 12,0 | 940 | 26,0 | 82,5 | 0,85 | 6,5 | 1,9 | 1,5 | 2,1 | $13,8 \times 10^{-2}$ |
| 4AC160M6Y3 | 16,0 | 940 | 36,1 | 84,0 | 0,85 | 6,5 | 1,9 | 1,5 | 2,1 | $18,3 \times 10^{-2}$ |

| | | | | | | | | | | |
|------------|------|-----|------|------|------|-----|-----|-----|-----|-----------------------|
| 4AC180M6Y3 | 19,0 | 940 | 39,9 | 84,5 | 0,90 | 6,5 | 1,9 | 1,5 | 2,1 | $22,0 \times 10^{-2}$ |
| 4AC200M6Y3 | 22,0 | 910 | 43,5 | 83,5 | 0,92 | 6,5 | 1,9 | 1,5 | 2,1 | 0,4 |
| 4AC200L6Y3 | 28,0 | 920 | 54,6 | 85,5 | 0,91 | 6,5 | 1,9 | 1,5 | 2,1 | 0,45 |
| 4AC225M6Y3 | 33,5 | 880 | 69,0 | 81,0 | 0,91 | 6,5 | 1,9 | 1,5 | 2,1 | 0,74 |
| 4AC250S6Y3 | 40,0 | 950 | 75,8 | 89,0 | 0,90 | 6,5 | 1,9 | 1,5 | 2,1 | 1,15 |
| 4AC250M6Y3 | 45,0 | 950 | 90,0 | 86,5 | 0,88 | 6,5 | 1,9 | 1,5 | 2,1 | 1,26 |

| | | | | | | | | | | |
|--|------|-----|------|------|------|-----|-----|-----|-----|-----------------------|
| Синхронная частота вращения 750 об/мин | | | | | | | | | | |
| 4AC71B8Y3 | 0,3 | 670 | 1,5 | 50,0 | 0,61 | 3,5 | 1,9 | 1,6 | 2,0 | $18,5 \times 10^{-4}$ |
| 4AC80A8Y3 | 0,45 | 660 | 2,1 | 53,5 | 0,61 | 3,5 | 1,9 | 1,6 | 2,0 | $0,34 \times 10^{-2}$ |
| 4AC80B8Y3 | 0,6 | 660 | 2,5 | 58,0 | 0,63 | 3,5 | 1,9 | 1,6 | 2,0 | $0,4 \times 10^{-2}$ |
| 4AC90L8Y3 | 0,9 | 660 | 3,4 | 61,0 | 0,65 | 3,5 | 1,8 | 1,6 | 2,0 | $0,7 \times 10^{-2}$ |
| 4AC90L8Y3 | 1,2 | 660 | 4,4 | 65,0 | 0,64 | 3,5 | 1,8 | 1,6 | 2,0 | $0,86 \times 10^{-2}$ |
| 4AC100L8Y3 | 1,6 | 675 | 5,7 | 69,0 | 0,63 | 5,5 | 1,8 | 1,6 | 2,0 | $1,3 \times 10^{-4}$ |
| 4AC112M8Y3 | 2,2 | 670 | 7,56 | 68,0 | 0,65 | 6,0 | 1,8 | 1,6 | 2,0 | $1,8 \times 10^{-2}$ |
| 4AC112MB8Y3 | 3,2 | 670 | 9,66 | 72,0 | 0,70 | 6,0 | 1,8 | 1,6 | 2,0 | $2,4 \times 10^{-2}$ |
| 4AC132S8Y3 | 4,5 | 690 | 12,9 | 76,0 | 0,70 | 6,0 | 1,8 | 1,6 | 2,0 | $4,3 \times 10^{-2}$ |
| 4AC132M8Y3 | 6,0 | 690 | 16,9 | 77,0 | 0,70 | 6,0 | 1,8 | 1,6 | 2,0 | $6,0 \times 10^{-2}$ |
| 4AC160S8Y3 | 9,0 | 690 | 21,0 | 81,5 | 0,80 | 6,0 | 1,8 | 1,5 | 2,0 | $13,8 \times 10^{-2}$ |
| 4AC160M8Y3 | 12,5 | 688 | 29,2 | 82,5 | 0,79 | 6,0 | 1,8 | 1,5 | 2,0 | $18,0 \times 10^{-2}$ |
| 4AC180M8Y3 | 15,0 | 700 | 32,0 | 83,5 | 0,83 | 6,0 | 1,8 | 1,5 | 2,0 | 0,25 |
| 4AC200M8Y3 | 20,0 | 690 | 43,0 | 83,5 | 0,85 | 6,0 | 1,8 | 1,5 | 2,0 | 0,4 |
| 4AC225M8Y3 | 26,5 | 675 | 57,3 | 83,0 | 0,85 | 6,0 | 1,8 | 1,5 | 2,0 | 0,75 |
| 4AC250S8Y3 | 36,0 | 694 | 76,0 | 85,0 | 0,85 | 6,0 | 1,8 | 1,5 | 2,0 | 1,16 |

88. Номинальные мощности (кВт) асинхронных электродвигателей серии 4А с повышенным скольжением

| Тип | Синхронная частота вращения, об/мин | | | | | | | | | | | |
|-----------------------------------|-------------------------------------|-------|-------|------|-------|-------|-------|-------|-------|-------|-------|-------|
| | 3000 | | | | 1500 | | | | 1000 | | | |
| | 15 | 25 | 40 | 100 | 15 | 25 | 60 | 100 | 60 | 100 | 15 | 25 |
| Продолжительность включения ПВ, % | | | | | | | | | | | | |
| | 15 | 25 | 40 | 100 | 15 | 25 | 60 | 100 | 60 | 100 | 15 | 25 |
| 4AC71A | 1,20 | 1,00 | 0,95 | 0,85 | 0,80 | 0,65 | 0,60 | 0,60 | 0,40 | 0,40 | 0,35 | 0,30 |
| 4AC71B | 1,50 | 1,30 | 1,10 | 0,90 | 1,10 | 0,90 | 0,80 | 0,70 | 0,65 | 0,50 | 0,35 | 0,30 |
| 4AC80A | 2,40 | 1,90 | 1,70 | 1,50 | 1,60 | 1,30 | 1,10 | 0,95 | 0,90 | 0,50 | 0,35 | 0,30 |
| 4AC80B | 3,20 | 2,70 | 2,20 | 2,00 | 2,10 | 1,70 | 1,50 | 1,30 | 1,10 | 0,80 | 0,70 | 0,60 |
| 4AC90A | — | — | — | — | — | — | — | — | — | — | 1,10 | 0,90 |
| 4AC90B | — | — | — | — | — | — | — | — | — | — | 1,10 | 1,20 |
| 4AC90L | 4,00 | 4,00 | 3,20 | 2,70 | 3,10 | 2,40 | 2,20 | 1,90 | 1,30 | 1,10 | — | — |
| 4AC100S | 5,50 | 5,00 | 4,20 | 3,60 | 4,00 | 3,70 | 2,80 | 2,30 | — | — | — | — |
| 4AC100L | 8,00 | 7,00 | 5,80 | 5,30 | 5,50 | 5,00 | 3,80 | 3,30 | — | — | — | — |
| 4AC112M.A | — | — | — | — | — | — | — | — | — | — | — | — |
| 4AC112MB | 11,00 | 9,50 | 7,10 | 6,00 | 8,00 | 6,70 | 5,00 | 4,20 | 2,20 | 1,80 | 1,80 | 1,60 |
| 4AC132S | — | — | — | — | 11,80 | 9,50 | 7,50 | 7,10 | 2,80 | 2,50 | 3,00 | 2,60 |
| 4AC132M | 17,00 | 14,00 | 11,00 | 10,0 | 16,0 | 14,00 | 10,50 | 9,00 | 6,00 | 4,50 | 6,00 | 5,00 |
| 4AC160S | — | — | — | — | 22,0 | 19,00 | 15,00 | 13,00 | 7,50 | 6,30 | 8,50 | 7,10 |
| 4AC160M | — | — | — | — | 25,0 | 23,00 | 18,00 | 17,00 | 11,00 | 10,00 | 11,00 | 10,00 |
| 4AC180S | — | — | — | — | 26,5 | 24,00 | 20,00 | 19,00 | 15,00 | 13,00 | 16,00 | 14,00 |
| 4AC180M | — | — | — | — | 32,0 | 30,00 | 25,00 | 24,00 | 17,00 | 16,00 | 19,00 | 17,00 |
| 4AC200M | — | — | — | — | 42,0 | 35,00 | 28,00 | 26,00 | 20,00 | 18,00 | 26,50 | 24,00 |
| 4AC200L | — | — | — | — | 50,0 | 47,50 | 37,00 | 35,00 | 25,00 | 23,00 | — | — |
| 4AC225S | — | — | — | — | 63,0 | 55,00 | 45,00 | 40,00 | 28,00 | 25,00 | 33,50 | 30,00 |
| 4AC250S | — | — | — | — | 75,0 | 63,00 | 53,00 | 50,00 | 35,00 | 33,50 | 45,00 | 45,00 |
| 4AC250M | — | — | — | — | 80,0 | 71,00 | 60,00 | 56,00 | 40,00 | 36,00 | — | — |

89. Технические данные асинхронных многоскоростных двигателей серии 4А

| Тип | P_{II} , кВт | n_{II} , об/мин | I_{II} , А, при $U_H = 380$ В | η_{II} , % | $\cos \varphi_{II}$ | $\frac{I_{пуск}}{I_H}$ | $\frac{M_{пуск}}{M_H}$ | $\frac{M_{мин}}{M_{II}}$ | $\frac{M_{макс}}{M_{II}}$ | Момент инерции, кг м ² |
|-------------|----------------|-------------------|---------------------------------|-----------------|---------------------|------------------------|------------------------|--------------------------|---------------------------|-----------------------------------|
| 4А56А4/2У3 | 0,1 0,1 | 1400 2800 | 0,55 0,61 | 45,0 50,0 | 0,61 0,70 | 3,5 4,0 | 1,8 1,5 | 1,8 1,5 | 2,2 2,2 | 7×10^{-4} |
| 4А56В4/2У3 | 0,12 0,18 | 1330 2660 | 0,6 0,67 | 49,0 57,0 | 0,62 0,72 | 3,5 4,0 | 1,6 1,2 | 1,6 1,2 | 2,2 2,2 | 8×10^{-4} |
| 4А63А4/2У3 | 0,19 0,265 | 1448 2880 | 0,8 0,88 | 55,0 61,0 | 0,66 0,75 | 3,5 4,0 | 1,6 1,2 | 1,6 1,2 | 2,2 2,2 | $12,5 \times 10^{-4}$ |
| 4А63В4/2У3 | 0,224 0,37 | 1448 2880 | 0,86 1,05 | 57,0 61,0 | 0,70 0,88 | 3,5 4,0 | 1,5 1,1 | 1,5 1,1 | 1,9 1,8 | $13,5 \times 10^{-4}$ |
| 4А71А4/2У3 | 0,45 0,75 | 1420 2880 | 1,74 2,0 | 64,0 67,0 | 0,73 0,89 | 4,0 4,0 | 1,5 1,2 | 1,5 1,2 | 1,8 1,8 | $14,3 \times 10^{-4}$ |
| 4А71В4/2У3 | 0,63 0,95 | 1433 2865 | 2,2 2,6 | 67,0 69,0 | 0,75 0,89 | 4,5 4,5 | 1,3 1,3 | 1,3 1,3 | 1,9 1,9 | 16×10^{-4} |
| 4А80А4/2У3 | 1,1 1,5 | 1420 2780 | 2,9 3,56 | 73,0 72,0 | 0,79 0,89 | 5,0 4,0 | 1,7 1,5 | 1,3 0,9 | 2,0 1,8 | $0,32 \times 10^{-2}$ |
| 4А90Л4/2У3 | 1,5 2,0 | 1420 2780 | 3,7 4,8 | 76,0 74,0 | 0,81 0,86 | 5,5 5,0 | 1,7 1,7 | 1,3 1,1 | 2,1 1,9 | $0,36 \times 10^{-2}$ |
| 4А90ЛВ4/2У3 | 2,0 2,5 | 1420 2850 | 4,6 5,6 | 77,0 77,0 | 0,86 0,89 | 6,0 6,0 | 1,7 1,8 | 1,2 1,1 | 2,2 2,1 | $0,64 \times 10^{-2}$ |

Синхронные частоты вращения 1500/3000 об/мин. Схема соединения обмотки Δ/УУ

Двухскоростные двигатели

| Тип | P_n , кВт | n_{II} , об/мин | I_{II} , А, при $U_H = 380$ В | η_n , % | $\cos \varphi_{II}$ | $I_{пуск}$ I_{II} | $M_{пуск}$ M_{II} | $M_{мин}$ M_{II} | $M_{макс}$ M_n | Момент инерции, кг м ² |
|--------------|--------------|----------------------|------------------------------------|--------------|---------------------|------------------------|------------------------|-----------------------|---------------------|-----------------------------------|
| 4A100S4/2Y3 | 2,65 3,4 | 1440 2820 | 6,15 7,4 | 80,0 77,0 | 0,82 0,91 | 6,0 6,0 | 1,8 1,8 | 1,3 1,3 | 2,2 2,2 | $0,9 \times 10^{-3}$ |
| 4A112M4/2Y3 | 4,2 5,0 | 1450 2901 | 9,0 11,0 | 82,0 77,0 | 0,84 0,89 | 7,5 7,5 | 1,3 1,1 | 1,0 0,8 | 1,8 1,8 | $1,65 \times 10^{-2}$ |
| 4A132S4/2Y3 | 6,0 6,7 | 1460 2910 | 12,0 14,0 | 84,0 78,0 | 0,87 0,90 | 7,5 7,5 | 1,3 1,1 | 1,0 0,8 | 1,8 1,8 | $2,8 \times 10^{-2}$ |
| 4A132M4/2Y3 | 8,5 9,5 | 1460 2910 | 17,0 20,0 | 86,0 81,0 | 0,88 0,90 | 7,5 7,5 | 1,3 1,1 | 1,0 0,8 | 1,8 1,8 | 4×10^{-2} |
| 4A160S4/2Y3 | 11,0 14,0 | 1460 2940 | 23,2 27,9 | 85,0 83,0 | 0,85 0,92 | 7,5 7,5 | 1,5 1,2 | 1,0 0,8 | 2,1 2,0 | 11×10^{-2} |
| 4A160M4/2Y3 | 14,0 17,0 | 1460 2900 | 28,1 33,5 | 87,0 84,0 | 0,87 0,92 | 7,5 7,5 | 1,5 1,2 | 1,0 0,8 | 2,1 2,0 | $13,5 \times 10^{-2}$ |
| 4A180S 4/2Y3 | 18,0 21,0 | 1470 2920 | 34,4 40,4 | 88,5 85,0 | 0,90 0,93 | 6,5 6,5 | 1,3 1,1 | 1,0 0,8 | 1,8 1,8 | 21×10^{-2} |
| 4A180M4/2Y3 | 22,0 26,5 | 1470 2920 | 41,3 50,5 | 90,0 86,0 | 0,90 0,93 | 7,5 7,0 | 1,3 1,1 | 1,0 0,8 | 1,8 1,8 | 0,25 |
| 4A200L4/2Y3 | 33,5 37,0 | 1477 2955 | 64,4 72,7 | 91,0 87,0 | 0,87 0,89 | 7,0 7,5 | 1,8 1,8 | 1,4 1,0 | 2,0 2,2 | 0,58 |
| 4A225M4/2Y3 | 42,5 45,0 | 1477 2955 | 82,5 91,3 | 92,0 86,0 | 0,85 0,87 | 7,0 7,5 | 1,8 1,8 | 1,4 1,0 | 2,0 2,2 | 0,85 |
| 4A250S4/2Y3 | 50,0 60,0 | 1477 2955 | 95,2 118 | 93,0 87,0 | 0,86 0,89 | 6,5 7,0 | 1,8 1,6 | 1,4 0,8 | 2,0 2,2 | 1,3 |

| 4A250M4/2Y3 | Синхронные частоты вращения 750/1500 об/мин. Схема соединения обмотки Δ/Y/Y | | | | | | | | | |
|--------------|---|--------------|--------------|--------------|--------------|------------|------------|------------|------------|-----------------------|
| | 60,0 71,0 | 1477 2955 | 114 136 | 93,0 88,0 | 0,87 0,90 | 6,5 7,0 | 1,8 1,6 | 1,4 0,8 | 2,0 2,2 | 1,5 |
| 4A100S8/4Y3 | 1,0 1,7 | 700 1430 | 3,67 3,72 | 68,0 80,0 | 0,61 0,87 | 5,0 6,0 | 1,2 1,4 | 1,1 1,1 | 1,8 1,9 | $1,2 \times 10^{-2}$ |
| | 1,4 2,4 | 700 1430 | 5,0 5,07 | 69,0 81,0 | 0,62 0,89 | 5,0 6,0 | 1,2 1,2 | 1,1 1,1 | 1,8 1,8 | $1,45 \times 10^{-2}$ |
| 4A112MA8/4Y3 | 1,9 3,0 | 710 1420 | 5,7 6,8 | 72,0 75,0 | 0,71 0,89 | 7,5 7,5 | 1,2 1,0 | 1,0 0,8 | 1,8 1,8 | $1,73 \times 10^{-2}$ |
| | 2,2 3,6 | 710 1430 | 6,5 8,1 | 75,0 77,0 | 0,69 0,88 | 7,5 7,5 | 1,2 1,0 | 1,0 0,8 | 1,8 1,8 | $2,4 \times 10^{-2}$ |
| 4A132S8/4Y3 | 3,2 5,3 | 720 1440 | 8,9 11,0 | 77,0 80,0 | 0,71 0,90 | 7,5 7,5 | 1,2 1,0 | 1,0 0,8 | 1,8 1,8 | $4,2 \times 10^{-2}$ |
| | 4,2 7,1 | 720 1440 | 11,0 14,0 | 80,0 82,0 | 0,72 0,90 | 7,5 7,5 | 1,2 1,0 | 1,0 0,8 | 1,8 1,8 | $5,8 \times 10^{-2}$ |
| 4A160S8/4Y3 | 6,0 9,0 | 740 1460 | 12,0 17,7 | 76,5 84,0 | 0,69 0,92 | 5,5 7,0 | 1,5 1,2 | 1,0 0,8 | 2,0 2,0 | $14,6 \times 10^{-2}$ |
| | 9,0 13,0 | 730 1460 | 25,1 25,1 | 79,0 86,5 | 0,69 0,91 | 5,5 7,0 | 1,5 1,2 | 1,0 0,8 | 2,0 2,0 | $19,5 \times 10^{-2}$ |
| 4A180M8/4Y3 | 13,0 18,0 | 730 1455 | 30,8 34,2 | 84,5 87,5 | 0,76 0,92 | 5,5 6,5 | 1,2 1,0 | 1,0 0,8 | 1,8 1,8 | 0,28 |
| | 17,0 25,0 | 735 1470 | 40,0 48,0 | 86,0 87,0 | 0,75 0,91 | 5,0 6,0 | 1,4 1,4 | 1,2 1,0 | 1,8 2,0 | 0,52 |
| 4A200M8/4Y3 | 20,0 28,0 | 735 1470 | 45,5 53,3 | 87,0 88,0 | 0,77 0,91 | 5,0 6,0 | 1,4 1,4 | 1,2 1,0 | 1,8 2,0 | 0,58 |

| Тип | P_H , кВт | n_H , об/мин | I_H , А, при $U_H = 380$ В | η_H , % | $\cos \Phi_H$ | $I_{пуск}$ I_H | $M_{пуск}$ M_H | $M_{мин}$ M_H | $M_{макс}$ M_H | Момент инерции, кг·м ² |
|-------------|----------------|-------------------|---------------------------------|--------------|---------------|---------------------|---------------------|--------------------|---------------------|-----------------------------------|
| 4A225M8/4У3 | 22,4 33,5 | 739 1478 | 56,6 67,0 | 87,0 87,0 | 0,69 0,88 | 6,0 7,0 | 2,0 1,5 | 1,0 1,2 | 2,2 2,2 | 0,93 |
| 4A250S8/4У3 | 30,0 45,0 | 739 1478 | 68,0 86,0 | 89,5 88,5 | 0,75 0,90 | 5,0 6,0 | 1,6 1,4 | 1,2 1,0 | 1,8 1,9 | 1,7 |
| 4A250M8/4У3 | 37,0 55,0 | 739 1478 | 84,0 104,0 | 89,5 89,5 | 0,75 0,90 | 6,0 6,5 | 1,8 1,5 | 1,2 1,2 | 1,8 2,0 | 1,8 |
| 4A280M8/4У3 | 55,0 75,0 | 739 1475 | 113 137,5 | 91,3 90,6 | 0,81 0,91 | 6,0 6,5 | 1,3 1,3 | 1,0 0,8 | 2,3 2,5 | 3,4 |
| 4A315S8/4У3 | 75,0 90,0 | 731 1475 | 148 158 | 90,8 91,3 | 0,85 0,94 | 5,0 6,0 | 1,3 1,3 | 1,0 0,8 | 1,8 2,3 | 4,0 |
| 4A315M8/4У3 | 90,0 110,0 | 733 1475 | 175 190 | 91,6 91,9 | 0,85 0,95 | 5,0 6,0 | 1,1 1,3 | 1,0 0,8 | 1,8 2,3 | 4,5 |
| 4A355S8/4У3 | 110,0 160,0 | 740 1480 | 121,5 157,5 | 92,6 92,3 | 0,83 0,96 | 5,0 7,0 | 1,4 1,6 | 1,0 0,8 | 2,0 2,6 | 7,9 |
| 4A355M8/4У3 | 132,0 200,0 | 740 1480 | 147 200 | 93,2 92,8 | 0,84 0,94 | 5,0 7,0 | 1,3 1,8 | 1,0 0,8 | 1,9 2,5 | 8,9 |

Синхронные частоты вращения 1000/1500 об/мин. Две независимые обмотки. Схема соединения обмотки УУУ/УУУ

| | | | | | | | | | | |
|-------------|------------|--------------|--------------|--------------|--------------|------------|------------|------------|------------|-----------------------|
| 4A100S6/4У3 | 1,8 2,1 | 1000 1500 | 5,07 4,75 | 77,0 78,0 | 0,70 0,86 | 6,0 6,0 | 1,8 1,7 | 1,6 1,2 | 2,2 1,9 | $0,92 \times 10^{-2}$ |
| 4A100L6/4У3 | 2,5 2,8 | 1000 1500 | 6,67 6,1 | 80,0 80,0 | 0,73 0,87 | 6,0 6,0 | 1,8 1,7 | 1,6 1,2 | 2,2 1,9 | $1,15 \times 10^{-2}$ |

| | | | | | | | | | | |
|-------------|-----|------|------|------|------|-----|-----|-----|-----|-----------------------|
| 4A112M6/4Y3 | 2,8 | 950 | 8,2 | 76,0 | 0,68 | 7,5 | 1,3 | 1,0 | 1,8 | $1,65 \times 10^{-2}$ |
| | 3,2 | 1420 | 7,4 | 76,0 | 0,86 | 7,5 | 1,3 | 0,8 | 1,8 | |
| 4A132S6/4Y3 | 4,0 | 950 | 11,0 | 80,0 | 0,68 | 7,5 | 1,3 | 1,0 | 1,8 | $2,8 \times 10^{-2}$ |
| | 4,5 | 1420 | 10,0 | 79,0 | 0,85 | 7,5 | 1,3 | 0,8 | 1,8 | |
| 4A132M6/4Y3 | 6,0 | 960 | 16,0 | 83,0 | 0,68 | 7,5 | 1,3 | 1,0 | 1,8 | 4×10^{-2} |
| | 6,2 | 1440 | 14,0 | 81,5 | 0,85 | 7,5 | 1,3 | 0,8 | 1,8 | |

Синхронные частоты вращения 750/1500 об/мин. Две независимые обмотки. Схема соединения обмотки Y/Y/Δ

| | | | | | | | | | | |
|-------------|------|------|------|------|------|-----|-----|-----|-----|---------------------|
| 4A160S6/4Y3 | 7,1 | 980 | 16,0 | 82,0 | 0,82 | 6,5 | 1,4 | 1,0 | 2,2 | 15×10^{-2} |
| | 8,5 | 1470 | 17,7 | 82,0 | 0,89 | 7,0 | 1,3 | 0,8 | 2,2 | |
| 4A160M6/4Y3 | 11,0 | 980 | 24,1 | 83,5 | 0,83 | 6,5 | 1,4 | 1,0 | 2,2 | 20×10^{-2} |
| | 13,0 | 1470 | 26,4 | 83,5 | 0,90 | 7,5 | 1,3 | 0,8 | 2,2 | |

Синхронные частоты вращения 750/1000 об/мин. Две независимые обмотки. Схема соединения обмотки Y/Y

| | | | | | | | | | | |
|--------------|-----|------|------|------|------|-----|-----|-----|-----|-----------------------|
| 4A100S8/6Y3 | 0,7 | 750 | 2,9 | 65,0 | 0,56 | 4,0 | 1,6 | 1,5 | 2,0 | $1,18 \times 10^{-2}$ |
| | 0,9 | 1000 | 2,6 | 74,0 | 0,71 | 5,0 | 1,2 | 1,1 | 1,8 | |
| 4A100L8/6Y3 | 1,0 | 750 | 3,7 | 65,0 | 0,63 | 4,0 | 2,0 | 1,8 | 2,0 | $1,45 \times 10^{-2}$ |
| | 1,3 | 1000 | 3,41 | 76,0 | 0,76 | 5,0 | 1,5 | 1,2 | 1,8 | |
| 4A112MA8/6Y3 | 1,1 | 690 | 3,5 | 65,0 | 0,74 | 7,5 | 1,2 | 1,0 | 1,8 | $1,75 \times 10^{-2}$ |
| | 1,3 | 930 | 3,5 | 69,0 | 0,81 | 7,5 | 1,2 | 0,8 | 1,8 | |
| 4A112MB8/6Y3 | 1,4 | 690 | 4,2 | 66,5 | 0,76 | 7,5 | 1,2 | 1,0 | 1,8 | $2,1 \times 10^{-2}$ |
| | 1,7 | 940 | 4,5 | 71,0 | 0,81 | 7,5 | 1,2 | 0,8 | 1,8 | |
| 4A132S8/6Y3 | 2,4 | 710 | 6,9 | 73,0 | 0,72 | 7,5 | 1,2 | 1,0 | 1,8 | 4×10^{-2} |
| | 2,6 | 970 | 6,9 | 75,5 | 0,76 | 7,5 | 1,2 | 0,8 | 1,8 | |
| 4A132M8/6Y3 | 2,8 | 720 | 7,9 | 75,0 | 0,72 | 7,5 | 1,2 | 1,0 | 1,8 | $5,7 \times 10^{-2}$ |
| | 3,2 | 970 | 8,3 | 76,5 | 0,76 | 7,5 | 1,2 | 0,8 | 1,8 | |

| Тип | P_H , кВт | n_n , об./мин | I_H , А, при $U_H = 380$ В | η_n , % | $\cos \varphi_H$ | $\frac{I_{\text{пуск}}}{I_H}$ | $\frac{M_{\text{пуск}}}{M_H}$ | $\frac{M_{\text{мин}}}{M_H}$ | $\frac{M_{\text{макс}}}{M_H}$ | Момент инерции, кг м ² |
|-------------|--------------|--------------------|---------------------------------|--------------|------------------|-------------------------------|-------------------------------|------------------------------|-------------------------------|-----------------------------------|
| 4A160S8/6У3 | 5,3 6,0 | 725 975 | 14,3 14,5 | 75,0 78,0 | 0,75 0,81 | 5,0 6,5 | 1,2 1,2 | 1,0 0,8 | 1,9 2,0 | 15×10^{-2} |
| 4A160M8/6У3 | 7,5 8,5 | 730 980 | 19,9 21,5 | 79,5 80,0 | 0,72 0,75 | 5,0 6,0 | 1,2 1,2 | 1,0 0,8 | 1,9 2,0 | 20×10^{-2} |
| 4A180M8/6У3 | 10,0 11,8 | 735 980 | 28,7 26,4 | 80,0 83,0 | 0,66 0,82 | 5,5 6,0 | 1,4 1,2 | 1,0 1,0 | 2,0 2,0 | 0,28 |
| 4A200M8/6У3 | 15,0 18,0 | 735 985 | 33,0 31,8 | 83,5 83,5 | 0,72 0,84 | 5,5 6,5 | 1,4 1,2 | 1,0 1,0 | 2,2 2,2 | 0,5 |
| 4A200L8/6У3 | 15,0 18,0 | 739 985 | 36,3 37,7 | 85,0 85,5 | 0,74 0,85 | 5,5 6,5 | 1,4 1,2 | 1,0 1,0 | 2,0 2,2 | 0,58 |
| 4A225M8/6У3 | 18,5 20,0 | 735 985 | 43,3 45,8 | 84,5 86,5 | 0,77 0,86 | 5,0 6,5 | 1,2 1,2 | 1,0 1,0 | 1,8 2,0 | 0,92 |
| 4A250S8/6У3 | 24,0 30,0 | 739 990 | 55,6 64,3 | 87,5 87,5 | 0,75 0,81 | 5,5 7,0 | 1,5 1,8 | 1,0 1,5 | 1,8 2,2 | 1,17 |
| 4A250M8/6У3 | 28,0 37,0 | 739 990 | 62,8 79,6 | 88,0 88,5 | 0,77 0,80 | 5,5 7,0 | 1,5 1,8 | 1,0 1,5 | 1,8 2,2 | 1,85 |

Синхронные частоты вращения 500/1000 об./мин. Схема соединения обмотки Δ/УУ

| | | | | | | | | | | |
|--------------|-------------|------------|--------------|--------------|--------------|------------|------------|------------|------------|------|
| 4A180M12/6У3 | 6,7 11,0 | 480 975 | 20,3 22,3 | 76,0 84,5 | 0,66 0,89 | 4,5 6,5 | 1,6 1,3 | 1,5 1,0 | 1,9 1,9 | 0,28 |
| 4A200M12/6У3 | 9,0 14,0 | 490 985 | 32,0 28,2 | 77,5 88,0 | 0,55 0,86 | 4,0 6,5 | 1,5 1,5 | 1,2 1,2 | 1,8 2,0 | 0,52 |

| | | | | | | | | | | |
|--------------|---------------|------------|----------------|--------------|--------------|------------|------------|------------|------------|------|
| 4A200L12/6Y3 | 10,0 17,0 | 485 980 | 34,0 34,0 | 80,0 88,5 | 0,56 0,86 | 4,0 6,5 | 1,5 1,5 | 1,2 1,2 | 1,8 2,0 | 0,58 |
| 4A225M12/6Y3 | 12,5 22,0 | 485 980 | 41,0 44,2 | 81,5 88,0 | 0,57 0,86 | 4,0 6,0 | 1,4 1,3 | 1,2 1,2 | 1,8 1,8 | 0,93 |
| 4A250S12/6Y3 | 16,0 28,0 | 493 985 | 55,5 55,7 | 83,0 90,0 | 0,53 0,85 | 4,0 6,0 | 1,7 1,5 | 1,2 1,2 | 1,8 1,8 | 1,7 |
| 4A250M12/6Y3 | 18,5 35,5 | 493 981 | 62,5 71,0 | 83,5 89,5 | 0,54 0,85 | 4,0 6,0 | 1,7 1,5 | 1,2 1,0 | 1,8 1,8 | 1,84 |
| 4A280M12/6Y3 | 37,0 55,0 | 490 981 | 92,7 99,0 | 88,6 91,0 | 0,68 0,92 | 4,5 5,5 | 1,2 1,1 | 1,0 0,8 | 1,9 2,2 | 4,2 |
| 4A315S12/6Y3 | 45,0 75,0 | 490 980 | 108,0 134,0 | 89,8 91,5 | 0,70 0,93 | 4,5 5,5 | 1,1 1,1 | 1,0 0,8 | 1,8 2,1 | 4,9 |
| 4A315M12/6Y3 | 55,0 90,0 | 490 981 | 138,0 162,0 | 90,1 92,2 | 0,68 0,91 | 4,5 5,5 | 1,2 1,3 | 1,0 0,8 | 2,1 2,2 | 5,7 |
| 4A355S13/6Y3 | 55,0 90,0 | 495 990 | 83,9 95,0 | 90,7 92,1 | 0,63 0,90 | 5,5 7,5 | 1,9 2,0 | 1,0 0,8 | 2,5 2,8 | 9,05 |
| 4A355M12/6Y3 | 75,0 110,0 | 490 985 | 103,0 114,0 | 91,1 92,7 | 0,70 0,91 | 5,0 7,0 | 1,2 1,7 | 1,0 0,8 | 1,7 2,5 | 10,2 |

Трехскоростные двигатели

| Синхронные частоты вращения | 1000/1500/3000 об/мин. | Две независимые обмотки. Схема соединения обмотки | |
|-----------------------------|------------------------|---|--|
| | | Y/Δ/YU | |

| | | | | | | | | | | |
|---------------|-----|------|------|------|------|-----|-----|-----|-----|-----------------------|
| 4A100S6/4/2Y3 | 1,0 | 940 | 3,66 | 69,0 | 0,60 | 4,5 | 2,0 | 1,6 | 2,5 | 0,92×10 ⁻² |
| | 1,1 | 1425 | 3,33 | 66,0 | 0,76 | 5,5 | 1,1 | 0,8 | 2,0 | |
| | 1,5 | 2850 | 3,78 | 67,0 | 0,90 | 6,5 | 1,0 | 0,8 | 2,0 | |
| 4A100L6/4/2Y3 | 1,4 | 940 | 4,96 | 69,0 | 0,62 | 4,5 | 2,0 | 1,7 | 2,5 | 1,17×10 ⁻² |
| | 1,5 | 1425 | 4,21 | 71,0 | 0,76 | 6,5 | 1,3 | 1,0 | 2,2 | |
| | 2,1 | 2850 | 4,91 | 72,0 | 0,90 | 6,5 | 1,1 | 0,8 | 2,0 | |

| Тип | $P_{н'}$, кВт | $n_{н'}$, об/мин | $I_{н'}$, А, при $U_{н'} = 380$ В | $\eta_{н'}$, % | $\cos \varphi_{н'}$ | $\frac{I_{пуск}}{I_{н'}}$ | $\frac{M_{пуск}}{M_{н'}}$ | $\frac{M_{мин}}{M_{н'}}$ | $\frac{M_{макс}}{M_{н'}}$ | Момент инерции, кг м ² |
|--------------------------------|----------------|-------------------|------------------------------------|-----------------|---------------------|---------------------------|---------------------------|--------------------------|---------------------------|-----------------------------------|
| 4A112M6/4/2Y3 | 1,6 | 900 | 4,5 | 71,0 | 0,76 | 7,5 | 1,3 | 1,0 | 1,8 | $1,67 \times 10^{-2}$ |
| | 2,2 | 1440 | 5,2 | 76,0 | 0,84 | 7,5 | 1,3 | 0,8 | 1,8 | |
| | 2,8 | 2880 | 6,6 | 71,0 | 0,90 | 7,5 | 1,1 | 0,8 | 1,8 | |
| 4A132S6/4/2Y3 | 2,8 | 960 | 7,3 | 76,5 | 0,76 | 7,5 | 1,3 | 1,0 | 1,8 | $2,8 \times 10^{-2}$ |
| | 3,6 | 1450 | 8,1 | 79,5 | 0,85 | 7,5 | 1,3 | 0,8 | 1,8 | |
| | 4,2 | 2900 | 9,9 | 71,5 | 0,90 | 7,5 | 1,1 | 0,8 | 1,8 | |
| 4A132M6/4/2Y3 4A132M6/4/2Y3 | 3,8 | 960 | 9,6 | 78,5 | 0,76 | 7,5 | 1,3 | 1,0 | 1,8 | $3,0 \times 10^{-2}$ |
| | 5,0 | 1450 | 11,0 | 81,0 | 0,87 | 7,5 | 1,3 | 0,8 | 1,8 | |
| | 6,0 | 2900 | 13,0 | 76,0 | 0,90 | 7,0 | 1,1 | 0,8 | 1,8 | |
| 4A160S6/4/2Y3 | 4,8 | 955 | 11,2 | 79,5 | 0,82 | 6,0 | 1,3 | 1,0 | 2,0 | $11,0 \times 10^{-2}$ |
| | 5,3 | 1460 | 11,7 | 81,0 | 0,85 | 7,0 | 1,3 | 1,0 | 2,0 | |
| | 7,5 | 2900 | 16,3 | 76,0 | 0,92 | 7,0 | 1,1 | 1,0 | 2,0 | |
| 4A160M6/4/2Y3 | 6,7 | 955 | 15,6 | 81,5 | 0,80 | 6,0 | 1,3 | 1,0 | 2,0 | $13,5 \times 10^{-2}$ |
| | 7,5 | 1455 | 16,0 | 83,0 | 0,86 | 7,0 | 1,3 | 1,0 | 2,0 | |
| | 10,5 | 2910 | 21,9 | 78,5 | 0,93 | 7,0 | 1,1 | 1,0 | 2,0 | |

Синхронные частоты вращения 750/1500/3000 об/мин. Две независимые обмотки. Схема соединения обмотки Y/Δ/Y/Y

| | | | | | | | | | | |
|---------------|------|------|------|------|------|-----|-----|-----|-----|-----------------------|
| 4A100S8/4/2Y3 | 0,63 | 705 | 2,8 | 58,0 | 0,59 | 4,0 | 1,5 | 1,4 | 2,0 | $0,91 \times 10^{-2}$ |
| | 1,1 | 1425 | 3,33 | 66,0 | 0,76 | 5,5 | 1,1 | 0,8 | 2,0 | |
| | 1,5 | 2850 | 3,78 | 67,0 | 0,90 | 6,0 | 1,0 | 0,8 | 2,0 | |
| 4A100L8/4/2Y3 | 0,9 | 705 | 3,23 | 66,0 | 0,64 | 4,0 | 1,5 | 1,0 | 1,8 | $1,16 \times 10^{-2}$ |
| | 1,5 | 1425 | 4,21 | 71,0 | 0,76 | 6,5 | 1,3 | 1,0 | 2,2 | |
| | 2,1 | 2850 | 4,91 | 72,0 | 0,90 | 6,5 | 1,1 | 0,8 | 2,0 | |

| | | | | | | | | | | |
|----------------|--------------------|---------------------|----------------------|----------------------|----------------------|-------------------|-------------------|-------------------|-------------------|-----------------------|
| 4A112M8/4/2УЗ | 1,1 1,9 2,2 | 700 1440 2870 | 3,8 4,7 5,5 | 65,0 72,5 67,5 | 0,68 0,85 0,90 | 6,5 7,5 7,5 | 1,2 1,1 1,0 | 1,0 0,8 0,8 | 1,8 1,8 1,8 | $1,6 \times 10^{-2}$ |
| 4A132S8/4/2УЗ | 1,8 3,0 3,6 | 710 1460 2920 | 5,0 7,2 9,1 | 70,0 77,5 69,0 | 0,65 0,82 0,87 | 7,5 7,5 7,5 | 1,2 1,1 1,0 | 1,0 0,8 0,8 | 1,8 1,8 1,8 | 3×10^{-2} |
| 4A132M8/4/2УЗ | 2,4 4,5 5,0 | 720 1460 2940 | 7,6 10,0 12,0 | 72,5 79,5 71,5 | 0,66 0,82 0,87 | 7,5 7,5 7,5 | 1,2 1,1 1,0 | 1,0 0,8 0,8 | 1,8 1,8 1,8 | 4×10^{-2} |
| 4A160S 8/4/2УЗ | 3,8 4,25 6,3 | 715 1470 2900 | 10,5 9,4 13,5 | 76,0 81,5 76,5 | 0,72 0,84 0,93 | 5,0 7,5 7,0 | 1,2 1,1 1,0 | 1,0 1,0 1,0 | 2,0 2,0 2,0 | 11×10^{-2} |
| 4A160M8/4/2УЗ | 5,0 7,1 9,5 | 720 1470 2900 | 13,8 14,7 19,3 | 78,0 84,5 80,5 | 0,71 0,87 0,93 | 5,0 7,5 7,5 | 1,2 1,1 1,0 | 1,0 1,0 1,0 | 2,0 2,0 2,0 | $11,3 \times 10^{-2}$ |

Синхронные частоты вращения 750/1000/1500 об/мин. Две независимые обмотки. Схема соединения обмотки Δ/Y/Y

| | | | | | | | | | | |
|----------------|--------------------|--------------------|----------------------|----------------------|----------------------|-------------------|-------------------|-------------------|-------------------|-----------------------|
| 4A100S8/6/4УЗ | 0,71 0,9 1,3 | 712 950 1425 | 2,94 2,96 3,48 | 59,0 65,0 69,0 | 0,62 0,71 0,82 | 4,0 4,5 5,0 | 1,4 1,4 1,4 | 1,0 1,0 0,8 | 1,9 1,9 1,9 | $1,2 \times 10^{-2}$ |
| 4A100L8/6/4УЗ | 0,9 1,2 1,7 | 712 950 1428 | 3,55 3,77 4,0 | 61,0 68,0 71,0 | 0,63 0,71 0,83 | 4,0 5,0 1,0 | 1,4 1,4 1,0 | 1,1 1,1 0,8 | 1,9 2,0 1,9 | $1,45 \times 10^{-2}$ |
| 4A112MA8/6/4УЗ | 1,6 1,0 1,5 | 700 950 1400 | 3,5 3,3 3,6 | 65,0 62,0 72,0 | 0,77 0,69 0,89 | 7,5 7,5 7,5 | 1,2 1,2 1,0 | 1,0 0,8 0,8 | 1,8 1,8 1,8 | $1,7 \times 10^{-2}$ |

| Тип | P_H , кВт | n_H , об/мин | I_H , А, при $U_H = 380$ В | η_H , % | $\cos \varphi_H$ | $\frac{I_{\text{пуск}}}{I_H}$ | $\frac{M_{\text{пуск}}}{M_H}$ | $\frac{M_{\text{макс}}}{M_H}$ | Момент инерции, кг м ² |
|----------------|-------------|-------------------|---------------------------------|--------------|------------------|-------------------------------|-------------------------------|-------------------------------|-----------------------------------|
| 4A112MB8/6/4УЗ | 1,4 | 700 | 4,2 | 68,5 | 0,77 | 7,5 | 1,2 | 1,8 | $2,1 \times 10^{-3}$ |
| | 1,2 | 950 | 4,0 | 63,5 | 0,69 | 7,5 | 1,2 | 1,8 | |
| | 2,1 | 1390 | 5,0 | 71,0 | 0,89 | 7,5 | 1,0 | 1,8 | |
| 4A132S8/6/4УЗ | 2,2 | 720 | 5,7 | 73,5 | 0,77 | 7,5 | 1,2 | 1,8 | $11,5 \times 10^{-3}$ |
| | 1,9 | 960 | 5,9 | 69,5 | 0,72 | 7,5 | 1,2 | 1,8 | |
| | 3,2 | 1420 | 7,3 | 74,0 | 0,90 | 7,5 | 1,0 | 1,8 | |
| 4A132M8/6/4УЗ | 2,8 | 720 | 7,6 | 75,0 | 0,78 | 7,5 | 1,2 | 1,8 | 6×10^{-3} |
| | 2,6 | 960 | 7,3 | 72,5 | 0,72 | 7,5 | 1,2 | 1,8 | |
| | 4,5 | 1420 | 9,8 | 75,5 | 0,90 | 7,5 | 1,0 | 1,8 | |
| 4A160S8/6/4УЗ | 4,0 | 780 | 13,0 | 74,5 | 0,63 | 5,5 | 1,2 | 2,0 | 15×10^{-2} |
| | 4,5 | 980 | 12,0 | 76,0 | 0,75 | 6,0 | 1,2 | 2,0 | |
| | 7,5 | 1450 | 15,7 | 80,5 | 0,90 | 6,0 | 1,0 | 2,0 | |
| 4A160M8/6/4УЗ | 5,0 | 735 | 16,1 | 76,5 | 0,62 | 5,0 | 1,2 | 2,0 | 20×10^{-2} |
| | 6,3 | 980 | 17,0 | 77,0 | 0,73 | 6,0 | 1,2 | 2,0 | |
| | 10,0 | 1450 | 20,6 | 82,0 | 0,90 | 6,5 | 1,0 | 2,0 | |
| 4A180M8/6/4УЗ | 8,0 | 735 | 21,4 | 78,0 | 0,73 | 6,5 | 1,3 | 1,9 | 0,28 |
| | 10,0 | 985 | 22,5 | 83,5 | 0,81 | 6,5 | 1,2 | 2,0 | |
| | 12,5 | 1420 | 25,0 | 83,0 | 0,92 | 6,5 | 1,0 | 1,9 | |
| 4A200M8/6/4УЗ | 11,0 | 739 | 29,6 | 82,0 | 0,69 | 6,0 | 1,6 | 2,0 | 0,52 |
| | 12,0 | 990 | 28,0 | 82,5 | 0,70 | 7,0 | 1,2 | 2,0 | |
| | 18,5 | 1478 | 36,4 | 85,0 | 0,91 | 7,5 | 1,2 | 2,0 | |
| 4A200L8/6/4УЗ | 14,0 | 739 | 36,7 | 83,0 | 0,70 | 6,0 | 1,6 | 2,0 | 0,58 |
| | 15,0 | 980 | 33,0 | 85,5 | 0,81 | 7,0 | 1,2 | 2,0 | |
| | 21,0 | 1478 | 40,6 | 85,5 | 0,92 | 7,5 | 1,2 | 2,0 | |

| Четырехскоростные двигатели | | | | | | | | | | |
|---|------|------|------|------|------|-----|-----|-----|-----|---------------------|
| Синхронные частоты вращения 500/750/1000/1500 об/мин. (не зависящие от обмотки. Схема соединения обмотки Δ/Y/Y/Y) | | | | | | | | | | |
| | 17,0 | 730 | 39,6 | 86,0 | 0,76 | 6,0 | 1,6 | 1,0 | 2,0 | 0,93 |
| 4A225M8/6/4Y3 | 18,5 | 990 | 38,6 | 86,0 | 0,85 | 7,0 | 1,2 | 1,0 | 2,0 | |
| | 25,0 | 1478 | 47,8 | 86,5 | 0,92 | 7,5 | 1,2 | 1,0 | 2,0 | |
| | 20,0 | 717 | 45,0 | 88,0 | 0,77 | 6,5 | 1,8 | 1,0 | 2,0 | |
| 4A250S8/6/4Y3 | 22,0 | 990 | 52,2 | 85,5 | 0,75 | 7,5 | 1,5 | 1,4 | 2,0 | 1,7 |
| | 30,0 | 1435 | 56,8 | 87,0 | 0,92 | 7,5 | 1,5 | 1,1 | 2,0 | |
| | 25,0 | 717 | 62,0 | 86,5 | 0,71 | 7,0 | 1,8 | 1,0 | 2,2 | 1,85 |
| 4A250M8/6/4Y3 | 28,0 | 990 | 59,4 | 87,5 | 0,82 | 6,5 | 1,5 | 1,4 | 2,0 | |
| | 37,0 | 1435 | 72,5 | 86,5 | 0,90 | 7,5 | 1,5 | 1,1 | 2,2 | |
| | | | | | | | | | | |
| 4A160M12/8/6/4Y3 | 1,8 | 490 | 10,8 | 56,5 | 0,45 | 3,0 | 1,4 | 1,0 | 2,0 | 20×10 ⁻² |
| | 4,0 | 730 | 14,4 | 67,0 | 0,63 | 4,5 | 1,2 | 1,0 | 2,0 | |
| | 4,25 | 970 | 10,1 | 76,0 | 0,84 | 5,0 | 1,1 | 0,8 | 2,0 | |
| | 6,7 | 1460 | 14,3 | 79,0 | 0,90 | 6,5 | 1,0 | 0,8 | 2,0 | |
| 4A180M12/8/6/4Y3 | 3,0 | 485 | 13,2 | 63,0 | 0,55 | 4,0 | 2,0 | 1,5 | 1,8 | 0,29 |
| | 5,0 | 735 | 15,1 | 75,0 | 0,67 | 5,0 | 1,6 | 1,2 | 1,8 | |
| | 6,0 | 975 | 13,3 | 80,5 | 0,85 | 5,5 | 1,3 | 1,0 | 1,8 | |
| | 8,0 | 1470 | 16,8 | 81,5 | 0,89 | 6,0 | 1,0 | 0,8 | 1,8 | |
| 4A200M12/8/6/4Y3 | 5,0 | 492 | 17,6 | 72,0 | 0,60 | 4,5 | 1,4 | 1,2 | 2,0 | 0,52 |
| | 8,0 | 742 | 21,8 | 80,0 | 0,70 | 6,0 | 1,2 | 1,0 | 2,0 | |
| | 8,5 | 985 | 18,0 | 82,5 | 0,87 | 6,5 | 1,1 | 1,0 | 2,0 | |
| | 12,0 | 1435 | 24,6 | 82,5 | 0,90 | 7,5 | 1,0 | 0,8 | 2,0 | |
| 4A200L12/8/6/4Y3 | 6,0 | 492 | 23,0 | 72,0 | 0,55 | 4,5 | 1,4 | 1,2 | 2,0 | 0,59 |
| | 10,0 | 742 | 26,0 | 81,0 | 0,68 | 5,5 | 1,2 | 1,0 | 2,0 | |
| | 10,5 | 985 | 22,3 | 83,0 | 0,86 | 6,5 | 1,1 | 1,0 | 2,0 | |
| | 15,0 | 1435 | 30,0 | 83,5 | 0,91 | 7,0 | 1,0 | 0,8 | 2,0 | |

| Тип | P_{II} , кВт | n_n , об/мин | I_n , А, при $U_n = 380$ В | η_n , % | $\cos \Phi_n$ | $\frac{I_{пуск}}{I_n}$ | $\frac{M_{пуск}}{M_n}$ | $\frac{M_{мин}}{M_n}$ | $\frac{M_{макс}}{M_n}$ | Момент инерции, кг м ² |
|------------------|----------------|-------------------|---------------------------------|--------------|---------------|------------------------|------------------------|-----------------------|------------------------|-----------------------------------|
| 4A25M12/8/6/4V3 | 7,1 | 495 | 24,7 | 75,5 | 0,58 | 4,5 | 1,4 | 1,2 | 2,0 | 0,93 |
| | 12,5 | 742 | 35,8 | 82,0 | 0,65 | 6,5 | 1,3 | 0,8 | 2,0 | |
| | 13,0 | 990 | 44,5 | 84,5 | 0,87 | 6,5 | 1,1 | 1,0 | 2,0 | |
| | 20,0 | 1435 | 41,0 | 83,5 | 0,89 | 7,5 | 1,0 | 0,8 | 2,0 | |
| 4A250S12/8/6/4V3 | 9,0 | 495 | 31,6 | 76,0 | 0,57 | 4,5 | 1,5 | 1,2 | 2,0 | 1,7 |
| | 17,0 | 742 | 41,3 | 84,5 | 0,74 | 5,5 | 1,3 | 0,8 | 1,9 | |
| | 18,5 | 990 | 38,5 | 84,0 | 0,87 | 6,0 | 1,1 | 1,0 | 1,8 | |
| | 16,5 | 1435 | 52,4 | 84,5 | 0,91 | 7,0 | 1,0 | 0,8 | 1,9 | |
| 4A250M12/8/6/4V3 | 12,0 | 495 | 44,0 | 77,0 | 0,54 | 4,5 | 1,5 | 1,4 | 2,0 | 1,8 |
| | 22,0 | 742 | 52,2 | 85,5 | 0,75 | 5,5 | 1,3 | 0,8 | 1,9 | |
| | 24,0 | 990 | 48,0 | 86,0 | 0,87 | 6,0 | 1,2 | 1,0 | 1,9 | |
| | 30,0 | 1435 | 59,2 | 85,5 | 0,90 | 7,5 | 1,2 | 0,8 | 1,9 | |

90. Шкала мощностей электродвигателей серии 4AK

| h, мм | Условная длина на сердечника статоры | Мощность, кВт, при частоте вращения, об/мин | | | | | | | | | |
|-------|--------------------------------------|---|------|-----|-----|-----|------|------|-----|-----|-----|
| | | 1P44 | | | | | 1P23 | | | | |
| | | 1500 | 1000 | 750 | 600 | 500 | 1500 | 1000 | 750 | 600 | 500 |
| 160 | S | 10 | 7,5 | 5,5 | — | — | 15 | — | — | — | — |
| | M | 13 | 10 | 7,5 | — | — | 18,5 | — | — | — | — |
| 180 | S | 18,5 | 13 | 10 | — | — | 22 | 15 | 11 | — | — |
| | M | — | — | — | — | — | 30 | 18,5 | 15 | — | — |

| | | | | | | | | | | | |
|-----|----|----|------|----|---|---|-----|-----|------|-----|-----|
| 200 | M | 22 | 18,5 | 15 | — | — | 37 | 22 | 18,5 | — | — |
| | L | 30 | 22 | | — | — | 45 | 30 | 22 | — | — |
| 225 | M | 37 | 30 | 22 | — | — | 55 | 37 | 30 | — | — |
| 250 | SA | 45 | — | — | — | — | 75 | 45 | 37 | — | — |
| | SB | 55 | 37 | 80 | — | — | 90 | 55 | 45 | — | — |
| | M | 75 | 45 | 37 | — | — | 110 | 75 | 55 | — | — |
| 280 | S | — | — | — | — | — | 132 | 90 | 75 | — | — |
| | M | — | — | — | — | — | 160 | 110 | 90 | — | — |
| 315 | S | — | — | — | — | — | 200 | 132 | 110 | 75 | 55 |
| | M | — | — | — | — | — | 250 | 160 | 132 | 90 | 75 |
| 355 | S | — | — | — | — | — | 315 | 200 | 160 | 110 | 90 |
| | M | — | — | — | — | — | 400 | 250 | 200 | 132 | 110 |

91. Технические данные малошумных электродвигателей серии 4А при $U_H = 380$ В с высотой оси вращения 460 мм*

| Тип | P_H , кВт | n_H , об/мин | I_H , А | η_H , % | $\cos \varphi_H$ | $\frac{I_{пуск}}{I_H}$ | $\frac{M_{пуск}}{M_H}$ | $\frac{M_{мин}}{M_H}$ | $\frac{M_{макс}}{M_H}$ | Момент инерции, кг·м ² |
|-----|-------------|----------------|-----------|--------------|------------------|------------------------|------------------------|-----------------------|------------------------|-----------------------------------|
|-----|-------------|----------------|-----------|--------------|------------------|------------------------|------------------------|-----------------------|------------------------|-----------------------------------|

Синхронная частота вращения 1500 об/мин

| | | | | | | | | | | |
|------------|------|------|------|------|------|-----|-----|-----|-----|------|
| 4A160S4HY3 | 11,0 | 1470 | 21,4 | 88,5 | 0,88 | 7,0 | 1,2 | 1,0 | 2,2 | 0,11 |
| 4A180M4HY3 | 15,0 | 1470 | 31,0 | 89,5 | 0,90 | 7,0 | 1,2 | 1,0 | 2,2 | 0,14 |

Синхронная частота вращения 1000 об/мин

| | | | | | | | | | | |
|------------|------|-----|------|------|------|-----|-----|-----|-----|------|
| 4A160S6HY3 | 7,5 | 980 | 16,6 | 85,5 | 0,80 | 6,5 | 1,2 | 1,0 | 2,0 | 0,13 |
| 4A160M6HY3 | 11,0 | 980 | 24,0 | 86,5 | 0,80 | 6,5 | 1,2 | 1,0 | 2,0 | 0,2 |

| Тип | P_n , кВт | n_n , об/мин | I_n , А | η_n , % | $\cos \varphi_n$ | $\frac{I_{\text{пуск}}}{I_n}$ | $\frac{M_{\text{пуск}}}{M_n}$ | $\frac{M_{\text{мин}}}{M_n}$ | $\frac{M_{\text{макс}}}{M_n}$ | Момент инерции, кг м ² |
|------------|----------------|-------------------|-----------|--------------|------------------|-------------------------------|-------------------------------|------------------------------|-------------------------------|---|
| 4A160S8HУ3 | 5,5 | 735 | 15,4 | 83,5 | 0,66 | 5,5 | 1,2 | 1,0 | 2,0 | 0,15 |
| 4A160M8HУ3 | 7,5 | 735 | 21,2 | 84,0 | 0,65 | 5,5 | 1,2 | 1,0 | 2,0 | 0,19 |

Синхронная частота вращения 750 об/мин

* Данные электродвигателей с остальными высотами оси вращения аналогичны техническим данным машин основного исполнения.

| | |
|--|-----------|
| Глава I. Общие сведения об асинхронной машине | 3 |
| Стандартизация мощностей и установочных размеров | 3 |
| Диапазоны напряжений, мощностей и частот вращения | 8 |
| Исполнение электродвигателей по степени защиты | 9 |
| Исполнение электродвигателей по способам охлаждения | 10 |
| Исполнение электродвигателей по способам монтажа | 11 |
| Исполнение электродвигателей по воздействию климатических факторов | 12 |
| Элементы конструкций электродвигателей | 13 |
| Глава II. Асинхронный электродвигатель — основной потребитель реактивной мощности | 17 |
| Составляющие реактивной мощности асинхронного электродвигателя | 17 |
| Определение реактивной мощности и тока холостого хода электродвигателя | 19 |
| Определение оптимального коэффициента нагрузки электродвигателя | 21 |
| Снижение реактивных нагрузок электродвигателей путем улучшения режимов работы оборудования | 23 |
| Правильный подбор номинальной мощности электродвигателей | 23 |
| Определение целесообразности замены незагруженных электродвигателей | 29 |
| Переключение недогруженных электродвигателей с треугольника на звезду | 30 |
| Установка автоматических ограничителей холостого хода | 32 |
| Влияние качества ремонта электродвигателей на коэффициент мощности | 34 |
| Глава III. Расчеты обмоток асинхронных электродвигателей при ремонте | 36 |
| Общие сведения | 36 |
| Маркировка выводов обмоток | 36 |
| Нагревостойкость изоляционных материалов. Классы изоляции обмоток | 38 |
| Нагрев обмоток | 39 |
| Характеристика проводниковых материалов | 40 |
| Обмоточные провода | 41 |
| Выбор основных величин обмоток при ремонте | 49 |
| Распределение числа полюсов трехфазной обмотки статора | 56 |
| Расчет обмоточных данных статора трехфазного электродвигателя с всыпной обмоткой | 58 |
| Расчет массы и сопротивления всыпной обмотки статора | 64 |

| | |
|--|------------|
| Обмоточные данные трехфазных асинхронных электродвигателей серии 4А при высоте оси вращения 50—250 мм | 66 |
| Размеры сердечников статоров трехфазных асинхронных электродвигателей серии 4А | 74 |
| Глава IV. Выбор электродвигателей для производственных механизмов | 76 |
| Общие сведения | 76 |
| Режимы работы электроприводов | 77 |
| Нагрев и охлаждение электродвигателей | 82 |
| Выбор мощности электродвигателей для различных режимов работы | 85 |
| Нагрузка продолжительная неизменная или малоизменяющаяся | 85 |
| Нагрузка длительная переменная | 92 |
| Кратковременный режим работы | 97 |
| Повторно-кратковременный режим работы | 99 |
| Глава V. Аппараты управления электродвигателями и защитная аппаратура в сетях напряжением до 1000 В | 103 |
| Аппараты ручного управления | 103 |
| Аппараты автоматического управления | 108 |
| Резисторы и реостаты | 117 |
| Командоаппараты | 119 |
| Защитная аппаратура для установок напряжением до 1000 В | 122 |
| Глава VI. Выбор питающих проводов и кабелей для электродвигателей | 129 |
| Способы прокладки и характеристика проводов и кабелей | 129 |
| Защита электродвигателей и силовых сетей | 141 |
| Определение сечений проводов и кабелей по нагреву | 144 |
| Расчет проводов и кабелей по потере напряжения | 149 |
| Глава VII. Автоматическое управление асинхронными электродвигателями | 154 |
| Управление короткозамкнутыми электродвигателями | 155 |
| Управление электродвигателями с фазным ротором | 163 |
| Глава VIII. Неисправности асинхронных электродвигателей и их устранение | 170 |
| Некоторые неисправности, обнаруживаемые при пуске двигателя | 171 |
| Неисправности электродвигателя, обнаруживаемые во время его работы | 176 |
| Обеспечение надежности асинхронных электродвигателей при их монтаже и эксплуатации | 180 |
| Приложение | 183 |
| Асинхронные электродвигатели единой серии 4А и их модификации | 183 |

Борис Владимирович Кузнецов
Михаил Федорович Сацукевич

АСИНХРОННЫЕ ЭЛЕКТРОДВИГАТЕЛИ И АППАРАТЫ УПРАВЛЕНИЯ

Редактор Л. Б. Ванчук. Художник Б. Е. Ярота. Художественный редактор Р. В. Кондрад. Технический редактор М. А. Шабалинская. Корректоры Р. И. Мовшович, Н. Н. Масаренко

ИБ № 1629

Сдано в набор 21.07.81. Подп. в печать 25.05.82. АТ 07660. Формат 84×108¹/₃₂. Бумага тип. № 3. Гарнитура литературная. Высокая печать. Усл. печ. л. 11,76. Усл. кр.-отт. 11,76. Уч.-изд. л. 9,97. Тираж 15 000 экз. Заказ 1797. Цена 75 к.

Ордена Дружбы народов издательство «Беларусь» Государственного комитета БССР по делам издательств, полиграфии и книжной торговли. 220600, Минск, проспект Машерова, 11.

Минское производственное полиграфическое объединение им. Я. Коласа. 220005, Минск, Красная, 23.

Кузнецов Б. В., Сацукевич М. Ф.

К 89 Асинхронные электродвигатели и аппараты управления: (Справ. пособие).— Мн.: Беларусь, 1982. — 222 с., ил.

В пер.: 75 к.

Даются рекомендации по выбору электродвигателей для производственных механизмов, подбору пусковой и защитной аппаратуры, эксплуатации и ремонту обмоток асинхронных электродвигателей. Приводятся технические данные новейших серий асинхронных электрических двигателей, аппаратов управления и защиты. Рассматриваются наиболее характерные неисправности электродвигателей и способы их устранения.

Рассчитано на инженерно-технических работников промышленных предприятий.

К $\frac{2302030000-155}{М\ 301(05)-82}$ 100-82

ББК 31.261.63

6П2.1.081